



524
1978

საქართველოს სსრ
მეცნიერებათა აკადემიის
ამჟამანა

СООБЩЕНИЯ

АКАДЕМИИ НАУК
ГРУЗИНСКОЙ ССР

BULLETIN
OF THE ACADEMY OF SCIENCES
OF THE GEORGIAN SSR

ტომი 91 თომ

№ 3

სექტემბერი 1978 სენტებრь

საქართველოს სსრ
მეცნიერებათა აკადემიის

გოგება

СООБЩЕНИЯ

АКАДЕМИИ НАУК
ГРУЗИНСКОЙ ССР

BULLETIN

OF THE ACADEMY OF SCIENCES
OF THE GEORGIAN SSR

15905

ტომი 91 თომ

№ 3

სეպემბერი 1978 СЕНТЯБРЬ

სარგებლობის ძოლები

- ა. ბოჭორიშვილი, თ. გამურელიძე, პ. გამურელიძე, ი. გიგინეოშვილი (მთ. რედაქტორის
მოადგილე), თ. დავითაძე, ს. დურმიშეძე, ა. თაგხელიძე, ნ. კიცხოველი,
გ. ქუპრაძე, ნ. ლანდია (მთ. რედაქტორის მოადგილე), ვ. მახალდიანი,
გ. მელიძეშვილი, ვ. ოქუჩავა, ი. ცაგარელი, გ. ციცაშვილი,
ე. ხარაძე (მთ. რედაქტორი), გ. ხუციშვილი, ნ. ჯავახიშვილი

РЕДАКЦИОННАЯ КОЛЛЕГИЯ

- А. Т. Бочоришвили, П. Д. Гамкелидзе Т. В. Гамкелидзе, И. М. Гигинейшвили
(зам. главного редактора), Ф. Ф. Давитая, Н. А. Джавахишвили,
С. В. Дурмишидзе, Н. Н. Кецховели, В. Д. Купрадзе, Н. А. Ландиа
(зам. главного редактора), В. В. Махалдiani, Г. А. Меликишвили,
В. М. Окуджава, А. Н. Тавхелидзе, Е. К. Харадзе (главный
редактор), Г. Р. Хуцишвили, А. Л. Цагарели,
Г. В. Цицишвили

პასუხისმგებელი მღივანი გ. მახარაძე
Ответственный секретарь Г. Е. Махадзе

ხელმოწერილია დასაბეჭდად 27.10.1978; ზექ. № 2767; ანაწყობის ზომა 7×12;
ქაღალდის ზომა 70×108; ფიზიკური ფურცელი 16; სააღრიცხვო-საგამომცემლო
ფურცელი 18,5; ნაბეჭდი ფურცელი 22,5; უ 12451; ტიჩავი 1650; ფასი 1 ბან.

Подписано к печати 27.10.1978; зак. № 2767; размер набора 7×12; размер
бумаги 70×108; физический лист 16; уч.-издательский лист 18,5; печатный
лист 22,5; УЭ 12451; тираж 1650; цена 1 руб.

* * *

გამომცემლობა „მეცნიერება“, თბილისი, 380060, კუტუზოვის ქ., 19
Издательство «Мецнериба», Тбилиси, 380060, ул. Кутузова, 19

საქ. სსრ მეცნ. იურიდიუს სტამბა, თბილისი, 380060, კუტუზოვის ქ., 19
Типография АН Груз. ССР, Тбилиси, 380060, ул. Кутузова, 19

შ 0 6 1 5 რ ს 0

მათემატიკა

* ა. გვარამია. იზოტოპია-იზომორფიზმის თვისების მქონე ნოტება	530
* თ. შერვაშიძე. უტოლობანი აბსოლუტურად უწყვეტი განაწილების მახასიათებელი ფუნქციისათვის	536
* ლ. კლებანოვი. მეცნიერების ინფორმაციის თვისებებით ნორმა-ლური და გამა-განაწილებების დახასიათების მდგრადიბის შესახებ	539
* ბ. კიმელი ლელიძე. ორთოგონალური ჯგუფების რელატიული ქვეყნები, ლოკალურად ტრანზიტულნი დროშების მრავალნაირობებზე	544
* ქ. მანგალაძე. ფუნქციის მაქსიმუმის სტატისტიკური შეფასებისათვის ზუსტი ნდობის ინტერვალის აგების შესახებ	548
* რ. მონაშვილი. რეკურსიულად გადათვლად სიმრავლეთა კლასზე დაყვანილობის შესახებ	552
* ი. კლიმკერი. (n, p)-ხის მაქსიმალური სიგრძის შეფასებები	556
* გ. მირზაშვილი. სასრულო მარკოვის ჯაჭვის მრთვის მინმაქსური ამოცანა გადა-წყვეტილებათა ზოგადი სიმრავლით და შეწყვეტის მცირე ალბათობით	560
* თ. ყიფიანი. ფურიე—ბესელის ჯამების საშუალებით მრავალი ცვლადის ფუნქციების მიახლობის რიგის შესახებ	564
დროგადობის თეორია	
* რ. დიხამინჯია. მომენტური დრეკადობის თეორიის ჩხევის პირველი სასაზღრო ამოცანის საექსპრივო ფუნქციების ასიმპტოტური განაწილების შესახებ	568
* რ. ბანცური. პირველი ძირითადი ამოცანა უბნობრივ-ერთგვაროვანი იონოტრიული სიბრტყისათვის, გამყოფი წრფის პერპენდიკულარული ჭრილით	572
გიგანტიკა	
* ღ. ბაშალევიშვილი. ძერიანი გამამსხვილებელი და შემამცირებელი სისტემების მათემატიკური მოდელები	576
* ე. ქისტური. დისკრეტულ მდგომარეობათა სიმრავლის მქონე ნახევარმარკოვული პროცესების მიმდევრობითი დეკომპოზიცია	579
* რ. მეგრელიშვილი. პაკეტური შეცდომების გამასწორებელი შალალი ეცემტურობისა და დეკოდირების მარტივი აღგორითმის მქონე კოდები	583
ცისიკა	
* ხ. ნადირაშვილი, ქ. წაქაძე. ჰელიუმ II-ის ნორმალური კომპონენტის სიბლანტის გაზომვა მერხევი ცილინდრის მეთოდით	588
გეოფიზიკა	
* გ. მანაგაძე, ა. კუდრია, ვ. ლონტი. პორიზონტალურ სამღერძა ნახევარ-ელიფსოიდზე გრავიტაციული ანომალიის ინტეპრეტაცია	592

* ვარსკვლავით მონაწილეობის საფუძვლის შემთვევის წერილის რეზიუმეს.

*ლ. ეიჩისი, ო. კონდრატიევი. სეისმური ტალღური ველის ანალიზი გარემონტინის შენაბაზ წერტილებში დასაცლეთ საქართველოში

596

ზოგადი და პრაიმაციული კიბი

*მ. გვერდიძე, რ. მაჩინაშვილი, ნ. ფირცხალავა. მეტალთა დითონისტების კომიტეტის ნაცრობი კაპრინის მეურის ჰიდრაზიდთან

600

*მ. აბაშვილი, ნ. ფირცხალავა, ი. ხარიტონოვი, რ. მაჩინაშვილი. იშვიათმიწათა ელემენტების კომიტეტის ნაცრობი კაპრინის მეურის ჰიდრაზიდთან

601

*მ. ბროერძი, გ. დეკანოზიშვილი, ი. ელიგულაშვილი, მ. კანდელაძე, ო. მოდებაძე. ელექტრული ველისა და ტემპერატურის გაულენა გადართვის პროცესზე ბორატულ-ვანალიური მინებში

608

ორგანული კიბი

*შ. სამსონია, ი. ჩიკვაძე, ნ. სუვოროვი,

ი. გვერდიშითელი

612

(საქ. სსრ მეცნ. აკადემიის წევრ-კორესპონდენტი). ბისინდოლება III ბის-(ინდოლ-5) მეოთხის სისტემის სინთეზი

*მ. კუპრავა, გ. სამსონია, რ. კლდიაშვილი, ნ. ლოლაძე, ი. აბესაძე, რ. ლალიძე. 3, 4, 7, 8-დიმეტონ-3', 2"-დიმეტონები-2, 2, 6-ტეტრამეთილბი-ციკლო-(3, 3, 0) Δ 4, 8-ოქსანის სინთეზი

616

*რ. ჭედია, ს. 3 ლუჟნოვი, ვ. სმეტანისკი, ვ. კაბანოვი (სსრკ მეცნ. აკად. წევრ-კორესპონდენტი), ქრ. არეშიძე (საქ. სსრ მეცნ. აკად. აკადემიკოსი). პროპერიტეტის დიმერიზაციის გელისმევარი კარალიზერი სისტემები

620

ფიზიკური კიბი

*გ. ციციშვილი (საქ. სსრ მეცნ. აკად. აკადემიკოსი), ლ. კვანტოლიანი, დ. ჭიათუშვილი. სამრეწველო ფურანული ფისკებიდან მიღებული ნახშირბაზოვანი ადსორბენტების თერმოგრაფიული კვლევა

623

ტიპიური ტექნიკოგრადი

*3. იავიჩი. ტრიტერენცული საპნინების შემცველი ხსნარების გაწმენდისათვის იონიტების გამოყენების უესაძლებლობა

628

გეოლოგია

*ნ. სალუევაძე, ე. ცაგარელი. ახალი მონაცემები ლენსუმის ზედა ეოცენის სტრატიგრაფიის შესახებ

631

გეოგრადი

*მ. ტუგმალაძე. მარნეულის, ქვემო ბოლნისის და წითელი სოფლის საბაღოების რაიონის მაგმურ წარმონაქმნია ფორმაციული დანაწილება

636

გეოგრადი

*გ. ჯინჭარაძე, მ. სეფერთელაძე. სულფიდური წონასწორობის გამოვლენა ვაგრის მინერალურ წყალში

640

სამზარებლო მიმართვა

*ან. ლოსაბერძე, დ. გიორგაძე. სასრულო ურთიერთვადმკვეთი ზოლების მეთოდით თაღვანი კაშხლის გათვლის მატრიცული ფონმა

644

- *თ. სისარული ძე. ორმხრივ მიმართული მრავალტალღიანი, ხერხტიანი გადახურვა
 *ნ. ბულია. ელიფსური ტიპის დრეკადი დამრჩეცი გარსების დიფერენციალური განტო-
 ლების ზოგადი ამონსნა

652

საგადოთა დამუშავება და გამდიდრება

- *ა. ჯვარშე იშვილი, ა. ცაი, დ. ბაქრაძე. ხრახნისებრივი დაწვევის გავლენის
 შესწავლა ნაკლის სტრუქტურაზე მილასადენში
 *ლ. მასარაძე. საქართველოს ხუფუბის მუშაობის ეფექტურობაზე გადამყვანი მარტინი-
 ბელი მილულების გავლენის შესახებ

656

660

მიტალურგი

- *ა. კანდელაკი, გ. გვალა სიანი, ვ. რცხილაძე, თ. აბაშიძე, გ. გვაგ-
 აძე, ი. ტკაჩი ნკო. მუდმივი დენის ელექტრულ რკალში CoO მონოკრის-
 ტალების გაზრდა და მათი კვლევა

664

განვანათმოდეობა

- ა. ვაჟალომიძე. სხვადასხვა ტიპის ტერასების ლითონ- და ენერგოშემცველობის
 შედარებითი მაჩვენებლები
 *მ. ასათიანი, ზ. თავართქილაძე, რ. წერეთელი. ჭრის რეჟიმების ამტი-
 შიზაციის შესაძლებლობაზე ციფრული პროგრამული მართვის საფრენო ჩარჩებზე

665

672

მლექტროლოგიკა

- *გ. ვადაჭეორია. პარამეტრული დენის წყაროს სქემებში გამოყენებული ტრანს-
 ფორმატორის პირველადი გრანილის ნომინალური ძაბვა

676

პიროვნეული მართვა და გამოთვლითი ტექნიკა

- *კ. კოტლიარენკო. ელექტრონული სქემების საანგარიშო პროგრამების გამოყენე-
 ბის პროცესის დაწესებულების შესახებ

679

ნიაზაგოროვდეობა

- *თ. ურუშაძე, ნ. ბერუჩაშვილი. ნიადაგების როგორც მთა-ტყის ბიოგეოფ-
 ნოზების კომპონენტების შესწავლის თვეისებურებანი

683

გოტანიკა

- *კ. გულაგარაშვილი. აფილოფორასნაირი სოკოების ახალი სახეობები საქარ-
 თველოს მიკოფლორისათვის

686

- *გ. ჭიქიანი, ნ. ჩიქოვანი. ხავსების სინუზიები დეკიანვი

691

ადამიანისა და ცენტრალური ფიზიოლოგია

- *ნ. მითაგვარია, თ. ადამია, კ. ლატარია. თავის ტვინის სისხლის მიმოქცე-
 ვის დინამიკის შესწავლა ამინილითა და სკაპოლამინით გამოწვეული ამნეზიის დროს

695

- *დ. დანელია, დ. გოგიაშვილი. ჭოლინმიმეტიკურ ნივთიერებათა გავლენა ლო-
 კკინის გულშე

699

- *კ. მეტერევალი. ბოცევერების კვერცხსავალთა სპონტანური ბიოლექტრული ქ-
 ტოვობა სქესობრივი მოსევების ფაზაში

704

- *ი. გეღვანიშვილი, თ. იოსებიძე. სითბური პიპერების თავისებურებანი და
 ზოგიერთი ეფექტურული შექანიში თეთრი თავის ყურის ნიერის პოსტკაბილა-
 რულ უბანში

707

*⁸. ჩ. ჩიკვაშვილი, ნ. ონიანი, ი. ყვავილაშვილი. ბაყაყის ჩანასახის მეტ-ბრანული პოტენციალი და მემბრანის ფარდობითი განვლადობა Na^+ და K^+ იონებისათვის

711

გიორგიშვილი

*⁹. ზავლიშვილი. სინაპსურ მემბრანაში აცეტილქოლინესთერაზას ლოკალიზაციის შესახებ

715

გიგრობიოლოგია და ვირუსოლოგია

ლ. ალექსი-გესესიშვილი. ფუნგიციდების გამოცდა ხელნაწერების სარესტავრაციოდ ხმარებულ წებოში

717

გიტოპათოლოგია

*¹⁰. ღვინე ფაძე, ნ. გვაჭავა. ზოგიერთი ფუნგიციადის მოქმედების ხასიათის შესწავლა თუთის ყლორტების ჰქნობის გამომწვევი სოკოს მიმართ

724

გიორგიშვილი

*¹¹. საგდივა, ი. ვოლოშინა, ე. სმირნოვი. იქსოდისებრი ტკიპის *Hemaphysalis japonica* Douglasi Nutt. et Warb. ურთიერთდამკითხულება მათ მასპინძლებთან შუა სიხრე-ალინში

727

გიგარინიშვილი მედიცინა

*¹². უზანაძე-ჭევდლიშვილი. კომპლექსურ სამკურნალო ღონისძიებებში რეკომენდებული შედეგამენტური ნარევები კიდურთა იშემიური დაავადების ნეკროზისა და განგრენის ფაზაში

731

*¹³. მშეიღობარებე, უორმალინზებული ძელების ალოტრანსპლანტაცია

736

*¹⁴. ხეჩინაშვილი, შ. ჯაფარიძე. სმენის პროცეზირება მრგვალი სარკმლის ექრანირებისათვის ფორმერი ელასტომერის და მეტალის ფირფიტის გამოყენებით

739

გალიობიოლოგია

*¹⁵. ვეკუა, მ. გაბუნია, ნ. კლოპოტოვსკაია. პატარა ხრამის პეტროგლიფების დათარიღების საკითხისათვის

743

გიგოლოგია

*¹⁶. ციისკარიძე, ნ. ზაქარიაშვილი. განწყობის თავისებურების დამოკიდებულება ცდისპირთა ასაჭე და სქესზე

748

გილოვანირიგა

*¹⁷. ნუცუბიძე. სხვაობა ზმნური შესიტუების to have a talk და მარტივი ზმნის to talk რეალური გამოყენების პირობებში

752

გალისავლეოთოლოგია

*¹⁸. გუდივა. არაბული ენის ერთი გრამატიკის შესახებ დაღესტნილან

755

СОДЕРЖАНИЕ

МАТЕМАТИКА

А. А. Гвардия. B_3 -луна, обладающая свойством изотопии-изоморфизма	529
Т. Л. Шервашидзе. Неравенства для характеристической функции абсолютно непрерывного распределения	533
Л. Б. Клебанов, И. А. Меламед. Об устойчивости характеристизации нормального и гамма-распределений свойствами фишеровской информации	537
Б. Н. Кимельфельд. Редуктивные подгруппы ортогональных групп, локально транзитивные на флаговых многообразиях	541
К. В. Манджгаладзе. К построению точного доверительного интервала для статистической оценки максимума функции	545
Р. Ш. Оманадзе. О сводности на классе рекурсивно перечислимых множеств	549
И. А. Клиппер. Оценки максимальной длины (n, p) -дерева	553
Г. И. Мирзашивили. Минимальная задача управления конечной марковской цепью с произвольными множествами решений и малой вероятностью обрыва	557
Т. Г. Кипиани. О порядке приближения функции многих переменных суммами Фурье—Бесселя	561

ТЕОРИЯ УПРУГОСТИ

Р. Г. Диҳамиджия. Об асимптотическом распределении собственных функций первой граничной задачи колебания в моментной теории упругости	565
Р. Д. Банцури. Первая основная задача кусочно-однородной ортотропной плоскости с разрезом, перпендикулярным прямой раздела	569

КИБЕРНЕТИКА

Д. И. Башалеишвили. Математические модели укрупняющих и уменьшающих систем со сдвигом	573
Э. И. Кистаури. Последовательная декомпозиция полумарковских процессов с дискретным множеством состояний	577
Р. П. Мегрелишвили. Высокоэффективные колы с коррекцией пакетов ошибок, обладающие простым алгоритмом декодирования	581

ФИЗИКА

З. Ш. Надирашвили, Дж. С. Цакадзе. Измерение вязкости нормальной компоненты гелия II методом колеблющегося цилиндра	585
---	-----

ГЕОФИЗИКА

Г. Д. Манагадзе, А. В. Кудря, В. К. Глонти. Интерпретация гравитационных аномалий над горизонтальным трехосным полуэллипсоидом	589
--	-----

* Заглавие, отмеченное звездочкой, относится к резюме статьи.



Л. М. Эйчис, О. К. Кондратьев. Анализ сейсмического волнового поля во внутренних точках среды на площадях Западной Грузии	593
ОБЩАЯ И НЕОРГАНИЧЕСКАЯ ХИМИЯ	
М. С. Квернадзе, Р. И. Мачкошили, Н. И. Пирцхалава. Комплексные соединения дитионатов металлов с гидразидом каприновой кислоты	597
М. И. Бродзели, Г. Г. Деканозишвили, И. А. Елигулашвили, М. Д. Канделаки, О. Е. Модебадзе. Влияние электрического поля и температуры на процесс переключения в боратно-ванадатных стеклах	605
ОРГАНИЧЕСКАЯ ХИМИЯ	
Ш. А. Самсония, И. Ш. Чиквандзе, Н. Н. Суворов, И. М. Гвердцители (член-корреспондент АН ГССР). Синтез системы бис-(индолил-5)-метана	609
Ш. Д. Куправа, Г. Г. Самсония, Р. Ш. Клдиашвили, Н. Р. Лоладзе, И. Г. Абесадзе, Р. М. Лагидзе. Синтез $3,4,7,8$ -дibenzo- $3',2'$ -диметокси- $2,2,6,6$ -тетраметил-бицикло($3,3,0$) $\Delta^{4,8}$ -октана	613
Р. В. Чедия, С. К. Плужнов, В. И. Сметанюк, В. А. Кабанов (член-корреспондент АН СССР), Х. И. Арещидзе (академик АН ГССР). Гелеобразные каталитические системы для димеризации пропилена	617
ФИЗИЧЕСКАЯ ХИМИЯ	
Г. В. Цицишвили (академик АН ГССР), Л. К. Кванталиани, Д. С. Чипашвили. Термографическое исследование углеродных адсорбентов из промышленных фурановых смол	621
ХИМИЧЕСКАЯ ТЕХНОЛОГИЯ	
П. А. Явич. К возможности применения ионитов для очистки растворов, содержащих тритерпеновые сапонины	625
ГЕОЛОГИЯ	
Н. Ш. Салуквадзе, Е. А. Цагарели. Новые данные по стратиграфии верхнего юрского яруса Лечхуми	629
ПЕТРОЛОГИЯ	
М. Т. Ткемаладзе. Формационная принадлежность магматических образований района Маднеульского, Квемо-Болниского и Цителспельского месторождений	633
ГЕОХИМИЯ	
Г. Г. Джинчарадзе, М. Д. Сепертеладзе. Исследование сульфидного равновесия в гагрской минеральной воде	637
СТРОИТЕЛЬНАЯ МЕХАНИКА	
Ан. А. Лосаберидзе, Д. П. Гиоргадзе. Матричная форма расчета арочных плотин методом конечных перекрестных полос	641

- Т. Д. Сихарулидзе. Многоволновое в обоих направлениях покрытие с кру-
говым отверстием

- Н. П. Булия. Общее решение дифференциальных уравнений пологих упругих
оболочек эллиптического типа

РАЗРАБОТКА И ОБОГАЩЕНИЕ МЕСТОРОЖДЕНИЙ

- А. Г. Джваришвили, А. А. Цай, Д. В. Бакрадзе. Исследование
влияния винтовой навивки на структуру потока в трубопроводе

- Л. И. Махарадзе. О влиянии переходных дросселирующих патрубков на
эффективность работы воздушно-гидравлических аккумуляторов

МЕТАЛЛУРГИЯ

- А. З. Канделаки, Г. Г. Гвелесиани, В. Г. Рцхиладзе, Т. Д. Абаш-
идзе, Г. Г. Гегиадзе, И. Г. Ткаченко. Выращивание монокри-
сталлов СоO в дуге постоянного тока и их исследование

МАШИНОВЕДЕНИЕ

- * А. П. Вашаломидзе. Сравнительные показатели металло- и энергонасы-
щенности террас различных типов

- М. Д. Асатиани, З. С. Тавартиладзе, Р. И. Церетели. Воз-
можности оптимизации режимов резания на фрезерных станках с чис-
ловым программным управлением

ЭЛЕКТРОТЕХНИКА

- Г. В. Вадачкория. Номинальное напряжение первичной обмотки транс-
форматора, использованного в схеме параметрических источников тока

АВТОМАТИЧЕСКОЕ УПРАВЛЕНИЕ И ВЫЧИСЛИТ. ТЕХНИКА

- К. Ю. Котляренко. Об ускорении процесса использования программ рас-
чета электронных схем

ПОЧВОВЕДЕНИЕ

- Т. Ф. Урушадзе, Н. Л. Беручашвили. Особенности изучения почв как
компонентов горно-лесных биогеоценозов

БОТАНИКА

- В. Х. Гулмагарашвили. Новые виды афиллофоровых грибов для мико-
флоры Грузии

- Г. С. Кикава, Н. В. Чиковани. Синузии мхов в зарослях кавказского
рододендрона

ФИЗИОЛОГИЯ ЧЕЛОВЕКА И ЖИВОТНЫХ

- Н. П. Митагвария, Т. Э. Адамия, К. Д. Латария. Изучение дина-
мики мозгового кровотока при амизиловой и скополаминовой амнезиях

- Д. С. Данелия, Д. В. Гогиашвили. Влияние холиномиметиков на сокра-
щения сердца улитки

- Дж. М. Метревели. Спонтанная биоэлектрическая активность яйцеводов
крольчих в фазе полового покоя



И. Д. Гедеванишвили, Т. И. Иосебидзе. Особенности и некоторые эффекторные механизмы тепловой гиперемии в посткапиллярном отделе кровеносных сосудов ушной раковины белой мыши	705
Ш. Д. Чиквашвили, Н. Т. Ониани, И. Ш. Квавилашвили. Относительная проницаемость мембраны для ионов Na^+ и K^+ и мембранный потенциал зародыша лягушки	709
БИОХИМИЯ	
Э. А. Заалишвили. О локализации ацетилхолинэстеразы в синаптической мембране	713
МИКРОБИОЛОГИЯ И ВИРУСОЛОГИЯ	
* Л. Г. Алекси-Месхишвили. Испытание фунгицидов в клее, применяемом для реставрации рукописей	719
ФИТОПАТОЛОГИЯ	
М. Ш. Гвинепадзе, Н. А. Гваджава. К изучению характера действия некоторых фунгицидов в отношении возбудителя увядания побегов шелковицы	721
ЗООЛОГИЯ	
П. Д. Сагдиева, И. В. Волошина, Е. Н. Смирнов. О взаимоотношениях иксодового клеща <i>Haemaphysalis japonica douglasi</i> Nutt. et Warb. с прокормителями в среднем Сихотэ-Алине	725
ЭКСПЕРИМЕНТАЛЬНАЯ МЕДИЦИНА	
К. И. Узнадзе-Мчедлишвили. Лечение больных, страдающих хронической ишемической болезнью артерии конечности в стадии некроза и гангрены, комплексными мероприятиями с применением рекомендованных смесей	729
М. В. Мшивидобадзе. Аллотрансплантация формализированных костей	733
С. Н. Хечинашвили, Ш. В. Джапаридзе. Слухопротезирование путем экранировки окна улитки пористым эластомером с металлическим включением	737
ПАЛЕОБИОЛОГИЯ	
А. К. Векуа, М. К. Габуния, Н. Б. Клопотовская. К вопросу о датировке петроглифов Патара Храми	741
ПСИХОЛОГИЯ	
М. А. Цискаридзе, Н. Т. Закарая. Особенности установки в зависимости от возраста и пола испытуемых	745
ЯЗЫКОЗНАНИЕ	
Л. Г. Нуцубидзе. Разница в условиях реального употребления глагольного сочетания <i>to have a talk</i> и простого глагола <i>to talk</i>	749
ВОСТОКОВЕДЕНИЕ	
М. Т. Гудава. Об одной грамматике арабского языка из Дагестана	753

CONTENTS*

MATHEMATICS

A. A. Gvaramia.	<i>B₃</i> -loop with the property of isotopy and isomorphism	531
T. L. Shervashidze.	Inequalities for the characteristic function of absolutely continuous distribution	536
L. B. Klebanov, I. A. Melamed.	On the stability of characterization of normal and gamma distributions by the properties of Fisher information	539
B. N. Kimelfeld.	Reductive subgroups of orthogonal groups locally transitive on flag manifolds	544
K. V. Manjgaladze.	On the construction of a precise confidence interval for the function maximum	548
R. Sh. Omanadze.	On the reducibility to the class of recursive enumerable sets	552
I. A. Klipker.	Estimations of the maximum length of the (n, p)-tree	556
G. I. Mirzashvili.	A minimax control problem for a finite markov chain with arbitrary sets of solutions and a small probability of termination	560
T. G. Kipiani.	On the approximation order of functions of several variables by the Fourier-Bessel series	564

ELASTICITY THEORY

R. G. Dikhaminjia.	On the asymptotic distribution of the eigen-functions of the first-boundary value problem of oscillation in the couple-stress theory of elasticity	568
R. D. Bantsuri.	First fundamental problem for piecewise homogeneous orthotropic plane with a cut perpendicular to the line of interface	572

CYBERNETICS

D. I. Bashaleishvili.	Mathematical models of integrating and reducing systems with displacement	576
E. I. Kistauri.	Successive decomposition of Semi-Markov processes with a discrete set of states	579
R. P. Megrelishvili.	Easily decodable, highly efficient, burst-error-correcting codes	583

PHYSICS

Z. Sh. Nadirashvili, J. S. Tsakadze.	Measurement of helium II normal component using the method of oscillating cylinder	588
--------------------------------------	--	-----

* A title marked with an asterisk refers to the summary of the article.



GEOPHYSICS

- G. D. Managadze, A. V. Kudria, V. K. Glonti Interpretation of the gravity anomaly over a finite horizontal general semiellipsoid 592
- L. M. Aichis, O. K. Kondratiev. Analysis of a seismic wave field at the inner points of the medium in Western Georgia 596

GENERAL AND INORGANIC CHEMISTRY

- M. S. Kvernadze, R. I. Machkoshvili, N. I. Pirtskhalaia. Coordination compounds of metal diethionates with capric-acid hydrazide 600
- M. Sh. Abashmadze, N. I. Pirtskhalaia, L. I. Kharitonov, R. I. Machkoshvili. Complex compounds of rare earth elements with caprylic acid hydrazide 604
- M. I. Brodzeli, G. G. Dalakishvili, I. A. Eligulashvili, M. D. Kandekaki, O. E. Modebadze. The effect of electric field and temperature on the switching process in borate-vanadium glasses 608

ORGANIC CHEMISTRY

- Sh. A. Samsonia, I. Sh. Chikvaidze, N. N. Suvorov, I. M. Gverdtsiteli. Bisindoles III. Synthesis of bis-(indolyl-5) methane 612
- Sh. D. Kuprava, G. G. Samsonia, R. Sh. Kldiashvili, N. R. Loladze, I. G. Abesadze, K. M. Lagidze. Synthesis of 3, 4, 7, 8-dibenzo-3', 2"-dimethoxy-2,2,6,6-tetramethylbicyclic (3, 3, 0) Δ^{4*8} -octane 616
- R. V. Chedia, S. K. Pluzhnov, V. I. Smetanyuk, V. A. Kabanov, Kh. I. Areshidze. Gel-like catalytic systems for propylene dimerization 620

PHYSICAL CHEMISTRY

- G. V. Tsitsishvili, L. K. Kvartialiani, D. S. Chipashvili. A thermographic study of carbon adsorbents obtained from industrial furfural alcohol resins 624

CHEMICAL TECHNOLOGY

- P. A. Yavich. The feasibility of using ion-exchange resins for the purification of solutions containing triterpenoid saponins 628

GEOLOGY

- N. Sh. Salukvadze, E. A. Tsagareli. A contribution to the stratigraphy of the upper eocene of Lechkhumi 631

PETROLOGY

- M. T. Tkemaladze. On the magmatic rock formations in the area of madneuli, lower Bolnisi and Tsiteli Sopeli deposits 636

GEOCHEMISTRY

- G. G. Jincharadze, M. D. Seperteladze. Study of sulphide equilibrium in the Gagra mineral water

640

STRUCTURAL MECHANICS

- An. A. Losaberidze, D. P. Giorgadze. Matrix form of arch dam design by the finite bands method

644

- T. D. Sikharulidze. Multiwave-in-both-directions roofing with circular orifice

648

- N. P. Bulia. General solution of differential elliptic-type equations of sloping elastic shells

652

EXPLOITATION OF DEPOSITS AND CONCENTRATION

- A. G. Jvarsheishvili, A. A. Tsai, D. V. Bakradze. Investigation of the effect of screw winding on the flow structure in a pipeline

656

- L. I. Makharadze. On the effect of a transitional throttling branch pipe on the operation efficiency of air-hydraulic accumulators

660

METALLURGY

- A. Z. Kandelaki, G. G. Gvelesiani, V. G. Rtskhiladze, T. D. Abashidze, G. G. Gegiadze, I. G. Tkachenko. Growth of single crystals of CoO in a D. C. electric arc and their investigation

664

MACHINE BUILDING SCIENCE

- A. P. Vashalomidze. Comparative indices of metal- and power saturation of various types of terraces

668

- M. D. Asatiani, Z. S. Tavartkiladze, R. I. Tsereteli. The possibilities of optimization of the cutting conditions on nc milling machines

672

ELECTROTECHNICS

- G. V. Vadachkoria. Rated voltage of the primary winding of the transformer used in parametric current source circuits

676

AUTOMATIC CONTROL AND COMPUTER ENGINEERING

- K. Y. Kotlyarenko. On the acceleration of the process of the use of electronic circuit computation programmes

680

SOIL SCIENCE

- T. F. Urushadze, N. L. Beruchashvili. Characteristics of the study of soils as components of mountain-forest biogeocoenoses

684

BOTANY

- V. Kh. Guimagarashvili. New species of aphyllophorales for Georgia 686
 G. S. Kikava, N. V. Chikovani. The moss synusiae in rhododendron brushes 691

HUMAN AND ANIMAL PHYSIOLOGY

- N. P. Mitagvaria, T. E. Adamia, K. D. Lataria. Cerebral blood flow dynamics under amnesia induced by injection of amyzil and scopo amine 696
 D. S. Danelia, D. V. Gogiashvili. The effect of cholinomimetics on the snail heart contractions 699
 J. M. Metreveli. Spontaneous bloelectric activity of female rabbit oviducts in the period of sexual quiescence 704
 I. D. Gedevanishvili, T. I. Iosebidze. The characteristics and some effector mechanisms of heat hyperemia in the postcapillary section of the helix of the white mouse 708
 Sh. D. Chikvashvili, N. T. Oniani, I. Sh. Kvavilashvili. Relative permeability of the membrane to Na^+ and K^+ ions and the membrane potential on the frog embryo 712

BIOCHEMISTRY

- E. A. Zaalishvili. On the localization of acetylcholinesterase in synaptic membranes 715

MICROBIOLOGY AND VIROLOGY

- L. G. Aleksimeskhishvili. Testing of fungicides in paste used in manuscript restoration 719

PHYTOPATHOLOGY

- M. Sh. Gvinepadze, N. A. Gvajava. On the study of the character of action of some fungicides against the causative agent of mulberry tree shoot blighting 724

ZOOLOGY

- P. D. Sagdieva, I. V. Voloshina, E. N. Smirnov. Interrelation of ixodid tick *haemaphysalis japonica* douglasi nutt. et warb. with hosts in middle Sik-hote-alin 728

EXPERIMENTAL MEDICINE

- K. I. Uznadze-Mchedlishvili. Treatment of patients with chronic ischemic disease of extremity arteries in the necrosis and gangrene stage by means of complex measures using recommended mixtures and ointments 732
 M. V. Mshvidobadze. Allotransplantation of formalinized bones 736
 S. N. Khechinashvili, Sh. V. Japaridze. Hearing aid consisting of porous elastomer with metallic insert for screening the round window 740

PALAEOBIOLOGY

- A. K. Vekua, M. K. Gabunia, N. B. Klopotovskaya. On the dating of the petroglyphs of Patara Khrami

744

PSYCHOLOGY

- M. A. Tsiskaridze, N. T. Zakariaia. Characteristics of set depending on age and sex

748

LINGUISTICS

- I. G. Nutsubidze. Conditions for the actual use of the verbal collocation „to have a talk“ as compared to the corresponding simple verb „to talk“

752

ORIENTAL STUDIES

- M. T. Gudava. A grammar of the arabic language from Daghestan

756



МАТЕМАТИКА

А. А. ГВАРАМИЯ

B_3 -ЛУПА, ОБЛАДАЮЩАЯ СВОЙСТВОМ ИЗОТОПИИ-ИЗОМОРФИЗМА

(Представлено академиком Г. С. Чогошвили 5.5.1978)

Известно, что в квазигруппе, координатизирующей 3-сеть, тогда и только тогда выполняется третье условие замыкания Бола ($x_1 y_2 = x_2 y_1$, $x_1 y_4 = x_2 y_3 = x_3 y_2 = x_4 y_1 \Rightarrow x_3 y_4 = x_4 y_3$), когда она изотопна лупе с тождеством $x(yz \setminus x) = (x/z)(y \setminus x)$ (здесь $xy = z \sim x = z/y \sim y = x \setminus z$), называемой B_3 -лупой. Лупа обладает свойством изотопии-изоморфизма, если любая лупа изотопная этой лупе, ей изоморфна. В [1] доказано, что свойства левой обратимости ($x^{-1} \cdot xy = y$, $x \cdot x^{-1} = 1$), ослабленной обратимости $((xy)^{-1} \cdot x = y^{-1})$, скрещенной обратимости $(xy \cdot x^{-1} = y)$, левой альтернативности $(xx \cdot y = x \cdot xy)$ являются достаточными условиями муфанговости B_3 -лупы (лупа, в которой выполняется тождество $x(yz \cdot x) = xy \cdot zx$, называется лупой Муфанг). Возникает вопрос, не является ли свойство изотопии-изоморфизма также достаточным условием муфанговости B_3 -лупы. Построенный ниже пример показывает, что это не так. Для луп Бола (с тождеством $x(yz \cdot y) = (xy \cdot z)y$) эта задача решена в [2].

Пусть R —неассоциативное, альтернативное кольцо с делением, не имеющее характеристику два, $Q = R \times R \times R \times R \times R$, и пусть $x = (a_1, b_1, c_1, d_1, e_1)$, $y = (a_2, b_2, c_2, d_2, e_2)$ —элементы из Q .

Определим на Q следующие бинарные операции:

$$x \cdot y = (a_1 + a_2, b_1 + b_2, c_1 + c_2 + a_2 b_1, d_1 + d_2 + b_2 b_1,$$

$$e_1 + e_2 - a_1 b_2^2 + a_1 d_2 - a_2 \cdot b_1 b_2 + a_2 b_1 \cdot b_2 +$$

$$+ a_2 d_1 + c_2 b_1);$$

$$x \setminus y = (a_2 - a_1, b_2 - b_1, c_2 - c_1 + a_1 b_1 - a_2 b_1,$$

$$d_2 - d_1 + b_1^2 - b_2 b_1, e_2 - e_1 - 2(a_1 \cdot b_1 b_2) - a_1 b_1^2 + a_1 b_1 \cdot b_2 +$$



$$+ a_1 b_2^2 + 2(a_1 d_1) - a_1 d_2 + a_2 \cdot b_1 b_2 - a_2 b_1 \cdot b_2 + a_2 b_1^2 - \\ - a_2 d_1 + c_1 b_1 - c_2 b_1);$$

$$x \swarrow y = (a_1 - a_2, b_1 - b_2, c_1 - c_2 - a_2 b_1 + a_2 b_2, \\ d_1 - d_2 - b_2 b_1 + b_2^2, e_1 - e_2 + a_1 b_2^2 - a_1 d_2 - \\ - 2(a_2 b_2^2) + a_2 b_2 \cdot b_1 - a_2 d_1 + 2(a_2 d_2) - \\ - c_2 b_1 + c_2 b_2).$$

Имеют место следующие предложения.

1. $Q(\cdot, \setminus, \swarrow)$ есть B_3 -лупа. Единицей этой лупы служит $1 = (0, 0, 0, 0, 0)$, а обратные элементы определяются равенством

$$(a, b, c, d, e)^{-1} = (-a, -b, -c + ab, -d + b^2, \\ -e + ad - ab^2 + cb)$$

(в B_3 -лупе левые и правые обратные элементы совпадают).

2. Лупа $Q(\cdot, \setminus, \swarrow)$ не является лупой Муфанг.

Это следует, в частности, из того, что в $Q(\cdot, \setminus, \swarrow)$ не выполняется закон эластичности $xy \cdot x = x \cdot yx$, который имеет место в лупе Муфанг.

Непосредственная проверка показывает, что в построенной B_3 -лупе выполняется тождество $x(xy)^{-1} = (xz)(x \cdot yz)^{-1}$, а потому, на основании теоремы Вильсона [3], справедливо

3. B_3 -Лупа $Q(\cdot, \setminus, \swarrow)$ обладает свойством изотопии-изоморфизма.

Грузинский институт субтропического
хозяйства

(Поступило 12.5.1978)

გათიქმაზის

ა. გვარაშვილი

იზოტოპია-იზომორფიზმის თვისების მფრინავ B_3 -ლუპა

რეზიუმე

აგებულია იზოტოპია-იზომორფიზმის მქონე B_3 -ლუპის მაგალითი, რომელიც არ წარმოადგენს მუფანგის ლუპას.

A. A. GVARAMIA

B_3 -LOOP WITH THE PROPERTY OF ISOTOPY AND
ISOMORPHISM

Summary

An example of B_3 -loop with the property of isotopy and isomorphism, which is not a Moufang loop, is constructed.

ԸՆԹԱՑՄԱՆ — ЛИТЕРАТУРА — REFERENCES

1. A. A. Гварамия. Уч. зап. МГПИ им. В. И. Ленина, 1971, 375, 25—34.
2. D. A. Robinson. Proc. Amer. Math. Soc., 1968, 19, № 3, 671-672.
3. E. L. Wilson. Canad. J. Math., 1966, 18, № 3, 587-592.

15.9.05



МАТЕМАТИКА

Т. Л. ШЕРВАШИДЗЕ

НЕРАВЕНСТВА ДЛЯ ХАРАКТЕРИСТИЧЕСКОЙ ФУНКЦИИ
АБСОЛЮТНО НЕПРЕРЫВНОГО РАСПРЕДЕЛЕНИЯ

(Представлено членом-корреспондентом Академии Б. В. Хведелидзе 17.4.1978)

1. Пусть $p(x)$ — плотность распределения k -мерного случайного вектора X , а \mathfrak{M} — конечная или счетная система попарно непересекающихся ограниченных борелевских подмножеств Δ_i пространства R^k и положительных чисел A_i . Обозначим $f(t)$ характеристическую функцию (х. ф.) X , $I(\Delta)$ — индикатор множества Δ ,

$$S_{c,L} = \{x : |x - c| \leq L\}, \quad V_k = \int I(S_{0,1}) dx = \pi^{k/2} / \Gamma(k/2 + 1), \quad (1)$$

$$\tilde{p}(x) = p(x) * p(-x), \quad \tilde{p}_i(x) = \min(\tilde{p}(x), A_i) I(\Delta_i),$$

$$\tilde{p}_i = \int \tilde{p}_i(x) dx, \quad i \geq 1, \quad (2)$$

$$L_\Delta = \inf_{c \in R^k} \sup_{x \in \Delta} |x - c|, \quad L_i = L_{\Delta_i}, \quad i \geq 1. \quad (3)$$

Имеет место следующее обобщение неравенства В. А. Статуля-ви чуса [1].

Неравенство 1.

$$|f(t)| \leq 1 - |t|^2 (12V_{k-1}^2)^{-1} \sum_{i=1}^{\infty} \tilde{p}_i^2 / A_i^2 (L_i |t| + \pi)^2 L_i^{2(k-1)}. \quad (4)$$

Доказательству (4) предпошлем две леммы.

Лемма 1. Если случайная величина Y имеет плотность, ограниченную числом A , то для любого a

$$\mathbf{E} [(Y - a)^2 | Y \in \Delta] \geq [\mathbf{P}\{Y \in \Delta\}]^2 / 12 A^2.$$

Лемма 2. Если k -мерный случайный вектор Z имеет плотность $q(x) \leq A$, равную нулю вне некоторого ограниченного борелевского множества Δ , то плотность проекции $Y = (e, Z)$, где e — единичный вектор, равна нулю вне некоторого интервала длины $2L_\Delta$ и не превосходит $AV_{k-1}L_\Delta^{k-1}$.

Первая лемма — очевидное следствие экстремальных свойств моментов равномерного распределения, а для доказательства второй без ограничения общности положим $\Delta \subset S_{0,L}$, где $L = L_\Delta$, и заметим, что

$$\frac{d}{dy} \mathbf{P}\{Y < y\} = \frac{d}{dy} \left[\int_{(e, x) < y} q(x) dx \right] = \frac{d}{dy} \left[\int_{-L}^y dz_1 \int_{z_1^2 + \dots + z_k^2 < L^2 - z_1^2} \dots \int q(C^{-1}z) dz_2, \dots, dz_k \right]$$

(здесь мы совершили поворот осей ортогональным преобразованием $z = Cx$ так, чтобы $z_1 = (e, x)$).



Поскольку $|\sin \pi\alpha| \geq 2 \langle \alpha \rangle = 2 \min_{j \in I} |\alpha - j|$, где I — множество целых

чисел, и $\tilde{p}(x) \geq \sum_{i=1}^{\infty} \tilde{p}_i(x)$, то $|f(2\pi t)|^2 \leq 1 - 8 \sum_{i=1}^{\infty} \mathbf{E} \langle (t, X_i) \rangle^2$,

где X_i — случайный вектор с плотностью $\tilde{p}_i(x)/\tilde{p}_i \leq A_i/\tilde{p}_i$. Пусть здесь и ниже $e = |t|^{-1}t$ при фиксированном $t \neq 0$. По лемме 2 плотность случайной величины $Y = (e, X_i)$ равна нулю вне некоторого интервала δ длины $2L_i$ и не превосходит $A_i V_{k-1} L_i^{k-1}/\tilde{p}_i$. Для всякого $j \in I$ обозначим δ_j пересечение δ с интервалом длины $1/|t|$ с центром в точке $j/|t|$ и $q_j = \mathbf{P}\{Y \in \delta_j\}$. Так как $\sum q_j = 1$, причем количество ненулевых среди q_j не превосходит $2L_i/|t| + 1$, то, используя лемму 1 и неравенство Гельдера, имеем

$$\begin{aligned} \mathbf{E} \langle (t, X_i) \rangle^2 &= \mathbf{E} \langle |t| Y \rangle^2 = |t|^2 \mathbf{E} \min_{j \in I} (Y - j/|t|)^2 = \\ &= |t|^2 \sum_{j \in I} q_j \mathbf{E} [(Y - j/|t|)^2 | Y \in \delta_j] \geq \frac{|t|^2}{12} \tilde{p}_i^2 (A_i V_{k-1} L_i^{k-1})^{-2} \sum_{j \in I} q_j^3 \geq \\ &\geq |t|^2 (12 V_{k-1}^2)^{-1} \tilde{p}_i^2 / A_i^3 (2L_i/|t| + 1)^2 L_i^{2(k-1)}. \end{aligned}$$

Для получения (4) остается заменить t на $(2\pi)^{-1}t$ и учесть, что $\sqrt{1-\alpha} \leq 1 - \alpha/2$ при $|\alpha| \leq 1$.

В случае, когда Δ_i — параллелепипед, $i \geq 1$, в [2] доказано аналогичное неравенство, улучшенный вариант которого (перед знаком суммы появляется множитель $4^{k-1}/V_{k-1}^2$, стремящийся к ∞ при $k \rightarrow \infty$) следует из (4).

2. Отметим некоторые следствия из неравенства 1.

Неравенство 2. Если случайный вектор X имеет плотность $p(x) \leq A$ и $X \in S_{c,L}$, с вероятностью 1, то

$$|f(t)| \leq 1 - |t|^2 / 3 \cdot 2^{2k} V_{k-1}^2 A^2 (2L/|t| + \pi)^2 L^{2(k-1)}.$$

Для доказательства следует применить (4) при $\mathfrak{M} = \{\Delta_1, A_1\}$, где $\Delta_1 = S_{0,2L}$, $A_1 = A$, $\tilde{p}_1 = 1$.

Неравенство 3. Если случайный вектор X имеет плотность $p(x) \leq A$ и $\sigma^2 = \mathbf{E}|X - \mathbf{E}X|^2$, то (ср. с [2])

$$|f(t)| \leq 1 - |t|^2 / 24 \cdot 2^{2k} V_{k-1}^2 (2\sigma/|t| + \pi)^2 \sigma^{2(k-1)}.$$

Чтобы получить это неравенство, в (4) положим $\Delta_1 = S_{0,2\sigma}$, $A_1 = A$. По неравенству Чебышева $\tilde{p}_1 \geq 1/2$.

Неравенство 4. Если случайный вектор X имеет плотность $p(x) \leq A$ и $D = \mathbf{E}(X - \mathbf{E}X)(X - \mathbf{E}X)'$, то (ср. с [3])

$$|f(t)| \leq 1 - t'Dt / 24 \cdot 2^{2k} k^{k-1} V_{k-1}^2 A^2 (2\sqrt{k\sigma^2 Dt} + \pi)^2 |D|.$$

Для доказательства воспользуемся неравенством 3 для х. ф. $g(t)$ случайного вектора $Z = D^{-1/2} X$, плотность которого не превосходит $A|D|^{1/2}$, $\mathbf{E}|Z - \mathbf{E}Z|^2 = k$, и учтем, что $f(t) = g((D^{1/2})'t)$.

3. По существу представленное доказательство неравенства 1 сводит многомерный случай к одномерному и его можно рассматривать как модификацию доказательства из [1]. В этой связи уместно проде-

монстрировать другой способ получения неравенств типа (4), использующий одно следствие из неравенства В. А. Статулявичуса — неравенство 2 при $k=1$.

Обозначим $g(\tau)$, $\tau \in R^1$, х. ф. случайной величины $Y = (e, X)$. В условиях неравенства 2 плотность Y по лемме 2 не превосходит $AV_{k-1}L^{k-1}$ и равна нулю вне интервала длины $2L$. Поскольку $f(t) = g(|t|)$, то применяв к $g(|t|)$ неравенство 2 при $k=1$, получаем

Неравенство 5. В условиях неравенства 2

$$|f(t)| \leq 1 - |t|^2 (12V_{k-1}^2)^{-1} / A^2 (2L|t| + \pi)^2 L^{2(k-1)}.$$

Введем теперь обозначения

$$p_i(x) = \min(p(x), A_i) I(\Delta_i), \quad p_i = \int p_i(x) dx, \quad p_i^0(x) = p_i(x) / p_i, \quad i \geq 1,$$

$$p_0(x) = p(x) - \sum_{i=1}^{\infty} p_i(x), \quad p_0 = 1 - \sum_{i=1}^{\infty} p_i, \quad p_0^0(x) = p_0(x) / p_0.$$

$$\text{Т. к. } p(x) = \sum_{i=0}^{\infty} p_i p_i^0(x), \text{ то } |f(t)| \leq p_0 + \sum_{i=1}^{\infty} p_i |f_i(t)|,$$

где $f_i(t)$ — х. ф. плотности $p_i^0(x)$, ограниченной числом A_i/p_i . Оценивая $f_i(t)$ по неравенству 5, получаем

Неравенство 6. В условиях неравенства 1

$$|f(t)| \leq 1 - |t|^2 (12V_{k-1}^2)^{-1} \sum_{i=1}^{\infty} p_i^3 / A_i^2 (2L_i|t| + \pi)^2 L_i^{2(k-1)}. \quad (5)$$

Применение (5) к х. ф. $|f(t)|^2$ плотности $\tilde{p}(x)$ приводит к следующему аналогу неравенства 1.

Неравенство 7. В условиях неравенства 1

$$|f(t)| \leq 1 - |t|^2 (24V_{k-1}^2)^{-1} \sum_{i=1}^{\infty} \tilde{p}_i^3 / A_i^2 (2L_i|t| + \pi)^2 L_i^{2(k-1)}.$$

4. Следующее неравенство, являющееся многомерным аналогом неравенства Ю. В. Прохорова [4], вытекает из неравенства 5.

Неравенство 8. В условиях неравенства 2

$$\sup_{|t| \geq \pi/L} |f(t)| \leq 1 - (108V_{k-1}^2)^{-1} (A^2 L^{2k})^{-1}.$$

Справедливо также

Неравенство 9. В условиях неравенства 3 (см. [5] при $k=1$)

$$\sup_{|t| \geq \pi/\sigma} |f(t)| \leq 1 - (216 \cdot 2^{2k} V_{k-1}^2)^{-1} (A^2 \sigma^{2k})^{-1}. \quad (6)$$

Разумеется, неравенства типа (6) можно вывести и из (5). Действительно, поскольку в условиях леммы 3 $p(x) \leq A$, то полагая $\Delta_1 = S_{EX, m\sigma}$, $A_1 = A$, и имея в виду, что $p_1 = P\{|X - EX| \leq m\sigma\} \geq 1 - m^{-2}$, из (5) получаем неравенство



$$\sup_{|t| \geq \pi/m} |f(t)| \leq 1 - (108V_{k-1}^2)^{-1} (1-m^{-2})^3 m^{-2k} (A^2 \sigma^{2k})^{-1},$$

правая часть которого минимальна при $m = [(k+3)/k]^{1/2}$. Т. е. справедливо
Неравенство 10. В условиях неравенства 3

$$\sup_{|t| \geq \pi/\sigma} |f(t)| \leq 1 - k^k (4V_{k-1}^2 (k+3)^{k+3})^{-1} (A^2 \sigma^{2k})^{-1}.$$

При $k \geq 2$ здесь константа больше, чем в (6).

В многомерном случае неравенства, подобные неравенствам 8—10, рассматривались ранее в [6, 7].

Академия наук Грузинской ССР

Институт экономики и права

(Поступило 20.4.1978)

გათიშვარის

თ. შერვაშიძე

უმოლობანი აგსერლუტურაზ უფყველი განაზილების
მახასიათებელი ცუნდცისათვის

რეზიუმე

თუ Δ_i , $i \geq 1$ R^k -ს წყვილ-წყვილად თანაუკვეთი შემოსაზღვრული ბორელის ქვესიმრავლებია და A_i , $i \geq 1$ — დადებითი რიცხვები, მაშინ $p(x)$ სიმკვრივის მქონე $X \in R^k$, შემთხვევითი ვექტორის $f(t)$ მახასიათებელი ფუნქციისათვის მიღებულია (4) უტოლობა (1)—(3) ტერმინებში. განხილულია (4)-თან დაკავშირებული სხვა უტოლობებიც.

MATHEMATICS

T. L. SHERVASHIDZE

INEQUALITIES FOR THE CHARACTERISTIC FUNCTION OF ABSOLUTELY CONTINUOUS DISTRIBUTION

Summary

If Δ_i , $i \geq 1$ are mutually disjoint bounded Borel subsets of R^k and A_i , $i \geq 1$ are positive numbers, then for the characteristic function $f(t)$ of the random vector $X \in R^k$ having the density $p(x)$ the inequality (4) in terms of (1)—(3) is obtained. Other inequalities connected with (4) are also discussed.

ლიტერატურა — ЛИТЕРАТУРА — REFERENCES

1. В. А. Статуляевич. Теория вероят. и ее примен., X, № 4, 1965, 645—659.
2. Р. Лапинская. Лит. матем. сб., X I, № 4, 1971, 817—831.
3. А. Бикялис. Лит. матем. сб., X, № I, 1970, 5—12.
4. Ю. В. Прохоров, Ю. А. Розанов. Теория вероятностей. М., 1967.
5. П. Сурвила. Лит. матем. сб., III, № 1, 1963, 225—236.
6. Т. Л. Шервашидзе, Л. И. Саулис. Сообщения АН ГССР, 60, № 3, 1970, 533—536.
7. Т. Л. Шервашидзе. Канд. дисс., 1972.

Л. Б. КЛЕБАНОВ, И. А. МЕЛАМЕД

ОБ УСТОЙЧИВОСТИ ХАРАКТЕРИЗАЦИИ НОРМАЛЬНОГО И ГАММА-РАСПРЕДЕЛЕНИЙ СВОЙСТВАМИ ФИШЕРОВСКОЙ ИНФОРМАЦИИ

(Представлено членом-корреспондентом Академии Б. В. Хведелидзе 19.5.1978)

Пусть $\mathfrak{F} = \mathfrak{F}(a, \alpha_2)$ —класс вероятностных плотностей $p(x)$, удовлетворяющих условиям

$$1) \quad J_1 = -\frac{p'(x)}{p(x)} \in L_p^2, \quad J_2 = -\left(1 + x \frac{p'(x)}{p(x)}\right) \in L_p^2,$$

$$2) \quad \int_{-\infty}^{\infty} xp(x) dx = 0, \quad \int_{-\infty}^{\infty} x^2 p(x) dx = \alpha_2 < \infty,$$

$$3) \quad \frac{I_{12}}{I_{22}} = a, \quad \text{где } I_{ij} = \int_{-\infty}^{\infty} J_i J_j p(x) dx, \quad i, j = 1, 2.$$

Положим

$$\widetilde{J}_1 = J_1 - \widehat{E}(J_1|J_2), \quad \widetilde{J}_2 = J_2 - \widehat{E}(J_2|J_1),$$

где \widehat{E} —условное математическое ожидание в широком смысле.

Величина $\|\widetilde{J}_1\|^2$ имеет смысл фишеровской информации о параметре сдвига θ при наличии мешающего параметра масштаба σ , содержащейся в наблюдении над совокупностью $\frac{1}{\sigma} p\left(\frac{x-\theta}{\sigma}\right)$, $\theta \in R^1$, $\sigma \in R_+^1$ (см. [1]).

Аналогично, $\|\widetilde{J}_2\|^2$ имеет смысл фишеровской информации о параметре масштаба σ при наличии мешающего параметра сдвига θ .

Обозначим через $M_j \subset L_p^2$ подпространство полиномов от x степени $\leqslant j$ и положим

$$J_i^{(j)} = \widehat{E}(J_i|M_j), \quad \widetilde{J}_1^{(j)} = J_1^{(j)} - \widehat{E}(J_1^{(j)}|J_2^{(j)}), \quad \widetilde{J}_2^{(j)} = J_2^{(j)} - \widehat{E}(J_2^{(j)}|J_1^{(j)}).$$

Об информационном смысле величин $\|\widetilde{J}_i^{(j)}\|^2$ см. [2].

Пусть $p_1(x)$ и $p_2(x)$ —две плотности распределения. Как известно, расстояние по вариации между p_1 и p_2 может быть определено равенством

$$p_1(p_1, p_2) = \frac{1}{2} \int_{-\infty}^{\infty} |p_1(x) - p_2(x)| dx.$$



Теорема 1. Пусть $\tilde{\mathfrak{F}}_e = \{p \mid p \in \tilde{\mathfrak{F}}, \|\tilde{J}_1\|^2 - \|\tilde{J}^{(1)}\|^2 < \varepsilon^2 (\varepsilon > 0)\}$. Тогда существуют постоянные $C_1(a, \alpha_2)$ и $C_2(a, \alpha_2)$, зависящие только от a и α_2 и такие, что

$$C_1(a, \alpha_2) \varepsilon \leq \sup_{p \in \tilde{\mathfrak{F}}_e} \rho_1(p, q) \leq C_2(a, \alpha_2) \varepsilon.$$

Здесь плотность $q(x)$ имеет вид

$$\begin{aligned} q(x) &= \frac{1}{\sqrt{2\pi\alpha_2}} \exp\left\{-\frac{x^2}{2\alpha_2}\right\}, \quad \text{если } a = 0, \\ q(x) &= \begin{cases} \frac{1}{\gamma^s \Gamma(s)} [-(x - \gamma s)]^{s-1} \exp\left\{\frac{x - \gamma s}{\gamma}\right\}, & x \leq \gamma s, \\ 0 & x \geq \gamma s, \end{cases} \quad \text{если } a > 0, \\ q(x) &= \begin{cases} \frac{1}{(-\gamma)^s \Gamma(s)} (x - \gamma s)^{s-1} \exp\left\{\frac{x - \gamma s}{\gamma}\right\}, & x \geq \gamma s, \\ 0 & x \leq \gamma s, \end{cases} \quad \text{если } a < 0, \\ s &= \frac{1}{a^2 \alpha_2}, \quad \gamma = a \alpha_2. \end{aligned}$$

Пусть $\widehat{\mathfrak{F}} = \widehat{\mathfrak{F}}(\alpha_1, \alpha_2)$ — класс плотностей под условием 1) и, кроме того,

$$\int_{-\infty}^{\infty} xp(x) dx = \alpha_1, \quad \int_{-\infty}^{\infty} x^2 p(x) dx = \alpha_2 < \infty.$$

Теорема 2. Пусть $\widehat{\mathfrak{F}}_e = \{p \mid p \in \widehat{\mathfrak{F}}, \|J_2\|^2 - \|J^{(2)}\|^2 < \varepsilon^2 (\varepsilon > 0)\}$, a и $g(x)$ — плотность положительного (при $\alpha_1 > 0$) или отрицательного (при $\alpha_1 < 0$) гамма-распределения. Тогда существуют постоянные $C_1(\alpha_1, \alpha_2)$ и $C_2(\alpha_1, \alpha_2)$, зависящие только от α_1 и α_2 и такие, что

$$C_1(\alpha_1, \alpha_2) \varepsilon \leq \sup_{p \in \widehat{\mathfrak{F}}_e} \rho_1(p, g) \leq C_2(\alpha_1, \alpha_2) \varepsilon.$$

Отметим, что теоремы 1 и 2 улучшают соответствующие результаты работы [1].

Пусть теперь $\mathfrak{F}' = \mathfrak{F}'(\alpha_2)$ — класс плотностей под условиями 1), 2) и

$$\int_{-\infty}^{\infty} x^4 p(x) dx < \infty.$$

Теорема 3. Пусть $\mathfrak{F}'_e = \{p \mid p \in \mathfrak{F}', \|\tilde{J}_i\|^2 - \|\tilde{J}^{(i)}\|^2 < \varepsilon^2, i = 1, 2 (\varepsilon > 0)\}$. Тогда существуют постоянные $C_1(\alpha_2)$, $C_2(\alpha_2)$, зависящие только от α_2 и такие, что

$$C_1(\alpha_2) \varepsilon \leq \sup_{p \in \mathfrak{F}'_e} \rho_1(p, q) \leq C_2(\alpha_2) \varepsilon,$$

где q — плотность нормального закона со средним нуль и дисперсией α_2 .

ლ. კლებანოვი, ი. მელამედი

ციშერის ინფორმაციის თვისებებით ნორმალური და
გამა-განაწილებების დახასიათების მდგრა-

რეზიუმე

მოცემულია ნორმალური და გამა-განაწილებების დახასიათების მდგრა-
დობის რაოდენობრივი შეფასებები წანაცვლების (მასშტაბის) პარამეტრის შე-
სახებ ფიშერის ინფორმაციული რაოდენობების დამოხვევის თვისებით და მას-
შტაბის (წანაცვლების) ხელშემშლელი პარამეტრის არსებობის შესაბამისი ფი-
შერის ინფორმაციის რაოდენობებით I და, შესაბამისად, II რიგის დაკვირვე-
ბის პოლინომების სივრცეში.

MATHEMATICS

L. B. KLEBANOV, I. A. MELAMED

ON THE STABILITY OF CHARACTERIZATION OF NORMAL AND GAMMA DISTRIBUTIONS BY THE PROPERTIES OF FISHER INFORMATION

S u m m i n g

The paper presents quantitative estimates of the stability of characteriza-
tion of normal and gamma distributions by the properties of coinci-
dence of Fisher information on the translation (scale) parameter in the pres-
ence of the nuisance scale (translation) parameter with the corresponding
Fisher information contained in the spaces of polynomials of observation
degree 1 and, respectively, 2.

ლიტერატურა — ЛИТЕРАТУРА — REFERENCES

1. Л. Б. Клебанов, И. А. Меламед. Сообщения АН ГССР, 79, № 1, 1975.
2. И. А. Меламед. Сообщения АН ГССР, 76, № 2, 1974.

Б. Н. КИМЕЛЬФЕЛЬД

РЕДУКТИВНЫЕ ПОДГРУППЫ ОРТОГОНАЛЬНЫХ ГРУПП,
ЛОКАЛЬНО ТРАНЗИТИВНЫЕ НА ФЛАГОВЫХ
МНОГООБРАЗИЯХ

(Представлено академиком Г. С. Чогошвили 24.5.1978)

Данная работа является продолжением исследований, начатых в [1], в которой перечислены все связанные редуктивные комплексные подгруппы комплексных ортогональных групп, действующие локально транзитивно на квадриках.

Пусть V — n -мерное комплексное векторное пространство, снабженное невырожденной симметрической билинейной формой $\langle \cdot, \cdot \rangle$, и $L = SO(V)$ —соответствующая специальная ортогональная группа. Обозначим через $Q_k = Q_k(V)$ многообразие всех k -мерных вполне изотропных подпространств в V . (В частности, Q_1 —квадрика.) Группа L естественным образом действует на Q_k . Если $n \neq 2k$, то многообразие Q_k связно и группа L действует на нем транзитивно.

Многообразие $Q_{n/2}$ (при четном n) состоит из двух компонент связности, каждая из которых является орбитой группы L . Если через P_k обозначить максимальную параболическую подгруппу в L , соответствующую k -му простому корню, то $Q_k = L/P_k$ при $k \neq \frac{n}{2} - 1, \frac{n}{2}$, а $Q_{n/2-1} = L/(P_{n/2-1} \cap P_{n/2})$ и $Q_{n/2} = (L/P_{n/2-1}) \cup (L/P_{n/2})$.

Настоящая работа посвящена классификации связанных редуктивных комплексных подгрупп $G \subset L$, действующих локально транзитивно на многообразиях Q_k . Полный список таких подгрупп, действующих неприводимо в V , приведен в [2] (приложение 2). Поэтому в данной заметке мы ограничимся случаем, когда группа G приводима в V . При этом возможны следующие два случая.

I. Группа G слабо приводима в V , то есть всякое собственное G -инвариантное подпространство изотропно.

II. Группа G сильно приводима в V , то есть сохраняет некоторое собственное неизотропное подпространство.

В слабо приводимом случае (так же как и в неприводимом [2]) мы получили окончательный ответ при всех k в виде явного списка подгрупп $G \subset L$, локально транзитивных на Q_k (см. ниже, теорема 1).

В сильно приводимом случае теорема 2 позволяет получать такие списки индукцией по k . Такие списки явно получены в [1] при $k=1$ и в настоящей работе при $k=2$ (теоремы 3 и 4).

Всюду дальше малыми готическими буквами обозначаются алгебры Ли групп, обозначенных соответствующими заглавными латински-



ми буквами. Неприводимые представления обозначаются так же, как в [1]. Через W^\perp обозначается ортогональное дополнение (в смысле формы $\langle \cdot, \cdot \rangle$) к подпространству $W \subset V$, а через $Gr_m(W)$ — гравссманово многообразие m -мерных подпространств в W .

Теорема 1. Если подалгебра $\mathfrak{g} \subset \mathfrak{l}$ слабо приводима в V , то 1) $V = V_1 + V_2$, где V_1 и V_2 — вполне изотропные инвариантные и неприводимые относительно \mathfrak{g} подпространства в V ; 2) действие алгебры Ли \mathfrak{g} в V_2 контраградиентно ее действию в V_1 . Если имеют место свойства 1) и 2) и алгебра Ли \mathfrak{g} действует локально транзитивно на $Q_k(V)$ при $k \geq 2$, то ее действие в V_1 или в V_2 описывается одним из представлений таблицы 1.

Таблица 1

\mathfrak{g}	Представление	k
$A_{2s-1}, s \geq 1$	$R(\varphi_1)$	$2, 3, \dots, 2s^{(1)}$
$A_{2s}, s \geq 1$	$R(\varphi_1)$	$2, 3, \dots, (2s+1)^{(2)}$
$A_s \oplus T_1, s \geq 1$	$R(\varphi_1) \times \varepsilon$	$2, 3, \dots, (s+1)^{(2)}$
$A_1 \oplus T_1,$	$R(2\varphi_1) \times \varepsilon$	$3^{(2)}$
C_2	$R(\varphi_1)$	3
$C_2 \oplus T_1$	$R(\varphi_1) \times \varepsilon$	$3, 4^{(1)}$

В случае, когда $k = \frac{n}{2}$, значок ⁽²⁾ в столбце „ k “ таблицы 1 означает, что алгебра Ли \mathfrak{g} действует локально транзитивно на обеих компонентах связности многообразия $Q_{n/2}$, а значок ⁽¹⁾ означает, что \mathfrak{g} локально транзитивна только на одной компоненте связности этого многообразия.

Предположим теперь, что подалгебра $\mathfrak{g} \subset \mathfrak{l}$ сохраняет неизотропное собственное подпространство $W_1 \subset V$. Положим $W_2 = W_1^\perp$ и $d_i = \dim W_i$ ($i = 1, 2$). При этом можно считать, что $d_1 \leq d_2$.

Пусть $k' = \max(k - d_1, 0)$.

Теорема 2. Для того чтобы сильно приводимая подалгебра $\mathfrak{g} \subset \mathfrak{l}$ действовала локально транзитивно на $Q_k(V)$, необходимо и достаточно выполнение следующих трех условий.

1. Алгебра Ли \mathfrak{g} действует локально транзитивно на $Q_{k'}(W_2)$ (стационарную подалгебру точки общего положения $\Pi' \in Q_{k'}(W_2)$ для этого действия обозначим через \mathfrak{f}' , причем если $k' = 0$, то $\Pi' = \{0\}$ и $\mathfrak{f}' = \mathfrak{g}$).

2. Алгебра Ли \mathfrak{f}' действует локально транзитивно на $Gr_{k-k'}(W_1)$ (стационарную подалгебру точки общего положения $\Pi'' \in Gr_{k-k'}(W_1)$ для этого действия обозначим через \mathfrak{f}'').

3. Алгебра Ли \mathfrak{f}' действует локально транзитивно в пространстве изометрических отображений Π'' в $(\Pi'^\perp \cap W_2)/\Pi'$.

Теорема 3. Если редуктивная сильно приводимая подалгебра $\mathfrak{g} \subset \mathfrak{l}$ действует локально транзитивно на $Q_k(V)$ и $2 \leq k \leq d_1 \leq d_2$, то действие \mathfrak{g} в V содержится среди действий, описанных в таблице 2.

d_1	d_2	k	\mathfrak{g}	Действие \mathfrak{g} в W_1	Действие \mathfrak{g} в W_2
≥ 2	≥ 2	≥ 2	$\mathfrak{so}(d_1) \oplus \mathfrak{so}(d_2)$	простейшее $\times \eta$	$\eta \times$ простейшее
$2s+2 \geq 4$	$\geq 2s+1$	$2s+1, 2s+2$	$A_s \oplus \mathfrak{so}(d_2)$	$(R(\varphi_1) + R(\varphi_s)) \times \eta$	$\eta \times$ простейшее
$2s+2 \geq 4$	$\geq 2s+1$	$2s+1, 2s+2$	$A_s \oplus T_1 \oplus \mathfrak{so}(d_2)$	$(R(\varphi_1) \times \varepsilon + R(\varphi_s) \times \varepsilon^*) \times \eta$	$\eta \times \eta \times$ простейшее
$4s \geq 8$	$\geq 4s-1$	$4s-1, 4s$	$C_s \oplus \mathfrak{so}(d_2)$	$(R(\varphi_1) + R(\varphi_1)) \times \eta$	$\eta \times$ простейшее
$4s \geq 8$	$\geq 4s-1$	$4s-1, 4s$	$C_s \oplus T_1 \oplus \mathfrak{so}(d_2)$	$R(\varphi_1) \times (\varepsilon + \varepsilon^*) \times \eta$	$\eta \times \eta \times$ простейшее
$4s \geq 8$	$\geq 4s-1$	$4s-1, 4s$	$C_s \oplus A_1 \oplus \mathfrak{so}(d_2)$	$R(\varphi_1) \times R(\varphi_1) \times \eta$	$\eta \times \eta \times$ простейшее
16	≥ 15	15, 16	$B_4 \oplus \mathfrak{so}(d_2)$	$R(\varphi_4) \times \eta$	$\eta \times$ простейшее
8	≥ 2	2, 3, 5, 6, 7, 8	$B_3 \oplus \mathfrak{so}(d_2)$	$R(\varphi_3) \times \eta$	$\eta \times$ простейшее
7	≥ 2	2, 5, 6, 7	$G_2 \oplus \mathfrak{so}(d_2)$	$R(\varphi_1) \times \eta$	$\eta \times$ простейшее
4	8	3	$A_1 \oplus B_3$	$(R(\varphi_1) + R(\varphi_1)) \times \eta$	$\eta \times R(\varphi_3)$
4	8	3	$A_1 \oplus T_1 \oplus B_3$	$R(\varphi_1) \times (\varepsilon + \varepsilon^*) \times \eta$	$\eta \times \eta \times R(\varphi_3)$
8	8	2, 3	$B_3 \oplus B_3$	$R(\varphi_3) \times \eta$	$\eta \times R(\varphi_3)$
7	8	2	$G_2 \oplus B_3$	$R(\varphi_1) \times \eta$	$\eta \times R(\varphi_3)$
7	7	2	$G_2 \oplus G_2$	$R(\varphi_1) \times \eta$	$\eta \times R(\varphi_1)$
$s \geq 2$	$\geq s$	s	$\mathfrak{so}(d_2)$	$\eta + \eta + \dots + \eta$	простейшее
2	8	2	B_3	$\eta + \eta$	$R(\varphi_3)$
3	8	3	B_3	$\eta + \eta + \eta$	$R(\varphi_3)$
2	7	2	G_2	$\eta + \eta$	$R(\varphi_1)$

Среди всевозможных наборов (d_1, d_2, k) , указанных в таблице, следует выбрать такие, что $k \leq \min(d_1, d_2)$. В тех случаях, когда $k = d_1 = d_2$, алгебра Ли \mathfrak{g} действует локально транзитивно на обеих компонентах связности многообразия $Q_h(V)$.



Теорема 4. Если редуктивная сильно приводимая подалгебра $\mathfrak{g} \subset \mathfrak{l}$ действует локально транзитивно на $Q_2(V)$ и $d_1 = 1$, то действие \mathfrak{g} в W_2 описывается одним из представлений, перечисленных в таблице 3.

Таблица 3

\mathfrak{g}	Действие \mathfrak{g} в W_2
$\mathfrak{so}(s), s \geq 3$	простейшее
$\mathfrak{so}(s), s \geq 2$	простейшее + η
$C_s \oplus A_1, s \geq 2$	$R(\varphi_1) \times R(\varphi_1)$
B_4	$R(\varphi_4)$
B_3	$R(\varphi_3)$
B_3	$R(\varphi_3) + \eta$
G_2	$R(\varphi_1)$
G_2	$R(\varphi_1) + \eta$

Академия наук СССР
Институт проблем управления

(Поступило 25.5.1978)

БАТАУАХАТЫКА

8. ҚОМДАЛЫҒЫ

МЕТОДЫ ОБНАРУЖЕНИЯ ЗАГРУЗОВЫХ РЕДУКТИВНЫХ АЛГЕБРЫ ИЗОБРАЖЕНИЙ
ЛЮБЫХ ФОРМ
МЕТОДЫ ОБНАРУЖЕНИЯ
ЗАГРУЗОВЫХ РЕДУКТИВНЫХ АЛГЕБРЫ

ҚР Қ 0 0 0 0 0

Задача о том, чтобы найти в группе L все подгруппы, генерируемые в V симметрическими ортогональными группами, для которых локально транзитивно на многообразии $Q_2(V)$. Для этого мы исследуем группу L , состоящую из всех ортогональных преобразований V , которые сохраняют некоторое линейное подпространство U в V и при этом действуют транзитивно на многообразии $Q_2(U)$. Мы показываем, что любая такая подгруппа G имеет вид $G = H \times K$, где H — подгруппа в $SO(n)$, а K — подгруппа в $SO(m)$. Далее мы исследуем группу L , состоящую из всех ортогональных преобразований V , которые сохраняют некоторое линейное подпространство U в V и при этом действуют транзитивно на многообразии $Q_2(U)$. Мы показываем, что любая такая подгруппа G имеет вид $G = H \times K$, где H — подгруппа в $SO(n)$, а K — подгруппа в $SO(m)$.

MATHEMATICS

B. N. KIMELFELD

REDUCTIVE SUBGROUPS OF ORTHOGONAL GROUPS LOCALLY TRANSITIVE ON FLAG MANIFOLDS

Summary

Let L be the group of all orthogonal transformations of a complex Euclidean space V . In this paper all connected reductive complex subgroups in L which act locally transitively on the manifolds of totally isotropic linear subspaces of V are found (see Tables 1-3).

ЛІТЕРАТУРА — REFERENCES

1. Б. Н. Кимельфельд. Сообщения АН ГССР, 81, № 2, 1976, 305—308.
2. Э. Б. Винберг, Б. Н. Кимельфельд. Функ. анализ и его прилож., 12, № 3, 1978.

К. В. МАНДЖГАЛАДЗЕ

К ПОСТРОЕНИЮ ТОЧНОГО ДОВЕРИТЕЛЬНОГО ИНТЕРВАЛА ДЛЯ СТАТИЧЕСКОЙ ОЦЕНКИ МАКСИМУМА ФУНКЦИИ

(Представлено членом-корреспондентом Академии Б. В. Хведелидзе 26.5.1978)

При нахождении точки экстремума методом случайного поиска возникает вопрос оценки точности приближения полученной оценки к истинной [1]. Однако к настоящему времени практически приемлемые методы получения таких оценок недостаточно развиты. В настоящей работе для одной из самых простых схем случайного поиска предлагается способ построения доверительного интервала для эмпирического оптимума.

Пусть функция $f(x)$ обладает точкой максимума x^* .

Пусть точка x^* оценивается на основе сравнения значений функции $f(x)$ в случайных точках (узлах сетки) x_1, x_2, \dots, x_n , являющихся результатами независимых испытаний с плотностью распределения $p(x)$ на R_1 . Тогда, если плотность $p(x)$ положительна в некоторой окрестности точки x^* , то при больших n выборочное максимальное значение функции $f(x)$, т. е. $f_{(n)} = \max_i f(x_i)$ будет по вероятности сходится к точному максимуму $f^* = \max_x f(x) = f(x^*)$, т. е.

$$P\{|f^* - f_{(n)}| > \varepsilon\} \rightarrow 0 \text{ при } n \rightarrow \infty. \quad (1)$$

Соотношение (1) не позволяет получить оценку точности приближения $f_{(n)}$ к f^* . Для нахождения такой оценки допускается дополнительно, что функции $f(x)$ и $p(x)$ обладают ограниченными производными до второго порядка включительно. Тогда при $\varepsilon > 0$ имеет место соотношение

$$\int_{f(x) \geq f^* - \varepsilon} p(x) dx = AV\varepsilon + C_\varepsilon, \quad (2)$$

где

$$A = \frac{2\sqrt{2}p(x^*)}{\sqrt{-f''(x^*)}}, \quad (3)$$

а для C_ε имеем оценку

$$C_\varepsilon \leq 2LA^2\varepsilon. \quad (4)$$

Последнее дает возможность оценить предельное распределение разности $f^* - f_{(n)}$: при $n \rightarrow \infty$

$$P\left\{|f^* - f_{(n)}| > \frac{\varepsilon}{n}\right\} \rightarrow 1 - \exp(-AV\varepsilon). \quad (5)$$



Распределение (5) принадлежит к так называемому третьему типу предельного распределения максимального члена вариационного ряда [2]. Специфика данного случая состоит в том, что имеется распределение $f^* - f_{(n)}$ и выборка $\{x_i\}$ упорядочивается в соответствии с вариационным рядом

$$f_{(1)} \leq f_{(2)} \leq \dots \leq f_{(n)}. \quad (6)$$

Можно показать, что в случае m -мерной выборки предельное распределение будет $1 - \exp(-A\varepsilon^{m/2})$.

Однако для построения доверительного интервала с заданной достоверностью надо знать значение коэффициента A , который также неизвестен и сам требует оценки на основе статистических данных.

Ниже приводимая теорема 1 дает несколько более широкую схему построения доверительного интервала, из которой, в частности, следует оценка для коэффициента A .

Теорема 1. Если $\varepsilon > 0$ и β_i подобраны так, что

$$\prod_{i=m}^{n-1} \frac{1}{1 + \beta_i \varepsilon} = \delta, \quad \delta > 0 \quad \text{и} \quad \frac{m}{n} \rightarrow 0 \quad \text{при} \quad n \rightarrow \infty,$$

то

$$P \left\{ (f - f_{(n)})^{1/2} \geq \varepsilon \sum_{i=m}^{n-1} \alpha_i (f^* - f_{(i)})^{1/2} \right\} \rightarrow \delta, \quad (7)$$

где α_i связаны с параметрами β_i соотношением

$$\beta_i = \frac{1}{1 - \varepsilon \sum_{j=m}^i \alpha_j} \sum_{j=m}^i \alpha_j. \quad (8)$$

Доказательство основывается на том, что из соотношения (2) при больших n и m можно получить приближенное равенство для вероятностей

$$P \left\{ \sqrt{f^* - f_{(n)}} \geq \varepsilon \sum_{i=m}^{n-1} \alpha_i \sqrt{f^* - f_{(i)}} \right\} \sim P \left\{ q_n \geq \varepsilon \sum_{i=m}^{n-1} \alpha_i q_i \right\}, \quad (9)$$

где

$$q_i = \int_{f(x) \geq f_{(i)}} p(x) dx, \quad (10)$$

а случайные величины $q_{i-1} - q_i$, $i = 1, n$ равномерно распределены на симплексе с $n+1$ вершинами [3], что позволяет вычислить вероятность правой части соотношения (9), а именно

$$P \left\{ q_n \geq \varepsilon \sum_{i=m}^{n-1} \alpha_i q_i \right\} = \prod_{i=m}^{n-1} \frac{1}{1 + \beta_i \varepsilon}, \quad (11)$$

β_i связаны с α_i соотношением (8).

Таким образом, если ε и β_i подобраны так, что $\prod_{i=m}^{n-1} \frac{1}{1+\beta_i \varepsilon} = \tilde{\delta}$,

$$(f^* - f_{(n)})^{1/2} \leq \varepsilon \sum_{i=m}^{n-1} \alpha_i (f^* - f_{(i)})^{1/2}. \quad (12)$$

будет иметь достоверность $(1 - \tilde{\delta})$, $0 \leq \tilde{\delta} \leq 1$.

Мы получили доверительные интервалы не фиксированной, а случайной длины, причем использовали не только выборочное максимальное значение, но и несколько примыкающих к нему: $f_{(n-1)}$, $f_{(n-2)}, \dots, f_{(n-m)}$.

Ширина полученного доверительного интервала зависит не только от доверительного уровня δ , но и от числа слагаемых $n-m$.

Попытаемся найти в некотором смысле самые узкие доверительные интервалы. Предположим, что все $\alpha_i = 0$, $i \neq m$, $\alpha_m = 1$.

Тогда доверительная граница с достоверностью $1 - \tilde{\delta}$ задается в виде

$$\Gamma_{nm} = \frac{f_{(n)} - (1 - \tilde{\delta}^{1/(n-m)})^2 f_{(m)}}{1 - (1 - \tilde{\delta}^{1/(n-m)})^2}. \quad (13)$$

Задача состоит в определении оптимального $m^* = m^*(n, \tilde{\delta})$, для которого граница Γ_{nm} в среднем принимает наименьшее значение, т.е.

$$\min_m E \Gamma_{nm} = E_{nm*(n\tilde{\delta})}.$$

Теорема 2. При $n \sim \delta m$, $n \rightarrow \infty$, $\ln \left(\frac{1}{\tilde{\delta}} \right) = o(n)$ оптимальное $m^* = n - \left[\frac{\ln^{1/\tilde{\delta}}}{2} \right]$ ([a]—целая часть числа a), причем среднее значение минимальной границы равно

$$f^* + \frac{(\ln^{1/\tilde{\delta}})^2}{n^2} \frac{(1 - e^{-2})^2}{1 - (1 - e^{-2})^2}. \quad (14)$$

Доказательство основывается на приближенном соотношении (15), справедливом в условиях теоремы

$$E \left(\frac{f_{(n)} - (1 - \tilde{\delta}^{1/(n-m)})^2 f_{(m)}}{1 - (1 - \tilde{\delta}^{1/(n-m)})^2} \right) \sim f^* + \frac{(1 - \tilde{\delta}^{1/(n-m)})^2 (n-m+2)^2 - 2}{(n+2)(n+1)(1 - \tilde{\delta}^{1/(n-m)})^2}, \quad (15)$$

сткуда условие минимизации приводит к уравнению для отыскания оптимального значения m^* и в условиях теоремы, асимптотически

$$m^* \sim n - \left[\frac{\ln^{1/\tilde{\delta}}}{2} \right].$$

ქ. განვიგალაძე

ფუნქციის მაქსიმუმის სტატისტიკური შეფასებისათვის
 ზოსტი ნდოგის ინტერვალის აგების შესახებ

რეზიუმე

შემოთავაზებულია ქვედა ნდობის საზღვრის აგების მეთოდი ერთი ცვლადის ფუნქციის მაქსიმუმისათვის სტატისტიკური ცდების მეთოდის გამოყენებით. ნაჩვენებია, რომ აგებული საზღვრი ასიმპტოტურად საშუალოდ ზუსტია.

MATHEMATICS

K. V. MANJGALADZE

ON THE CONSTRUCTION OF A PRECISE CONFIDENCE INTERVAL FOR THE FUNCTION MAXIMUM

Summary

A lower confidence boundary construction technique for the function maximum of a variable according to the method of statistical tests is proposed. The constructed boundary is shown to be asymptotically most precise.

ლიტერატურა — ЛИТЕРАТУРА — REFERENCES

1. М. А. Даниелашивили, Р. Я. Читашвили. Строительная механика пространственных конструкций. Тбилиси, 1974.
2. М. Кендал, А. Стьюарт. Теория распределений. М., 1966.
3. С. Уилкс. Математическая статистика. М., 1967.

Р. Ш. ОМАНАДЗЕ

О СВОДИМОСТИ НА КЛАССЕ РЕКУРСИВНО ПЕРЕЧИСЛИМЫХ МНОЖЕСТВ

(Представлено членом-корреспондентом Академии В. Г. Челидзе | 31.5.1978)

Понятия и обозначения, которые не определяются в данной статье, можно найти в [1].

Пусть $W_0, W_1, \dots; D_0, D_1, \dots$ обозначают соответственно некоторые стандартные нумерации всех рекурсивно перечислимых (р. п.) множеств и всех конечных множеств. Через S_x обозначим W_x или D_x . Пусть $P(S_x, A, B)$ — отношение между множествами S_x, A и B , такое, что выполняются следующие условия (см. [2]).

1. (\exists — общерекурсивная функция (о. р. ф.) h) $(\forall x_1, x_2) [W_{h(x_1, x_2)} = \{y : P(S_y, W_{x_1}, W_{x_2})\}]$.

2. $(\forall y) (\forall A, B, C) [[B \subseteq C \& P(S_y, A, B)] \Rightarrow P(S_y, A, C)]$.

По определению, множество A R_P -сводится к множеству B ($A \leqslant_{R_P} B$), если

$$(\exists f \text{ о. р. ф.}) (\forall x) (x \in A \Leftrightarrow \sim P(S_{f(x)}, B, \bar{B})) \quad (1)$$

Множество A R_{P1} -сводится к множеству B ($A \leqslant_{R_{P1}} B$), если

$$\begin{aligned} & (\exists g \text{ о. р. ф.}) [(\forall x) [x \in A \Leftrightarrow \sim P(S_{g(x)}, B, \bar{B})] \& (\forall x, y) [x \neq y \Rightarrow \\ & \Rightarrow (\forall u, v) [u \in S_{g(x)} \& v \in S_{g(y)} \Rightarrow D_u \cup D_v = \emptyset]]] \end{aligned} \quad (2)$$

Множество A называется R_P -полным (R_{P1} -полным), если A — р. п. множество и для всякого р. п. множества B имеем $B \leqslant_{R_P} A$ ($B \leqslant_{R_{P1}} A$).

Назовем множество A P -креативным, если A — р. п. множество и

$$(\exists f \text{ о. р. ф.}) (\forall x) [W_x \cap A = \emptyset \Rightarrow P(S_{f(x)}, A, \bar{A}) \& \sim P(S_{f(x)}, A, W_x)] \quad (3)$$

Заметим, что на классе р. п. множеств схемы (1) и (2) дают для разных $P(S_x, A, B)$ известные виды сводимостей, а схема (3) дает определения креативных множеств, квазикреативных множеств, почти креативных множеств (см. [3]), субкреативных множеств (см. [4, 5]). Поэтому в связи с результатами известных работ естественно возникают следующие вопросы.

а) Для всякого отношения $P(S_x, A, B)$, которое удовлетворяет условиям 1 и 2, совпадают ли классы R_P -полных множеств и P -креативных множеств?



б) Для всякого отношения $P(S_x, A, B)$ совпадают ли классы R_P -полных множеств и R_{P_1} -полных множеств?

Отметим здесь же, что из теоремы Фридберга и Роджерса (см. [2]) следует, что для всякого отношения $P(S_x, A, B)$, которое удовлетворяет условиям 1 и 2, класс R_P -полных множеств содержится в классе P -креативных множеств.

Отрицательные ответы на вопросы а) и б) дают соответственно следующие две теоремы.

Теорема 1. Существует отношение $P(S_x, A, B)$, которое удовлетворяет условиям 1, 2 и для которого класс R_P -полных множеств и класс P -креативных множеств не совпадают друг с другом.

Доказательство. Рассмотрим отношение $P(S_x, A, B)$, определенное следующим образом: $P(S_x, A, B) \Leftrightarrow D_x \cap B \neq \emptyset$. Ясно, что так определенное отношение удовлетворяет условиям 1 и 2, соответствующая R_P -сводимость есть c -сводимость и R_P -полнота есть c -полнота. Из схемы (3) получаем, что р. п. множество A P -креативно, если

$$(\exists f \text{ о. п. ф.}) (\forall x) [W_x \cap A = \emptyset \Rightarrow D_{f(x)} \cap W_x = \emptyset \& \sim(D_{f(x)} \subseteq A)]. \quad (4)$$

Простое множество A называется сильно эффективно простым (см. [6]), если $(\exists g \text{ о. п. ф.}) (\forall x) [W_x \subseteq \bar{A} \Rightarrow (\forall y) (y \in W_x \Rightarrow y < g(x))]$.

Покажем, что если р. п. множество A есть сильно эффективно простое не гиперпростое множество, то A удовлетворяет (4).

Пусть A есть сильно эффективно простое не гиперпростое множество. Тогда

$$(\exists \mu \text{ о. п. ф.}) [(\forall x, y) [x \neq y \Rightarrow D_{\mu(x)} \cap D_{\mu(y)} = \emptyset] \& (\forall x) [D_{\mu(x)} \cap \bar{A} \neq \emptyset]] \& (\exists v \text{ о. п. ф.}) (\forall x) [W_x \subseteq \bar{A} \Rightarrow (\forall y) (y \in W_x \Rightarrow y < v(x))].$$

Рассмотрим множество

$$D_{v(x)} = \bigcup_{k < v(x)+1} D_{\mu(k)} - \{0, 1, \dots, v(x)\}.$$

Для этого множества будем иметь

$$(\forall x) [W_x \cap A = \emptyset \Rightarrow D_{v(x)} \cap W_x = \emptyset \& \sim(D_{v(x)} \subseteq A)],$$

т. е. A удовлетворяет (4).

В [7] построена стандартная нумерация всех р. п. множеств, такая, что построенное в ней согласно конструкции Поста простое множество не является tt -полным и, следовательно, не является c -полным. При этом, множество, построенное согласно конструкции Поста, всегда есть сильно эффективно простое не гиперпростое множество. Известно, что все стандартные нумерации всех р. п. множеств рекурсивно изоморфны, поэтому свойство быть сильно эффективно простым сохраняется во всех нумерациях. Следовательно, существует р. п. множество, удовлетворяющее условию (4) и не являющееся c -полным. Теорема доказана.

Теорема 2. Существует отношение $P(S_x, A, B)$, которое удовлетворяет условиям 1, 2 и для которого класс R_P -полных множеств и класс R_{P_1} -полных множеств не совпадают друг с другом.

Доказательство. Рассмотрим отношение $P(S_x, A, B)$, определенное следующим образом:

$$P(S_x, A, B) \Leftrightarrow (\exists y)(y \in W_x \wedge D_y \subset B).$$

Так определенное отношение удовлетворяет условиям 1, 2 и, как известно (см. [1], стр. 203), на классе р. п. множеств это отношение дает T -сводимость, т. е. если A и B — р. п. множества, то

$$A \leqslant_T B \Leftrightarrow (\exists f \text{ о.п.ф.})(\forall x)[x \in A \Leftrightarrow (\exists y)(y \in W_{f(x)} \wedge D_y \subset \bar{B})].$$

В силу схемы (2) T_1 -сводимость имеет вид

$$\begin{aligned} A \leqslant_{T_1} B &\Leftrightarrow (\exists g \text{ о.п.ф.})[(\forall x)[x \in A \Leftrightarrow (\exists y)(y \in W_{g(x)} \wedge D_y \subset \bar{B})] \wedge \\ &\quad \wedge (\forall x, y)[x \neq y \Rightarrow (\forall u, v)[u \in W_{g(x)} \wedge v \in W_{g(y)} \Rightarrow D_u \cap D_v = \emptyset]]]. \end{aligned}$$

Покажем, что существует T -полное множество, которое не является T_1 -полным. Так как существует гипергиперпростое T -полное множество (см. [8]), то для доказательства последнего предложения достаточно показать, что гипергиперпростое множество не может быть T_1 -полным.

Пусть множество A — гипергиперпростое и T_1 -полное. Тогда, в силу теоремы Фридберга и Роджерса (см. [2]), существует о. п. ф. λ , такая, что

$$(\forall x, y)[x \neq y \Rightarrow (\forall u, v)[u \in W_{\lambda(x)} \wedge v \in W_{\lambda(y)} \Rightarrow D_u \cap D_v = \emptyset]]$$

и

$$\sim(\exists y)[y \in W_{\lambda(x)} \wedge D_y \subset W_x] \Leftrightarrow (\exists y)[y \in W_{\lambda(x)} \wedge D_y \subset \bar{A}].$$

Из последнего соотношения вытекает, что

$$(\forall x)[W_x = \emptyset \Rightarrow (\exists y)[y \in W_{\lambda(x)} \wedge D_y \subset \bar{A}]].$$

Пусть $W_{\delta(x)} = \{y : (\exists z)[z \in W_{\lambda(x)} \wedge y \in D_z]\}$ и пусть a_0, a_1, a_2, \dots — некоторая бесконечная эффективная последовательность индексов пустого множества. Рассмотрим последовательность $\{W_{\delta(a_i)}\}$. Тогда

$$(a_i \neq a_j \Rightarrow W_{\delta(a_i)} \cap W_{\delta(a_j)} = \emptyset) \wedge (\forall i)(W_{\delta(a_i)} \cap \bar{A} \neq \emptyset).$$

Получили, что A — не гипергиперпростое множество. Следовательно, гипергиперпростое множество не может быть T_1 -полным. Теорема доказана.

Следствие. Р. п. множество A является гипергиперпростым тогда и только тогда, когда оно имеет бесконечное дополнение и не содержится ни в каком T_1 -полном множестве.

Будем говорить, что множество A Q_{se} -сводится к множеству B ($A \leqslant_{Q_{se}} B$), если

$$(\exists f, g \text{ о.п.ф.})(\forall x)[[x \in A \Rightarrow W_{f(x)} \subset B] \wedge (\forall y)(y \in W_{f(x)} \Rightarrow y < g(x))].$$

Будем говорить, что множество A Q_{se1} -сводится к множеству B ($A \leqslant_{Q_{se1}} B$), если

$$(\exists \mu, \nu \text{ о.п.ф.})[(\forall x, y)[x \neq y \Rightarrow W_{\mu(x)} \cap W_{\mu(y)} = \emptyset] \wedge (\forall x)[(x \in A \Rightarrow W_{\mu(x)} \subset B) \wedge (\forall y)(y \in W_{\mu(x)} \Rightarrow y < \nu(x))]].$$

Множество A Q_{se} -полнo (Q_{se1} -полнo), если A — р. п. множество и для всякого р. п. множество B , $B \leqslant_{Q_{se}} A$ ($B \leqslant_{Q_{se1}} A$).

Заметим, что отношения $\leqslant_{Q_{se}}$ и $\leqslant_{Q_{se1}}$ рефлексивны и транзитивны.

Аналогично теореме 1 из [9] доказывается следующая теорема, которая показывает, что понятия Q_{se} -полноты и Q_{se1} -полноты равносильны.

Теорема 3. Р. п. множество A Q_{se} -полнo тогда и только тогда, когда A Q_{se1} -полнo.

Тбилисский государственный университет

Институт прикладной математики

(Поступило 1.6.1978)

აათებათიკა

რ. მანაძე

რეკურსიულად გადათვლად სიმრავლეთა კლასეები
დაყვანადობის უმსახებები

რეზიუმე

არსებობს ისეთი $P(S_x, A, B)$ დამოკიდებულება, რომ R_P -სრულ სიმრავლეთა კლასი განსხვავდება P -კრეატულ სიმრავლეთა კლასისაგან. ასევე, არსებობს ისეთი $P(S_x, A, B)$ დამოკიდებულება, რომ R_P -სრულ სიმრავლეთა კლასი განსხვავდება R_{P_1} -სრულ სიმრავლეთა კლასისაგან.

MATHEMATICS

R. Sh. OMANADZE

ON THE REDUCIBILITY TO THE CLASS OF RECURSIVE ENUMERABLE SETS

Summary

There exists the relation $P(S_x, A, B)$ such that the class of R_P -complete sets differs from the class of P -creative sets. There also exists the relation $P(S_x, A, B)$ such that the class of R_P -complete sets differs from that of R_{P_1} -complete sets.

ლიტერატურა — ЛИТЕРАТУРА — REFERENCES

1. X. Роджерс. Теория рекурсивных функций и эффективная вычислимость. М., 1972.
2. R. M. Frijdberg, H. Rogers. Jr. Z. math. Logik und Grundl. Math., 5, № 2, 1959, 117-125.
3. М. И. Канович. ДАН СССР, 186, № 5, 1968, 1008—1009.
4. M. Blum, I. Margules. J. Symb. Logic., 38, № 4, 1973, 579-593.
5. J. T. Gill, P. H. Morris. J. Symb. Logic, 39, № 4, 1974, 669-677.
6. T. G. McLaughlin. Canad. Math. Bull. 8, 1965, 33-37.
7. A. H. Lachlan. Proc. Amer. Math. Soc., 48, № 2, 1975, 429-434.
8. C. E. M. Yates. Duke Math. J. 32, № 3, 1965, 461-468.
9. Р. Ш. Оманадзе. Сообщения АН ГССР, 83, № 2, 1976, 281—284.

И. А. КЛИПКЕР

ОЦЕНКИ МАКСИМАЛЬНОЙ ДЛИНЫ (n, p) -ДЕРЕВА

(Представлено членом-корреспондентом Академии Т. Г. Гегелиа 13.7.1978)

Пусть T — дерево с множествами вершин $V(T)$ и ребер $E(T)$. Линейным размещением (нумерацией) называется взаимнооднозначное отображение $\varphi: V(T) \rightarrow Z$ (Z — множество целых чисел). Длина дерева есть величина

$$l(T) = \min_{\varphi} \sum_{(xy) \in E(T)} |\varphi(x) - \varphi(y)|.$$

В работе [1] задача минимального размещения дерева была сведена к задаче отыскания минимальной реберной индексации, удовлетворяющей специальным свойствам, а в [2] был описан алгоритм построения минимальной и минимальной корневой индексаций.

Пусть $l(n, p) = \max l(T)$, где \max ищется в классе (n, p) -деревьев, т. е. n -реберных деревьев, степени вершин которых не превосходят p .

Для $l(n, p)$ известны (см. [3, 4]) такие оценки:

$$\frac{p-2}{8 \ln(p-1)} n \ln n + 0(n \ln n) \leq l(n, p) < \frac{p+1}{4 \ln(p-1)} (n+1) \ln(n+1).$$

В настоящей статье доказываются более точные оценки $l(n, p)$, дающие, в частности, при четном $p \geq 6$ асимптотику по n :

$$l(n, p) \sim \frac{p(p-2)}{4(p-1) \ln(p-1)} n \ln n. \quad (1)$$

Нижняя оценка (справедлива для всех $p \geq 3$)

$$l(n, p) \geq A(1 + (p-2)n) \ln(1 + (p-2)n) - Bn, \quad (2)$$

где

$$A = \begin{cases} p/4(p-1) \ln(p-1), & p \text{ четное}, \\ (p+1)/4p \ln(p-1), & p \text{ нечетное}, \end{cases}$$

B — константа, зависящая только от p .

Для доказательства определим индуктивно последовательность Q_n^p корневых деревьев. Назовем эти деревья квазиравномерными.

1. Q_0^p — дерево, состоящее из одной вершины, являющейся корнем.
2. Q_1^p — дерево, состоящее из двух смежных вершин, одна из которых корень.

3. Пусть $n \geq 2$, $k = \left[\frac{n-1}{p-1} \right]$, $r = n-1-k(p-1)$. Дерево Q_n^p имеет

корнем висячую вершину x , в смежной с x вершине y r ветвей изоморфны Q_{k+1}^p , а $p-1-r$ ветвей изоморфны Q_k^p .

Используя алгоритм, данный в работе [2], получаем описание минимальной x -корневой индексации Q_n^p : индекс ребра (x, y) равен 1. Все ветви, кроме одной в случае нечетного p , имеют минимальную y -корневую индексацию, индексация выделенной ветви (она изоморфна Q_k^p) минимальная. Наименьший индекс ребер ветви (в дальнейшем индекс ветви), изоморфной Q_{k+1}^p , не превосходит индекса ветви изоморфной Q_k^p . При нечетном p индекс выделенной ветви наибольший и индексация ее такова: пусть z — вершина, смежная с y , индекс ребра (y, z) равен $\frac{p+1}{2}$, остальные ветви в z имеют корневую подиндексацию, причем индекс ветви с большим числом ребер не превосходит индекса с меньшим числом ребер. Если положить $m = \left[\frac{k-1}{p-1} \right]$ и $q = k - 1 - m(p-1)$, то для суммы индексов $l_x(Q_n^p)$ минимальной x -корневой индексации Q_n^p получим

$$l_x(Q_n^p) \geq \begin{cases} r l_y(Q_{k+1}^p) + (p-1-r) l_y(Q_k^p) + \frac{p(p-2)}{4} k, & p \text{ четное}, \\ r l_y(Q_{k+1}^p) + (p-2-r) l_y(Q_k^p) + \frac{(p-1)^2}{4} k + q l_z(Q_{m+1}^p) + \\ + (p-1-q) l_z(Q_m^p) + \frac{(p-1)(p-3)}{4} m, & p \text{ нечетное}. \end{cases} \quad (3)$$

Лемма. Если $k = \left[\frac{n-1}{p-1} \right]$, $r = n - 1 - k(p-1)$, то

$$\begin{aligned} & r(1 + (p-2)(k+1)) \ln(1 + (p-2)(k+1)) + (p-1-r) \times \\ & \times (1 + (p-2)k) \ln(1 + (p-2)k) \geq (1 + (p-2)n) \ln(1 + (p-2)n) - \\ & - (1 + (p-2)n) \ln(p-1). \end{aligned}$$

Для корневой индексации деревьев Q_n^p имеет место оценка $l_x(Q_n^p) \geq \geq A(1 + (p-2)n) \ln(1 + (p-2)n) - B_1 n$, где B_1 зависит только от p .

Действительно, при малых n она верна при надлежащем выборе B_1 и индуктивный переход выполняется применением леммы к индуктивному неравенству (3).

Далее, по теореме 4 (см. [2]) $l(Q_n^p) \geq l_x(Q_n^p) - \left\lceil \frac{n-5}{2} \right\rceil$, и кроме того, $l(n, p) \geq l(Q_n^p)$, что в совокупности дает оценку (2).

Верхняя оценка (справедлива для $p \geq 6$)

$$l(n, p) \leq \frac{p(p-2)}{4(p-1)\ln(p-1)} n \ln n + Cn, \quad (4)$$

где C зависит только от p .

Укажем приближенный индуктивный алгоритм индексаций, который будет использован при доказательстве верхней оценки. Индексацию, построенную этим алгоритмом, назовем квазиминимальной.

Пусть $T(n, p)$ —дерево с корнем x , вершина y смежна с x , T_1, \dots, T_{p-1} —ветви в y , отличные от (x, y) и $|E(T_1)| \geq \dots \geq |E(T_{p-1})|$. Если степень s вершины y меньше p , то полагаем $|E(T_{s+1})| = \dots = |E(T_{p-1})| = 0$.

Для дерева T x -корневая квазиминимальная индексация строится так: пусть уже построены y -корневые квазиминимальные индексации ветвей T_i ($i < p - 1$), а для ветви T_{p-1} (если $|E(T_{p-1})| > 0$) при четном p построена y -корневая квазиминимальная индексация, при нечетном p —квазиминимальная индексация. Тогда ребру (x, y) сопоставим индекс 1, а индексы ветви T_i увеличим на $\left[\frac{i}{2} \right]$.

Квазиминимальную индексацию ветви T_{p-1} (p нечетное) строим так: пусть z —центр T_{p-1} , D_1, \dots, D_p —ветви в z и $|E(D_1)| \geq \dots \geq |E(D_p)|$. Для ветвей D_i ($i < p$) строим z -корневые квазиминимальные индексации, а для ветви D_p —квазиминимальную индексацию. Индексы ребер D_i увеличиваем на $\left[\frac{i-1}{2} \right]$.

Если обозначить через $L(T)$ сумму индексов квазиминимальной, а через $L_x(T)$ x -корневой квазиминимальной индексаций, то

$$L_x(T) = 1 + \sum_{i=1}^{p-2} \left\{ L_y(T_i) + |E(T_i)| \cdot \left[\frac{i}{2} \right] \right\} + |E(T_{p-1})| + \delta, \quad (5)$$

где

$$\delta = \begin{cases} L_y(T_{p-1}), & p \text{ четное} \\ L(T_{p-1}), & p \text{ нечетное.} \end{cases}$$

$$L(T) = \sum_{i=1}^{p-1} \left\{ L_z(D_i) + |E(D_i)| \cdot \left[\frac{i-1}{2} \right] \right\} + L(D_p) + |E(D_p)| \cdot \frac{p+1}{2}, \quad (6)$$

p нечетное.

Оценивая (5) и (6), получаем, что для произвольного (n,p) -дерева T и произвольной висячей вершины x

$$L_x(T) \leq \frac{p(p-2)}{4(p-1)\ln(p-1)} n \ln n + Cn.$$

Сочетно, что $l(T) \leq L_x(T)$. Отсюда следует верхняя оценка (4).

Из оценок (2) и (4) получаем для четного $p \geq 6$ асимптотику (1). При этом асимптотически «самыми длинными» деревьями являются квазиравномерные. По-видимому, последнее верно для всех $p \geq 3$ и в этом случае

$$l(n, p) \sim A(p-2)n \ln n.$$

Дадим формулу длины полного p -арного дерева. Дерево T_p^k называется полным p -арным деревом уровня k , если в нем есть такая вершина степени p , что все висячие вершины находятся на расстоянии k от нее, а степени невисячих вершин, отличных от нее, одинаковы и равны $p+1$. Для $p=2$ формула была получена в [5], позднее вопрос о ее отыскании ставился в [6].

Пусть s —наименьшее целое решение неравенства $(p-1)x \geq p^{h-x} - 1$, тогда

$$I(T_p^k) = \begin{cases} \frac{k(p+2)}{4(p+1)}p^{h+1} + \frac{p^2+7p+4}{4(p-1)(p+1)^2}p^{h+1} + \frac{(-1)^{h+1}p^3}{4(p+1)^2} + \frac{p(p-6)}{4(p-1)}, \\ \text{если } p \text{ четное,} \\ \frac{kp^{h+1}+(k+1)p^h}{4} + \frac{p^{h-s+1}}{4(p-1)} + \frac{(p-1)s(s-1)+2s}{4} - \frac{3p-1}{4(p-1)}, \\ \text{если } p \text{ нечетное.} \end{cases}$$

Центр АСУ

Министерства строительства ГССР

(Поступило 14.7.1978)

ЗАГОЛОВОК

О. ЗЛЮКОВО

(n, p) -дерево минимальной высоты с вершинами степени

равной p

(n, p) -дерево минимальной высоты с вершинами степени p и степенью p для каждого узла, имеющего нечетную степень, имеет форму дерева, в котором все вершины имеют степень p . Для деревьев с четной степенью вершины, кроме корня, имеющей степень p , все остальные вершины имеют степень p . Для деревьев с нечетной степенью вершины, кроме корня, имеющей степень p , все остальные вершины имеют степень p . Для деревьев с четной степенью вершины, кроме корня, имеющей степень p , все остальные вершины имеют степень p . Для деревьев с нечетной степенью вершины, кроме корня, имеющей степень p , все остальные вершины имеют степень p .

MATHEMATICS

I. A. KLIPKER

ESTIMATIONS OF THE MAXIMUM LENGTH OF THE (n, p) -TREE

S u m m a r y

The estimations of the maximum length of the (n, p) -tree resulting in asymptote by n for the even $p \geq 6$, are presented. The class of quasi-uniform trees, for which the low estimations are obtained for all p , is constructed. The formula of the length for a complete p -ary tree of arbitrary height is given.

ЛІТЕРАТУРА — REFERENCES

1. М. К. Гольдберг, И. А. Клиппер. Аннотации докл. Ин-та прикл. мат. ТГУ, 10, 1975.
2. М. К. Гольдберг, И. А. Клиппер. Сообщения АН ГССР, 81, № 3, 1976.
3. М. А. Шейдвассер. Проблемы кибернетики, 29, 1974.
4. М. А. Иорданский. Проблемы кибернетики, 31, 1975.
5. М. А. Шейдвассер. Дискретный анализ, 19, 1970.
6. I. Sahit. SIAM Review, 19, № 3, 1977.

Г. И. МИРЗАШВИЛИ

МИНИМАЛЬНАЯ ЗАДАЧА УПРАВЛЕНИЯ КОНЕЧНОЙ
МАРКОВСКОЙ ЦЕПЬЮ С ПРОИЗВОЛЬНЫМИ МНОЖЕСТВАМИ
РЕШЕНИЙ И МАЛОЙ ВЕРОЯТНОСТЬЮ ОБРЫВА

(Представлено членом-корреспондентом Академии | В. Г. Челидзе | 7.6.1978)

Рассмотрим управляемую двумя лицами цепь Маркова с конечным множеством S состояний $s \in S$ с произвольными множествами решений A и B , соответствующую семейству переходных вероятностей $\{Q_{ss'}^{ab}; a \in A, b \in B; s, s' \in S\}$. Она определяется совокупностью следующих объектов:

1) некоторого множества Ω с неубывающим семейством $(F_n, n \geq 1)$ σ -алгебр подмножеств Ω ;

2) последовательности $(s_n, a_n, b_n, n \geq 1)$ отображений Ω в $S \times A \times B$ и марковского момента τ , согласованных с $(F_n, n \geq 1)$;

3) семейства всех мер $Q = \{Q_s\}$ со следующими свойствами условных вероятностей:

a) $Q_s(s_{n+1}=s/F_n) = Q_{s_n s}^{a_n b_n};$ б) $Q_s(\tau=n/F_{n-1}, a_n, b_n, s_n) = \delta I_{(\tau \geq n)}$;

c) $Q_s(a_n \in M; b_n \in N/F_{n-1}, s_n) = Q_s(a_n \in M/F_{n-1}, s_n) Q_s(b_n \in N/F_{n-1}, s_n);$

Распределение (s_n, a_n, b_n) полностью определяется заданием последовательности условных распределений—стратегии: $q_s = (q_s^{(n)}(M \times N); n \geq 1); q_s^{(n)}(M \times N) = Q_s(a_n \in M; b_n \in N/F_{n-1}, s_n) = Q_s(a_n \in M/F_{n-1}, s_n) \cdot Q_s(b_n \in N/F_{n-1}, s_n) = \pi_s^{(n)}(M) \cdot \sigma_s^{(n)}(N)$. Пронумеруем Q индексами (π, σ) : $Q = (Q_s^{\pi \sigma}, \pi \in \Pi, \sigma \in \Sigma)$. Стационарные стратегии обозначим $(f, g) : f \in F, g \in G$.

Для данных числовых ограниченных функций $r(s, a, b)$ и $c(s, a, b)$ рассмотрим $L = \sum_{n=1}^{\tau} r(s_n, a_n, b_n) + c(s_{\tau}, a_{\tau}, b_{\tau})$ и $R_{\delta}^{\pi \sigma}(s) = E_{\delta}^{\pi \sigma}(L/s_1 = s)$;

$E_{\delta}^{\pi \sigma}(\cdot/s_1 = s)$ —среднее по мере $Q_s^{\pi \sigma}$. При векторной записи s будет опускаться. Положим $(Q_{ss'}^{fg}, Q_{ss'}^{(s)g(s)}; r_{ss'}^{fg} = r(s, f(s), g(s)); c_{ss'}^{fg}(s) = c(s, f(s), g(s))$.

Стратегия (π^*, σ^*) называется ε -равновесной (равновесной), если $R_{\delta}^{\pi^* \sigma^*} - \varepsilon \leq R_{\delta}^{\pi^* \sigma^*} \leq R_{\delta}^{\pi^* \sigma^*} + \varepsilon$, $(R_{\delta}^{\pi^* \sigma^*} \leq R_{\delta}^{\pi^* \sigma^*} \leq R_{\delta}^{\pi^* \sigma^*})$ для всех π и σ .

Вектор R_{δ}^* называется ценой, если для $\forall \varepsilon > 0$ существует (π^*, σ^*) , такая, что $R_{\delta}^{\pi^* \sigma^*} - \varepsilon \leq R_{\delta}^* \leq R_{\delta}^{\pi^* \sigma^*} + \varepsilon$ для всех π и σ .

Обозначим $T_{\delta}^{fg} R = r_{\delta}^{fg} + \varepsilon c_{\delta}^{fg} + (1 - \delta) Q_{\delta}^{fg} R$; $U_{\delta} R = \sup_{f, g} \inf_{\pi, \sigma} T_{\delta}^{fg} R$.

Справедлива следующая

Теорема 1. Пусть $\delta > 0$, тогда: а) R_{δ}^{fg} —единственное решение уравнения

$$R = T_{\delta}^{fg} R, \quad (1)$$



б) если существуют $a^* \in A$ и $b^* \in B$, такие, что для любого R :
 $T_\delta^{a^* b^*} R = \sup_a \inf_b T_\delta^{ab} R = \inf_b \sup_a T_\delta^{ab} R$, то существует цена R_δ^* , которая является единственным решением уравнения $R = U_\delta R$;

с) существует равновесная стационарная стратегия и

$$R_\delta^* = \sup_f \inf_g R_\delta^{fg} = \inf_g \sup_f R_\delta^{fg}.$$

В теории управляемых марковских процессов важную роль играют правила Ховарда и Итона—Заде. Оказывается, в минимаксном случае при $\delta > 0$ справедливы их аналоги. Скажем, что f_1 „лучше“ f_0 , если $\inf_g R_\delta^{f_1 g} > \inf_g R_\delta^{f_0 g}$ и g_1 „лучше“ g_0 , если $\sup_f R_\delta^{f g_1} < \sup_f R_\delta^{f g_0}$.

Правило Итона—Заде. Для множества стратегий $(f_1, g_1), \dots, f_m, g_m$ стратегия f , такая, что $f(s) = f_j(s)$ при $\inf_g R_\delta^{f_j g}(s) = \max_{1 \leq i \leq m} \inf_g R_\delta^{f_i g}(s)$, „лучше“ всех f_i , $i = 1, \dots, m$. Симметрично для g .

Правило Ховарда. $\inf_g R_\delta^{f_1 g} (\inf_g R_\delta^{f_0 g}) > \inf_g R_\delta^{f_0 g} \Rightarrow f_1$ „лучше“ f_0 .

Симметрично для g .

Случай $\delta = 0$ является более общим. Предыдущий получается из него, если к S добавить одно состояние. Следуя идеям Блекуэлла [1], О. В. Вискова, А. Н. Ширяева [2], подойдем к нему предельным переходом $\delta \rightarrow 0$, используя разложение R_δ^{fg} в ряд Лорана в окрестности $\delta = 0$. Известно [3], что каждой Q^{fg} соответствует пара матриц, однозначно связанных с нею: \bar{Q}^{fg} —матрица стационарных вероятностей и H^{fg} —фундаментальная матрица. R_δ^{fg} разлагается в ряд

$$R_\delta^{fg} = \sum_{m=-1}^{\infty} \delta^m R_m^{fg},$$

где коэффициенты $(R_m^{fg}, -1 \leq m \leq k)$ при всех k удовлетворяют системе

$$(R_m^{fg}, -1 \leq m \leq k) = T_k^{fg} (R_m^{fg}, -1 \leq m \leq k). \quad (2)$$

Здесь $T_k^{fg}(R_m, -1 \leq m \leq k) = (Q^{fg} R_{-1}, Q^{fg} R_0 + R^{fg} - Q^{fg} R_{-1}, Q^{fg} R_1 + c^{fg} - Q^{fg} R_0, \dots, Q^{fg} R_k - Q^{fg} R_{k-1})$,

причем $(R_m^{fg}, -1 \leq m \leq k-1)$ —единственное решение (2).

Определение 1. Стратегия (π^*, σ^*) называется (k, ε) -оптимальной, если $\liminf_{\delta \rightarrow 0} \delta^{-k} (\inf_{\sigma} R_\delta^{\pi^* \sigma} - \inf_{\sigma} R_\delta^{\pi \sigma}) \geq -\varepsilon$; $\limsup_{\delta \rightarrow 0} \delta^{-k} (\sup_{\pi} R_\delta^{\pi \sigma} - \sup_{\pi} R_\delta^{\pi^* \sigma}) \geq -\varepsilon$ для всех π и σ .

$(k, 0)$ -Оптимальная стратегия называется k -оптимальной. Если к тому же $\limsup_{\delta \rightarrow 0} \delta^{-k} (R_\delta^{\pi^* \sigma} - R_\delta^{\pi \sigma}) \geq -\varepsilon$ и $\liminf_{\delta \rightarrow 0} \delta^{-k} \times$

$\times (R_\delta^{\pi^* \sigma} - R_\delta^{\pi \sigma}) \geq -\varepsilon$ для всех π и σ , то (π^*, σ^*) — (k, ε) —равновесная.

$(k, 0)$ -Равновесная стратегия называется k -равновесной.

Введем лексикографическое упорядочение векторов: $(R_m, m \geq -1) \succ 0$ тогда и только тогда, когда первый ненулевой элемент в последователь-

ности $(R_m(s), m \geq -1)$ положителен при всех $s \in S$. $\overline{\sup_a} (R_m^a, m \geq -1) =$

супремум по лексикографическому упорядочению, т. е.

$\overline{\sup_a} (R_m^a, m \geq -1) = (R_m, m \geq -1)$ означает, что при всех $s \in S$

$$R_m(s) = \inf_{\varepsilon > 0} \left\{ \sup_a R_m^a(s) : R_k^a(s) \geq R_k(s) - \varepsilon, -1 \leq k \leq m-1 \right\}.$$

Симметрично вводится $\overline{\inf_a} (R_m^a, m \geq -1)$. После этого естественно определяется $\overline{\sup_a} \overline{\inf_\beta} (R_m^{ab}, m \geq -1)$ и $\overline{\inf_\beta} \overline{\sup_a} (R_m^{ab}, m \geq -1)$.

Скажем, что f_1 „ k -лучше“ f_0 , если $\overline{\inf_g} (R_m^{f_1 g}, -1 \leq m \leq k) \succ \overline{\inf_g} (R_m^{f_0 g}, -1 \leq m \leq k)$.

Симметрично для g . Если $k = \infty$, то будем говорить просто „лучше“. Справедливы следующие обобщения правил Ховарда и Итона—Заде.

Правило Ховарда. Если $\overline{\inf_g} (R_m^{f_0 g}, -1 \leq m \leq k)$ и $\overline{\sup_f} (R_m^{f g_0}, -1 \leq m \leq k)$ конечны, и $\overline{\inf_g} T_k^{f g} (\overline{\inf_g} (R_m^{f_0 g}, -1 \leq m \leq k)) \succ \overline{\inf_g} (R_m^{f_0 g}, -1 \leq m \leq k)$, то f_1 „ k -лучше“ f_0 . Аналогично для g . Если условия выполнены для $k = \infty$, то f_1 „лучше“ f_0 и g_1 „лучше“ g_0 .

Правило Итона—Заде. Для множества стратегий $(f_1, g_1), \dots, (f_p, g_p)$ при условии, что $\overline{\inf_g} (R_m^{f_i g}, -1 \leq m \leq k)$ и $\overline{\sup_f} (R_m^{f_i g_i}, -1 \leq m \leq k)$, $i = 1, \dots, p$ конечны, стратегия f , такая, что $f(s) = f_i(s)$ при $\overline{\inf_g} (R_m^{f_i g}(s), -1 \leq m \leq k) = \max_{1 \leq i \leq p} \overline{\inf_g} (R_m^{f_i g}(s), -1 \leq m \leq k)$, „ k -лучше“ всех f_i .

Симметрично для g . Если условия выполнены для $k = \infty$, то f „лучше“ f_i и g „лучше“ g_i , $i = 1, \dots, p$. Собственно

$$U_h(R_m, -1 \leq m \leq k) = \overline{\sup_f} \overline{\inf_g} T_k^{f g}(R_m, -1 \leq m \leq k).$$

Справедлива теорема, аналогичная теореме 1.

Теорема 2. Пусть существуют $a^* \in A$ и $b^* \in B$, такие, что для любого $(R_m, -1 \leq m \leq k)$ выполняются равенства

$$\begin{aligned} \overline{\sup_a} \overline{\inf_b} T_k^{ab}(R_m, -1 \leq m \leq k) &= \overline{\inf_b} \overline{\sup_a} T_k^{ab}(R_m, -1 \leq m \leq k) = \\ &= T^{a^* b^*}(R_m, -1 \leq m \leq k), \end{aligned}$$

$$\begin{aligned} \overline{(R_m, -1 \leq m \leq k)} &= \overline{\sup_f} \overline{\inf_g} (R_m^{fg}, -1 \leq m \leq k) \text{ и } \overline{(R_m, -1 \leq m \leq k)} = \\ &= \overline{\inf_g} \overline{\sup_f} (R_m^{fg}, -1 \leq m \leq k) \end{aligned}$$

конечны. Тогда $(R_m, -1 \leq m \leq k)$ и $\overline{(R_m, -1 \leq m \leq k)}$ являются решениями уравнения

$$(R_m, -1 \leq m \leq k) = U_k(R_m, -1 \leq m \leq k), \quad (3)$$

$$\underline{(R_m, -1 \leq m \leq k-1)} = (\overline{R_m}, -1 \leq m \leq k-1).$$

Существует $(k-1)$ -равновесная стационарная стратегия (f^*, g^*) и (k, ε) -оптимальная стационарная стратегия $(f_\varepsilon, g_\varepsilon)$. Если условия выполнены для $k=\infty$, то существует k -равновесная стационарная стратегия для всех k .

Академия наук Грузинской ССР

Институт экономики и права

(Поступило 8.6. 1978)

გათვალისწინებული არის

გ. მირზაშვილი

სასრულო მარტოვის ჯამში მარტვის მინიმაქსური ამოცანა
გადაფიციტილებათა ზოგადი სიმრავლით და უფყველის
მცირე აღნათობით

რეზიუმე

გარევეულ საქართველოს მიწოდებაში ნაჩვენებია, რომ არსებობს $(k-1)$ -წონა-სწორული და (k, ε) -ოპტიმალური სტაციონარული სტრატეგიები.

MATHEMATICS

G. I. MIRZASHVILI

A MINIMAX CONTROL PROBLEM FOR A FINITE MARKOV CHAIN WITH ARBITRARY SETS OF SOLUTIONS AND A SMALL PROBABILITY OF TERMINATION

Summary

A minimax control problem for a finite Markov chain with arbitrary sets of solutions and a small probability of termination is considered. Sufficient conditions are given for the existence of $(k-1)$ -balanced stationary strategy and (k, ε) -optimal stationary strategy. A relation has been found between optimal and balanced stationary strategies and the system of equations with general monotone operators. Generalizations of Howard's and Eaton-Zadeh's methods for strategy improvement are made.

ლიტერატურა — ЛИТЕРАТУРА — REFERENCES

1. D. Blackwell. Ann. Math. Statist., 33, № 2, 1962, 719-726.
2. О. В. Висков, А. Н. Ширяев. Труды Матем. ин-та им. В. А. Стеклова, XX, I, 1964, 35—45.
3. Р. Я. Читашвили. Теория вероят. и ее примен., XX, 4, 1975.

Т. Г. КИПИАНИ

О ПОРЯДКЕ ПРИБЛИЖЕНИЯ ФУНКЦИЙ МНОГИХ ПЕРЕМЕННЫХ СУММАМИ ФУРЬЕ—БЕССЕЛЯ

(Представлено членом-корреспондентом Академии [В. Г. Челидзе] 2.6.1978)

В работах [1—9] исследовались порядки наилучшего приближения периодических функций с доминирующими смешанными производными посредством тригонометрических многочленов.

В данной статье рассматриваются аналогичные вопросы наилучшего приближения одного класса функций многих переменных суммами Бесселя. Отметим также, что случай функций одной переменной примыкает к соответствующим результатам [10, 11].

Пусть $x \in I^n = \{x = (x_1, \dots, x_n), 0 \leq x_i \leq 1, i = 1, \dots, n\}$ и функция $f(x) \in L_2(I^n)$ разложена в ряд Фурье—Бесселя

$$f(x) = \sum_k d_k^i \prod_{i=1}^n \varphi_{s_i}(j_{k_i}^i x_i), \quad (k = (k_1, \dots, k_n)),$$

k_i —натуральные числа, $i = 1, \dots, n$, где

$$\varphi_{s_i}(j_{k_i}^i x_i) = \frac{\sqrt{2x_i}}{J_{s_i+1}(j_{k_i}^i)} J_{s_i}(j_{k_i}^i x_i),$$

$J_{s_i}(j_{k_i}^i x_i)$ —функции Бесселя порядка s_i ;

s_i —целые неотрицательные числа;

а $j_{k_i}^i$ —положительные нули этой функции, причем

$$j_1^i < j_2^i < \dots < j_n^i < \dots, \quad i = 1, \dots, n.$$

Сходимость понимается в смысле $L_2(I^n)$.

Введем следующие обозначения: e_n —множество $\{1, \dots, n\}$, а e —любое подмножество e_n . Если $r = (r_1, \dots, r_n)$, то $r^e = (r_1^e, \dots, r_n^e)$, где $r_j^e = r_j$, при $j \in e$ и $r_j^e = 0$, при $j \in e_n \setminus e$.

Далее, положим

$$\Delta_h^e f = \lim_{m_1, \dots, m_n \rightarrow \infty} \left[\frac{\prod_i \sqrt{x_i}}{\pi^h} \int_{Q(e)} \prod_{i \in e} \frac{\cos s_i \omega_i}{\sqrt{R_i}} S_m(f; [R]_e) d\theta - S_m(f; x) \right],$$

где

$$[R]_e = (t_1, \dots, t_n), \quad t_i = R_i, \quad \text{при } i \in e, \quad t_i = x_i, \quad \text{при } i \in e_n \setminus e,$$

$$R_i^2 = x_i^2 + h_i^2 - 2x_i h_i \cos \theta_i, \quad i = 1, \dots, n,$$

$$Q(e) = \{0 < \theta_i < \pi, i \in e\},$$

$$S_m(f; x) = S_{m_1 \dots m_n}(f; x) = \sum_{k_1=1}^{m_1} \dots \sum_{k_n=1}^{m_n} d_k^s \prod_{i=1}^n \varphi_{s_i}(j_{k_i}^l x_i),$$

k —количество элементов, входящих во множество e , а ω_i определяются из равенств

$$x_i - h_i \cos \theta_i = R_i \cos \omega_i,$$

$$h_i - \sin \theta_i = R_i \sin \omega_i.$$

Пусть $s = (s_1, \dots, s_n)$, s_i ($i = 1, \dots, n$)—целые положительные числа.

Введем оператор

$$D_s[f] = D_{s_1} \dots D_{s_n}[f],$$

где

$$D_{s_i}[f] = -x_i^{s_i-1/2} \frac{\partial}{\partial x_i} \left[x_i^{1-2s_i} \frac{\partial}{\partial x_i} (x_i^{s_i-1/2} f(x)) \right].$$

В дальнейшем под $D_{s_i}^0[f]$ будем полагать тождественный оператор, а при r_i —целом и положительном—

$$D_{s_i}^{r_i}[f] = \underbrace{D_{s_i} \dots D_{s_i}}_{r_i}[f].$$

Далее, если $r = (r_1, \dots, r_n)$, r_i —целые неотрицательные числа, тогда

$$D_s^r[f] = D_{s_1}^{r_1} \dots D_{s_n}^{r_n}[f].$$

Определение. Пусть $r = (r_1, \dots, r_n)$, r_i —целые,

$$r_i \geq 0, (i = 1, \dots, n).$$

Будем говорить, что функция $f(x)$, определенная для $x \in I^n$, принадлежит классу $(B) S_{2,s}^{(r,\Phi)} H$, если:

1. $f(x) \in L_2(I^n)$.

2. На функцию $f(x)$ можно действовать оператором

$$D_s^{r^e} = D_{s_1}^{r_1 e} \dots D_{s_n}^{r_n e}[f],$$

принадлежащим $L_2(I^n)$

$$3. \frac{\|\nabla_h e D_s^{r^e} f\|_{L_2(I^n)}}{\prod_{i \in e} \varphi_i(h_i)} \leq M < +\infty, \text{ для любого } e \subset e_n \text{ и } h = (h_1, \dots, h_n).$$

$\Phi = (\varphi_1, \dots, \varphi_n)$, где функции φ_i ($i = 1, \dots, n$) удовлетворяют условиям (S) и (S_1) (см. [12]), а $s = (s_1, \dots, s_n)$.

Наименьшая константа, для которой выполняется п. 3 при всех $e \subset e_n$ и $h = (h_1, \dots, h_n)$, есть норма

$$M_f = \|f\|_{(B) S_{2,s}^{(r,\Phi)} H}.$$

Справедлива следующая лемма.

Лемма. Пусть

$$f(x) \in L_2(I^n),$$

$$D_s^{r^e}[f] \in L_2(I^n),$$

а $f(x) = \sum_k d_k^s \prod_{i=1}^n \varphi_{s_i}(j_{k_i}^i x_i)$ — разложение в ряд Фурье—Бесселя.

Тогда,

$$\|\nabla_h e D^{r^e} f\|_{L_2(I^n)} = \sum_k (d_k^s)^2 \prod_{i \in e} [J_0(j_{k_i} h_i) - 1]^2 (j_{k_i}^i)^{4r_i}.$$

Опираясь на эту лемму, можно доказать две теоремы.

Теорема 1. Если $f \in (B) S_{2,s}^{(r,\Phi)} H$, то

$$\sum_{\substack{k_i=1 \\ i \in e}}^{\infty} \sum_{\substack{2^{t_i-1} \leq k_i < 2^{t_i} \\ i \in e}} (d_k^s)^2 \leq CM_f \prod_{i \in e} \varphi_i^2(2^{-t_i}) 2^{-4r_i t_i},$$

t_i — целые, $t_i > 0$; C — зависит от $r = (r_1, \dots, r_n)$, но не зависит от $(t = t_1, \dots, t_n)$ и M_f .

Теорема 2. Если $D^{r^e}[f] \in L_2(I^n)$ ($e \subset e_n$),

$$\sum_{\substack{2^{t_i-1} \leq k_i < 2^{t_i} \\ i=1, \dots, n}} (d_k^s)^2 \leq M \prod_{i=1}^n \varphi_i^2(2^{-t_i}) 2^{-4r_i t_i},$$

($t_i > 0$, t_i — целые), причем φ_i удовлетворяют условиям (S) и (S_1) , тогда

$$f \in (B) S_{2,s}^{(r,\Phi)} H$$

и

$$\|f\|_{(B) S_{2,s}^{(r,\Phi)} H} \leq CM,$$

где C не зависит от M .

Положим

$$\begin{aligned} S_{2N}(x) &= S(f; x, 2^N, r, s, \bar{\Phi}) = \\ &\sum_{\substack{n \\ 2 \sum_{i=1}^n r_i t_i}} \sum_{2^{t_i-1} \leq k_i < 2^{t_i}} d_k^s \prod_{i=1}^n \varphi_{s_i}(j_{k_i}^i x_i), \\ &\frac{1}{\prod_{i=1}^n \varphi_i(2^{-t_i})} \leq 2^N \end{aligned}$$

(t_i — целые, $t_i > 0$).

Имеют место следующие теоремы приближения.

Теорема 3. Если $f \in (B) S_{2,s}^{(r,\Phi)} H$, то

$$\sup_{(B) S_{2,s}^{(r,\Phi)} H} \|f(x) - S_{2N}(x)\|_{L_2(I^n)} \sim \frac{N^{(n-1)/2}}{2^N},$$

где $\Phi = (\varphi_1, \dots, \varphi_n)$ и $\varphi_i(h_i) = h_i^{\beta_i} \psi_i(h_i)$, $0 < \beta_i \leq 1$, а функции $\psi_i \left(\frac{1}{t_i} \right)$,

$(1 \leq t_i < +\infty, i = 1, \dots, n)$ — слабо колеблющиеся (см. [13]) и удовлетворяют условиям $\psi_i(h_i^a) \sim \psi_i(h_i)$.



Теорема 4. Если $D^e[f] \in L_2(I^n)$ ($e \subset e_n$),

$$\|f(x) - S_{2N}(x)\|_{L_2(I^n)} \leq \frac{M}{2^N},$$

где M не зависит от f , а $\Phi = (\varphi_1, \dots, \varphi_n)$, φ_i , ($i = 1, \dots, n$) удовлетворяют условиям (S) и (S_1) , тогда

$$f \in (B) S_{2,s}^{(r,\Phi)} H$$

и

$$\|f\|_{(B) S_{2,s}^{(r,\Phi)} H} \leq C \|f\|_{L_2(I^n)} + M;$$

причем $C > 0$ и не зависит от f и M .

В доказательстве теорем 3 и 4 используются теоремы 1 и 2.

Грузинский политехнический институт
им. В. И. Ленина

(Поступило 8.6.1978)

ამონათიკა

თ. კიპიანი

ცურივ—გეოლის ჯამების საშუალებით მრავალი
ცვლადის ფუნქციების მიხელობის რიგის უმსახებ
რეზიუმე

მრავალი ცვლადის ფუნქციებისათვის ფურივ—ბესელის ჯამების საშუალებით იგებულია ფუნქციათა კლასი. რომლისთვისაც დადგენილია მიახლოების პირდაპირი და შებრუნებული თეორემები.

MATHEMATICS

T. G. KIPIANI

ON THE APPROXIMATION ORDER OF FUNCTIONS OF SEVERAL VARIABLES BY THE FOURIER-BESSEL SERIES

Summary

By means of the Fourier-Bessel series a class of functions of several variables is constructed and for this class the direct and inverse theorems of approximation are proved.

ლიტერატურა — ЛИТЕРАТУРА — REFERENCES

- К. И. Бабенко. ДАН СССР, 132, № 2, 1960.
- К. И. Бабенко. ДАН СССР, 132, № 5, 1960.
- Б. С. Митягин. Матем. сб., 58, 1962, 397.
- С. А. Теляковский. Сиб. матем. ж., 4, № 6, 1963, 1404.
- С. А. Теляковский. Матем. сб., 63 (105), 3, 1964, 426.
- Я. С. Бугров. Матем. сб., 64 (106), 3, 1964, 410.
- Н. С. Никольская. ДАН СССР, 208, № 6, 1973.
- Я. С. Бугров. Труды Матем. ин-та АН СССР, 1974, 131.
- Н. С. Никольская. Сиб. матем. ж., XVI, 4, 1975.
- Г. В. Жидков. ДАН СССР, 169, № 5, 1966.
- С. З. Рафальсон. Изв. вузов. Математика, 4, 1968.
- Н. К. Бари, С. Б. Стечкин. Труды Моск. матем. о-ва, 5, 1956.
- А. Зигмунд. Тригонометрические ряды, т. I. M., 1965.

ТЕОРИЯ УПРУГОСТИ

Р. Г. ДИХАМИНДЖИА

ОБ АСИМПТОТИЧЕСКОМ РАСПРЕДЕЛЕНИИ СОБСТВЕННЫХ
ФУНКЦИЙ ПЕРВОЙ ГРАНИЧНОЙ ЗАДАЧИ КОЛЕБАНИЯ
В МОМЕНТНОЙ ТЕОРИИ УПРУГОСТИ

(Представлено академиком В. Д. Купрадзе 30.5.1978)

Пусть E_3 —трехмерное евклидово пространство, $x = (x_i)$, $y = (y_i)$, ..., $i = 1, 2, 3$, $D \subset E_3$ —конечная область, ограниченная замкнутой поверхностью $S \in L_1(\alpha)$, $\alpha > 0$ [1]. Система уравнений колебания моментной теории упругости для однородной изотропной упругой среды имеет вид [1]

$$M(\partial_x) U(x) + \sigma^2 r U(x) = 0, \quad (1)$$

где $M(\partial_x) = \|M_{ij}(\partial_x)\|_{6 \times 6}$ —известный матричный дифференциальный оператор; $U = (u, \omega)$, $u = (u_1, u_2, u_3)$ —вектор смещения, $\omega = (\omega_1, \omega_2, \omega_3)$ —вектор вращения; $r = \|r_{ij}\|_{6 \times 6}$, $r_{ij} = \delta_{ij} \rho$ при $i = \overline{1, 3}$, $j = \overline{1, 6}$; $r_{ij} = \delta_{ij} I$ при $i = \overline{4, 6}$, $j = \overline{1, 6}$; δ_{ij} —символ Кронекера; σ —частота колебания; ρ и I —известные положительные постоянные [1]. Систему (1) целесообразно представить в эквивалентном виде

$$\tilde{M}(\partial_x) V(x) + \sigma^2 V(x) = 0,$$

где

$$V(x) = a \cdot U(x), \quad \tilde{M}(\partial_x) = a^{-1} \cdot M(\partial_x) \cdot a^{-1}, \quad a = \|a_{ij}\|_{6 \times 6}, \quad a_{ij} = \sqrt{r_{ij}}, \quad a^{-1} = \|a_{ij}^{-1}\|_{6 \times 6}.$$

Известная формула Грина [1] для оператора $\tilde{M}(\partial_x)$ примет вид

$$\int\limits_D [U \tilde{M} V + \tilde{E}(U, V)] dx = \int\limits_S U \tilde{T} V ds,$$

где $\tilde{E}(U, V) = E(a^{-1} \cdot U, a^{-1} \cdot V)$, $\tilde{T}(\partial_z, n) = a^{-1} \cdot T(\partial_z, n) \cdot a^{-1}$, $E(U, V)$ и $T(\partial_z, n)$ определены в [1].

Рассматривается

Задача 1. Найти в D регулярный вектор $V(x)$ ($V(x) \in C^1(\bar{D}) \cap C^2(D)$)—нетривиальное решение уравнений

$$\tilde{M}V(x) + \lambda V(x) = 0,$$

удовлетворяющий граничному условию

$$\lim_{D \ni x \rightarrow z \in S} V(x) = 0.$$

Пусть $K(x, y; -z^2) = \tilde{\Psi}(x, y; -z^2) - g(x, y; -z^2)$ —тензор Грина задачи 1, когда $\lambda = -z^2$, $z > 0$ —действительное число, где $\tilde{\Psi}(x, y; -z^2) =$

$= a \cdot \psi(x, y; -\kappa^2) \cdot a$; $\psi(x, y; -\kappa^2)$ — матрица фундаментальных решений уравнения (1) при $\sigma = i\kappa$; $g(x, y; -\kappa^2)$ — регулярное (матричное) решение граничной задачи

$$\forall x, y \in D : [\tilde{M}(\partial_x) - \kappa^2] g(x, y; -\kappa^2) = 0,$$

$$\lim_{D \ni x \rightarrow z \in S} g(x, y; -\kappa^2) = \tilde{\psi}(z, y; -\kappa^2),$$

$y \in D$ — фиксированная точка.

Эта задача однозначно разрешима; тем самым доказано существование тензора Грина [1].

Для оценки $g(x, y; -\kappa^2)$ применим вариационный метод, изложенный в [4]; рассмотрим функционал

$$L[U] = \int_D [\tilde{E}(U, U) + \kappa^2 U^2] dx,$$

область определения которого состоит из вектор-функций, удовлетворяющих условиям $U \in C^1(\bar{D}) \cap C^2(D)$ и $[U(z)]^+ = \tilde{\psi}(z, y; -\kappa^2)$, $\forall z \in S$. Доказывается, что $\min L[U] = L[g^k]$, где вектор g^k — k -й столбец матрицы $g = \|g_{ik}\|_{6 \times 6}$.

Введем функцию [4]

$$\widehat{\psi}(x, y; -\kappa^2) = \tilde{\psi}(x, y; -\kappa^2) \cdot \left[1 - \left(1 - \frac{r_{xy}^m}{\rho_y^m(x)} \right)^n \right],$$

где r_{xy} — расстояние между x и y , $\rho_y(x) = \max \{r_{xy}, d_y\}$, d_y — расстояние от y до S .

Легко видеть, что $\widehat{\psi}$ совпадает с $\tilde{\psi}$ вне шара $W(y, d_y)$, а внутри допускает оценку

$$\left| \frac{\partial^s \widehat{\psi}}{\partial x_1^i \partial x_2^j \partial x_3^k} \right| \leq \frac{\text{const}}{d_y^m} \cdot r_{xy}^{m-s-1}, \quad s=i+j+k, \quad m \geq s+1.$$

Ясно, что $\widehat{\psi}^k$ является допустимой вектор-функцией для функционала $L[U]$ и $L[g^k] \leq L[\widehat{\psi}^k]$.

Если учесть свойства $\widehat{\psi}^k$, в силу того, что $L[U] \geq 0$, с помощью формулы общего представления регулярного решения [1], получим

$$-\int_S \widehat{\psi}^k T \widehat{\psi}^k ds \leq g_k^k \leq -\int_{W(y, d_y)} \widehat{\psi}^k (\widehat{M} \widehat{\psi}^k - \kappa^2 \widehat{\psi}^k) dx.$$

Отсюда легко установить оценку [4]

$$|g_k^k(y, y; -\kappa^2)| \leq \frac{\text{const}}{d_y^{1+\delta}}, \quad (2)$$

$\delta > 0$ — действительное число.

Доказывается следующая

Теорема 1. Если $\lambda < 0$, $\kappa_0 > 0$ — действительные числа, то тензор Грина $K(x, y; -\kappa_0^2)$ симметричен и $K(x, y; -\kappa_0^2 + \lambda)$ представляет матричную резольвенту ядра $K(x, y; -\kappa_0^2)$.

Обозначим собственные числа и собственные вектор-функции исходной задачи 1 через λ_n , $V^n(x)$ ($V^n(x) = (V_{(1)}^n(x), V_{(2)}^n(x))$), $V_{(1)}^n(x) = (V_1^n, V_2^n, V_3^n)$, $V_{(2)}^n(x) = (V_4^n, V_5^n, V_6^n)$), соответственно. Тогда $\lambda_n + \kappa_0^2$ и $V^n(x)$ являются собственными числами и собственными вектор-функциями ядра $K(x, y; -\kappa_0^2)$.

Известное представление резольвенты с помощью фундаментальных функций, в силу теоремы 1, дает ($x > \kappa_0$)

$$K(x, y; -\kappa^2) - K(x, y; -\kappa_0^2) = (\kappa_0^2 - \kappa^2) \sum_{n=-1}^{\infty} \frac{V^n(x) \times V^n(y)}{(\lambda_n + \kappa_0^2)(\lambda_n + \kappa^2)}, \quad (3)$$

где $V^n(x) \times V^n(y)$ означает матричное произведение вектор-столбцов на вектор-строки [2, 3].

Устанавливается соотношение

$$\lim_{x \rightarrow y} [\tilde{\Phi}^j(x, y; -\kappa^2) - \tilde{\Phi}^j(x, y; -\kappa_0^2)] = \begin{cases} H_1 \cdot \delta^j, & \text{при } j=1, 2, 3, \\ H_2 \cdot \delta^j, & \text{при } j=4, 5, 6, \end{cases} \quad (4)$$

где

$$H_1 = \frac{\varphi^{3/2}(\kappa_0 - \kappa)}{12\pi} \left[\frac{1}{(\lambda + 2\mu)^{3/2}} + 2 \cdot \frac{1}{(\mu + \alpha)^{3/2}} \right],$$

$$H_2 = \frac{J^{3/2}(\kappa_0 - \kappa)}{12\pi} \left[\frac{1}{(\varepsilon + 2\nu)^{3/2}} + 2 \cdot \frac{1}{(\nu + \beta)^{3/2}} \right],$$

$\delta^j = \|\delta_{kj}\|_{6 \times 1}$, $k = \overline{1, 6}$; $\lambda, \mu, \alpha, \varepsilon, \nu, \beta$ — известные постоянные [1]. Из (3), переходя к пределу при $x \rightarrow y$ и учитывая (2), (4), получаем

$$\sum_{n=1}^{\infty} \frac{\{V_k^n(y)\}^2}{(\lambda_n + \kappa_0^2)(\lambda_n + \kappa^2)} \sim \begin{cases} \frac{H_1}{\kappa}, & \text{при } k=1, 2, 3 \\ \frac{H_2}{\kappa}, & \text{при } k=4, 5, 6. \end{cases} \quad (5)$$

Справедлива следующая теорема типа Таубера [3, 4].

Теорема 2. Если неубывающая функция $\Phi(t)$ суммируема в смысле Стильеса и при $x \rightarrow \infty$ имеет место асимптотическое представление

$$h(x) = \int_0^{\infty} \frac{d\Phi(t)}{(x+t)^l} \sim \frac{P}{x^m},$$

где постоянные l, m, P удовлетворяют условиям

$$0 < m < l, \quad P \neq 0,$$

то

$$\Phi(t) \sim \frac{P \cdot \Gamma(l)}{\Gamma(m) \Gamma(l-m+1)} \cdot t^{l-m}.$$

Здесь Γ — функция Эйлера.

Выбирая $\Phi(t)$ в рассматриваемом случае следующим образом:

$$\Phi(t) = \sum_{\lambda_n \leqslant t} \frac{\{V_k^n(y)\}^2}{\lambda_n + \kappa_0^2},$$



из формулы (5), в силу теоремы 2, окончательно будем иметь

$$\lim_{n \rightarrow \infty} \frac{\sum_{k=1}^n |V_{(1)}^k(y)|^2}{(\lambda_n)^{3/2}} = \frac{\rho^{3/2}}{6\pi^2} \left[\frac{1}{(\lambda + 2\mu)^{3/2}} + 2 \cdot \frac{1}{(\mu + \alpha)^{3/2}} \right], \quad (6)$$

$$\lim_{n \rightarrow \infty} \frac{\sum_{k=1}^n |V_{(2)}^k(y)|^2}{(\lambda_n)^{3/2}} = \frac{I^{3/2}}{6\pi^2} \left[\frac{1}{(\varepsilon + 2\nu)^{3/2}} + 2 \cdot \frac{1}{(\nu + \beta)^{3/2}} \right]. \quad (7)$$

Если, в частности, $\alpha=0$, рассматривается граничная задача колебания классической теории упругости и (6) обращается в известную формулу асимптотического распределения [2, 3].

Академия наук Грузинской ССР
Тбилисский математический институт
им. А. М. Размадзе

(Поступило 1.6.1978)

დოკადობის თაორია

რ. დიხამინჯია

მოგენტური დოკადობის თაორიას რჩევის პირველი
სასაზღვრო ამოცანის საკუთრივი ფუნქციების
ასიმპტოტური განაწილების შესახებ

რეზიუმე

ვარიაციული და ინტეგრალური განტოლებების მეთოდების გამოყენებით დადგენილია მომენტური დრეკადობის ორინის რხევის პირველი სასაზღვრო ამოცანის საკუთრივი ფუნქციების ასიმპტოტური განაწილების კანონი ეცვლიდეს სამგანზომილებიან სივრცეში.

ELASTICITY THEORY

R. G. DIKHAMINJIA

**ON THE ASYMPTOTIC DISTRIBUTION OF THE EIGEN-FUNCTIONS
OF THE FIRST BOUNDARY VALUE PROBLEM OF OSCILLATION
IN THE COUPLE-STRESS THEORY OF ELASTICITY**

S u m m a r y

Using the variational method and that of singular equations, the asymptotic distribution of the fundamental functions of the first principal problem of oscillation in the couple-stress theory of elasticity in a three-dimensional Euclidean space is studied.

ლიტერატურა — ЛИТЕРАТУРА — REFERENCES

1. В. Д. Купрадзе, Т. Г. Гегелия, М. О. Башелейшвили, Т. В. Бурчуладзе. Трехмерные задачи математической теории упругости и термоупругости. М., 1976.
2. ბ. რ. ჭ. უ. დ. ი. ეტორეფერტი. თბილისი, 1956.
3. Т. В. Бурчуладзе. Труды Тбил. гос. ун-та, 64, 1957.
4. A. Pleijel. Arkiv for matem., astr. och fysik, 27A, 13, 1940.

ТЕОРИЯ УПРУГОСТИ

Р. Д. БАНЦУРИ

ПЕРВАЯ ОСНОВНАЯ ЗАДАЧА КУСОЧНО-ОДНОРОДНОЙ
 ОРТОТРОПНОЙ ПЛОСКОСТИ С РАЗРЕЗОМ,
 ПЕРПЕНДИКУЛЯРНЫМ ПРЯМОЙ РАЗДЕЛА

(Представлено академиком Н. П. Векуа 15.5.1978)

Пусть область S , занятая кусочно-однородным ортотропным упругим телом, представляет собой всю плоскость, разрезанную вдоль отрезка $[0,1]$ оси x . Будем считать, что левая S_2 и правая S_1 полу-плоскости однородные и главные направления упругости совпадают с осями координат.

Пусть на края разреза $0 \leq x \leq 1$ приложены симметричные нормальные напряжения; $\sigma_y^+ = \sigma_y^- = p(x)$, $\zeta_{xy} = 0$, где $p(x)$ — абсолютно непрерывная функция.

Согласно [1], напряжения и смещения представляются через две голоморфные в S_h ($k = 1, 2$) функции $\varphi_k(z_h)$ $\psi_k(\zeta_h)$ следующим образом:

$$\sigma_x^{(k)} = -2\operatorname{Re} [\beta_k^2 \varphi_k(z_h) + \gamma_k^2 \psi_k(\zeta_h)], z_h = x + i\beta_h y, \zeta_h = x + i\gamma_h y, (x, y) \in S_h, \quad (1)$$

$$\sigma_y^{(k)} = 2\operatorname{Re} [\varphi'_k(z_h) + \psi'_k(\zeta_h)], \tau_{xy}^{(k)} = 2\operatorname{Im} [\beta_k \varphi'_k(z_h) + \gamma_k \psi'_k(\zeta_h)], \quad (2)$$

$$u_h = 2\operatorname{Re} [p_h \varphi_h(z_h) + r_h \psi_h(\zeta_h)], v_h = -2\operatorname{Im} [\beta_h r_h \varphi_h(z_h) + \gamma_h p_h \psi_h(\zeta_h)], \quad (3)$$

где $\pm i\beta_h \pm i\gamma_h$ — корни уравнения

$$\mu^4 + (E_h/G_h - 2\nu_h)\mu^2 + E_h/E'_h = 0;$$

$p_h = -(\beta_h^2 + \nu_h)/E_h$, $r_h = -(\gamma_h^2 + \nu_h)/E_h$, E_h и E'_h — модули Юнга для растяжения или сжатия по главным направлениям x и y ; G_h — модуль сдвига; ν_h — коэффициент Пуассона. Из условий симметрии относительно оси x ясно, что

$$U_1^+(x, 0) - U_1^-(x, 0) = v_1^+(x, 0) + v_1^-(x, 0) = \tau_{xy}^{(1)}(x, 0) = 0, x > 0.$$

Используя эти условия и равенства (1), (2), (3), получаем следующие соотношения:

$$\varphi_1^+(x) - \varphi_1^-(x) = \frac{i f(x)}{\beta_1(p_1 - r_1)},$$

$$\psi_1^+(x) - \psi_1^-(x) = \frac{i f(x)}{\gamma_1(r_1 - p_1)}, \quad 0 < x < 1, \quad (4)$$

$$\operatorname{Re} [\varphi_1^+(x) + \varphi_1^-(x) + \psi_1^+(x) + \psi_1^-(x)] = \sigma_y^{(1)}(x), \quad x > 0, \quad (5)$$

где через $f(x)$ обозначена $\frac{\partial v_1^+(x, 0)}{\partial x}$.

Решение задачи (4) имеет вид

$$\varphi'_1(z_1) = \frac{1}{2\pi\beta_1(p_1-r_1)} \int_0^1 \frac{f(t)dt}{t-z_1} + \omega_1(z_1), \quad (6)$$

$$\psi'_1(\zeta_1) = \frac{1}{2\pi\gamma_1(r_1-p_1)} \int_0^1 \frac{f(t)dt}{t-\zeta_1} + \omega_2(\zeta_1), \quad (7)$$

где $\omega_1(z_1)$, $\omega_2(\zeta_1)$ — функции, голоморфные в полуплоскостях $\operatorname{Re} z_1 > 0$, $\operatorname{Re} \zeta_1 > 0$.

Применяя условия равновесия и неразрывности на линии $x=0$, получаем

$$\omega_1(z_1) = \frac{\Delta_{12}}{2\pi\beta_1(p_1-r_1)\Delta} \int_0^1 \frac{f(t)dt}{t+z_1} + \frac{\Delta_{22}\beta_1}{2\pi\gamma_1(r_1-p_1)\Delta} \int_0^1 \frac{f(t)dt}{\beta_1 t + \gamma_1 z_1}, \quad (8)$$

$$\omega_2(\zeta_1) = \frac{\Delta_{21}}{2\pi\gamma_1(p_1-r_1)\Delta} \int_0^1 \frac{f(t)dt}{t+\zeta_1} + \frac{\Delta_{11}\gamma_1}{2\pi\beta_1(r_1-p_1)\Delta} \int_0^1 \frac{f(t)dt}{\gamma_1 t + \beta_1 \zeta_1}, \quad (9)$$

где

$$\Delta = \begin{vmatrix} \beta_1 & \gamma_1 & -\beta_2 & -\gamma_2 \\ 1 & 1 & 1 & 1 \\ p_1 & r_1 & p_2 & r_2 \\ r_1\beta_1 & p_1\gamma_1 & -r_2\beta_2 & -p_2\gamma_2 \end{vmatrix} \beta_1 \beta_2 \gamma_1 \gamma_2,$$

$$\Delta_{ij} = \begin{vmatrix} -a_i & a_j & -\beta_2 & -\gamma_2 \\ 1 & 1 & 1 & 1 \\ b_i & b_j & p_2 & r_2 \\ -c_i & c_j & -r_2\beta_2 & -p_2\gamma_2 \end{vmatrix} a_i a_j \beta_2 \gamma_2,$$

$$a_1 = \beta_1, \quad b_1 = p_1, \quad c_1 = r_1\beta_1, \quad a_2 = \gamma_1, \quad b_2 = r_1, \quad c_2 = p_1\gamma_1.$$

Легко можно показать, что $\gamma_1^3 \Delta_{11} = \beta_1^3 \Delta_{22}$.

Подставляя граничные значения функций $\varphi'_1(z_1)$, $\psi'_1(\zeta_1)$, определяемых

равенствами (6), (7), (8), (9), в (5) и принимая во внимание, что $\int_0^1 f(t)dt = 0$,

получаем

$$\int_0^1 \frac{tf(t)dt}{t-x} + \int_0^1 Q\left(\frac{x}{t}\right)f(t)dt = k_3 \pi x \sigma^{(1)}(x), \quad x > 0, \quad (10)$$

где

$$Q(x) = k_1(1+x)^{-1} + k_2\beta_1(\beta_1 + \gamma_1 x)^{-1} + k_2\gamma_1(\gamma_1 + \beta_1 x)^{-1},$$

$$k_1 = (\Delta_{12}\gamma_1 + \Delta_{21}\beta_1)/\Delta(\beta_1 - \gamma_1), \quad k_2 = \gamma_1^2 \Delta_{11}/\beta_1 \Delta(\gamma_1 - \beta_1), \quad k_3 = (\gamma_1 + \beta_1)\gamma_1 \beta_1/E_1.$$

При помощи подстановки $x = e^{\xi_0}$, $t = e^{\xi}$ уравнение (10) приводится к виду

$$\int_{-\infty}^0 \frac{f(e^{\xi}) e^{\xi} d\xi}{1 - \exp(\xi_0 - \xi)} + \int_{-\infty}^0 Q(e^{\xi_0 - \xi}) f(e^{\xi}) e^{\xi} d\xi = k_3 \pi e^{\xi_0} \sigma_y(e^{\xi_0}), \quad -\infty < \xi_0 < \infty. \quad (11)$$

Применяя преобразование Фурье к уравнению (11), получаем

$$\Phi^+(t) = G(t) \Phi^-(t) + k_3 i P(t), \quad -\infty < t < \infty, \quad (12)$$

где

$$G(t) = (\operatorname{ch} \pi t + k_1 + 2k_2 \cos \mu t) / \operatorname{sh} \pi t, \quad P(t) = \int_{-\infty}^0 p(e^{\xi}) e^{\xi(1+it)} d\xi,$$

$\mu = \ln \beta_1 - \ln \gamma_1$. Можно показать, что $G(t) \neq 0$, $-\infty < t < \infty$.

Решение задачи (12) дается формулами

$$\Phi^-(w) = \frac{X(w) k_3 w}{2\pi \sqrt{w-i}} \int_{-\infty}^{\infty} \frac{P(t) dt}{X^+(t) \sqrt{t+i(t-w)}}, \quad \operatorname{Im} w < 0,$$

$$\Phi^-(w) \frac{\Phi^+(w) - k_3 i P(w)}{G(w)}, \quad 0 < \operatorname{Im} w < 1,$$

$$\Phi^+(w) = \frac{X(w) k_3 \sqrt{w+i}}{2\pi} \int_{-\infty}^{\infty} \frac{P(t) dt}{X^+(t) \sqrt{t+i(t-w)}}, \quad \operatorname{Im} w > 0, \quad (13)$$

$$X(w) = \exp \left(\frac{1}{2\pi} \int_{-\infty}^{\infty} \frac{\ln [t(t^2+1)^{-1} G(t)]}{t-w} dt \right), \quad \operatorname{Im} w \neq 0.$$

Функция $\Phi^-(w)$ аналитическая в полуплоскости $\operatorname{Im} w < 1$, кроме точки $i\tau_0$, $0 < \tau_0 < 1$, где $i\tau_0$ — корень функции $G(w)$. В точке $i\tau_0$ функция $\Phi^-(w)$ имеет полюс первого порядка. На основании этого можно показать что $\sigma_y^{(2)}(x, 0) = 0$ (x^{τ_0-1}).

Доказывается, что $\Phi^+(t)$ представима в виде

$$\Phi^+(t) = \frac{k_3 ci}{\sqrt{t+i}} + \Phi_0^+(t),$$

где $\Phi_0^+(t)$ — преобразование Фурье функции $\varphi_0(\xi)$, непрерывной на замкнутой полуоси $0 \leq \xi < \infty$;

$$c = -\frac{1}{2\pi} \int_{-\infty}^{\infty} \frac{P(t) dt}{X^+(t) \sqrt{t+i}}.$$

Теперь легко показать, что $\sigma_y^{(1)}$ можно представить в виде

$$\sigma_y^{(1)}(x, 0) = \frac{c \exp \left\{ \frac{\pi}{4} i \right\}}{\pi x^2 \sqrt{x-1}} + \varphi(x), \quad x > 1,$$

где $\varphi(x)$ — ограниченная функция при $x \geq 1$.

Эта задача для изотропной среды рассматривалась в [2, 3].

Академия наук Грузинской ССР
Тбилисский математический институт
им. А. М. Размадзе

(Поступило 6.7.1978)

დოკადობის თაორია

მ. ბანცური

პირველი ძირითადი ამოცანა უანობრივ-ერთგვაროვანი
ორთოტროპობული სიბრტყისათვის, გამყოფი წრფის
პრიცენდიცულარული პრილით

რეზიუმე

ანალიზურ ფუნქციათა ოეორიისა და ფურიეს გარდაქმნათა მეთოდების
გამოყენებით ეფექტურადაა წარმოდგენილი დრეკადობის თეორიის პირველი
ძირითადი ამოცანის ამოხსნა უბნობრივ-ერთგვაროვანი ორთოტროპიული სი-
ბრტყისათვის, როდესაც ერთ-ერთ ნახევარსიბრტყეს აქვს გამყოფი წრფის
პერპენდიკულარული სასრული სიგრძის სწორხაზოვანი ჭრილი, რომლის ერთი
ბოლო გამყოფ წრფეზე მდებარეობს.

THEORY OF ELASTICITY

R. D. BANTSURI

**FIRST FUNDAMENTAL PROBLEM FOR PIECEWISE
HOMOGENEOUS ORTHOTROPIC PLANE WITH A CUT
PERPENDICULAR TO THE LINE OF INTERFACE**

S u m m a r y

The solution in quadratures of the first fundamental problem for a piecewise homogeneous orthotropic plane is given, using the methods of the theory of analytic functions and Fourier transforms in the case when one of the half-planes has a linear finite cut coming from the line of interface and perpendicular to it.

ЛІТОРАЛА — ЛІТЕРАТУРА — REFERENCES

1. С. Г. Лехницкий. Анизотропные пластинки. М.-Л., 1947.
2. А. А. Храпков. ПММ, 34, в. 4, 1968.
3. F. Erdogan, T. S. Cook. Int. J. Eng. Sci., 10, № 8, 1972.



КИБЕРНЕТИКА

Д. И. БАШАЛЕИШВИЛИ

МАТЕМАТИЧЕСКИЕ МОДЕЛИ УКРУПНЯЮЩИХ И УМЕНЬШАЮЩИХ СИСТЕМ СО СДВИГОМ

(Представлено академиком В. В. Чавчанидзе 11.5.1978)

В отличие от изученных нами ранее укрупняющих и уменьшающих систем A и B [1—3], для которых плотности распределения на входе и выходе определены в одном и том же интервале $(0, \infty)$, в различных областях промышленности встречаются и такие укрупняющие и уменьшающие системы, плотности распределения на входе и выходе которых определены в различных, но частично перекрывающихся интервалах.

Введем понятиедвигающих укрупняющих и уменьшающих систем, обозначаемых через A_δ^a и B_δ^a . Выражения

$$f(x-a) = \int_0^{x-a} \delta(x-a-y) f(y) dy, \quad x > a \quad (1)$$

и

$$f(x) = \int_a^\infty \delta(x+a-y) f(y-a) dy, \quad x > 0 \quad (2)$$

определяются как функциональные модели систем A_δ^a и B_δ^a соответственно, где $\delta(x)$ — функция Дирака, а $a = \text{const} \geq 0$. Другими словами, система A_δ^a сдвигает входную плотность распределения вправо на величину $a > 0$, сохраняя вид ее кривой. Физически это означает, что все частицы входного потока укрупняются на величину $a > 0$. Аналогично, система B_δ^a сдвигает входную плотность распределения влево на величину a без изменения формы ее кривой.

Введем некоторые обозначения. Нижний индекс буквы A или B , обозначающей укрупняющую и уменьшающую системы соответственно, указывает на интервал определения характеристики на входе, а верхний — на выходе, причем индекс a не указывается. Например, A_a^b означает, что плотности распределения на входе и выходе укрупняющей системы определены в интервалах (a, ∞) и (b, ∞) соответственно.

Системы A_a^b и B_a^b , каждая по отдельности, получаются как последовательные соединения двух подсистем, точнее $A_a^b = A_a^a A_a^{b-a}$ и $B_a^b = B_a^a B_a^{b-a}$, и их функциональные модели имеют вид

$$\varphi(x-b) = \int_a^{x-(b-a)} K[x-(b-a)-y, y-a] f(y-a) dy, \quad x > b, b \geq a, \quad (3)$$

$$\varphi(x-b) = \int_{x-(b-a)}^{\infty} W[x-(b-a)-y, y-a] f(y-a) dy, \quad x > b, b \leq a \quad (4)$$

соответственно, где $f(\cdot)$ и $\varphi(\cdot)$ суть плотности распределения на входе и выходе системы, а $K(\cdot, \cdot)$ и $W(\cdot, \cdot)$ — характеристики укрупняющей и уменьшающей систем соответственно.

Учитывая функциональные модели подсистем, можно доказать эквивалентность (обозначается равенством) систем, а именно $A_a^a A_\delta^{b-a} = A_\delta^{b-a} A_b^b$ и $B_a^a B_\delta^{b-a} = B_\delta^{b-a} B_b^b$.

После определения функциональных моделей, приведенных выше, несложно получить алгебраические модели систем A_a^b и B_a^b , устанавливающие связь между „бедными“ характеристиками распределения на входе и выходе через „бедные“ характеристики системы. Под „бедными“ характеристиками понимаются начальные и центральные моменты. Введем следующие обозначения: β_n и γ_n суть начальные моменты порядка n входного и выходного распределения соответственно; $\alpha_n(\cdot)$ и $\pi_n(\cdot)$ — начальные моменты порядка n функций $K(\cdot, \cdot)$ и $W(\cdot, \cdot)$ соответственно. Верхние индексы начальных моментов будут указывать на величину сдвига начальных моментов, определенных на интервале $(0, \infty)$.

Можно показать, что однородная система A_a^b представляется алгебраическими моделями

$$\gamma_n^b = \sum_{i=0}^n C_n^i (b-a)^{n-i} \sum_{j=0}^i C_j^i \alpha_{i-j} \beta_j^a, \quad n=1,2,\dots \quad (5)$$

а неоднородная система A_a^b — алгебраическими моделями (для первых двух начальных моментов)

$$\gamma_1^b = \beta_1^a + (b-a) + \int_a^{\infty} \alpha_1(y-a) f(y-a) dy, \quad b \geq a, \quad (6)$$

$$\begin{aligned} \gamma_2^b = & \beta_2^a + (b-a)^2 + 2(b-a)\beta_1^a + \int_a^{\infty} [2(b-a)\alpha_1(y-a) + \\ & + 2y\alpha_1(y-a) + \alpha_2(y-a)] f(y-a) dy, \quad b \geq a. \end{aligned} \quad (7)$$

Аналогично можно показать, что система B_a^b представляется алгебраическими моделями

$$\gamma_1^b = \beta_1^a + b - a - \int_a^{\infty} \pi_1(y-a) f(y-a) dy, \quad b \leq a, \quad (8)$$

$$\gamma_2^b = \beta_2^a + (b-a)^2 + 2(b-a)\beta_1^a - \int_a^\infty [2(b-a)\pi_1(y-a) + \\ + 2y\pi_1(y-a) - \pi_2(y-a)]f(y-a)dy, \quad b \leq a. \quad (9)$$

Как видно из выражений (6)–(9), для определения «бедных» характеристик на выходе неоднородных систем в отличие от однородных требуется знание полной характеристики на входе.

Как показывает анализ сравнения всевозможных плотностей распределения на входе и выходе укрупняющих (или уменьшающих) систем со сдвигом, систему A_a^b (или B_a^b) не всегда можно представить как последовательное соединение только укрупняющих (уменьшающих) подсистем. В таких случаях система A_a^b со сдвигом $b-a$ представляется как последовательное соединение уменьшающей системы B_a^a и сдвигающей укрупняющей системы A_δ^{b-a} , т. е. $A_a^b = B_a^a A_\delta^{b-a}$, а система B_a^b — системой $A_a^a B_\delta^{b-a}$, т. е. $B_a^b = A_a^a B_\delta^{b-a}$.

Можно показать, что функциональные модели систем $A_a^b = B_a^a A_\delta^{b-a}$ и $B_a^b = A_a^a B_\delta^{b-a}$ имеют вид (4) и (3) соответственно, но в них последние неравенства заменены обратными (в (4) $b > a$, а в (3) $b < a$). Нетрудно показать также, что алгебраические модели системы $A_a^b = B_a^a A_\delta^{b-a}$ имеют вид (8) и (9), но при $b > a$, а алгебраические модели системы $B_a^b = A_a^a B_\delta^{b-a}$ — (6) и (7), но при $b < a$.

Следует отметить, что можно легко доказать эквивалентность систем $B_a^a A_\delta^{b-a} = A_\delta^{b-a} B_b^b$ и $A_a^a B_\delta^{b-a} = B_\delta^{b-a} A_b^b$.

Всегда ли смешанная система $B_a^a A_\delta^{b-a}$ является укрупняющей, т. е. системой A_a^b , тем более что $b > a$ или всегда ли смешанная система $A_a^a B_\delta^{b-a}$ является уменьшающей, т. е. системой B_a^b , тем более что $b < a$?

Если в реальном объекте происходит только процесс укрупнения или только процесс уменьшения размеров частиц, то очевидно, что соответствующая система $B_a^a A_\delta^{b-a}$ будет только укрупняющей, т. е. системой A_a^b и система $A_a^a B_\delta^{b-a}$ — только уменьшающей, т. е. системой B_a^b . Однако, по-видимому, существуют объекты, в которых протекают оба процесса (например, при мокром измельчении возможно слипание частиц). Имея последний случай в виду, можно постулировать существование уменьшающей системы $B_a^a A_\delta^{b-a}$ и укрупняющей системы $A_a^a B_\delta^{b-a}$. Тогда желательно иметь количественную меру для разделения класса систем $B_a^a A_\delta^{b-a}$ (или $A_a^a B_\delta^{b-a}$) на два подкласса — укрупняющих и уменьшающих систем. Такой количественной мерой может служить величина (см. выражения (6) и (8))

$$\Delta_1 = b - a + \int_a^\infty \alpha_1(y-a)f(y-a)dy \quad \text{при } b < a$$

для класса систем $\{A_a^a B_\delta^{b-a}\}$ и величина

$$\Delta_2 = b - a - \int_a^\infty \pi_1(y-a)f(y-a)dy \quad \text{при } b > a$$

для класса систем $\{B_a^a A_\delta^{b-a}\}$.



Если $\Delta_1 > 0$ (или $\Delta_2 > 0$), то система $A_a^a B_{\delta}^{b-a}$ (или $B_a^a B_{\delta}^{b-a}$) **укрупняющей**, а если $\Delta_1 < 0$ (или $\Delta_2 < 0$)—**уменьшающей**. Другими словами, принято естественное соглашение—если начальный момент первого порядка выходного распределения больше начального момента первого порядка входного распределения, то система является укрупняющей, а если выполняется обратное неравенство—уменьшающей. В случаях, когда $\Delta_1 = 0$ или $\Delta_2 = 0$, имеются тождественные системы в смысле преобразования начального момента первого порядка, а не в смысле преобразования других характеристик распределения.

Наконец, следует отметить, что задача идентификации и параметрического синтеза систем A_a^b или B_a^b при известных a и b сводятся к соответствующим задачам систем A и B , изученных в [2—4].

Тбилисский государственный университет

(Поступило 18.5.1978)

გ0806600ტ002

დ. ბაშალეიშვილი

ძვრიანი გამასხვილებელი და უმაგისტრებელი

სისტემების მათემატიკური მოდელები

რეზიუმე

აგებულია გამასხვილებელი და უმაგისტრებელი სისტემების ფუნქციონალური და ალგებრული მოდელები იმ შემთხვევებისათვის, როდესაც აღნიშნული სისტემების შესავალზე და გამოხავალზე მახსინათებლები განსაზღვრულია სხვადასხვა ინტერვალზე.

CYBERNETICS

D. I. BASHALEISHVILI

MATHEMATICAL MODELS OF INTEGRATING AND REDUCING SYSTEMS WITH DISPLACEMENT

Summary

Functional and algebraic models of integrating and reducing systems with displacement have been derived. These systems are viewed as successive combinations of systems without displacement and so-called displacing systems. The latter system implies one that displaces the output density of distribution at a constant value as compared to the input distribution, without altering its form.

ლიტერატურა — ЛИТЕРАТУРА — REFERENCES

1. Д. И. Башалеишвили. Автоматика и телемеханика, 12, 1964.
2. Д. И. Башалеишвили. Сообщения АН ГССР, 79, № 3, 1975.
3. Д. И. Башалеишвили. Сообщения АН ГССР, 79, № 2, 1975.
4. Д. И. Башалеишвили. Z. SEMINÁŘ o experimentálním modelování a řešení pravděpodobnostních problémů. Liblice u Prahy, 1976.

Э. И. КИСТАУРИ

ПОСЛЕДОВАТЕЛЬНАЯ ДЕКОМПОЗИЦИЯ ПОЛУМАРКОВСКИХ ПРОЦЕССОВ С ДИСКРЕТНЫМ МНОЖЕСТВОМ СОСТОЯНИЙ

(Представлено академиком В. В. Чавчанидзе 3.5.1978)

В данной работе изучается последовательная композиция и декомпозиция полумарковских процессов (ПМП) с дискретным множеством состояний. Работе предшествовало исследование параллельной декомпозиции ПМП [1] и декомпозиция дискретных марковских процессов [2, 3] с непрерывным временем.

Пусть имеется ПМП $X(t)$, $t \in T = [0, +\infty)$ с множеством состояний I_1 , $I_1 \subset I = \{1, 2, 3, \dots\}$, начальным стохастическим вектором $r = (r_i; i \in I_1)$ и ПМ-матрицей $R(t) = (R_{ij}(t); i, j \in I_1)$, $R_{ij}(t) = r_{ij} N_{ij}(t); i, j \in I_1$.

Рассмотрим систему ПМП $\{Y^{(\omega)}(t)\}, \omega \in I_1, t \in T$ с одним и тем же множеством состояний I_2 , $I_2 \subset I$, начальным стохастическим вектором $q = (q_k; k \in I_2)$ и ПМ-матрицами $\{Q^{(\omega)}(t)\} = \{Q_{kl}^{(\omega)}(t); k, l \in I_2\}$; $Q_{kl}^{(\omega)}(t) = q_{kl}^{(\omega)} M_{kl}^{(\omega)}(t); k, l \in I_2; \omega \in I_1$.

Определение 1. Двумерный вероятностный процесс

$$(X(t), Y^{(\omega)}(t)) \quad (1)$$

с множеством состояний

$$I_1 \times I_2, \quad (2)$$

начальным вектором

$$r \otimes q \quad (3)$$

и переходной матрицей

$$H(t) = R(t) \otimes \{Q^{(\omega)}(t)\}, \quad (4)$$

где $I_1 \times I_2$, $r \otimes q$ — прямые, а $H(t)$ — каскадное произведение [4] соответствующих множеств, векторов и матриц, назовем последовательной композицией ПМП $X(t)$ и $\{Y^{(\omega)}(t)\}, \omega \in I_1$.

Теорема 1. Последовательная композиция ПМП (1) определяет двумерный ПМП $(X(t), Y^{(X(t))}(t))$.

Доказательство. Очевидно, $P\{X(0)=i, Y_{(0)}^{(i)}=k\}=r_i q_k$, что является общим элементом вектора (3). Легко видеть, что $\forall i, j \in I_1; k, l \in I_2; (i, k), (j, l) \in I_1 \times I_2$,

$$H_{(i,k)(j,l)}(t) = r_{ij} q_{kl}^{(i)} N_{ij}(t) M_{kl}^{(i)}(t).$$

Так как $R(t)$ и $Q^{(\omega)}(t)$ являются ПМ-матрицами, то $H(t)$ — тоже полумарковская матрица, которая вместе с (3) определяет двумерный ПМП $(X(t), Y^{(X(t))}(t)), \omega \in I_1$.

Определение 2. Мы будем говорить, что ПМП являются подобными, если и только если они имеют эквивалентные множества состояний, при которых ни один из них не является правильной частью другого. С точностью перестановки состояний начальные вектора совпадают, а ПМ-матрицами служат $C(t)$ и $\Phi(t)C(t)$, где $\Phi(t) \in [0, 1]$, $\forall t \in T; \Phi(0) = 0, \Phi(\infty) = 1$.

Пусть имеется ПМП $Z(t)$, $t \in T$ с множеством состояний I , начальным стохастическим вектором $p = (p_\alpha; \alpha \in I)$ и ПМ-матрицей $C(t) = (C_{\alpha\beta}(t); \alpha, \beta \in I)$; $C_{\alpha\beta}(t) = p_{\alpha\beta}F_{\alpha\beta}(t)$, где $p = (p_{\alpha\beta}; \alpha, \beta \in I)$ — стохастическая матрица вложенной ЦМ $\{Z_n\}$.

Определение 3. Мы будем говорить, что ПМП $Z(t)$ последовательно декомпозируется с покрытием на два ПМП $X(t)$, $Y^{(\omega)}(t)$, если и только если $I_1, I_2 \subset I$ и ПМП (1) отличается с точностью подобия от исходного ПМП $Z(t)$ только некоторым подмножеством невозвратных состояний. В частном случае, если I и $I_1 \times I_2$ эквивалентны и ни один из них не является правильной частью другого, то будет иметь место последовательная декомпозиция без покрытия.

Теорема 2. Для того чтобы ПМП $Z(t)$ последовательно декомпозировался с покрытием на ПМП $X(t)$ и $\{Y^{(\omega)}(t)\}$, необходимо существование двух таких нетривиальных разбиений π, τ множества состояний I , удовлетворяющих следующим условиям:

1. $|\pi_i \tau_k| \leq 1$, где $|\pi_i \tau_k|$ — мощность множества $\pi_i \tau_k$; $\pi_i \subset \pi, \tau_k \subset \tau$;
2. $\frac{C_{a\pi_d \tau_1}(t)}{C_{a\pi_f \tau_1}(t)} = \frac{C_{a\pi_d \tau_2}(t)}{C_{a\pi_f \tau_2}(t)} = \dots; \forall a \in I; \pi_d, \pi_f \subset \pi; \tau_1, \tau_2, \dots, \subset \tau$;
3. $\frac{C_{a\pi_1 \tau_l}(t)}{C_{a\pi_g \tau_l}(t)} = \frac{C_{a\pi_2 \tau_l}(t)}{C_{a\pi_2 \tau_g}(t)} = \dots; \forall a \in I; \tau_g, \tau_l \subset \tau; \pi_1, \pi_2, \dots, \subset \pi$;
4. $\frac{C_{a\pi_1 \tau_l}(t)}{C_{\beta \pi_1 \tau_l}(t)} = \frac{C_{a\pi_2 \tau_l}(t)}{C_{\beta \pi_2 \tau_l}(t)} = \dots; \forall a, \beta \in I; \tau_l \subset \tau; \pi_1, \pi_2, \dots, \subset \pi$;
5. $p_{\pi_j} \cdot p_{\tau_l} = p_{\pi_f \tau_l}; \forall a \in I; \pi_f \subset \pi, \tau_l \subset \tau$, где $p_A = \sum_{a \in A} p_a$.

Доказательство теоремы следует из того, что если ПМП $Z(t)$ последовательно декомпозируется с покрытием на ПМП $X(t)$ и $\{Y^{(\omega)}(t)\}$, то $\forall a = (i, k), \beta = (j, l) \in I$,

$$C_{\alpha\beta}(t) = R_{ij}(t) Q_{kl}^{(\omega)}(t), \quad p_{\alpha\beta} = r_{ij} q_{kl}^{(t)}. \quad (6)$$

После этого справедливость условий 1—5 проверяется непосредственно.

Ниже мы будем рассматривать также ПМП, у которых времена сидения во всех состояниях имеют одинаковые (не обязательно показательные) функции распределения. Такие ПМП встречаются в теории массового обслуживания и в теории надежности [5].

Теорема 3. Рассмотрим ПМП $Z(t)$ с ПМ-матрицей $C(t) = (C_{\alpha\beta}(t) = p_{\alpha\beta}F_{\alpha\beta}(t); \alpha, \beta \in I)$, удовлетворяющий соотношениям:

$$\sum_{\gamma \in I} C_{\alpha\gamma}(t) = \sum_{\gamma \in I} C_{\beta\gamma}(t); \quad \forall \alpha, \beta \in I \quad (7)$$

и

$$p_{\alpha\beta} = 0; \quad \forall \alpha, \beta \in \pi_i, \quad \pi_i \subset \pi; \quad p_{\gamma\delta} = 0; \quad \forall \gamma, \delta \in \tau_k, \quad \tau_k \subset \tau, \quad (8)$$

для некоторых нетривиальных разбиений π и τ множества I . Для того чтобы $Z(t)$ допускал последовательную декомпозицию с покрытием на ПМП $X(t)$ и $\{Y^{(X(t))}(t)\}$, необходимо и достаточно выполнение следующих условий:

1. ПМП $Z(t)$ укрупним [6] по π ;
2. $|\pi_i \tau_k| \leq 1; \quad \forall \pi_i \subset \pi; \quad \tau_k \subset \tau;$
3. $C_{\alpha\pi_j}(t) C_{\alpha\tau_l}(t) = \Phi(t) C_{\alpha\pi_j\tau_l}(t);$
4. $p_{\pi_j} p_{\tau_l} = p_{\pi_j\tau_l}.$

Доказательство необходимости теоремы следует из определения 3, соотношений (6), (7) и [6]. При доказательстве достаточности следует пользоваться соотношением (7), условиями 1—4 и [6].

Теорема 4. Пусть имеется ПМП $Z(t)$ с ПМ-матрицей, удовлетворяющей условиям (7) и (8). Для того чтобы этот ПМП допускал последовательную декомпозицию с покрытием на ПМП $X(t)$, $\{Y^{(X(t))}(t)\}$ с множествами состояний $I_1, I_2 \subset I$, необходимо чтобы соответствующая вложенная ЦМ $\{Z_n\}$ допускала такую декомпозицию на ЦМ $\{X_n\}$ и $\{Y_n^{(X_n)}\}$.

Условие теоремы является также достаточной для ПМП с ПМ-матрицей $C(t) = (C_{\alpha\beta}(t) = p_{\alpha\beta} F(t); \alpha, \beta \in I)$. Для доказательства этой теоремы надо использовать результаты работ [3, 6] и предыдущей теоремы.

Академия наук Грузинской ССР

Институт кибернетики

(Поступило 18.5.1978)

კიბერნეტიკა

მ. ქისტაური

დისტანციულ მდგომარეობათა სიმრავლის მათემატიკური კრონცესიების მიმღებობითი
დეკომპოზიცია

რეზიუმე

განხილულია დისტანციულ მდგომარეობათა სიმრავლის მქონე ნახევარ-
მარქოვული პროცესების მიმღებობითი დეკომპოზიცია. მოყვანილია შესა-
ბამისი თეორემები.

CYBERNETICS

E. I. KISTAURI

SUCCESSIVE DECOMPOSITION OF SEMI-MARKOV PROCESSES WITH A DISCRETE SET OF STATES

Summary

Successive decomposition of semi-markov processes with a discrete set of possible states is considered. Corresponding theorems are given.

ЛІТЕРАТУРА — REFERENCES

1. Э. И. Кистаури, А. Х. Гиоргадзе. Труды ИК АН ГССР, т. I, 1977.
2. Э. И. Кистаури. «Кибернетика», № 4, Киев, 1977.
3. Э. И. Кистаури. Декомпозиция цепей Маркова со счетным множеством состояний. Деп. ВИНТИ, № 3304—77.
4. A. Raz. Introduction to Probabilistic Automata, AP, N.-L., 1971.
5. В. С. Королюк, А. Ф. Турбин. Полумарковские процессы и их приложения. Киев, 1976.
6. R. F. Serfozo. J. Appl. Math., 20, №3, 1971.

КИБЕРНЕТИКА

Р. П. МЕГРЕЛИШВИЛИ

ВЫСОКОЭФФЕКТИВНЫЕ КОДЫ С КОРРЕКЦИЕЙ ПАКЕТОВ ОШИБОК, ОБЛАДАЮЩИЕ ПРОСТЫМ АЛГОРИТМОМ ДЕКОДИРОВАНИЯ

(Представлено членом-корреспондентом Академии В. К. Чичинадзе 30.6.1978)

В настоящей работе дается новый класс высокоеффективных кодов с коррекцией пакетов ошибок, обладающий простым алгоритмом декодирования. Исправление пакетов достигается построением специальной проверочной матрицы линейного кода и использованием метода перемежения, рассмотренного в [1]. Эти коды декодируются проще кодов [2] и при исправлении одиночных пакетов оказываются лучше известных кодов [3—6].

Запишем проверочную матрицу (n, k) -кода в виде

$$H = \begin{pmatrix} I_m & I_m & \cdots & I_m \\ P_m^0 & P_m^1 & \cdots & P_m^{cm} \end{pmatrix}, \quad (1)$$

где I_m —единичная матрица порядка m ; P_m^i ($i = 0, m, 2m, \dots, cm$ и $od(2^m - 1)$); $c = 2^m - 2$ —квадратная матрица порядка m , которая в качестве своих столбцов содержит двоичные записи m последовательных элементов $\alpha^l, \alpha^{l+1}, \dots, \alpha^{l+m-1}$ мультиплексивной группы поля Гаула $GF(2^m)$, порожденной примитивным элементом α . Очевидно, что $P_m^0 = I_m$.

Пусть $\varepsilon = (\varepsilon_0, \dots, \varepsilon_{m-1})$ ($\varepsilon_i = 0; 1$)—вектор пакета ошибок длины m , а $\varepsilon(x) = \varepsilon_0 + \varepsilon_1 x + \dots + \varepsilon_{m-1} x^{m-1}$ —соответствующий многочлен.

Нетрудно показать, что выражения

$$\varepsilon' P_m^l = s, \quad (2)$$

$$\varepsilon(x) \alpha^l(x) \equiv s(x) \bmod p(x) \quad (2')$$

идентичны (здесь ε' —вектор-столбец, транспонированный к вектор-строке), т. е. умножение вектора ошибки ε на подматрицу P_m^l и умножение многочлена $\varepsilon(x)$, соответствующего той же ошибке ε , на элемент поля $\alpha^l(x)$ приводят к одному тому же результату; $p(x)$ —минимальная функция для a .

Теорема. Линейный $((2^m - 1)m, (2^m - 3)m)$ -код, являющийся нулевым пространством матрицы (1), исправляет фазированные пакеты ошибок длины $\leq m$, и обычные пакеты ошибок длины $\leq [m/2]$, где $[x]$ —наименьшее целое $\geq x$.

Следствие. Линейный $((2^m - 1)m, (2^m - 3)m)$ -код, являющийся нулевым пространством матрицы (1), исправляет пакеты ошибок длины $\leq b = (l - 1)m + [m/2]$ где $l > 0$ —целое число.



Это следствие непосредственно следует из теоремы, если к матрице (1) применить метод поблочного перемежения степени l [1] (когда не исправляются отдельные комбинации ошибок длины $b > (l-1)m+1$, общая доля которых относительно невелика).

Пусть $s(x) = s'(x) + x^m s''(x)$ — синдром, где $s'(x)$, $s''(x)$ — многочлены степени $m-1$. Исходя из структуры матрицы (1), легко заметить, что для любого фиксированного пакета ошибок $\varepsilon(x) = \varepsilon_0 + \varepsilon_1 x + \dots + \varepsilon_{m-1} x^{m-1}$ и произвольного $i = 1, 2, \dots, cm$ ($i \neq 0$)

$$s'(x) \neq s''(x), \quad (3)$$

где

$$s' x \equiv \varepsilon(x) x^i \pmod{x^m - 1},$$

$$s''(x) \equiv \varepsilon(x) \alpha^i(x) \pmod{p(x)},$$

при условии, что $s \neq 0$ и

$$|s'| \leq [m/2]^{\text{(1)}}. \quad (4)$$

Из (3) и (4) следует простота алгоритма декодирования.

Таблица 1

m	l	n	k	b	$R=k/n$
3	1	21	15	2	0,714
"	2	42	30	5	"
"	3	63	45	8	"
"	4	84	60	11	"
"	5	105	75	14	"
4	1	60	52	2	0,866
"	2	120	104	6	"
"	3	180	156	10	"
"	4	240	208	14	"
"	5	300	260	19	"
5	1	155	145	3	0,935
"	2	310	290	8	"
"	3	465	435	13	"
"	4	620	580	18	"
"	5	775	725	23	"

В табл. 1 приводятся коды из класса $((2^m-1)lm, (2^m-3)lm)$ -кодов, заданных при значении $l, m \leq 5$.

Таблица 2

Коды	n	k	b	r	$R=k/n$	l	m
Т	13797	13743	23	54	0,99608	3	9
Б	3556	3500	22	56	0,98425	—	—
Р-С	889	833	22	56	0,93700	—	—
Б-З	13851	13797	19	54	0,99610	3	9

Это коды асимптотически оптимальны относительно границы Рейгера, так как $b/r \geq (l-0,5)2/l$. Как известно для кодов Файра [5], $b/r = b/(3b-1)$.

⁽¹⁾ Чрез $|x|$ обозначается показатель вектора x , равный максимальному числу координат x_i , заключенных между наиболее удаленными между собой его ненулевыми компонентами, включая и последние.

В табл. 2 дано сравнение предлагаемых кодов с известными кодами; Т обозначает задаваемый следствием теоремы $((2^m-1)lm, (2^m-3)lm)$ -код, Б—код Бартона [3], Р—С—код Рида—Соломона [4], Б—З—каскадный итерированный $((2^m+1)lm, (2^m-1)lm)$ -код Блоха—Зяблова [6], который исправляет пакеты длины $\leq b = (l-1)m + 1$.

Сравнение проводится при фиксированных близких значениях b и g .

Из [1] следует, что реальная помехозащищенность $((2^m-1)lm, (2^m-3)lm)$ -кодов больше исправляющей способности, задаваемой следствием теоремы. А именно, эти коды с перемежением степени l исправляют фазированные пакеты ошибок кратности $\leq l$, если ошибки расположены в m -символьных блоках, номера которых попадают в различные классы вычетов по модулю l . В этом случае, также как и при укорачивании кодов, алгоритм декодирования остается без изменения.

Пример. Пусть α —примитивный элемент поля Галуа $GF(2^m)$ и пусть $p(x) = 1+x+x^3$ —минимальная функция для α . Подматрицы P_m^l , составляющие проверочную матрицу (1), имеют вид

$$P_3^0 = \begin{pmatrix} 100 \\ 010 \\ 001 \end{pmatrix}; \quad P_3^3 = \begin{pmatrix} 101 \\ 111 \\ 011 \end{pmatrix}; \quad P_3^6 = \begin{pmatrix} 110 \\ 001 \\ 100 \end{pmatrix}; \quad P_3^2 = \begin{pmatrix} 010 \\ 011 \\ 101 \end{pmatrix},$$

$$P_3^5 = \begin{pmatrix} 111 \\ 100 \\ 110 \end{pmatrix}; \quad P_3^1 = \begin{pmatrix} 001 \\ 101 \\ 010 \end{pmatrix}; \quad P_3^4 = \begin{pmatrix} 011 \\ 110 \\ 111 \end{pmatrix}.$$

Перемежение степени l [1] дает линейные $(21l, 15l)$ -коды, исправляющие пакеты ошибок длины $\leq b = 3l - 1$.

Тбилисский государственный университет

(Поступило 6.7.1978)

კიბერნეტიკა

რ. მეგრელიშვილი

პაკეტური შეცდომის განასწორების ეფექტურობისა
და დეკოდირების მარტივი ალგორითმის მარცვა კოდები

რ ე ზ ი უ მ ე

მოცემულია პაკეტური შეცდომების გამასწორებელი მაღალი ეფექტურობისა და დეკოდირების მარტივი ალგორითმის მქონე წრფივი $((2^m-1)lm, (2^m-3)lm)$ -კოდების კლასი. პაკეტის სიგრძე $b \geq (l-0,5)m$; $l > 0$, $m > 1$ მთელი რიცხვებით.

CYBERNETICS

R. P. MEGRELIASHVILI

EASILY DECODABLE, HIGHLY EFFICIENT, BURST-ERROR-CORRECTING CODES

Summary

A class of easily decodable, highly efficient, burst-error-correcting linear $((2^m-1)lm, (2^m-3)lm)$ codes is described. These codes correct bursts of $b \geq (l-0,5)m$ length; $l > 0$, $m > 1$ are integers.

ლიტერატურა — ЛИТЕРАТУРА — REFERENCES

1. Р. П. Мегрелишвили, Т. Г. Николайшили, Фам Хонг Тхай. Сообщения АН ГССР, 81, № 2, 1976.
2. S. Iwadare. IEEE Trans., IT-18, 1972.
3. N. O. Burton. Boulder Col., 1969.
4. И. С. Рид, Г. Соломон. Кибернетический сборник, вып. 7, М., 1963.
5. R. Fire. Sylvania Report RSL-E-2, Mountain View, Calif., 1959.
6. Э. Л. Блох, В. В. Зяблов. Сб. «Передача дискретных сообщений по каналам с группирующими ошибками». М., 1974.

ФИЗИКА

З. Ш. НАДИРАШВИЛИ, Дж. С. ЦАКАДЗЕ

ИЗМЕРЕНИЕ ВЯЗКОСТИ НОРМАЛЬНОЙ КОМПОНЕНТЫ
ГЕЛИЯ II МЕТОДОМ КОЛЕБЛЮЩЕГОСЯ ЦИЛИНДРА

(Представлено академиком Э. Л. Андроникашвили 5.5.1978)

Вопрос о вязкости гелия II и сегодня является весьма актуальным. Это вызвано необычным температурным ходом вязкости этой жидкости и зависимостью ее значений от методики измерения.

Вязкость гелия II измерялась методами: 1) протекания через узкие щели и капилляры [1], 2) колеблющегося диска [2—8], 3) врашающегося вискозиметра [9—11], 4) второго звука [12], 5) колеблющегося полого цилиндра [6], 6) колеблющейся струны [13, 14] и др.

Если до температур 1,5—1,6 К результаты, полученные разными методами, удовлетворительно совпадают друг с другом, то ниже этих температур в некоторых случаях наблюдаются существенные расхождения.

Причины этих расхождений частично были объяснены в работе Э. Л. Андроникашвили [15], который показал, что если между характерным размером (d) эксперимента и длиной свободного пробега фононов (δ) не выполняется соотношение

$$d \gg \lambda, \quad (1)$$

то полученные значения вязкости не будут соответствовать действительности.

Условие (1) хорошо соблюдается в методах колеблющегося диска и полого цилиндра во всем интервале температур, в котором велись измерения (1,3—2,15 К). К тому же при использовании этих методов относительно легко соблюсти условие движения жидкости с докритическими скоростями, что является относительно сложной задачей в других методах, а в случае вращающегося вискозиметра до сих пор не осуществлено.

В предлагаемой работе описывается методика измерения вязкости жидкостей с низкими температурами кипения; эта методика позволяет легко осуществить условие докритичности движения в сверхтекущих жидкостях и соблюдение условия (1), а также в случае необходимости позволяет обходиться малым количеством исследуемой жидкости. Это последнее условие является весьма важным, например, для измерения свойств жидкого гелия-3.

Как известно, вязкость жидкости (в данном случае гелия II), целиком заполняющей колеблющийся цилиндр, может быть вычислена по формуле [16, 17]

$$\eta_n = \frac{1}{\pi} \frac{I^2 \rho_n}{(MR^2)} \frac{\left(\delta - \delta_0 \frac{\theta}{\theta_0}\right)^2}{\theta \sigma^2}, \quad (2)$$



где I —момент инерции системы (без жидкости), ρ_n —плотность нормальной компоненты гелия II, δ и δ_0 —логарифмические декременты затухания системы с жидкостью и без жидкости соответственно, M —масса жидкости, R —радиус цилиндра, Θ и Θ_0 —периоды колебаний системы с жидкостью и без нее, σ —поправочный множитель на углы и торцевые поверхности цилиндра,

$$\sigma = 1 - \frac{3}{2}x - \frac{3}{8}x^2 - a + \frac{4R}{l}(b - cx). \quad (3)$$

Здесь $x = \frac{\delta}{2\pi}$, l —высота жидкости в цилиндре, которая должна удовлетворить условию $l \geq 2,62 \cdot R$.

Значения коэффициентов a , b , c протабулированы в [16].

Если жидкость заполняет цилиндр частично, тогда множитель $\frac{4R}{l}$ уменьшается в два раза (см. выражение 3).

Используя формулу Ю. Г. Мамаладзе и С. Г. Матиняна [18], при помощи колеблющегося цилиндра можно измерить вязкость жидкости и иным способом. В этом случае выражение для вязкости имеет вид

$$\eta_n = \frac{I^2(\delta_2 - \delta_1)^2}{\pi_3 R^6 (l_2 - l_1)^2 \rho_n \Theta}, \quad (4)$$

где I — момент инерции сосуда, δ_1 — затухание цилиндра при уровне жидкости l_1 в нем, δ_2 — то же при другом уровне l_2 , ρ_n — плотность нормальной компоненты гелия II (в общем случае — плотность исследуемой жидкости), Θ — период колебаний цилиндра с жидкостью.

При пользовании этим способом отпадает необходимость измерения «нулевого» затухания δ_0 и учета поправки σ , так как при вычитании δ_1 из δ_2 все постоянные слагаемые — составляющие логарифмического декремента затухания сокращаются, за исключением затухания, связанного с вязкостью жидкости при ее трении о боковую поверхность цилиндра высоты $l_2 - l_1$.

Формула (4) подразумевает, что радиус цилиндра гораздо больше глубины проникновения вязкой волны.

С целью применения методики колеблющегося цилиндра для измерения температурной зависимости вязкости жидкого гелия нами была построена следующая установка (см. рис. 1): прозрачный цилиндр 1 при помощи спрятленного стержня 2 из нержавеющей стали подвешивался на упругой нити к стальной оси 3, выходящей наружу через сальник 4. Световой зайчик, отражаясь от колеблющейся системы, падал на фотоэлектронные умножители 5, расположенные за узкими щелями, расстояние между которыми равнялось 4,0 см. Стакан 1 мог опускаться в ванну жидкого гелия, наполняться до желаемого уровня, а затем подниматься в пары. Измерения высоты столба гелия в колеблющемся цилиндре проводились при помощи катетометра КМ-6 с точностью до 10^{-2} мм.

На рис. 2 приводятся результаты измерений. Сплошная кривая — температурная зависимость вязкости гелия II, впервые полученная Э. Л. Андronикашвили [3], окружности представляют собой на-

ши результаты, полученные с цилиндром высотой 10,0 см и внутренним диаметром 4,3 см (использовалась формула (2)). Цилиндр изготавлялся из органического стекла и имел хорошо отполированные поверхности. Колебательная система, для увеличения ее момента инерции, содержала дополнительный диск, который крепился соосно со стаканом. Момент инерции составленной таким образом колебательной системы был $\sim 294,43 \text{ г см}^2$, период колебаний системы в этом случае равнялся $\sim 22,5$ сек и менялся в пределах нескольких сотых сек при изменении температуры от $\sim 1,3 \text{ К}$ до $2,15 \text{ К}$, или при изменении уровня жидкости в цилиндре от $\sim 95 \text{ мм}$ до $\sim 3 \text{ мм}$.

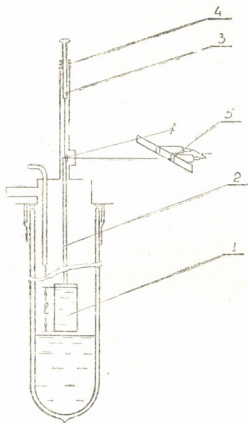


Рис. 1. Схематический чертеж прибора: 1 — колеблющийся цилиндр из органического стекла, 2 — спрямленный стержень из нержавеющей стали, 3 — стальная ось, 4 — сальник, 5 — фотоэлектронные умножители

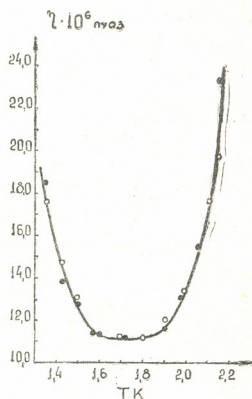


Рис. 2. Температурная зависимость вязкости гелия II. Сплошная кривая — получена Э. Л. Андроникашвили методом колеблющегося диска, \circ — наши результаты, полученные «прямым» методом (формула (2)), \bullet — наши результаты, полученные методом «вычитания» (формула (4))

Измерения логарифмического декремента затухания колебаний колебательной системы и периода ее колебаний производились хронометрическим методом [19]. Результаты экспериментов фиксировались на цифропечатающем устройстве и обрабатывались на ЭВМ M-10000, к которой установка была подключена в режиме «on line».

Зачерченными кружочками на рис. 2 отмечены результаты, полученные с использованием формулы (4). Как это видно из рис. 2, примененные нами способы дают температурную зависимость вязкости гелия II, хорошо согласующуюся с данными Э. Л. Андроникашвили.

Академия наук Грузинской ССР
Институт физики

(Поступило 12.5.1978)

ჭ. ნადირაშვილი, ჯ. ცაკაძე

ტელურ II-ის ნორმალური კომპონენტის სიბლანტის
რაოდენობა გერხევი ცილინდრის გეომოდი

რეზიუმე

აღწერილია მერხევი ცილინდრის მეთოდით კრიოგენული სითხეების (ჰელიუმი) სიბლანტის გამზომის ხელსაწყო, მოყვანილია ამ მეთოდით გაზომილი სიბლანტის მნიშვნელობები ჰელიუმ II-სათვის 1,3—2,15K ტემპერატურულ ინტერვალში.

PHYSICS

Z. Sh. NADIRASHVILI, J. S. TSAKADZE

MEASUREMENT OF HELIUM II NORMAL COMPONENT USING THE METHOD OF OSCILLATING CYLINDER

Summary

An apparatus for measuring the viscosity of cryogenic liquids (Helium) by the method of oscillating cylinder is described.

Helium II viscosity values, measured by this method in the temperature range of 1.3K to 2.15K, are presented.

ლიტერატურა — REFERENCES

1. Mellink. Physica, 13, 1947, 180.
2. W. H. Keesom, Mac Wood. Physica, 5, 1938, 737.
3. Э. Л. Андronикашвили. ЖЭТФ, 18, 1948, 424.
4. A. C. Hollis-Hallett. Proc. Roy. Soc. № 1102, 210, 1952, 404.
5. A. De Troyer, Van Itterbeck, G. J. Van Den Berg. Physica, 17, 1951, 50.
6. Дж. С. Цакадзе. Автореф. канд. дисс. Тбилиси, 1961.
7. Г. А. Гамцемидзе. ЖЭТФ, 37, 1959, 855.
8. J. G. Dash, R. Taylor. Phys. Rev. 105, № 1, 1957, 7.
9. A. C. Hollis-Hallett. Proc. Cambr. Philos. Soc. 49, № 4, 1953, 717.
10. W. J. Heikkila, A. C. Hollis-Hallett. Canad. J. Phys. 33, № 8, 1955, 420.
11. C. B. Benson, A. C. Hollis-Hallett. Canad. J. Phys. 38, № 10, 1960, 1376.
12. К. Н. Зиновьева. ЖЭТФ, 31, 1956, 31.
13. J. T. Tough, W. D. McCormick, J. G. Dash. Phys. Rev. 132, 1963, 6.
14. З. Ш. Надирашвили, Дж. С. Цакадзе. 19-е всесоюзное совещание по физике низких температур. Минск, 1976. Тезисы докладов, 49.
15. Э. Л. Андronикашвили. Дополнение к книге Кеезом «Гелий». М., 1949.
16. Е. Г. Швидковский. Некоторые вопросы вязкости расплавленных металлов. М., 1955, 43—50.
17. В. М. Глазов, С. Н. Чижевская, Н. Н. Глаголева. Жидкие полупроводники. М., 1967, 36—43.
18. Ю. Г. Мамаладзе, С. Г. Матинян. ЖЭТФ, 38, 1960, 656.
19. Э. Л. Андronикашвили, Ю. Г. Мамаладзе, Дж. С. Цакадзе. Труды ИФ АН ГССР, 7, 1960.

ГЕОФИЗИКА

Г. Д. МАНАГАДЗЕ, А. В. КУДРЯ, В. К. ГЛОНТИ

ИНТЕРПРЕТАЦИЯ ГРАВИТАЦИОННЫХ АНОМАЛИЙ НАД ГОРИЗОНТАЛЬНЫМ ТРЕХОСНЫМ ПОЛУЭЛЛИПСОИДОМ

(Представлено академиком Б. К. Балавадзе 27.6.1978)

В статье предлагается метод интерпретации гравитационных аномалий, позволяющий определить интересующие нас геологические параметры верхней половины горизонтального полуэллипса. Для этой цели воспользуемся формулой Грина [1]

$$2 \iint_s \left(\frac{\partial w}{\partial n} L - \frac{\partial L}{\partial n} w \right) ds = -4\pi f \iiint_{\tau} \sigma(\xi, \eta, \zeta) L(\xi, \eta, \zeta) d\eta, \quad (1)$$

где w — потенциал притяжения, $\frac{\partial w}{\partial n}$ — вертикальная составляющая притяжения, f — гравитационная постоянная притяжения, $\sigma(\xi, \eta, \zeta)$ — объемная плотность аномальных масс, $L(\xi, \eta, \zeta)$ — произвольный гармонический полином.

Совместим плоскость ХОУ с дневной (плоской) поверхностью Земли, поместим начало координат в эпицентре центра тяжести исследуемого тела и направим ось z к центру Земли. Тогда формула (1) для верхней половины трехосного эллипса с полуосами a, b, c , когда его избыточная плотность σ — постоянная величина, перепишется в виде [2]

$$\begin{aligned} & 2 \int_{-\infty}^{+\infty} \int_{-\infty}^{+\infty} \left(L \frac{\partial w}{\partial z} - \frac{\partial L}{\partial z} w \right) dx dy = \\ & = -4\pi f \sigma \int_{-a}^a \int_{-\frac{b}{a} \sqrt{a^2 - \xi^2}}^{\frac{b}{a} \sqrt{a^2 - \xi^2}} \int_{\zeta_0}^{\zeta_0} L(\xi, \eta, \zeta) d\xi d\eta d\zeta. \quad (2) \end{aligned}$$

Если в формуле (2) допустить, что полином $L(\xi, \eta, \zeta) = 1$, то получится гармонический момент нулевого порядка:

$$-2 \int_{-\infty}^{+\infty} \int_{-\infty}^{+\infty} w_z dx dy =$$

$$= -4\pi f \sigma \int_{-a}^a \int_{-\frac{b}{a}\sqrt{a^2-\xi^2}}^{\frac{b}{a}\sqrt{a^2-\xi^2}} \int_{\zeta_0 - \frac{c}{b}\sqrt{\frac{b^2}{a^2}(a^2-\xi^2)-\eta^2}}^{\zeta_0} d\xi d\eta d\zeta. \quad (3)$$

Интегрирование (3) дает

$$-2 \int_{-\infty}^{\infty} \int_{-\infty}^{\infty} w_z dx dy = -4\pi f M, \quad (4)$$

где $M = \frac{2}{3} \pi abc\sigma$ — аномальная масса исследуемого тела.

Чтобы получить вертикальную координату центра тяжести аномального тела, в формуле (2), допустим, что $L(\xi, \eta, \zeta) = \zeta$. Тогда

$$\begin{aligned} & -2 \int_{-\infty}^{\infty} \int_{-\infty}^{\infty} (w_z \cdot z - w) dx dy = \\ & = -4\pi f \sigma \int_{-a}^a \int_{-\frac{b}{a}\sqrt{a^2-\xi^2}}^{\frac{b}{a}\sqrt{a^2-\xi^2}} \int_{\zeta_0 - \frac{c}{b}\sqrt{\frac{b^2}{a^2}(a^2-\xi^2)-\eta^2}}^{\zeta_0} \zeta d\xi d\eta d\zeta, \end{aligned} \quad (5)$$

где w вычисляется с помощью заданного поля w_z по формуле

$$w = \frac{1}{2\pi} \iint_S w_z d\rho d\alpha.$$

Формула (5) после интегрирования дает

$$-2 \int_{-\infty}^{\infty} \int_{-\infty}^{\infty} (w_z \cdot z - w) dx dy = -4\pi f M \cdot \left(\zeta_0 - \frac{3}{8} c \right), \quad (6)$$

где $\left(\zeta_0 - \frac{3}{8} c \right)$ — координата центра тяжести верхней половины трехосного эллипсоида.

Для получения остальных соотношений, позволяющих определить геологические параметры рассматриваемого тела, в формуле (2) поочередно допустим, что гармонический полином

$$L(\xi, \eta, \zeta) = \xi^2 - \eta^2, \quad L(\xi, \eta, \zeta) = \xi^2 \zeta - \frac{1}{3} \zeta^3, \quad L(\xi, \eta, \zeta) = \eta^2 \zeta - \frac{1}{3} \zeta^3.$$

После интегрирования соответственно получим

$$-2 \int_{-\infty}^{\infty} \int_{-\infty}^{\infty} w_z (x^2 - y^2) dx dy = -4\pi f M \cdot \frac{1}{5} (a^2 - b^2), \quad (7)$$

$$-2 \int_{-\infty}^{\infty} \int_{-\infty}^{\infty} \left[\left(x^2 z - \frac{1}{3} z^3 \right) w_z - (x^2 - z^2) w \right] dx dy = \\ = -4\pi f M \left(\frac{1}{5} \zeta_0 a^2 - \frac{1}{16} a^2 c - \frac{1}{3} \zeta_0^3 + \frac{3}{8} \zeta_0^2 c - \frac{1}{5} \zeta_0 c^2 + \frac{1}{24} c^3 \right), \quad (8)$$

$$-2 \int_{-\infty}^{\infty} \int_{-\infty}^{\infty} \left[\left(y^2 z - \frac{1}{3} z^3 \right) w_z - (y^2 - z^2) w \right] dx dy = \\ = -4\pi f m \left(\frac{1}{5} \zeta_0 b^2 - \frac{1}{16} b^2 c - \frac{1}{3} \zeta_0^3 + \frac{3}{8} \zeta_0^2 c - \frac{1}{5} \zeta_0 c^2 + \frac{1}{24} c^3 \right). \quad (9)$$

В формулах (6), (7), (8) и (9) левые части вычисляются на основе наблюдаемых гравитационных аномалий.

Таким образом, формула (4) дает возможность определить избыточную массу M аномального тела. Для нахождения остальных элементов в уравнениях (6), (7), (8) и (9) вводим следующие обозначения:

$$l = \frac{1}{2\pi f M} \int_{-\infty}^{\infty} \int_{-\infty}^{\infty} (w_z \cdot z - w) dx dy, \quad (10)$$

$$m = \frac{1}{2\pi f M} \int_{-\infty}^{\infty} \int_{-\infty}^{\infty} w_z (x^2 - y^2) dx dy, \quad (11)$$

$$n = \frac{1}{2\pi f M} \int_{-\infty}^{\infty} \int_{-\infty}^{\infty} \left[\left(x^2 z - \frac{1}{3} z^3 \right) w_z - (x^2 - z^2) w \right] dx dy, \quad (12)$$

$$k = \frac{1}{2\pi f M} \int_{-\infty}^{\infty} \int_{-\infty}^{\infty} \left[\left(y^2 z - \frac{1}{3} z^3 \right) w_z - (y^2 - z^2) w \right] dx dy, \quad (13)$$

после чего

$$\zeta_0 - \frac{3}{8} c = l, \quad (14)$$

$$\frac{1}{5} (a^2 - b^2) = m, \quad (15)$$

$$\frac{1}{5} \zeta_0 a^2 - \frac{1}{16} a^2 c - \frac{1}{3} \zeta_0^3 + \frac{3}{8} \zeta_0^2 c - \frac{1}{5} \zeta_0 c^2 + \frac{1}{24} c^3 = n, \quad (16)$$

$$\frac{1}{5} \zeta_0 b^2 - \frac{1}{16} b^2 c - \frac{1}{3} \zeta_0^3 + \frac{3}{8} \zeta_0^2 c - \frac{1}{5} \zeta_0 c^2 + \frac{1}{24} c^3 = k. \quad (17)$$



Решая систему уравнений (14), (15), (16), (17), получаем

$$c = \frac{16}{m} (n - k - ml), \quad \zeta_0 = \frac{1}{m} (6n - 6k - 5ml).$$

Зная c и ζ_0 , из формулы (16) и (15) найдем значения a и b , а из формулы $\sigma = \frac{M}{\frac{2}{3} \pi abc}$ — его избыточную плотность.

Тбилисский государственный университет

Трест «Грузнефтегеофизика»

(Поступило 7.7.1978)

8003000000

გ. მანაგაძე, ა. კუდრია, ვ. გლონტი

პორტოფლიურ სამღერძა ნახვარელიფსოიდზე
გრავიტაციული ანომალიის ინტერპრეტაცია

რეზიუმე

მოცემულია პორტოფლიური სამღერძა ნახვარელიფსოიდის შესაბამისი გრავიტაციული ანომალიის ინტერპრეტაციის ხერხი.

GEOPHYSICS

G. D. MANAGADZE, A. V. KUDRIA, V. K. GLONTI

INTERPRETATION OF THE GRAVITY ANOMALY OVER A FINITE HORIZONTAL GENERAL SEMIELLIPSOID

Summary

A method is proposed for the interpretation of the gravity anomaly of a corresponding finite horizontal general semiellipsoid, allowing the determination of the depth, dimensions and excess density of a horizontal general semiellipsoid.

ЛІТЕРАТУРА — REFERENCES

1. К. Е. Веселов, М. У. Сагитаев. Гравиметрическая разведка. М., 1968.
2. А. А. Заморев. Изв. АН СССР, сер. геогр. и геофиз., № 3, 1939.

ГЕОФИЗИКА

Л. М. ЭЧИС, О. К. КОНДРАТЬЕВ

АНАЛИЗ СЕЙСМИЧЕСКОГО ВОЛНОВОГО ПОЛЯ ВО
ВНУТРЕННИХ ТОЧКАХ СРЕДЫ НА ПЛОЩАДЯХ ЗАПАДНОЙ
ГРУЗИИ

(Представлено академиком Б. К. Балавадзе 5.7.1978)

Повсеместный переход на методику общей глубинной точки (ОГТ) значительно улучшил результаты сейсморазведки нефтяных и газовых месторождений в разных районах Грузинской ССР. Увеличилось число регистрируемых отражений, стала более протяженной и надежной их корреляция по профилям, повысилась глубинность исследований. Однако такое улучшение не везде явилось достаточным для решения структурных задач в сложных сейсмогеологических условиях горных районов и межгорных впадин.

Принципиальным является вопрос, обусловлена ли такая недостаточность геологическим строением (нет нужных отражающих границ, либо они не выдержаны) или она связана с недостатками методики сейсморазведки. Прямой ответ на первую часть вопроса дают скважинные сейсмические наблюдения, позволяющие экспериментально определять, какие однократные отражения образуются в разрезе, каково их соотношение с кратными волнами-помехами.

Такая задача решалась на территории Западной Грузии при совместных работах ИФЗ АН СССР и треста «Грузнефтегеофизика».

Для анализа волнового поля было выполнено вертикальное сейсмическое профилирование (ВСП) в двух глубоких скважинах: Леса I и Супса 57. В статье приведены результаты исследований.

Скважина Леса I отработана из двух пунктов взрыва (ПВ-160 и ПВ-500) в интервале глубин 20—3600 м. Характер волновой картины из обоих ПВ схож. В начальной части записи отмечается интенсивный цуг падающих волн в области первых вступлений.

На более поздних временах наблюдаются три группы волн:

1) падающие продольные волны с годографами, параллельными первым вступлениям;

2) продольные восходящие волны;

3) падающие поперечные волны, кажущиеся скорости которых приблизительно в 2 раза меньше значений V^* продольных волн.

Скважина Супса 57 отработана также из двух пунктов взрыва (ПВ-106 и ПВ-370) в интервале глубины 60—3560 м. По сравнению со скважиной леса I, в характере волновой картины наблюдаются заметные отличия. Цуг падающих волн здесь короче. В последующей части записи интенсивных падающих волн не наблюдается.

Восходящих волн больше, на некоторых интервалах вертикального профиля восходящие волны преобладают на записи. Последняя восходящая волна выходит на дневную поверхность на времена $\sim 4,0$ сек.

Обработка полученного материала проводилась на ЭВМ в ВЦ 38. „Этоффс“, ф. 91, № 3, 1978

треста «Грузнефтгеофизика» по программам комплекса КВСП, разработанного в ИФЗ АН СССР.

Особенности волновых полей по результатам цифровой обработки

Скважина Леса 1. Направленное суммирование восходящего поля волн после вычитания поля падающих волн (рис. 1) позволило выделить ряд отраженных осей различной протяженности.

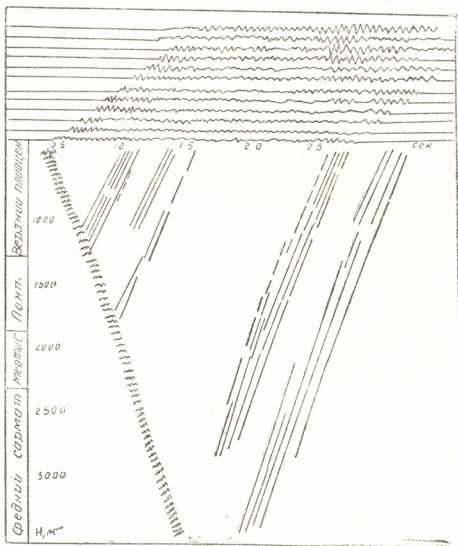


Рис. 1. Результаты суммирования восходящих волн после вычитания падающих волн и опорные трассы (скважина Леса 1, ПВ-160)

Наиболее интенсивная многофазная волна связана с поверхностью базальтов, она выходит на линию приведения на времени 2,6 сек.

На временном разрезе ОГТ ей соответствует 4-фазная интенсивная волна. Эта волна прослеживается на всем интервале вертикального профиля, за исключением самой глубокой части профиля (3600—3000 м), где волна не следится в области, близкой к вступлениям интенсивной и многофазной прямой падающей волны. Возможно, что информация здесь обеднена из-за применения АРУ.

На опорных трассах при $\Delta t = 500 + 1200$ мсек (шаг 100 мсек) отраженная волна, связанная с поверхностью базальтов, проявляется на всех суммарных трассах в виде интенсивных разрастаний почти без искажений.

Другие восходящие волны прослеживаются на коротких интервалах, вблизи поверхности отражений. На опорных суммарных трас-

сах интенсивные разрастания однократных отраженных волн также отсутствуют. Четче и протяженнее других выделяется отраженная волна, связанная с поверхностью пойта, ее время на линии приведения 1,1—1,2 сек (рис. 1).

На временном разрезе ОГТ, полученном вблизи скважины Леса 1 на временах меньше 2,6 сек, протяженных и устойчивых волн также нет. Возможно, поверхность пойта является кратнообразующей, на что указывают увеличение интенсивности поля восходящих волн выше поверхности отложений пойта и интенсивные разрастания на опорных трассах при $\Delta t = 700 + 1000$ мсек, соответствующие этим восходящим волнам.

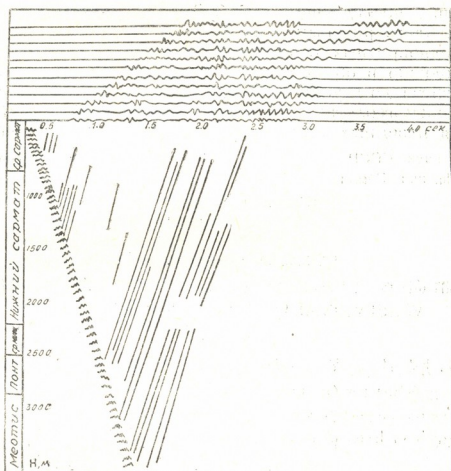


Рис. 2. Результаты суммирования восходящих волн после вычитания падающих волн и опорные трассы (скважина Супса 57, ПВ-106)

Как уже было указано, последняя однозначно однократная волна зарегистрирована с глубины 3600 м и выходит на линию приведения на времени 2,6 сек. Для анализа информации из более глубокой части разреза необходима разработка новых программ, которые позволили бы разделить поле однократных и кратных волн.

Скважина Супса 57. В результате направленного суммирования здесь выделяется довольно интенсивное поле восходящих однократно отраженных волн (рис. 2).

Малые интенсивные и протяженные волны связаны с поверхностью пойта и верхней частью отложений меотиса ($H=2500$ м и $H=2900-3560$ м), они следятся во всем исследуемом интервале глубин и выходят на линию приведения на времени +1,9 и 2,2, сек. На всех опорных суммарных трассах эти волны образуют интенсивные разрастания.

На более ранних временах в отложениях среднего и нижнего сарматия отраженные волны выделены лишь у отражающей поверхно-



сти и на опорных трассах прослеживаются при малых величинах Δt (до 200 мсек).

Интенсивных разрастаний, образующихся при увеличении Δt , что указывало бы на существование кратных восходящих волн, не видно.

В целом по обеим скважинам можно отметить, что в районе работ интенсивность многократных отражений не велика при исследовании глубин до 3600 м. На больших глубинах их роль может возрасти, поскольку наиболее резкие сейсмические границы (кровля базальтов и поверхность мэотиса), также начнут принимать участие в формировании поля кратных волн.

Однако меньшая, чем обычно, относительная интенсивность падающих волн в последующих вступлениях оставляет прогноз по кратным волнам благоприятным и на больших временах.

Число однократных отражений на второй площасти больше, чем на первой, однако в обоих случаях их достаточно для уверенного освещения разреза до глубин 3500 м. Все это позволяет заключить, что глубинное сейсмогеологическое строение исследуемых районов благоприятно для наземных сейморазведочных поисковых работ.

Академия наук СССР
Институт физики Земли

Трест «Грузнефтегеофизика»

(Поступило 6.7.1978)

გვოცილება

ლ. მიჩის, მ. პონდრათიძე

სეისმური ტალღური ველის ანალიზი გარემოს შინაგან

მერტილებში დასავლეთ საქართველოში

რეზიუმე

ორ ღრმა ჭაბურღლილში (ლესე 1 და სუფსა 57) 3 600 მ სიღრმემდე ჩატარებულ იქნა ვერტიკალური სეისმური პროფილირება. სეისმურმა დაკვირვებებმა საშუალება მოვცეს გმოგვეყყ ერთჯერადი არეკვლები შესწავლილი ჭრილის ზოგიერთი საზღვრიდან და დაგვედგინა მათი კავშირი ჭერად ტალღებთან.

ორვე ბურღლილის გასწვრივ ჭერადი არეკვლების ინტენსიურობა უმნიშვნელოა.

ერთჯერადი არეკვლების რიცხვი შესწავლილ ჭაბურღლილებში საკმარისია 3 600 მ სიღრმემდე სარწმუნო ჭრილის ასაგებად.

GEOPHYSICS

L. M. AICHIS, O. K. KONDRATIEV

ANALYSIS OF A SEISMIC WAVE FIELD AT THE INNER POINTS OF THE MEDIUM IN WESTERN GEORGIA

Summary

In two deep boreholes (Lese I and Supsa 57) vertical seismic profiling (V. S. P.) was carried out to the depth of 3600 m. Seismic observations permitted identification of single reflections from different layers and their qualitative correlation with multiple waves.

As a whole, the intensity of multiple reflections in both boreholes is negligible. The number of single reflections in both boreholes is adequate for interpretation to the depth of 3600 m.

ОБЩАЯ И НЕОРГАНИЧЕСКАЯ ХИМИЯ

М. С. КВЕРНАДЗЕ, Р. И. МАЧХОШВИЛИ, Н. И. ПИРЦХАЛАВА

КОМПЛЕКСНЫЕ СОЕДИНЕНИЯ ДИТИОНАТОВ МЕТАЛЛОВ
С ГИДРАЗИДОМ КАПРИНОВОЙ КИСЛОТЫ

(Представлено академиком Г. В. Цицишвили 11.4.1978)

Комплексные соединения металлов с гидразидом каприновой кислоты $\text{H}_3\text{C}-(\text{CH}_2)_8-\text{CONHNH}_2$ в литературе не описаны. Продолжая исследования комплексных соединений дитионатов металлов с гидразидами [1—3], мы предприняли попытку получить комплексы дитионатов марганца (II), кобальта (II), никеля (II) и цинка с гидразидом каприновой кислоты. В результате удалось выделить соединения состава $\text{Co}(\text{HK})_3\text{S}_2\text{O}_6 \cdot 0,5\text{H}_2\text{O}$, $\text{Ni}(\text{HK})_3\text{S}_2\text{O}_6 \cdot 0,5\text{H}_2\text{O}$, $\text{Cu}(\text{HK})_2\text{S}_2\text{O}_6$, $\text{Zn}(\text{HK})_3\text{S}_2\text{O}_6 \cdot 0,5\text{H}_2\text{O}$, где $\text{HK}=\text{H}_3\text{C}-(\text{CH}_2)_8-\text{CONHNH}_2$.

В данной статье кратко описаны синтез, некоторые свойства и результаты изучения ИК-спектров поглощения указанных соединений.

Для получения комплексных соединений дитионатов кобальта, никеля, меди и цинка с гидразидом каприновой кислоты к водному раствору дитионата соответствующего металла прибавляли водно-этанольный раствор гидразида каприновой кислоты (мольное отношение дитионат металла:гидразид 1:3). Раствор нагревали на водяной бане, а затем оставляли на кристаллизацию. Через некоторое время выпавший из раствора мелкокристаллический осадок отфильтровывали, промывали водой, этанолом и сушили на воздухе.

Результаты химических анализов и некоторые свойства полученных соединений даны в табл. 1.

ИК-спектры поглощения 400—4000 cm^{-1} записывали на спектрофотометре UR-20 с использованием обычной методики растирания образцов с вазелиновым и фторированным маслами. Волновые числа максимумов полос поглощения даны ниже в cm^{-1} (п — перегиб на полосе поглощения):

$\text{Co}(\text{HK})_3\text{S}_2\text{O}_6 \cdot 0,5\text{H}_2\text{O}$: ~520, ~570, 725, 775, ~880, ~930, 985, 1080, 1115, 1215, 1250, 1345, 1390, 1430, 1470, 1545, 1620, 1660, 2855, 2925, 2960, ~3065, 3200, 3280, ~3500.

$\text{Ni}(\text{HK})_3\text{S}_2\text{O}_6 \cdot 0,5\text{H}_2\text{O}$: ~520, 570, ~615, 725, 775, ~880, 930, 985, 1080, 1120, 1215, 1250, 1340, ~1380, 1430, 1470, 1550, 1620, 1660, 2855, 2925, 2960, ~3060, 3200, ~3275, ~3500.

$\text{Zn}(\text{HK})_3\text{S}_2\text{O}_6 \cdot 0,5\text{H}_2\text{O}$: ~510, ~565, ~612, 725, ~780, ~875, 925, 985, 1080, 1120, 1170п, ~1210, 1250п, 1340, 1380, 1430, 1470, 1545, ~1622, 1660, 2855, 2925, 2960, ~3060, 3205, ~3285, ~3500.

$\text{Cu}(\text{HK})_2\text{S}_2\text{O}_6$: ~465, ~478, 515, 560, ~635, ~685, 715, 730, 775, 830, 890, 985, 1080, 1120, 1165, 1190, 1240, 1265, 1280, 1340, 1380, 1470, 1540п, 1575, 1640, ~1655, 2855, 2875, 2925, 2960, ~3090, 3170, ~3235, ~3285.

Таблица 1

Результаты химических анализов и некоторые свойства комплексных соединений дитионатов металлов с гидразидом каприевой кислоты

Соединения	Найдено, %					Вычислено, %					T, пл. °C	Цвет
	M	H	C	N	S	M	H	C	N	S		
Co(HCO) ₃ S ₂ O ₆ ·0,5H ₂ O	8,21	9,03	46,32	10,57	7,90	7,49	8,77	45,79	10,63	8,15	213	Розовый
	8,19	9,23	46,37	11,00	7,91							
Ni(HCO) ₃ S ₂ O ₆ ·0,5H ₂ O	7,15	8,57	44,92	10,51	7,96	7,47	8,88	45,81	10,68	8,16	237	Бледно-серебристый
	7,08	8,27	44,90	10,20	7,67							
Cu(HCO) ₃ S ₂ O ₆	10,34	7,51	39,51	10,21	10,34	10,67	7,39	40,29	9,40	10,76	214	Голубой
	10,25	7,22	39,82	10,00	10,28							
Zn(HCO) ₃ S ₂ O ₆ ·0,5H ₂ O	8,00	8,95	45,86	10,49	7,73	8,24	8,45	45,42	10,59	8,09	203	Белый
	7,98	9,43	45,75	10,92	7,35							

Таблица 2

Колебательные частоты (см^{-1}), найденные в ИК-спектрах поглощения комплексных соединений дитионатов металлов с гидразидом каприевой кислоты, и их отнесение

Отнесение	Co(HCO) ₃ S ₂ O ₆ ·0,5H ₂ O	Ni(HCO) ₃ S ₂ O ₆ ·0,5H ₂ O	Zn(HCO) ₃ S ₂ O ₆ ·0,5H ₂ O	Cu(HCO) ₃ S ₂ O ₆
$\nu(\text{OH})$	~3500	~3500	~3500	—
$\nu(\text{NH})$, $\nu_{\text{as}}(\text{NH}_2)$, $\nu_s(\text{NH}_2)$	3280, 3200, ~3065	~3275, 3200, ~3060	~3285, 3205, ~3060	~3285, ~3235, 3170, ~3050
$\nu_{\text{as}}(\text{CH}_2)$, $\nu_s(\text{CH}_2)$	2900, 2925, 2355	2860, 2925, 2655	2900, 2925, 2355	2900, 2925, 2575, 2555
$\nu(\text{CO})$, $\nu(\text{CC})$, $\nu(\text{HNN})$, $\delta(\text{HNC})$, $\delta(\text{NCO})$	1660	1660	1660	~1655, 1640
$\delta(\text{NH}_2)$, $\delta(\text{HNC})$	1620	1620	~1622	1575?
$\nu(\text{CN})$, $\nu(\text{CC})$, $\nu(\text{CO})$, $\delta(\text{CCO})$, $\delta(\text{NCO})$	1545	1550	1545	1540 n
$\delta(\text{CH}_2)$	1470, 1430	1470, 1430	1470, 1430	1470
$\delta(\text{CH}_2)$	1390	~1360	1380	13 0
$\omega(\text{NH}_2)$	1345	1340	1340	1340
$\nu_{\text{as}}(\text{S}_2\text{O}_6)$	1250, 1215	1250, 1215	1250 n, ~1210	1265, 1240, 1190, 1165
$\tau(\text{NH}_2)$	1115	1120	1120	1120
$\tau_{\text{as}}(\text{S}_2\text{O}_6)$	985	985	985	985
$\delta(\text{CH}_2)$	775, 725	775, 725	780, 725	775, 730
$\delta_{\text{as}}(\text{S}_2\text{O}_6)$	~570	570	~565	560
$\delta_{\text{as}}(\text{S}_2\text{O}_6)$	~520**	~520**	~510**	515**

* Ряд полос поглощения металлоциклов и деформационных колебаний групп NH, NH₂, CH₂ перекрываются полосами поглощения S₂O₆²⁻.** Здесь же ожидаются полосы поглощения $\nu(\text{MN})$.

При взаимодействии гидразида каприновой кислоты и дитионатов кобальта, никеля, меди и цинка выделены комплексные соединения $\text{Cu}(\text{HK})_2\text{S}_2\text{N}_6$ и $M(\text{HK})_3\text{S}_2\text{O}_6 \cdot 0,5\text{H}_2\text{O}$, где $M = \text{Co}, \text{Ni}$ или Zn . $\text{HK} = \text{H}_3\text{C} - (\text{CH}_2)_8\text{CONHNH}_2$. Указанные соединения представляют собой в обычных условиях мелкокристаллические вещества различного цвета, зависящего от природы металла-комплексообразователя. Комpleксы растворяются в диметилсульфоксиде и диметилформамиде, хуже в воде и этаноле и нерастворимы в других обычных органических растворителях.

Рассмотрение ИК-спектров поглощения полученных соединений и их сравнение со спектром свободного (некоординированного) гидразида каприновой кислоты показывают, что молекулы последнего связаны с атомами металлов-комплексообразователей через атомы азота аминогруппы и кислорода карбонильной группы. Действительно, в ИК-спектре поглощения раствора гидразида каприновой кислоты в ацетонитриле частоты $\nu(\text{CC})$ и $\nu(\text{NH}_2)$ лежат около 1680 и $\sim 3350 - 3450 \text{ см}^{-1}$ (в спектре кристаллического гидразида каприновой кислоты указанные частоты понижены до 1630 и $\sim 3300 \text{ см}^{-1}$ соответственно из-за образования сильных водородных связей). В спектрах комплексов частоты $\nu(\text{CO})$ понижены на $\sim 20 \text{ см}^{-1}$, что свидетельствует о связи групп CO с атомами металлов через атом кислорода. Частоты же $\nu(\text{NH}_2)$ у комплексов понижены, по сравнению с соответствующими частотами свободного лиганда на $\sim 150 \text{ см}^{-1}$, что говорит об одновременной координации через атомы азота аминогруппы.

ИК-спектры поглощения комплексов кобальта и никеля сходны, что указывает на аналогичное строение этих соединений. Спектр соединений цинка незначительно отличается от спектров соединений кобальта и никеля, что, возможно, обусловлено разной кристаллической структурой комплексов. В спектрах комплексов $M(\text{HK})\text{S}_2\text{O}_6 \cdot 0,5\text{H}_2\text{O}$, где $M = \text{Co}, \text{Ni}, \text{Zn}$, обнаружены интенсивные голоса поглощения около $\sim 1215 - 1250, \sim 985, \sim 570$ и $\sim 510 - 520 \text{ см}^{-1}$, которые в соответствии с интерпретацией автора [5] можно отнести к колебаниям групп $\text{S}_2\text{O}_6^{2-}$ (табл. 2). Повидимому, в комплексах Co, Ni и Zn группы $\text{S}_2\text{O}_6^{2-}$ являются внешнесферными дитионат-ионами.

В отличие от спектров соединений Co, Ni, Zn, в ИК-спектре $\text{Cu}(\text{HK})_2\text{S}_2\text{O}_6$ наблюдается сильное расщепление полос поглощения ν_{EII} (S_2O_6) на четыре компонента около 1265, 1240, 1190 и 1165 см^{-1} . Сильное расщепление полос поглощения $\text{S}_2\text{O}_6^{2-}$ следует объяснить понижением симметрии $\text{S}_2\text{O}_6^{2-}$ из-за образования непосредственной связи группы $\text{S}_2\text{O}_6^{2-}$ с атомом меди через атом кислорода. Можно предположить, что комплекс меди имеет структуру тетрагональной бипирамиды, основание которой образовано молекулами гидразида каприновой кислоты, а вершины — атомами кислорода двух дитионатных групп, так что дитионатные группы, выступая в роли мостиков, связывают комплексы $\text{Cu}(\text{HK})_2\text{S}_2\text{O}_6$ друг с другом.

В табл. 2 дано отнесение некоторых колебательных частот, найденных в ИК-спектрах поглощения исследованных соединений. Это отнесение сделано исходя из тех же принципов, что и в работах [1—3],



в которых исследованы комплексные соединения дитионатов металлов с различными гидразидами.

Тбилисский государственный университет

Академия наук ССР
Институт общей и неорганической химии
им. Н. С. Курнакова

(Поступило 14.4.1978)

ზოგადი და არაორგანული ქიმია

მ. კვერნაძე, რ. მაჩხოშვილი, ნ. პირცხალავა

მეტალთა დითიონატების კომპლექსები ნაერთები კაპრინის
მჟავას ჰიდრაზიდთან

რეზიუმე

მიღებულია ლიტერატურაში უცნობი კომპლექსნაერთები $M\text{LnS}_2\text{O}_6 \cdot m\text{H}_2\text{O}$ [$M=\text{Co, Ni, Zn, Cu; } n=2,3; m=0,5; 1$] კაბრინის მეთას ჰიდრაზიდთან. აღნიშნულ ნაერთებში კაბრინის მეთას ჰიდრაზიდის მოლეკულა ბიდენტატური ლიგანდის როლს ასრულებს, რომელიც დაკავშირებულია მეტალ-კომპლექსურმომენტან ამინფენფის აზოტის და კარბონილის ჯგუფის უანგბადის საშუალებით.

GENERAL AND INORGANIC CHEMISTRY

M. S. KVERNADZE, R. I. MACHKHOSHLILI, N. I. PIRTSKHALAVA

COORDINATION COMPOUNDS OF METAL DITHIONATES WITH CAPRIC-ACID HYDRAZIDE

Summary

Coordination compounds: $\text{Cu}(\text{HK})_2\text{S}_2\text{O}_6$, $\text{M}(\text{HK})_3\text{S}_2\text{O}_6 = 0,5 \text{ H}_2\text{O}$ ($\text{M}=\text{Co, Ni, Zn, HK}=\text{H}_3\text{C}-(\text{CH}_2)_8-\text{CONHNH}_2$) have been prepared by reactions of $\text{Co}(\text{II}), \text{Ni}(\text{II}), \text{Zn}, \text{Cu}(\text{II})$ dithionates with hydrazide of capric acid from water solutions. The complexes have been described by elemental analysis and IR spectroscopy.

ლიტერატურა — ЛИТЕРАТУРА — REFERENCES

- Н. И. Пирцхалава, Р. И. Мачховили, М. С. Квернадзе. Сообщения АН ГССР, 87, № 2, 1977, 357.
- М. С. Квернадзе, Р. И. Мачховили, Н. И. Пирцхалава, Л. Д. Долидзе. Сообщения АН ГССР, 88, № 1, 1977, 73.
- Р. И. Мачховили, Н. И. Пирцхалава. Ю. Я. Харитонов, М. С. Квернадзе. ЖНХ, 23, вып. 4, 1978.
- Л. Беллами. Инфракрасные спектры сложных молекул. М., 1963.
- К. Накамото. Инфракрасные спектры неорганических и координационных соединений. М., 1966

ОБЩАЯ И НЕОРГАНИЧЕСКАЯ ХИМИЯ

М. Ш. АБАШМАДЗЕ, Н. И. ПИРЦХАЛАВА, Ю. Я. ХАРИТОНОВ,
 Р. И. МАЧХОШВИЛИ

КОМПЛЕКСНЫЕ СОЕДИНЕНИЯ РЗЭ С ГИДРАЗИДОМ
 КАПРИНОВОЙ КИСЛОТЫ

(Представлено академиком Г. В. Цицишвили 7.7.1978)

Сведения о комплексных соединениях металлов, в том числе и РЗЭ, с гидразидом каприновой кислоты в литературе отсутствуют.

В продолжение исследований комплексных соединений РЗЭ с гидразидами карбоновых кислот [1—4] нами были предприняты попытки синтезировать комплексные соединения нитратов и тиоцианатов празеодима (III), неодима (III), европия (III), гадолиния (III), эрбия (III), тулия (III) и лютения (III) с гидразидом каприновой кислоты —H3C-(CH2)8-CO-NH-NH2. В результате удалось получить соединения, состав которых представлен в табл. 1, 2.

Таблица 1
 Результаты химических анализов и некоторые свойства комплексных соединений
 нитратов РЗЭ с гидразидом каприновой кислоты

Соединение	Цвет	$T_{пл}$ °C	Найдено, %				Вычислено, %			
			M	C	H	N	M	C	H	N
Pr(HC) ₄ (NO ₃) ₃	Зеленый	120°	13,25	44,89	8,27	10,49	13,15	44,81	8,21	10,45
Nd(HC) ₄ (NO ₃) ₃	Сиреневый	127°	13,53	44,77	8,24	10,52	13,40	44,69	8,19	10,42
Eu(HC) ₄ (NO ₃) ₃	Белый	130°	14,17	44,48	8,17	10,38	14,04	44,36	8,13	10,35
Gd(HC) ₄ (NO ₃) ₃	Белый	134°	14,56	44,26	8,16	10,34	14,44	44,15	8,09	10,30
Er(HC) ₄ (NO ₃) ₃	Розовый	140°	15,30	43,79	8,09	10,26	15,22	43,75	8,02	10,20
Tm(HC) ₄ (NO ₃) ₃	Белый	137°	15,49	43,74	8,04	10,27	15,37	43,67	8,00	10,19
Lu(HC) ₄ (NO ₃) ₃	Белый	126°	15,98	43,49	7,99	10,17	15,83	43,43	7,95	10,13

В данной статье кратко описаны синтез, некоторые свойства и ИК-спектры поглощения указанных соединений.

Для получения комплексных соединений нитратов РЗЭ смешивали этанольные растворы нитрата соответствующего РЗЭ и гидразида каприновой кислоты (мольное отношение соль РЗЭ:гидразид равно 1:4). Раствор нагревали до кипения, фильтровали и оставляли на кристаллизацию. Через некоторое время выпавший мелкокристаллический осадок отфильтровывали, промывали водой, этанолом, сушили на воздухе и анализировали.

Для синтеза комплексных соединений тиоцианатов РЗЭ с гидразидом каприновой кислоты раствор, содержащий тиоцианат соответствующего РЗЭ и гидразид (мольное отношение тиоцианат РЗЭ:гидразид равно 1:3), кипятили с обратным холодильником в течение 2 часов. Раствор фильтровали и оставляли для кристаллизации. Выпавшее кристаллическое соединение отделяли от раствора, промывали водой, этианолом, сушили на воздухе и анализировали.

Таблица 2
Результаты химических анализов и некоторые свойства комплексных соединений тиоцианатов РЗЭ с гидразидом каприновой кислоты

Соединение	Цвет	T _{пл} °C	Найдено, %					Вычислено, %				
			M	C	H	N	S	M	C	H	N	S
Pr (HC) ₃ (CNS) ₃	Зеленый	112°	16,26	45,42	7,61	14,49	11,07	16,15	45,36	7,56	14,43	10,99
Nd (HC) ₃ (CNS) ₃	Сиреневый	135°	16,51	45,27	7,59	14,44	10,98	16,43	45,20	7,53	14,38	10,95
Eu (HC) ₃ (CNS) ₃	Белый	155°	17,86	44,87	7,52	14,29	10,89	17,79	44,79	7,46	14,25	10,85
Gd (HC) ₃ (CNS) ₃	Белый	138°	17,75	44,59	7,49	14,22	10,84	17,66	44,54	7,42	14,17	10,79
Er (HC) ₃ (CNS) ₃	Розовый	144°	18,63	44,12	7,38	14,09	10,76	18,57	44,04	7,34	14,01	10,67
Tm(HC) ₃ (CNS) ₃	Белый	118°	18,83	43,99	7,37	13,99	10,71	18,75	43,95	7,32	13,98	10,65
Lu (HC) ₃ (CNS) ₃	Белый	115°	19,37	44,79	7,35	13,95	10,63	19,29	44,66	7,27	13,89	10,58

Результаты химических анализов и некоторые свойства синтезированных соединений представлены в табл. 1, 2.

Полученные соединения тиоцианатов РЗЭ в различной степени растворяются в этианоле, бензole, диметилсульфокенде, тетрагидрофuranе, ацетоне, не растворяются в воде, CCl₄. Комплексы нитратов РЗЭ растворимы в диметилсульфоксида, тетрагидрофуране и нерастворимы в воде, этианоле, бензole, ацетоне, CCl₄.

Для определения способов координирования молекул гидразида каприновой кислоты и ацидогруппы были изучены ИК-спектры поглощения (400—4000 см⁻¹) полученных соединений.

Изучение ИК-спектров поглощения исследованных соединений показало, что молекулы гидразида каприновой кислоты выступают в роли циклообразующих лигандов, связанных с атомами металлов-комплексообразователей через атом азота аминогруппы и атом кислорода карбонильной группы. Действительно, частоты преимущественно валентных колебаний связей NH группы и NH₂ и CO карбонильной группы смешены в длинноволновую область, по сравнению с соответствующими частотами некоординированного гидразида (см. табл. 3).

В ИК-спектрах поглощения комплексных соединений нитратов изученных РЗЭ не обнаружены частоты колебаний координированных нитрогрупп и найдены частоты, соответствующие колебаниям нитрат-ионов.

Анализ ИК-спектров поглощения комплексных соединений тиоцианатов РЗЭ с гидразидом каприновой кислоты показывает, что

группы NCS⁻ непосредственно связаны с атомами РЗЭ через атомы азота. Действительно, частоты колебаний связей CN в спектрах комплексов найдены около 2065—2090 см⁻¹, а частоты ν(CN) — около 775—790 см, т. е. где поглощают координированные группы⁻¹ NCS⁻.

Таблица 3

Некоторые колебательные частоты (см⁻¹), найденные в ИК-спектрах поглощения комплексов РЗЭ с гидразидом каприновой кислоты, и их отнесение*

Соединение	ν(NH), ν(NH ₂)	ν(CN) _{NCS}	ν(CO)	δ(NH ₂)	ν(NO ₃)	ν(CS)
Pr (HC) ₄ (NO ₃) ₃	3295, 3250, 3160	—	1660	1612	1365	—
Nd (HC) ₄ (NO ₃) ₃	3300п, 3290, 3230, 3210	—	1660	1610	1365	—
Eu (HC) ₄ (NO ₃) ₃	3290, 3240	—	1662	1615	1370	—
Gd (HC) ₄ (NO ₃) ₃	3300, 3225	—	1663	1615	1355	—
Er (HC) ₄ (NO ₃) ₃	3300п, 3285, 3220, 3150	—	1662	1615	1370	—
Tm (HC) ₄ (NO ₃) ₃	3280, 3230, 3155	—	1664	1610	1366	—
Lu (HC) ₄ (NO ₃) ₃	3290, 3230	—	1660	1615	1368	—
Pr (HC) ₃ (CNS) ₃	3250, 3190	2095 2068	1652	1604	—	778
Nd (HC) ₃ (CNS) ₃	3245, 3180	2095 2065	1650	1600	—	775
Eu (HC) ₃ (CNS) ₃	3230, 3190	2095 2063	1655	1605	—	775
Gd (HC) ₃ (CNS) ₃	3250, 3225, 3185	2090 2065	1650	1605	—	770
Er (HC) ₃ (CNS) ₃	3300п, 3260, 3230, 3190	2095 2065	1650	1610	—	790
Tm(HC) ₃ (CNS) ₃	3260, 3180	2090 2065	1650	1606	—	775
Lu (HC) ₃ (CNS) ₃	3300п, 3255, 3175	2092 2066	1655	1604	—	780
HC	3428, 3385	—	1682	1620	—	—

* HC=H₃C—(CH₂)₈—CONHNH₂.

Таким образом, можно предположить, что в комплексах нитратов РЗЭ с гидразидом каприновой кислоты координационное число атомов РЗЭ равно восьми, а в комплексах тиоцианатов РЗЭ — девяти.

Академия наук СССР
Институт общей и
неорганической химии
им. Н. С. Курнакова

Тбилисский государственный университет
Московский химико-технологический
институт
им. Д. И. Менделеева

მ. აბაშმაძე, ნ. ფირცხალავა, ი. ხარითონოვი, რ. მაჭხოშვილი

იუვიათმიჯათა ელემენტების კომპლექსური ნაირობი
 კაპრინის მჟავას ჰიდრაზიდთან

რეზიუმე

მიღებულია ლიტერატურაში უცნობი კომპლექსნაირობი Pr(III) , Nd(III) , Eu(III) , Gd(III) , Er(III) , Tm(III) , Lu(III) ნიტრატებისა და თომიანატებისა კაპრინის მჟავას ჰიდრაზიდთან.

აღნიშნულ ნაირობში კაპრინის მჟავას ჰიდრაზიდი ასრულებს ბიდენტატური ლიგანდის როლს, რომელიც დაკავშირებულია მეტალ-კომპლექსშიარმომქმნელთან ამინოგუფის აზოტისა და კარბონილის ჯვეფის უანგბადის საშუალებით. კომპლექსნაირობის შედეგნილობა, ინდივიდუალობა და კომპლექსის წარმოქმნის ლოკალიზაციის აღვილი დადგენილია ინფრაჭირელი და ელემენტური ანალიზით.

GENERAL AND INORGANIC CHEMISTRY

M. Sh. ABASHMADZE, N. I. PIRTSKHALAVA, I. I. KHARITONOV,
 R. I. MACHKHOSHVILI

COMPLEX COMPOUNDS OF RARE EARTH ELEMENTS WITH CAPRYLYC ACID HYDRAZIDE

Summary

New complex compounds of nitrates and thiocyanates Pr(III) , Nd(III) , Eu(III) , Gd(III) , Tm(III) , Lu(III) with caprylic acid hydrazide have been synthesized. The coordination bond has been found to be located on the atoms of nitrogen and oxygen of the amino and carbonyl groups. The structures of all the obtained complexes were established on the basis of their IR spectra, X-ray phase and elemental analysis.

ლიტერატურა — ЛИТЕРАТУРА — REFERENCES

1. Н. И. Пирцхалава, Ю. Я. Харитонов, Р. И. Мачхошвили, М. Ш. Абашмадзе. Коорд. химия, 3, 1977, 200.
2. Р. И. Мачхошвили, Ю. Я. Харитонов, Н. И. Пирцхалава, М. Ш. Абашмадзе. Коорд. химия, 3, 1977, 204.
3. Ю. Я. Харитонов, Р. И. Мачхошвили, Н. И. Пирцхалава, М. Ш. Абашмадзе. ЖНХ, 23, 1978, 394.
4. Р. И. Мачхошвили, М. Ш. Абашмадзе, Н. И. Пирцхалава, Ю. Я. Харитонов. Коорд. химия, 4, 1978, 200.

ОБЩАЯ И НЕОРГАНИЧЕСКАЯ ХИМИЯ

М. И. БРОДЗЕЛИ, Г. Г. ДЕКАНОЗИШВИЛИ,
И. А. ЕЛИГУЛАШВИЛИ, М. Д. КАНДЕЛАКИ, О. Е. МОДЕБАДЗЕ

**ВЛИЯНИЕ ЭЛЕКТРИЧЕСКОГО ПОЛЯ И ТЕМПЕРАТУРЫ НА
ПРОЦЕСС ПЕРЕКЛЮЧЕНИЯ В БОРАТНО-ВАНАДАТНЫХ
СТЕКЛАХ**

(Представлено членом-корреспондентом Академии К. С. Кутателадзе 26.6.1978)

В последние годы наблюдается большой интерес к стеклам, содержащим разновалентные ионы переходных металлов. Эти материалы характеризуются полупроводниковыми свойствами и способны под действием электрического поля резко изменять собственное сопротивление на несколько порядков. Это свойство, а также технологические особенности позволяют надеяться, что аморфные материалы найдут применение для создания новых видов полупроводниковых приборов, необходимых электронике и вычислительной технике.

Нами были изучены стекла, содержащие различные молярные соотношения окислов ванадия в системе $\text{CaO}-\text{B}_2\text{O}_3-\text{V}_x\text{O}_y$ [1].

Измерения производились на образцах, изготовленных в виде бусинок по методу, описанному в [2]. Электродами служили никелевые проволочки диаметром 0,1 мм. Расстояние между электродами фиксировалось и могло меняться от 50 до 150 мкм. Сопротивление образцов находилось в пределах 10^8-10^6 ом. Были изучены статические и динамические характеристики и температурная зависимость проводимости.

Эксперименты показали, что исследуемые образцы можно переводить в состояние с высокой проводимостью как полем, так и термически. Следует отметить, что в обоих случаях происходит переход к одному и тому же значению проводимости, только под действием электрического поля переход происходит очень резко, в то время как термически имеет место плавный переход.

Напряжение переключения зависит от концентрации окислов ванадия и для образцов, содержащих 75% V_xO_y , находится в пределах 80—90 в при 300°K и $d = 80$ мкм (рис. 1). При $T = 150^\circ\text{K}$ $V_{\text{неп}} \sim 150-180$ в и с повышением температуры уменьшается.

Измерения температурной зависимости проводимости для образцов, содержащих различные концентрации окислов ванадия (рис. 2), показали, что начиная с некоторых концентраций наблюдается переход в область металлической безактивационной проводимости. Наблюдаемый термический переход сходен с аналогичной зависимостью в VO_2 [3]. Причем в обоих случаях переход имеет место при температуре $\sim 70^\circ\text{C}$. В стеклах с малой концентрацией ванадия переход не наблюдается, а с увеличением концентрации происходит изменение от плавного к все более резкому переходу.

Изучаемые нами оксидные стекла на основе ванадия, согласно представлениям о структуре стекла, образуют пространственно неупорядоченную решетку с ячейками относительно катионов ванадия и соединяющими различные валентности (V^{5+} и V^{4+}), в междоузлиях которых расположены катионы V^{4+} и Ca^{2+} . Электронами проводимости являются локализованные 3d-электроны катионов ванадия. Ранее было показано, что проводимость стекол системы V_2O_5 зависит от отношения V^{4+}/V^{5+} и принимает максимальное значение при 0,5—1. Таким образом, механизм электропроводности сводится к обмену валентностями между V^{4+} и V^{5+} .

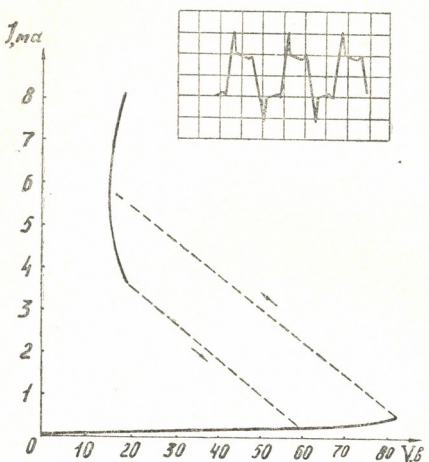


Рис. 1. Статическая и динамическая вольтамперные характеристики

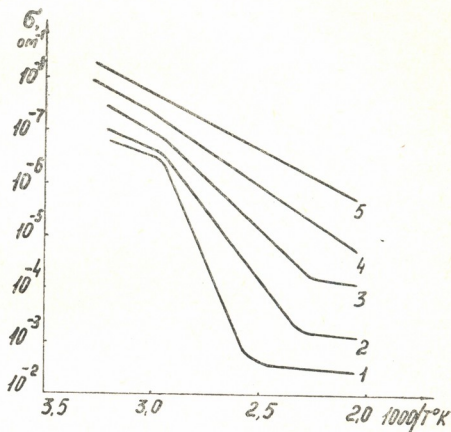
Кинетическая теория для локализованных носителей в периодической решетке хорошо объясняется в рамках полярронной модели [4]. Имеются предпосылки применимости полярронной модели проводимости и в стеклах [5], несмотря на отсутствие дальнего порядка в распоряжении ионов металла. Это связано с тем, что физические процессы, описываемые теорией полярронов малого радиуса, не жестко зависят от периодичности решетки и хорошо применимы в случае переноса локализованных носителей, сильно взаимодействующих с колебаниями решетки.

В рамках полярронной модели возможны два типа проводимости: прыжковая, сопровождаемая обменом энергии с решеткой, и проводимость в полярронной зоне — без изменения энергии решетки. Переход в механизме проводимости, сопровождающийся изменением энергии активации, может быть осуществлен как электрическим полем, так и термически.

Свойства изучаемых нами материалов зависят от энергии межатомного обмена — E , необходимой для образования полярона, и от ширины d-зоны — ΔE , связанной с величиной перекрытия волновых функций электронов проводимости. Изменение проводимости должно иметь место, когда ширина зоны становится соизмеримой с энергией межатомного обмена. Этот процесс может быть связан со структурным изменением материала, температурой среды и приложенным полем. Выяснение роли каждого из этих параметров представляет интерес.

рес. Исследуемые нами ванадиевые стекла, которые, наряду с эффектом переключения под действием поля, обнаруживают эффект термического фазового перехода, являются в этом смысле удобными материалами. Мы попытались разделить влияние температуры и поля на процесс переключения. Говорить о чисто термическом эффекте нам позволяет тот факт, что напряжение, при котором производились измерения (0,5 в), намного ниже $U_{\text{пер}}$ и соответствующие токи существенного вклада в нагревание образца внести не могли.

Рис. 2. Типичные температурные зависимости проводимости образцов с различным содержанием V_xO_y (вес. %): 1 — 75%, 2 — 65%, 3 — 50%, 4 — 40%, 5 — 30%



В изучаемых нами стеклах, очевидно, можно выделить подрешетку относительно неупорядоченно расположенных ионов ванадия, для которой при критической температуре 70°C происходит фазовый переход, аналогичный имеющему место в VO_2 .

Слабое перекрытие волновых функций электронов проводимости требует дополнительной энергии для перехода в низкоомное состояние. Эта энергия может быть уменьшена либо сближением ионов, либо повышением температуры. С увеличением концентрации ионов ванадия перекрытие их волновых функций увеличивается. Повышение температуры сглаживает беспорядок, и число уровней с одинаковыми энергиями растет. Можно предположить, что именно это вызывает увеличение перекрытия волновых функций электронов, приводящее к более резкому изменению проводимости.

Несмотря на то что напряжение переключения зависит от температуры, сам процесс не является следствием выделения джоулевого тепла. Эксперименты показали, что плавный рост температуры приводит к постепенному увеличению проводимости, в то время как критическое напряжение изменяет его резко. Кроме того, расчеты, проведенные на основе уравнения термического равновесия [6], отвергают возможность чисто термического эффекта.

В условиях сильного электрического поля может иметь место резкое изменение электрон-фонового взаимодействия, влияющего на вероятность перескоков. Не исключена возможность делокализации поляронов, вызывающая переход от одного механизма подвиж-



ности к другому. Кроме того, при таких полях может меняться энергия межатомного взаимодействия и концентрация носителей тока резко возрастает (например, за счет эффекта Френкеля—Пуля). В любом случае поле также приводит к резкому увеличению перекрытия волновых функций.

Таким образом, можно считать, что электрическое поле и температура независимо участвуют в процессе изменения проводимости и могут самостоятельно осуществлять переход образца в низкоомное состояние.

Академия наук Грузинской ССР

Институт кибернетики

(Поступило 26.6.1978)

ზოგადი და არაორგანული ქიმია

ა. ბროდველი, გ. დალაკიშვილი, ი. ელიგულავილი,
მ. კანდელაკი, ო. მოდებაძე

ელექტრული ველისა და ტემპერატურის გავლენა გადართვის პროცესზე ბორატულ-ვანადიუმიან მინებზი

რეზიუმე

გამოკვლეულია ელექტრული ველისა და ტემპერატურის გავლენა გადართვის პროცესზე ბორატულ-ვანადიუმიან მინებზი.

დაღვენილია, რომ ნიმუშები მაღალმიანი მდგომარეობიდან მაღალი გამტარებლობის მდგომარეობაში შეიძლება გადაყვანილ იქნეს როგორც ელექტრული ველის გავლენით (ნახტომისებური გადართვა), ისე ტემპერატურული ზემოქმედებითაც (თანამდებობითი გადართვა).

GENERAL AND INORGANIC CHEMISTRY

M. I. BRODZELI, G. G. DALAKISHVILI, I. A. ELIGULASHVILI,
M. D. KANDELAKI, O. E. MODEBADZE

THE EFFECT OF ELECTRIC FIELD AND TEMPERATURE
ON THE SWITCHING PROCESS IN BORATE-VANADIUM GLASSES

Summary

The effect of the electric field and temperature on the switching process in borate-vanadium glasses of the system $\text{CaO}-\text{B}_2\text{O}_3-\text{V}_x\text{O}_y$ has been studied.

It was established that samples of high resistance could be transformed to a state of high conductivity either by means of the field (abruptly) or temperature (gradually).

ლიტერატურა — ЛИТЕРАТУРА — REFERENCES

1. О. Е. Модебадзе, В. В. Чавчанидзе, М. И. Бродзели. Авт. свид. № 529726. Бюлл. изобр., № 35, 1976.
2. О. В. Митрофанов и др. Изв. вузов ССРР, Физика, 12, 1968, II.
3. J. B. Goodenough. Phys. Rev. 117, 1960, 1442.
4. L. Friedman. Phys. Rev. 135, 1964, A 233.
5. A. P. Schmidt. J. Appl. Phys. 39, № 3, 1968, 140.
6. C. M. Berglund. IEEE, ED-16, № 5, 1969, 432.

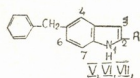
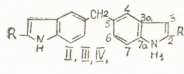
ОРГАНИЧЕСКАЯ ХИМИЯ

Ш. А. САМСОНИЯ, И. Ш. ЧИКВАИДЗЕ, Н. Н. СУВОРОВ,

| И. М. ГВЕРДЦИТЕЛИ | (член-корреспондент АН ГССР)

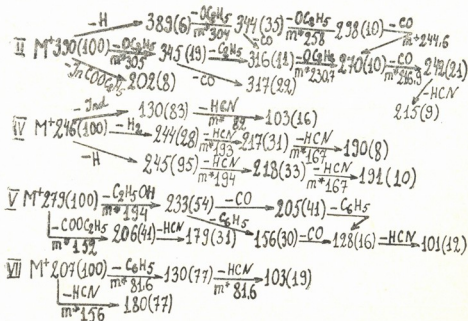
СИНТЕЗ СИСТЕМЫ БИС-(ИНДОЛИЛ-5)МЕТАНА⁽¹⁾

Ранее [2] нами сообщалось о синтезе 5,5'-бис-1Н-индола. В настоящей статье описывается синтез системы бис-(индолил-5)метана:



II R=COO₂H₅, III R=COOH, IV R=H, V R=COO₂H₅,
 VI R=COOH, VII R=H.

В качестве циклизующего агента была использована смесь эфиров полифосфорной кислоты. В процессе индолизации дигидразона I наблюдалось образование 5-бензил-2-карбэтооксииндола (V). Омыление эфиров II и VI приводит к образованию кислот III и V. Декарбоксилированием этих кислот получены незамещенный бисиндол IV и 5-бензилиндол (VII). Строение соединений II—VII подтверждено на основании данных ПМР и ¹³С-ЯМР (таблица). Молекулярные веса соединений II, IV, V и VII, определенные масс-спектрометрически, соответствуют расчетным. На схемах приведены величины m/e, а в скобках — относительные интенсивности к полному ионному току:



4,4'-Дифенилментандигидразон этилового эфира пироноградной кислоты (I). К смеси 7 г (0,06 мол) этилового эфира пироноградной кислоты в 20 мл изограпанола и 20 мл воды при перемешивании тонкой струей прибавляют теплый раствор (50°C) 8,5 г (0,028 мол) дигидрохлорида 4,4'-дигидразинодифенилметана в 300 мл воды. Раств-

(1) Сообщение II см. [1].

Спектры ПМР и ^{13}C -ЯМР, δ м. г.¹

Соединение	H-1	H-2	H-3	H-4	H-6	H-7	ph	CH ₂	CH ₂ (Et)	CH ₃ (Et)	OH	J Гц
* II	11,4 с	—	7,02 д	7,43 д	7,06 д	7,38 д	—	4,02 с	4,28 к	1,28 т	—	$J_{3,7}=0,8$ $J_{2,6}=1,6$ $J_{4,7}=7,2$
** III	11,61 с	—	7,10 с	7,43 с	7,11 м	7,35 м	—	4,02 с	—	—	—	—
* IV	10,33 с	7,13 д	6,30 м	7,35 д	6,93 дд	7,17 дд	—	4,22 с	—	—	—	$J_{2,3}=3,1$ $J_{3,1}=2,0$ $J_{3,2}=0,9$ $J_{4,6}=1,6$ $J_{6,7}=8,5$
*** V	10,82 с	—	7,10 с	7,49 с	7,16—7,39 м	—	4,02 с	4,32 к	1,32 т	—	—	—
*** VI	10,74 с	—	7,18 д	7,49 с	7,24—7,41 м	—	4,04 с	—	—	4,11 с	—	$J_{3,7}=0,9$
*** VII	10,09 с	7,17—7,36 м	6,39 д	7,40 с	7,17—7,36 м	—	4,01 с	—	—	—	—	$J_{2,3}=3,0$

	C-2	C-3	C-4	C-5	C-6	C-7	C-3а	C-7а	CH ₂ (Et)	CH ₃ (Et)	CH ₂	$-\text{C}(=\text{O})\text{O}-$
** II	126,86 с	107,09 д	125,76 д	133,3 с	120,7 д	111,99 д	127,41 с	135,9 с	59,69 т	13,05 к	41,06 т	160,86 с
** IV	125,13 д	100,77 д	122,35 д	132,75 с	119,51 д	111,08 д	127,82 с	134,42 с	—	—	41,74 т	—

¹ Спектры сняты на спектрометре „Varian”, CFT-20, внутренний стандарт—TMC.

* Ацетон d_6 : ДМСО $d_6=3,1$; ** ДМСО d_6 ; *** Ацетон d_6 .

вор мутнеет и выгдаает вязкая масса. Перемешивают 1 час. Затем экстрагируют эфиром. Экстракт промывают сперва 2% раствором NaHCO_3 , а затем водой до нейтральной реакции и сушат над MgSO_4 . Эфир упаривают, оставшееся вязкое масло растворяют в бензole и оставляют. Через 4 часа выпавший осадок желтого цвета отфильтровывают, промывают гексаном и сушат. Выход 4 г (34%). Т. пл. 135—137°C. Найдено, %: С 65,2; Н 6,4; N 13,3. $\text{C}_{23}\text{H}_{28}\text{N}_2\text{O}_4$. Вычислено, %: С 65,1; Н 6,6; N 13,2.

2,2'-Дикарбэтокси-бис-(индолил-5) метан (II). 14,9 г (0,035 мол) продукта I смешивают с 150 г эфиров полифосфорной кислоты и медленно нагревают при перемешивании до 85—90°C. При этом наблюдается температурный скачок до 120°C. Реакционную массу выдерживают при 100° в течение 30 минут. Затем охлаждают и выливают в холодную воду. Осадок отфильтровывают, промывают водой и сушат. Выход 85%, после очистки 65%. Т. пл. 203,5—204°C (хроматография на колонке с силикагелем, элюент—хлороформ, последующая кристаллизация из этанола). Rf 0,7 (ацетон:бензол-1:5). ИК-спектр (в вазелиновом масле): 3350 (NH); 1700, 1715 cm^{-1} (C=O). УФ-спектр, λ_{\max} (lg ε): 225 (4,65), 298 нм (4,59). Найдено, %: С 70,6; Н 5,7; N 7,0. $\text{C}_{23}\text{H}_{22}\text{N}_2\text{O}_4$. Вычислено, %: 70,8; Н 5,7; N 7,2.

2,2'-Дикарбокси-бис-(индолил-5) метан (III). К кипящему раствору 0,39 г (0,001 мол) продукта II в 100 мл абс. этанола прибавляют раствор 3 г NaOH в 50 мл абс. этанола и кипятят 2 часа. Выпавший осадок отфильтровывают, промывают спиртом и хорошо отжимают. Затем соль кислоты III растворяют в 100 мл воды и подкисляют HCl до pH 1. Выпавший осадок отфильтровывают, промывают водой и сушат. Выход 0,2 г (60%). Т. пл. 265°C с разложением (из этанола). Найдено, %: С 68,3; Н 4,3; N 8,3. $\text{C}_{19}\text{H}_{14}\text{N}_2\text{O}_4$. Вычислено, %: С 68,3; Н 4,2; N 8,4. ИК-спектр (в вазелиновом масле): 3365, 3440 Н; 1700 cm^{-1} (C=O). УФ-спектр, λ_{\max} (lg ε): 225, 293 нм.

Бис-(индолил-5) метан (IV). 3,3 г (0,01 мол) соединения III нагревают до прекращения выделения CO_2 . После охлаждения вещество очищают на колонке с силикагелем. Элюент — бензол. Выход 0,67 г (28%). Т. пл. 159—160°C (из октана). Rf 0,5 (бензол: ацетон 10:1). Найдено, %: С 82,9; Н 5,8; N 11,3. $\text{C}_{17}\text{H}_{14}\text{N}_2$. Вычислено, %: С 82,9; Н 5,6; N 11,4. ИК-спектр (в хлороформе): 3495 cm^{-1} a(NH). УФ-спектр, λ_{\max} (lg ε): 225(4,75), 274 (4, 10), 284 (4, 09) 295 нм (3,87).

5-Бензил-2-карбэтоксииндол (V). При синтезе 2,2'-дикарбэтокси-бис-(индолил-5) метана (II) образуется соединение V, которое выделяют на колонке с силикагелем. Элюент — хлороформ. Выход 1%. Т. пл. 124—124,5°C (из бензола). Rf 0,45 (бензол). Найдено, %: С 77,9; Н 6,4; N 4,8. $\text{C}_{18}\text{H}_{17}\text{NO}_2$. Вычислено, %: С 77,4; Н 6,1; N 5,0. ИК-спектр (в вазелиновом масле): 3320 (NH); 1680 cm^{-1} (C=O). УФ-спектр, λ_{\max} (lg ε): 210 (4,47), 237 (4,35) плечо, 302 нм (4,32).

2-Карбокси-5-бензилиндол (VI). К кипящему раствору 2,8 г (0,01 мол) продукта V в 100 мл этанола прибавляют раствор 3,2 г NaOH в 50 мл этанола и кипятят 2 часа. Осадок отфильтровывают, промывают



спиртом и растворяют в 100 мл воды. Раствор подкисляют HCl до pH 7. Выпавший осадок промывают водой до нейтральной реакции и сушат. Выход 2 г (80%). Т. пл. 227—228°C с разложением. Найдено, %: С 76,5; Н 5,6; N 5,4. $C_{16}H_{13}NO_2$. Вычислено, %: С 76,5; Н 5,2; N 5,6. ИК-спектр (в вазелиновом масле): 3350, 3470 (NH); 1670, 1705 cm^{-1} (C=O). УФ-спектр, λ_{max} ($\lg \epsilon$): 210 (4,47), 227 (4,49), 294 нм (4,24).

5-Бензилиндол (VII). 2,5 г (0,01 мол) продукта VI нагревают в пламени горелки до прекращения выделения CO_2 . Очищают на колонке с силикагелем. Элюент—гексан. Выход 0,9 г (45%), маслообразное вещество. Rf 0,8 (бензол). Найдено, %: С 87,5; Н 6,7; N 6,4. $C_{15}H_{13}N$. Вычислено, %: С 87,0; Н 6,3; N 6,8. ИК-спектр (в пленке): 3450 cm^{-1} (NH). УФ-спектр, λ_{max} ($\lg \epsilon$): 210 (4,43), 225 (4,47), 272 (3,75), 285 (3,69), 296 нм (3,47).

Тбилисский государственный университет

(Поступило 30.6.1978)

ორგანული მიმა

შ. სამსონია, ი. შიკვაიძე, ნ. სუვოროვი, [ი. გვერდისთვლი]
(საქ. სსრ მეცნ. კულ. წევრ-კორესპონდენტი)

გიციდეოლები III ბის-(ინდოლილ-5)-მეთანი
სისტემის სინთეზი

რეზიუმე

ფიშერის რეაქციით სინთეზირებულია ჰეტეროციკლური სისტემა ბის-(ინდოლილ-5)-მეთანი. მაციკლიზებელ აგენტად გამოყენებულია პოლიფორმულების გამოყოფილი 2,2'-დიკარბოქსი-ბის-(ინდოლილ-5)-მეთანი, რომლის შესაბენით გამოყოფილ იქნა 2,2'-დიკარბოქსი-ბის-(ინდოლილ-5)-მეთანი. მა დიკარბონმეტავს თერმული დეკარბოქსილირებით მიღებულია ბის-(ინდოლილ-5)-მეთანი.

ORGANIC CHEMISTRY

Ш. А. SAMSONIA, И. Ш. CHIKVAIDZE, Н. Н. SUVOROV,

[I. M. GVERDTSITELI]

BISINDOLES III. SYNTHESIS OF BIS-(INDOLYL-5)METHANE

Summary

The heterocyclic system bis-(indolyl-5) methane has been synthesized by Fisher's reaction. Polyphosphoric acid esters were used as cyclization agent. 2,2'-dicarboxy-bis-(indolyl-5)methane was obtained. By hydrolyzation of this substance 2,2' dicarboxy-bis-(indolyl-5) methane was isolated. Thermal decarboxylation of this dicarbon acid yielded bis-(indolyl-5) methane.

ლიტერატურა — ЛИТЕРАТУРА — REFERENCES

1. Ш. А. Самсония и др. Сообщения АН ГССР, 91, № 2, 1978.
2. Н. Н. Суворов, Ш. А. Самсония и др. ХГС, № 2, 1978, 217—224.

ОРГАНИЧЕСКАЯ ХИМИЯ

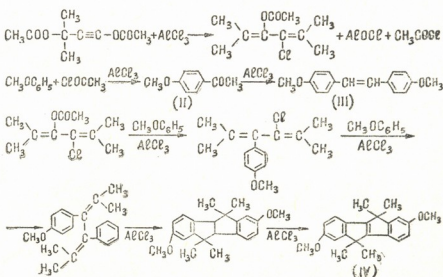
Ш. Д. КУПРАВА, Г. Г. САМСОНИЯ, Р. Ш. КЛДИАШВИЛИ,
 Н. Р. ЛОЛАДЗЕ, И. Г. АБЕСАДЗЕ, Р. М. ЛАГИДЗЕ

СИНТЕЗ 3,4,7,8-ДИБЕНЗО-3',2"-ДИМЕТОКСИ-2,2,6,6-
 -ТЕТРАМЕТИЛ-БИЦИКЛО(3,3,0)Δ^{4,8}-ОКТАНА

(Представлено академиком Х. И. Арешидзе 26.6.1978)

В работах [1—3] показано, что при алкилировании бензола, анизола и вератрола бут-2-ин-1,4-диолом в присутствии б. AlCl₃ образуются 2-фенилнафталин, 7-метокси-2-(п-метоксифенил)нафталин и 6,7-диметокси-2-(3,4-диметоксифенил)нафталин соответственно. В аналогичных условиях алкилированием бензола и его гомологов различными ацетиленовыми γ-гликолями и их диацетатами получены 5,5,10,10-тетраметил-4b,5,9b,10-тетрагидроиндено(2,1-a)инден (I) и его замещенные аналоги, наряду с соединениями типа 2-фенил-1,3-дикалилинданов [4—7].

В данной работе показано, что алкилирование анизола диацетатом 2,5-диметил-гексин-3-диола-2,5 протекает аналогично и образуются п-метоксиацетофенон (II), дианизилэтилен (III), способ получения которого действием б. AlCl₃ на п-метоксиацетофенон описан в работе [8], и 3,4,7,8-дibenzo-3'2"-диметокси-2,2,6,6-тетраметил-бицикло(3,3,0)Δ^{4,8}-октан (IV) по схеме

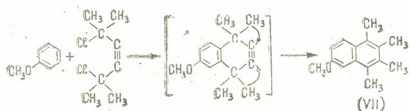


Нам впервые удалось показать также, что алкилирование бензола 2,5-диметил-3,4-дихлор-2,4-гексадиеном (V) в присутствии б. AlCl₃ при их молярном соотношении 1:0,5 протекает более гладко и соединение (I) образуется с выходом 63%. В ходе изучения этих реакций уточнены условия, описанные в работе [9], по получению соединения (V) и его изомера 2,5-дихлор-2,5-диметил-гексина-3 (VI). Установлено, что при охлаждении смеси 2,5-диметил-гексин-3-диола-2,5 и соляной кислоты ледяной водой и непрерывном перемешивании в течение 4 часов они образуются приблизительно в разных количествах; при

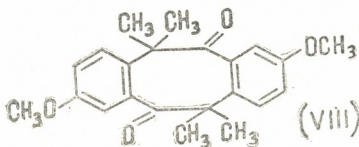


комнатной температуре выход (V) увеличивается до 75% и при нагревании реакционной смеси до 50° достигает 90—95%.

Из продуктов алкилирования анизола диацетатом 2,5-диметилгексин-3-диола-2,5 удалось выделить также в незначительном количестве 6-метокси-1,2,3,4-тетраметилнафталин с т. пл. 112—113° (VII) [10]. Обнаружить его в продуктах конденсации 2,5-диметил-3-хлор-4-ацетоксигексадиена-2,4 и 2,5-дихлор-2,5-диметил-3,4-гексадиена с анизолом не удалось. На основании этих данных предложена схема образования соединения (VII):



Окислением соединения (IV) хромовым ангидридом в ледяной уксусной кислоте получен соответствующий циклический дикетон 3,9-диметокси-6,6,12,12-тетраметил-сим-дibenзоциклооктандин-5,11 (VII) с т. пл. 195—6°, выход 56%.



ИК-спектры сняты на приборе UR-20 (ГДР), ПМР-спектры — на приборе ДА-60, JL—«Вариан», внутренний стандарт — ТМС, масс-спектры — на приборе LKB 900 (LKB, Швеция) при ускоряющем напряжении 70 эв; ГЖХ анализ проведен на приборе «Цвет-4—67», колонка 1 м × 3 мм, стандартная фаза — 3% апизон-L на хромосорб-Б-В, детектор по теплопроводности, газ-носитель — гелий, скорость 50 мл/мин, температура колонки 80° для соединений (V, VI) и 250° для соединений (I, IV, VII). Время удерживания: для соединения (I) 40 сек, для соединения (IV) 120 сек, для соединения (V) 80 сек, для соединения (VI) 28 сек, для соединения (VII) 36 сек.

Получение соединения (IV). К смеси 152 г анизола и 26,7 г б. AlCl_3 , при комнатной температуре и непрерывном перемешивании добавляли по каплям 20 г диацетата 2,5-диметилгексин-3-диола-2,5 в течение 30 мин. Затем колбу постепенно подогревали на водяной бане до 75° и при этой температуре реакцию проводили в течение 6,5 часов. Образовавшийся комплекс разлагали разбавленной соляной кислотой, экстрагировали эфиром (50 мл × 4), эфирную вытяжку промывали водой, высушивали над Na_2SO_4 и растворитель отгоняли. Вакуум-разгонкой 21 г конденсата получены: I фракция с т. кип. 70—100° (2 мм) — 6,0 г; II фракция с т. кип. 105—135° (2 мм) — 2,5 г; III фракция с т. кип. 140—150° (2 мм) — 2,0 г; IV фракция с т. кип. 160—200° (2 мм) — 10,2 г.

Многократной разгонкой I фракции получены 3-хлор-4-ацетокси-2,5-диметилгексадиен-2-4—2,1 г, т. кип. 64—65° (3 мм), n_D^{20} 1,4580 [11] и п-метоксиацетофенон (II) вымораживанием—3,5 г, т. пл. 37—38°; т. пл. семикарбазона 193—194° [12].

II фракция при комнатной температуре почти полностью закристаллизовалась. Перекристаллизованный из этанола продукт имеет т. пл. 138—139° и отвечает дианизилэтилену (III), выход 2 г; ИК-спектр (KBr, cm^{-1}): 840 (1,4-замещенное бензольное кольцо), 1675 ($>\text{C}=\text{C}<$), 2850 (CCH_3). Найдено, %: С 80,04; 79,88; Н 6,62; 6,77; $m/e(M^+)$ 240. $\text{C}_{16}\text{H}_{16}\text{O}_2$. Вычислено, %: С 80,00; Н 6,66; М 240.

Вакуум-разгонкой III фракции выделена узкая фракция с т. кип. 126—128° (1 мм), n_D^{20} 1,5370, хроматографированием которой в колонке (Al_2O_3 II степени активности) в системе растворителей гексан, гексан-бензол (9:1) получен продукт с т. пл. 112—113°, отвечающий соединению (VII) [10]. ПМР-спектр (CCl_4 , δ): 3,48 (3Н, CH_3O); 2,27; 2,29; 2,24; 2,45 (12Н, CH_3 x 4). Найдено, %: С 84,15; 83,91; Н 8,56; 8,51; $m/e(M^+)$ 214. $\text{C}_{15}\text{H}_{18}\text{O}$. Вычислено, %: С 84,11; Н 8,41; М 214.

При добавлении к IV фракции небольшого количества петролейного эфира она частично закристаллизовалась. Перекристаллизованный из этанола продукт плавится при 232—233° и отвечает соединению (IV). Общее количество его в указанной фракции по ГЖХ составляет 25%. Для выделения его в чистом виде соответствующую фракцию несколько раз обрабатывали хроматографированием в колонке (Al_2O_3 II степени активности) в системе растворителей гексан-бензол (5:1), (5:2), (1:1). ИК-спектр (KBr, cm^{-1}): 805(1, 2, 4-замещенное бензольное кольцо), 1622 (сопряженная двойная связь), 1373, 1383, 1450 (гем. диметильная группа), 2837 (OCH_3), ПМР-спектр (CS_2 , δ), 3,72 (6Н, CH_3O x 2); 1,4 (12Н, CH_3 x 4); 6,47; 7,12 (6Н ароматика). Как и следовало ожидать, сигналы одиночных протонов в местах сочленения двух пятичленных колец отсутствуют. Найдено, %: С 82, 22, 82,37; Н 7,32, 7,37; $m/e(M^+)$ 320. $\text{C}_{22}\text{H}_{24}\text{O}_2$. Вычислено, %: С 82, 50; Н 7,50; М 320.

Окисление соединения (IV). К раствору 0,5 г (IV) в 30 мл ледяной уксусной кислоты при слабом подогревании небольшими порциями добавляли 1 г CrO_3 . Смесь умеренно кипятили приблизительно в течение 15—20 минут. Выпавший осадок отфильтровывали и промывали водой. Затем несколько раз обрабатывали последовательно 5% раствором NaOH и водой. Сырой продукт в количестве 0,35 г, перекристаллизованный из этанола, имеет т. пл. 193—194° и отвечает дикетону (VIII). ИК-спектр (KBr, cm^{-1}): 815, 875 (1, 2, 4-замещенное бензольное кольцо), 1386, 1390, 1455 (гем. диметильная группа), 1705 (С = О), 2860 (OCH_3). ПМР-спектр (ДМСО-Д_6 , δ): 3,7 (6Н, OCH_3 x 2) 1,3; 1,7 (два синглета, CH_3); 7,0; 6,6 (6Н, ароматика).

Академия наук Грузинской ССР

Институт физической и
органической химии
им. П. Г. Меликишивили

(Поступило 23.6.1978)



შ. კუპრავა, გ. სამსონია, რ. კლდიაშვილი, ნ. ლოლაძე,
ი. აბესაძე, რ. ლაგიძე

3, 4, 7, 8-დიბენზო-3', 2"-დიმეთოქსი-2, 2, 6, 6-ტეტრამეთილ-
გიციქლო-(3, 3, 0) $\Delta^{4,8}$ -ოქტანის სინთეზი

რეზიუმე

ანიზოლის კონდენსაციით 2,5-დიმეთოლ-ჰექსინ-3-დიოლ-2,5-ის დიაცეტატით
ქლორიანი ალფინის თანაბისას მიღება 3-მეტოქსიაცეტოფენონი (II),
დიანიზილეთოლენი (III), 6-მეტოქსი-1, 2, 3, 4-ტეტრამეთილნაფტალინი (VII)
და 3, 4, 7, 8-დიბენზო-3', 2"-დიმეთოქსი-2, 2, 6, 6-ტეტრამეთილბიციკლო (3, 3,
0)- $\Delta^{4,8}$ -ოქტანი.

ORGANIC CHEMISTRY

Sh. D. KUPRAVA, G. G. SAMSONIA, R. Sh. KLDIASHVILI, N. R. LOLADZE,
I. G. ABESADZE, R. M. LAGIDZE

SYNTHESIS OF 3,4,7,8-DIBENZO-3', 2"-DIMETHOXY-2,2,6,6-TETRAMETHYLBICYCLIC (3, 3, 0) $\Delta^{4,8}$ -OCTANE

Summary

It is shown that condensation of anisole with 2,5-dimethyl-3-hexyne-diol-2,5 in the presence of AlCl_3 affords p-methoxyacetophenone, dianisylethylene, 6-methoxy-1,2,3,4-tetramethylnaphthalene and 3,4,7,8-dibenzo-3',2"-dimethoxy-2,2,6,6-tetramethyl-bicyclic (3,3,0) $\Delta^{4,8}$ -octane.

ლიტერატურა — REFERENCES

- Р. М. Лагидзе, А. Д. Петров. ДАН СССР, 83, № 2, 1952, 235.
- Р. М. Лагидзе, Н. Р. Лоладзе, А. Д. Петров. Сообщения АН ГССР, 19, № 3, 1957, 279.
- Р. М. Лагидзе, Н. Р. Лоладзе, Ш. Д. Куправа, Г. Г. Самсония, Р. Ш. Клдиашвили, Д. Г. Чавчанидзе. Сообщения АН ГССР, 88, № 1, 1977, 89.
- Р. М. Лагидзе, Н. К. Иремадзе, Ш. Д. Куправа, А. Д. Петров. ДАН СССР, 121, № 3, 1958, 470.
- Р. М. Лагидзе, Л. П. Чигогидзе, Н. К. Иремадзе, Ш. Д. Куправа, Г. Г. Самсония. Сообщения АН ГССР, 25, № 1, 1960, 19.
- Р. М. Лагидзе, Д. Г. Чавчанидзе, Н. К. Иремадзе, Л. П. Чигогидзе. Вопросы стереохимии, № 4, Киев, 1974, 92.
- Р. М. Лагидзе, М. Ш. Вашакидзе, Н. К. Иремадзе, Г. Г. Самсония, Ш. Д. Куправа. ЖОрХ, 8, № 8, 1972, 1591.
- Ч. Томас. Безводный хлористый алюминий в органической химии. М., 1949, 289.
- А. И. Захарова, Г. Д. Ильина. ЖХО, 24, № 12, 1954, 2144.
- R. P. A. Ineeden, H. H. Zeiss. J. Organometallic Chem., 40, № 1, 1972, 163.
- Р. М. Лагидзе, Р. Н. Ахвледiani. Сообщения АН ГССР, 31, № 3, 1963, 577.
- Словарь органических соединений, I. М., 1949, 18.

ОРГАНИЧЕСКАЯ ХИМИЯ

Р. В. ЧЕДИЯ, С. К. ПЛУЖНОВ,
В. И. СМЕТАНЮК, В. А. КАБАНОВ (член-корреспондент АН СССР),
Х. И. АРЕШИДЗЕ (академик АН ГССР)

ГЕЛЕОБРАЗНЫЕ КАТАЛИТИЧЕСКИЕ СИСТЕМЫ ДЛЯ ДИМЕРИЗАЦИИ ПРОПИЛЕНА

В последние годы ширится фронт работ, направленных на «гетерогенизацию» гомогенных катализаторов [1]. Это связано в первую очередь с низкой стабильностью последних и сложностью отделения от них продуктов реакции.

При гетерогенизации катализитических комплексов на поверхности твердых носителей увеличивается стабильность и в ряде случаев повышается удельная активность зафиксированных активных центров.

Недавно для полимеризации олефинов были предложены гелеобразные катализитические системы (ГКС), по-видимому, оптимально сочетающие в себе достоинства гомогенных и классических гетерогенных катализаторов [2]. Катализаторы подобного типа оказались исключительно эффективными для процессов димеризации олефинов.

В настоящей работе представлены результаты проведенных в Институте нефтехимического синтеза АН СССР и Институте физической и органической химии АН ГССР исследований процесса димеризации пропилена на ГКС такого типа.

В общем виде такие ГКС представляют собой комплексы переходных металлов, иммобилизованные (закрепленные) в объеме набухших полимерных гелей. Благодаря сродству гелеобразных частиц к реакционной среде катализируемая реакция протекает не только на поверхности, но и во всем объеме набухшей полимерной частицы. Поэтому суммарная эффективность использования активных центров, иммобилизованных в геле, может быть столь же высокой, как и в гомогенном катализе. Вместе с тем, наличие отдельной фазы катализатора, представляющего собой прочные эластичные гранулы или мембранны, позволяет просто отделять продиффундировавшие из объема геля в реакционную среду продукты реакции димеризации пропилена.

Для фиксации активных центров удобно использовать полярные группы, такие как пиридиновые, способные связывать соединения переходных металлов, однако их включение в носитель не должно существенно ухудшать его способность к набуханию в углеводородах. Последнее условие легче всего удовлетворять, если необходимые функциональные группы присоединять к основе путем привитой сополимеризации, так как происходящая в этом случае микросегрегация разнородных цепей обусловливает сохранение в сополимере свойств составляющих его полимерных компонентов.

В настоящем исследовании в качестве полимерной основы применяли привитой сополимер СКЭПТа (синтетический каучук этилен-пропилен-несопряженный диен) и поли-4-винилпиридина (ПВП), содержание фрагментов ПВП до 40 вес.%. Для предотвращения диспергирования частиц носителя в реакционной среде каучуковую основу сши-

вали. Затем гранулы носителя обрабатывали растворами солей никеля, например ацетилацетонатом никеля, и формировали в них активные центры путем обработки алюминийорганическими соединениями.

Полученные таким образом эластичные гранулы обладали всем требуемым комплексом свойств. При введении в реакционный раствор они не разрушались при перемешивании, не слипались и не прилипали к стенкам реактора.

Процесс димеризации пропилена проводили в реакторе периодического действия с мешалкой в среде углеводородного или хлоруглеводородного растворителя. О скорости реакции димеризации пропилена судили по падению давления в термостатированной емкости. Анализ продуктов проводили с помощью газо-жидкостной хроматографии.

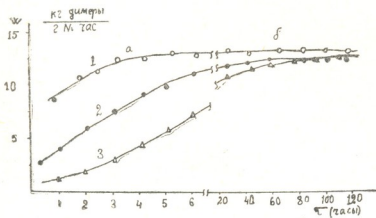
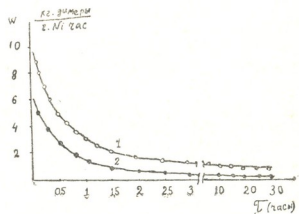


Рис. 1. Кинетические кривые зависимости скорости димеризации пропилена в углеводородных растворителях: 1 — н-гептан, 2 — изооктан, 3 — димеры пропилена. Условия реакции: катализатор СКЭПТ - ПВП (15%)-Ni (ацап)₂ — 0,1 г, сокатализатор (изо-C₄H₉)₂ AlCl — 0,5 мл, 0,5 М раствора в н-гептане, объем растворителя — 10 мл, температура 40°C, давление — 2,5 ат.

Важнейшей особенностью этих катализаторов является их исключительно высокая стабильность действия во времени. На рис. 1 приведены типичные кинетические кривые димеризации пропилена на ГКС.

В то время как гомогенные катализитические системы на основе никеля в этих условиях (40°C, 2 ат) дезактивируются через несколько часов, ГКС сохраняют активность сотни часов и более. Характерно и то, что максимум каталитической активности для ГКС находится в интервале 40—60°C, тогда как аналогичные никелевые гомогенные системы относительно стабильны при температурах не выше 20°C. Это обстоятельство имеет большое значение для практики, так как позволяет разработать непрерывный технологический процесс без применения хладоагентов.

Рис. 2. Влияние природы алюминийорганического сокатализатора на скорость димеризации пропилена в толуоле: 1 — C₂H₅AlCl₂, 2 — (изо-C₄H₉)₂AlCl. Условия реакции: катализатор СКЭПТ-ПВП(15%)-Ni (ацап)₂, соотношение Al/Ni = 16, объем раствора — 10 мл, температура 30°C, давление — 2,5 ат



Процесс формирования активных центров на свежеприготовленном катализаторе протекает во времени. Наиболее быстро формируются активные центры в н-углеводородах (н-гептан). При проведении процесса в непредельных углеводородах, в частности продуктах димери-

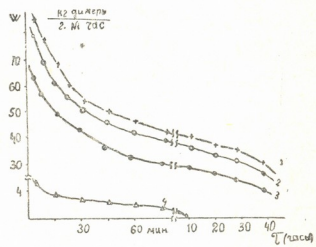
зации пропилена, наблюдается большой индукционный период (рис. 1, участок а). Однако стационарная скорость процесса остается практически одинаковой для всех углеводородных растворителей (н-гептан, изооктан (2,2,4-триметил-пентан), димеры пропилена) (рис. 1, участок б).

Иная картина наблюдается при проведении димеризации пропилена в ароматических углеводородах при температурах выше 20°C (рис. 2).

Из данных, приведенных на рис. 2, следует, что во времени расход пропилена значителен. При этом процесс димеризации пропилена сопровождается алкилированием толуола. Аналогичная картина наблюдалась в работе [3].

Димеризация пропилена в хлорбензоле и 1,2-дихлорэтане протекает с высокой скоростью, превышающей скорость димеризации в н-гептане в 4—5 раз. Однако в этих условиях стабильность ГКС во времени значительно ниже ~ 50 часов (рис. 3, кривые 1—3). В присутствии галоидуглеводородов с подвижным атомом галогена дезактивация ГКС наступает за 4—5 часов (рис. 3, кривая 4).

Рис. 3. Кинетические кривые зависимости скорости димеризации пропилена в галоидуглеводородных растворителях: 1 — дихлорэтан, сокатализатор — (изо- C_4H_9)₂AlCl; 2 — хлорбензол, сокатализатор — $C_6H_5AlCl_2$; 3 — хлорбензол, сокатализатор — (изо- C_4H_9)₂AlCl; 4 — этил бромистый, сокатализатор — (изо- C_4H_9)₂AlCl. Условия реакции: катализатор СКЭПТ-ПВП (15%)—Ni (ацап)₂, соотношение Al/Ni = 16, объем растворителя — 10 мл, температура 40°C, давление — 2,5 ат



Следовательно, процесс димеризации на ГКС целесообразно проводить в среде н-углеводородов или в продуктах димеризации пропилена, тем более что в этих условиях не наблюдается образования высших олигомеров.

Стабильность ГКС зависит также от восстановливающей способности применяемого алюминийорганического соединения. Наиболее стабильны ГКС, работающие в присутствии $RAI\bar{C}l_2$. При использовании AlR_3 катализатор быстро дезактивируется.

Изомерный состав димеров пропилена, полученных на ГКС на основе соединения никеля иммобилизованных на звеньях ПВП, практически не зависит от температуры проведения процесса (в интервале 20—70°C), природы использованного растворителя, соединения никеля и алюминийорганического сокатализатора. Катализат имеет следующий состав: ~ 72 % метилпентенов, ~ 26% гексенов и ~ 2% 2,3-диметилбутена-2.

Академия наук СССР
Институт нефтехимического синтеза
им. А. В. Топчиева

Академия наук Грузинской ССР
Институт физической и
органической химии
им. П. Г. Меликишвили

რ. ჩედია, ს. პლუჟნოვი, ვ. სმეთანიშვილი, ვ. კაბანოვი (სსრკ მეცნ. აკად. წევრ-ქორესპონდენტი). ძრ. არზიშვილი (საქ. სსრ მეცნ. აკად. აკადემიკოსი)

პროპილენის დიდერიზაციის გელის საგვარი
კატალიზირი ცისტივები

რეზიუმე

შესწავლილია პროპილენის დიმერიზაცია სხვადასხვა გამხსნელში ნიკელის აცეტილაცეტონიტის შემცველი გელის მაგვარი კატალიზატორებისა და ალკილალუმინიკალოგენიდების თანდასწრებით ზოგიერთ გამხსნელებში (ნ. ჰეპტანი, 2, 2, 4-ტრიმეთილპენტანი, პროპილენის დიმერები) გელის მაგვარი კატალიზატორები აქტივობას ასობით სათს ინარჩუნებენ.

გამხსნელებად 1, 2-დიქლორეთანის და ქლორბენზოლის გამოყენებისას დიმერიზაციის სიჩქარე 4—5-ჯერ მეტია, ვიდრე ნ. ჰეპტანის შემთხვევაში, მაგრამ აქტივობა შედარებით სწრაფად ეცემა (~ 50 სთ). პროპილენის დიმერები შეიცვალე: ~ 72% მეთილპენტენებს, ~ 26% ნ. ჰეპტანებს და ~ 2% 2, 3-დიმეთილბუტენ-2-ს.

ORGANIC CHEMISTRY

R. V. CHEDIA, S. K. PLUZHNOV, V. I. SMETANYUK, V. A. KABANOV,
Kh. I. ARESHIDZE

GEL-LIKE CATALYTIC SYSTEMS FOR PROPYLENE DIMERIZATION

Summary

The dimerization of propylene has been studied in various solvents in the presence of gel-like catalytic systems (GCS) containing nickel acetyl-acetonate and alkylaluminiumhalides. The activity of GCS in n-heptane, 2, 2, 4-trimethylpentane, propylene dimers remains constant for hundreds of hours.

ლიტერატურა — ЛИТЕРАТУРА — REFERENCES

1. Е. М. Сергия, М. Грациани. J. Appl. Polym. Sci., 18, 1974, 2725.
2. В. А. Кабанов, В. И. Сметанюк, В. Г. Попов. ДАН СССР, 225, № 6, 1975, 1377.
3. Д. Б. Фурман, С. С. Жуковский, Т. М. Харитонова, Б. М. Федоров, В. Г. Липович, О. В. Брагин, И. В. Калечиц, В. Э. Вассерберг. Сб. «Катализаторы, содержащие нанесенные комплексы». Новосибирск, 1977, 152.

ФИЗИЧЕСКАЯ ХИМИЯ

Г. В. ЦИЦИШВИЛИ (академик АН ГССР), Л. К. ქვანტალიანი,
Д. С. ЧИПАШВИЛИ

ТЕРМОГРАФИЧЕСКОЕ ИССЛЕДОВАНИЕ УГЛЕРОДНЫХ АДСОРБЕНТОВ ИЗ ПРОМЫШЛЕННЫХ ФУРАНОВЫХ СМОЛ

Перспективными сырьевыми материалами для получения углеродных адсорбентов с развитой микропористой структурой и молекулярно-ситовыми свойствами являются синтетические промышленные полимеры.

Технологический процесс получения углеродных продуктов на основе фурановых смол связан с их превращением в пространственно-сетчатые полимеры под действием кислых катализаторов на холду или при нагревании с карбонизацией отверженного полимера в свободной от кислорода среде при различной скорости нагревания и до различных конечных температур.

В ряде работ приводятся отдельные данные, касающиеся исследований способов получения пористой структуры и адсорбционных свойств неактивированных и активированных адсорбентов из полимеров фурилового спирта [1—9].

Пористая структура углей, полученных при различных температурах карбонизации, практически недоступна для молекул изопропилового спирта, неопентана, а сорбция углями воды и метилового спирта зависит от конечной температуры карбонизации. Углеродные остатки, полученные карбонизацией фуриловой смолы до температур 400, 600, 800°, имеют очень незначительный объем пор, доступных молекулам бензола [6, 7].

В работах [1, 6, 8, 9] приведены характеристики пористой структуры неактивированных углей из фуриловой смолы, карбонизованных при 700°C: плотность по ртути 1,44 Г/см³, плотность по гелию 1,86 Г/см³, объем открытых пор 0,157 см³/Г, диаметр открытых пор полученных остатков 3,76—4,75 Å.

Как видно из литературы, изучение свойств продуктов карбонизации фурановых смол представляет определенный интерес. В задачу настоящей работы входило термографическое исследование углеродных остатков, полученных карбонизацией некоторых промышленных фурановых смол: фуриловой (ФЛ-2), отверженной в различных условиях, фурило-фенолформальдегидной (ФФ-1С) и фурфуроло-фенолформальдегидной (ФМ-2).

Фуриловая смола отверждалась в присутствии разных количеств кислого катализатора бензосульфокислоты (1 вес.% БСК, 2,5 вес.% БСК, 5 вес.% БСК). Часть образца (2,5 вес.% БСК) облучалась на радиационно-химической установке МРХ-γ-20 мощностью 200 рад/сек до дозы 3,67 10⁸ рад. ФФ-1С и ФМ-2 отверждались без добавления кислого катализатора, фурановые смолы — в условиях, описанных в работе [10].



Термографическое исследование проводилось на дериватографе системы Паулик, Паулик, Эрдей, фирмы МОМ (Венгрия). Прибор этого типа дает возможность при одной навеске синхронно получать четыре кривые, наглядно описывающие процессы, протекающие при нагревании исследуемых веществ.

Проведение эксперимента на одной навеске обеспечивает получение точных данных о термической природе образцов.

Термические кривые записывались при скорости нагревания 10°/мин, эталоном служила окись алюминия. Эксперименты осуществлялись в атмосфере геля.

Термографические данные углеродных адсорбентов из промышленных фурановых смол

Образец	Температурный интервал дегидратации, °С	Температура максимальной скорости дегидратации, °С	Адсорбционная способность по воде, вес. %	E ккал/мол
Смола ФЛ-2 (1% БСК), прокаленная при 1000°	50—360	140	16,9	7,8
Смола ФЛ-2 (2,5% БСК), прокаленная при 1000°	50—370	120	18,2	5,9
Смола ФЛ-2 (5% БСК), прокаленная при 1000°	50—370	130	17,3	7,3
Смола ФЛ-2 (2,5% БСК), облученная, прокаленная при 1000°	50—400	130	15,1	9,2
Смола ФФ-1С, прокаленная при 1000°	50—340	130	17,1	7,8
Смола ФМ-2, прокаленная при 1000°	50—360	140	15,4	9,0
Смола ФЛ-2 (2,5% БСК), прокаленная при 600°	50—250	100	6,7	5,9
Смола ФЛ-2 (2,5% БСК), прокаленная при 800°	50—370	110	16,6	5,9
Смола ФЛ-2 (2,5% БСК), прокаленная при 1000°	50—370	120	18,2	5,9

Образцы нагревались в динамических условиях до различных конечных температур (600, 800, 1000°). При данной температуре образец прокаливался в статических условиях в течение 3 часов, после чего часть навески сразу же подвергалась полному термическому анализу. Другая часть навески помещалась в эксикатор до полного насыщения образца паром воды, после чего и этот образец изучался на дериватографе в динамических условиях.

Термографические кривые адсорбентов наиболее характеристичны в температурном интервале 50—400°, в котором происходит дегидратация образца.

На дериватограммах, снятых сразу после прокаливания образцов, потеря веса в указанном температурном интервале не замечается и соответственно отсутствуют характерные эффекты на кривых нагревания исследуемых образцов.

На всех дериватограммах, снятых после регидратации образцов, отмечаются типичные для цеолитов эффекты в соответствующем интервале температур.

Вода теряется в узком температурном интервале, одноэтапно. Максимумы скорости дегидратации отмечаются приблизительно при температуре 130°.

Из данных термограмм количественно определялся сорбционный объем по воде и температурный интервал процесса дегидратации. Кинетические данные по дегидратации вычислялись по [11].

Экспериментальные данные приведены в таблице. Как видно из таблицы, температура прокаливания существенно влияет на содержание воды в образцах. Образец, прокаленный при 600° , поглощает 6,7% воды, тогда как прокаливание того же образца при 1000° увеличивает эту величину до 18,2%.

Как видно из полученных данных, процентное содержание кислотного катализатора БСК мало влияет на адсорбционную способность исследуемых образцов, а радиационное облучение значительно уменьшает сорбционный объем адсорбентов. Из этих данных видно также, что содержание воды в образцах зависит и от природы полимера (ФЛ-2, ФФ-1С, ФМ-2).

Величины энергии активации процесса дегидратации находятся в интервале 6—9 ккал/мол. Такие значения Е указывают, что дегидратация образцов не затруднена.

Исследуемые адсорбенты сохраняют способность к регидратации до конца эндотермического эффекта.

Как следует из приведенных выше результатов по адсорбционной способности, по кинетическим параметрам дегидратации и остальным термическим показателям, углеродные адсорбенты из промышленных фурановых смол сходны с цеолитами.

Полученные данные представляют интерес для разработки физико-химических основ направленного формирования пористой структуры таких углеродных адсорбентов в процессе карбонизации полимеров.

Академия наук Грузинской ССР

Институт физической и

органической химии

им. П. Г. Меликишвили

(Поступило 30.6.1978)

ვიზივარი გიგა

გ. ვილიამი (საქ. სსრ მეცნ. აკად. აკადემიუსი), ლ. კვანთალიანი,
ლ. გიგავალიძე

სამრეწველო ფურანული ფისტილან მიღებული
ნახშირაფოვანი პლასტიკის თერმოგრაფიული
კვლევა

რეზიუმე

ზოგიერთი სამრეწველო ფურანული ფისტის კარბონიზაციის პროცესში თერმოგრაფიულ თვისებებზე მნიშვნელოვან გავლენას ახდენს გამოსავალი პოლიმერის ბუნება, მეცნ. კატალიზატორის შემცველობა, რაღიაციული დამუშავება და კარბონიზაციის ტემპერატურა.



G. V. TSITSISHVILI, L. K. KVANTALIANI, D. S. CHIPASHVILI

A THERMOGRAPHIC STUDY OF CARBON ADSORBENTS
OBTAINED FROM INDUSTRIAL FURFURAL ALCOHOL RESINS

Summary

It is shown that the thermographic properties of the carbonization products of some industrial furfural alcohol resins are considerably affected by the nature of the initial polymer, the contents of acidic catalyst of solidification radiation treatment and the temperature of carbonization.

ЛІТЕРАТУРА — REFERENCES

1. Т. Г. Плаченов, В. В. Гурьяннов, Л. Б. Севрюков, В. Ф. Ка-рельская. ЖПХ, 44, 10, 1971.
2. Т. Г. Плаченов, В. В. Гурьяннов, Л. Б. Севрюков, Г. А. Мусакин. ЖПХ, 44, 11, 1971, 2498.
3. E. Fitzer, W. Schjfer. Carbon, 8, № 3, 1970, 353.
4. N. O'Zanne, I. Amill, L. Bunnetain. Bull. Soc. Chim. France, 6, 1971, 1976.
5. Н. Накамура, Л. Атлас. Сб. «Графит как высокотемпературный материал». М., 1964, 283.
6. E. Fitzer, W. Schjfer, S. Jemada. Carbon, 7, № 6, 1969, 643.
7. P. L. Walker. Proc. of the 2nd Ind. Carbon and Grafite Conf. London, 1966, 405.
8. J. J. Kipling, I. W. Sherwood, P. V. Shooter, W. R. Tompson. Carbon, 2, № 1, 1964, 315.
9. J. J. Kipling, I. W. Scherwood, P. V. Shooter, W. R. Tompson. Carbon, 2, № 1, 1964, 321.
10. Д. С. Чипашвили, Л. Б. Севрюков, В. Ф. Теплых, Б. П. Плаченов, В. В. Евсеев. Изв. АН ГССР, сер. хим., 3, № 1, 1977, 29.
11. Г. О. Пилоян, О. С. Новикова. Изв. АН ССР, неорг. матер., 2, 7, 1966, 1298.

ХИМИЧЕСКАЯ ТЕХНОЛОГИЯ

П. А. ЯВИЧ

К ВОЗМОЖНОСТИ ПРИМЕНЕНИЯ ИОНИТОВ ДЛЯ ОЧИСТКИ РАСТВОРОВ, СОДЕРЖАЩИХ ТРИТЕРПЕНОВЫЕ САПОНИНЫ

(Представлено академиком Р. И. Агладзе 10.5.1978)

Тriterpenovye saponinnye naходят все большее применение в качестве лекарственных препаратов [1].

На сегодняшний день технология их выделения и очистки основана на методах форэкстракции и экстракции растительного сырья органическими растворителями с последующей очисткой получаемых веществ переосаждением либо перекристаллизацией [2, 3]. Все это связано со значительными потерями целевого продукта и с определенными затруднениями технологического характера.

В подобных случаях обычно весьма целесообразно применение динамических процессов. Однако в общем потоке информации по методам очистки сапонинов литературные данные по ионообменным методам весьма незначительны [4–7].

Целью настоящего исследования явились изучение вопроса применения ионного обмена в технологии получения сапонинов для освобождения их от сопутствующих красящих веществ и подбор оптимальных условий с использованием отечественных ионитов.

В качестве объектов исследования были взяты плоды конского каштана, корни синюхи обыкновенной, первоцвета Воронова и солодки, клубни цикламена, бобы гладичии [2, 3, 8]. Для большинства серий экспериментов из этих растений готовились извлечения 60%-водным раствором изопропилового спирта. pH полученных при этом извлечений составлял 5,8–6,5, а после пропускания их через катионит КУ-2 2,1–2,9. В качестве сорбентов применялись катионы КУ-1, КУ-2, КБ-4 и аниониты АН-1, АН-2Ф, АН-31, АВ-16, АВ-17, ЭДЭ-10П и ИА-1. Загрузка всех ионитов в колонну составляла 3 г, а анионита ИА-1 1–3 г (абс. сух. вес). Диаметр зерна во всех экспериментах, кроме оговоренных, составлял 0,8–1,0 мм. Скорость подачи раствора поддерживалась на уровне 1,5 мл/мин·см². В большинстве экспериментов использовалась H⁺-форма катионитов и OH⁻-форма анионитов. Смолы готовились к работе по стандартной методике. «Тренировка» проводилась в системе «сапонинсодержащее водно-спиртовое извлечение — 5% раствор едкого натра либо соляной кислоты». При получении солевых форм анионита ИА-1 использовалась методика, описанная ранее [9]. Изменение окраски растворов контролировалось фотоколориметрически. Перед изменением оптической плотности сходящего и исходного растворов проводилась их корректировка к одинаковой величине pH.

Сравнение сорбционной активности катионитов показало, что из изученных смол наиболее перспективно применение смолы КУ-2 (H⁺-форма). При этом следует отметить, что на катионитах сорбция красящих веществ происходит лишь в незначительной мере, а получаемый эффект обесцвечивания связан в основном с так называемым «pH-эффектом». При катионном обмене на H⁺-форме ионита удаление 40. „მთავარი“, ტ. 91, № 3, 1978

основного количества катионов минеральных примесей приводит к снижению pH экстракта до 2,1—2,9. Катионит КУ-2, обладая наибольшей емкостью по минеральным компонентам, проявляет в данном случае наилучший «эффект» обесцвечивания. Подобный вывод подтверждается величинами коэффициентов диффузии фенольных соединений [10], данными, полученными при десорбции с катионитов сорбированных фенольных соединений, а также тем, что изменение скорости подачи раствора на колонны, загруженные катионитом КУ-2, в широком диапазоне скоростей (изменение в 5—6 раз) практически не влияет на эффект обесцвечивания.

Сравнение сорбционной активности анионитов (по оптической плотности сходящего раствора, корректированного к определенной величине pH) показало, что из всех изученных смол наиболее реальным представляется применение ионита ИА-1 (OH^- -форма) (рис. 1). Характерным является тот факт, что для всех анионообменных смол, кроме ИА-1, в первых порциях сходящего и не корректированного к определенному pH фильтрата наблюдается не снижение, а повышение оптической плотности экстракта, по сравнению с исходным (рис. 2). Указанное действие связано с тем, что при одновременной сорбции красящих веществ и минеральных ионов из экстракта малая сорбционная емкость большинства анионитов по красящим веществам не может компенсировать явление «pH-эффекта», возникающего в результате обмена минеральных анионов на OH^- -группы смолы.

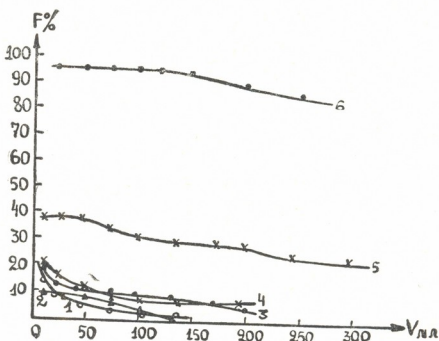


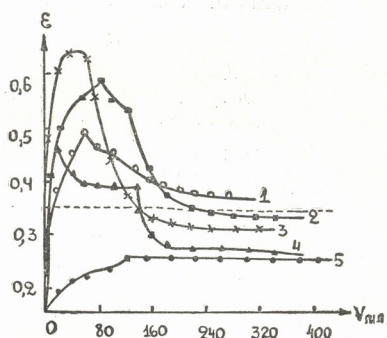
Рис. 1. Степень очистки сапонинсодержащих экстрактов от красящих веществ (экстракт корней первоцвета Воронова) различными анионитами: 1 — АН-31; 2 — ЭДЭ-10П; 3 — АВ-16; 4 — АВ-17; 5 — ИА-1 (1 г); 6 — ИА-1 (3 г)

В следующей серии экспериментов исследовалось влияние как формы анионита, так и варьирования pH экстракта на ход процесса. Обобщая результаты цикла, наиболее целесообразным представляется применение анионита ИА-1 в OH^- -форме при предварительном подкислении экстракта путем фильтрации его через смолу КУ-2 в H^+ -форме, что позволяет как максимально обесцветить экстракт, так и снизить в нем количество минеральных примесей.

Не удается заранее прогнозировать влияние вида лиофильного растворителя и его исходной концентрации на степень очистки, и для

каждого растения эти параметры приходится подбирать эмпирически. Этот факт, по-видимому, связан с разнообразием полифенольных соединений в отдельных растениях. Следует отметить, что в реальном технологическом процессе на стадии ионного обмена не удается регламентировать вышеуказанные параметры также в силу их связи с оптимальным режимом экстракции растительного сырья.

Рис. 2. Выходные кривые при очистке сапонинсодержащих экстрактов, не корректированных к определенному pH (экстракт плодов конского каштана): 1 — ЭДЭ-10П; 2 — АВ-17; 3 — АВ-16; 4 — АН-31; 5 — ИА-1 (1 г)



Исследование динамических характеристик процесса показало, что в случае использования анионита ИА-1 необходимо работать при скорости подачи раствора в колонны на уровне $0,8-1,5 \text{ мл}/\text{мин}\cdot\text{см}^2$ и стремиться к работе на фракциях ионита с размером диаметра частиц $0,25-0,5 \text{ мм}$. Применение же катионита КУ-2 возможно в обычном динамическом режиме подобного рода процессов.

Используя рекомендуемую пару смол «катионит КУ-2—анионит ИА-1» в вышеуказанном режиме, возможно в определенной степени обесцветить водно-спиртовые экстракты, содержащие тритерпеновые сапонины. Из очищенных таким образом извлечений в большинстве случаев удается получить сумму сапонинов белого или серовато-белого цвета.

В процессе работы в контрольных опытах выделялась сумма сапонинов и сравнивалась с аналогичной суммой, полученной по стандартной методике. Судя по данным хроматографического контроля (R_f и величине пятен), в ряде случаев по результатам гидролиза, ИК-спектрам и точке плавления⁽¹⁾, препараты идентичны друг другу. Выход же в случае применения ионного обмена несколько выше [6, 7].

Включение ионитов в схему производства сапонинов является реальным средством ее упрощения, позволяет исключить форэкстракцию сырья органическими растворителями, в ряде случаев избежать процессов переосаждения, связанных с применением этилового эфира, ацетона, и т. д.

Академия наук Грузинской ССР

Институт фармакохимии
им. И. Г. Кутателадзе

(Поступило 25.5.1978)

⁽¹⁾ Данная часть исследований проведена совместно с Г. Е. Деканосидзе, Т. А. Хведелидзе, А. Г. Сарабунович.

3. იავიჩი

ტრიტერპენული საპონინების შემცველი ხსნარების
გაფარენდისათვის იონიტების გამოყენების შესაძლებლობა

რეზიუმე

შესწავლით ტრიტერპენული საპონინების შემცველი სპირტულიანი
ხსნარების გაწმენდის შესაძლებლობა მღებავი ნივთიერებიდან სამამულო წარ-
მოების იონგაცვლითი ფისებით.

ნაჩვენებია, რომ ყველაზე უფრო მიხანეულობია კატიონიტი KU-2(H⁺-
ფორმა) და ანიონიტი UA-1(OH⁻-ფორმა).

გაკეთებულია პერსპექტიული დასკვნა იონგაცვლითი ფისებით წყლიან-
სპირტიანი ხსნარების გასუფთავებისათვის.

CHEMICAL TECHNOLOGY

P. A. YAVICH

THE FEASIBILITY OF USING ION-EXCHANGE RESINS FOR THE
PURIFICATION OF SOLUTIONS CONTAINING TRITERPENOID
SAPONINS

Summary

The paper deals with the question of the purification of aqueous alcoholic solutions containing triterpenoid saponins from dye-stuffs on ion-exchange resins of home production.

It is shown that it is more expedient to use the pair: kationite KU-2 (H⁺-form)-anionite IA-1 (OH⁻-form).

ლიტერატურა — REFERENCES

1. А. И. Яценко, А. Д. Турова. Сб. «Лекарственные растения», т. 14. М., 1971, 185—189.
2. В. И. Спиридовонов, А. П. Прокопенко, Д. Г. Колесников. Мед. пром. СССР, 2, 1963, 17—22.
3. И. А. Муравьев, Н. А. Бурка. Аптечное дело, 5, 1959, 21—24.
4. W. Winkler, R. Patt. Naturwissenschaft 47, № 4, 1964, 83—87.
5. В. Г. Бухаров, Е. П. Щербак, А. П. Бещенков. ХПС, I, 1971, 33—38.
6. П. А. Явич. Республикаанская научная конференция молодых химиков Грузинской ССР. Тез. докл. Тбилиси, 1975, 200—201.
7. П. А. Явич, Е. Г. Деканосидзе, А. Г. Сарабуновиц, П. З. Беридзе. Авт. свид. СССР, № 483982. Бюлл. изобр., № 34, 1974.
8. Е. З. Асоева, А. Ф. Даукша, Е. К. Денисова, Д. А. Муравьев. Уч. зап. Пятигорского фарм. ин-та, 6, № 1. Пятигорск, 1967, 8—10.
9. Т. Т. Суслина, В. Б. Войтович. Сб. «Теория и практика сорбционных процессов», 9. Воронеж, 1974, 19—22.
10. П. А. Явич, А. Г. Сарабуновиц, П. З. Беридзе. Хим.-фарм. ж., 2, 1976, 83—86.



ГЕОЛОГИЯ

Н. Ш. САЛУКВАДЗЕ, Е. А. ЦАГАРЕЛИ

НОВЫЕ ДАННЫЕ ПО СТРАТИГРАФИИ ВЕРХНЕГО ЭОЦЕНА
ЛЕЧХУМИ

(Представлено академиком А. Л. Цагарели 30.5.1978)

Первые сведения о наличии в Лечхуми слоев, относимых в настоящее время к верхнему эоцену, принадлежат С. Е. Симоновичу и его соавторам [1]. Впоследствии верхнеэоценовые образования данного района рассматривались довольно часто [2—10]. Следует заметить, что в работах предыдущих исследователей имеется ряд неточностей в толковании как объема, так и возраста отдельных стратиграфических подразделений. В частности, еще не достигнуто полного единодушия по вопросу о стратиграфическом уровне лиролеписовой свиты. Кроме того, как показали результаты настоящих исследований, трудно согласиться с предположениями некоторых исследований о взаимоотношении агвских слоев («горизонт агви» Б. Ф. Мефферта) с другими стратиграфическими единицами.

В предлагаемой статье дается биостратиграфия верхнеэоценовых образований по фораминиферам. Использование этой важной группы, наряду с новым материалом, полученным при исследовании ряда разрезов, позволяет, на наш взгляд, более правильно решить некоторые дискуссионные вопросы.

Верхний эоцен нами изучался в полосе Чкуми-Усахело. Здесь в ущелье Сарецкела, на правом берегу р. Цхенисцкали непосредственно выше так называемой нижнефораминиферовой свиты среднего эоцена развиты тонкослоистые, плитчатые коричневато-серые и серые мергели с многочисленными чешуями рыб, среди которых был определен *Lyrolepis caucasica* Rom. [4]. В восточном направлении лиролеписовая свита прослеживается в окрестностях с. Агви, Накуралеши, Цхукушери, Гвириши, Усахело и на левом берегу р. Ладжанури. В строении свиты местами (с. Гвириши и др.), наряду с мергелями, принимают участие также редкие прослои карбонатных песчаников с плохо сохранившимися дискоциклинами. Близ с. Цхукушери мергели данной свиты содержат *Globigerina turkestanica* Chal., *Gl. linaperta* Fin. и др. (зона *Globigerina turkestanica*). Мощность колеблется в пределах 15—30 м.

Лиролеписовая свита кверху сменяется слоями так называемой верхнефораминиферовой свиты. К последней в ущелье р. Цхенисцкали относится пачка зеленовато-серых мергелей (около 10 м), над которой после перерыва в обнажении (8—9 м) залегает пачка зеленовато-серых плотных мергелей с прослойками глинистых и песчанистых известняков (10—12 м). Из нижней пачки были определены *Marginulina fragaria* Gümb., *Clavulina cylostomata* (G. et M.), *Dentalina* sp., *Gyroidina soldanii* d'Orb., *Eponides* aff. *umbonatus* (Reuss), *Cibicides du templei* d'Orb., *Epistomina paleogenica* Mjatl., *Glo-*

bigerapsis index (Finl.), *Subbotina eocenica* (Terq.), *Bulimina aksuatica* Moroz., *Bulimina* sp., *Ellipsoglandulina* sp. (зона Globigerapsis index).

Восточнее, между сс. Цхукушери и Гвириши верхнефораминиферовая свита слагается зеленовато-серыми и светло-серыми мергелями и известковистыми мергелями. Местами в верхней части наблюдаются редкие прослои глинистых известняков. Мощность равна 12—15 м. По дороге Гвириши-Цхукушери в нижних ее слоях найден комплекс мелких фораминифер (зона Globigerapsis index): *Nodosaria bacillum* Defr., *Ammodiscus insertus* (d'Orb.), *Valvulina subspinosa* M. Katsch., *Clavulina terterensis* Chal., *Stylostomella* sp., *Syphonodosaria adolphyna* (d'Orb.), *Lenticulina laticostata* (Tutk.), *L. inornata* (d'Orb.), *Gyroidina mardensis* M. katsch., *Anomalina cf. granosa* Hant., *A. umbilicata* (Brotz.), *Brotzenella acuta* (Plumm.) var. *taurica* (Sam.), *Cibicides lobatus* (W. et J.), *C. ungerianus* (d'Orb.), *Planulina costata* (Hant.), *Alabamina meskhethica* M. Katsch., *Pullenia quinqueloba* (Reuss.), *Globigerina corpulenta* Subb., *Gl. bulloides* (d. Orb.), Globigerapsis index (Finlay), *Gl. tropicalis* (B. et B.), *Uvigerina jaksonensis* Cushm., *Bulimina sculptilis* Cushm., *Bulimina ovata* d'Orb.

В восточной части исследованной нами территории, в окрестности с. Усахело верхнефораминиферовая свита, залегающая выше лиролеписовых мергелей, слагается зеленовато-серыми и светло-серыми мергелями. Мощность обнаженной части последних равна 3,2 м.

В западной части района, в окрестностях сс. Чкуми, Ларчвали, Агви и Накуралеши над верхнефораминиферовой свитой залегают агвские слои, представленные светло-серыми и серыми известняками, глинистыми и песчанистыми известняками и редко известковыми песчаниками и мергелями. Породы местами сильно глауконитовые.

На правом берегу р. Цхеницкали в нижней части агвских слоев (мощность 24—25 м) породы нередко переполнены дискоцикличинами, встречаются также представители моллюсков и редко нуммулитов. Здесь были определены *Nummulites incrassatus de la Hargre*, *N. budensis* Hant. N. sp., *Discocyclina sella* (d'Arch.), D. sp.

В верхней части отмеченных слоев (мощность 4—5 м) наблюдаются моллюски, встречающиеся в некоторых слоях особенно обильно. Здесь были обнаружены (зона *Bolivina antegressa*) *Rhizamina* sp., *Ammodiscus incertus* (d'Orb.), *Marginulina fragarina* Gümb., *Lenticulina römeri* (Reuss), *L. laticostata* (Tutk.), *Valvulinaria subspinosa* M. Katsch., *V. angulata* M. Katsch., *Gyroidina soldanii* d'Orb., *G. girardana* (Reuss), *G. mardensis* M. Katsch., *Eponides subumbonatus* Mjatl., *E. umbonatus* (Reuss), *Asterigerina* sp., *Cibicides condoni* (Cush. et Schen.), *Planulina costata* (Hant.), *Globigerina officinalis* Subb., *Bulimina* sp., *Uvigerina proboscidae* Schw., *Bolivina nobilis* Hant., *B. antegressa* Subb.

Сходными литологическими и палеонтологическими признаками охарактеризованы агвские слои и в других разрезах Рачинско-Лечхумской синклиналии. Мощность указанных слоев на участке Чкуми-Ларчвали колеблется в пределах 20—30 м. К востоку их мощность постепенно уменьшается, и восточнее с. Накуралеши они не встречаются.

В полосе Чкуми-Накуралеши на агвских слоях, а в полосе Цхукушери-Усахело на верхнефораминиферовой свите лежит майкоп-

ская серия, представленная темно-серыми и зеленовато-серыми уконитовыми песчаниками и песчанистыми глинами с желваками фосфоритов (мощность 0,6—7,0 м), переходящими вверх в темно-серые и коричневато-серые глины с остатками рыб.

Учитывая приведенный выше материал, следует заключить, что в Лечхуми лиролеписовые мергели развиты только в низах верхнего эоцена (зона *Globigerina turkmenica*). Агвские слои и нижележащие зеленовато-серые мергели соответствуют верхнеэоценовым зонам *Bolivina antegressa* и *Globigerapsis index*. Надо отметить, что в соседних районах Западной Грузии (Мегрелия, полоса Чхари-Аджамети и др.) вся эта часть верхнего эоцена (т. е. между лирописовой свитой и майкопской серией) слагается мергелями верхнефотаминиферовой свиты. Отсюда напрашивается вывод, что агвские слои замещают лишь верхнюю часть верхнефотаминиферовой свиты.

Академия наук Грузинской ССР

Геологический институт

им. А. И. Джанелидзе

(Поступило 2.6.1978)

გვოჭობია

ნ. სალუქვაძე, ე. ცაგარელი

ახალი მონაცემები ღვაჩუმის ზედა ეოცენის
სტრატიგრაფიის შესახებ

რეზიუმე

ახალი სტრატიგრაფიული და პალეონტოლოგიური მონაცემებით იჩვევა,
რომ ლეჩხუმში (*ჩქუმი-უსახელოს ზოლი*) ლიროლებისიანი წყება (*Globigerina turkmenica*-ს ზონა) მთლიანად განლაგებულია ზედა ეოცენის ქვედა ნა-
წილში. ზედა ეოცენის ზედა ნაწილი აგებულია ზედა ფორმინიფერებიანი მერ-
გელებით და აღვეს შრეებით (*Globigerapsis index*-ის და *Bolivina antegressa*-ს ზონები).

GEOLOGY

N. Sh. SALUKVADZE, E. A. TSAGARELI

A CONTRIBUTION TO THE STRATIGRAPHY OF THE UPPER EOCENE OF LECHKHUMI

Summary

New stratigraphical and micropaleontological data reveal that in Lechkhumi (Chkumi-Usakhelo strip) the three known members of the Upper Eocene: Lyrolepis suite, Upper foraminiferal suite and Aghvi strata, correspond respectively to the *Globigerina turkmenica*, *Globigerapsis index* and *Bolivina antegressa* zones.

ლიტერატუՐა — REFERENCES

1. С. Е. Симонович, А. Ф. Бацевич, А. И. Сорокин. Материалы для геологии Кавказа, сер. I, кн. 5. Петербург, 1875.
2. Б. Ф. Мефферт. Материалы по общей и прикладной геологии, вып. 140. Л., 1930.
3. А. И. Джанелидзе. Геологические наблюдения в Окрибе и в смежных частях Рачи и Лечхуми. Тбилиси, 1940.
4. И. В. Качарава. Труды ГИН АН ГССР, сер. геол., т. II (VII), 1944.
5. Е. К. Вахания. Труды ГПИ, горно-геол. сб., № 3 (8), 1955.
6. Е. К. Вахания. Труды ГПИ, № 3 (44), 1956.
7. В. Д. Эпигашвили. Вопросы геологии Грузии (к XXII сессии МГК). Тбилиси, 1964.
8. В. Д. Эпигашвили. Изв. Геол. о-ва Грузии, т. IV, вып. 2, 1965.
9. И. В. Качарава. Геология СССР, т. X, Грузинская ССР. М., 1964.
10. А. Г. Лалиев. Майкопская серия Грузии. М., 1964.

ПЕТРОЛОГИЯ

М. Т. ТКЕМАЛАДЗЕ

ФОРМАЦИОННАЯ ПРИНАДЛЕЖНОСТЬ МАГМАТИЧЕСКИХ
ОБРАЗОВАНИЙ РАЙОНА МАДНЕУЛЬСКОГО, КВЕМО-
БОЛНИССКОГО И ЦИТЕЛСОПЕЛЬСКОГО МЕСТОРОЖДЕНИЙ

(Представлено членом-корреспондентом Академии Г. М. Заридзе 6.7.1978)

В районе медных и свинцово-цинковых месторождений Маднедульской группы развиты магматические породы, которые по геологическому положению и возрасту объединяются в три группы [1]:

Первая группа — пирокластолиты и лавы пироксеновых порфиритов, туфобрекции и туфоловы плагиоклаз-порфиритового, кварц-порфиритового и кварц-альбитофирового состава (эффузивная фация); силлы и мелкие штоки пироксеновых порфиритов, диабаз-порфиритов, кварцевых порфиритов (субвулканическая фация); некки разных пород и эруптивные брекции (жерловая фация); силлы, дайки габброидов (гипабиссальная фация); дайки и тела неправильной формы альбитофиров, кварцевых альбитофиров. Перечисленные породы подвергнуты интенсивной альбитизации, деформированы и раздроблены в связи с досреднеэоценовыми орогеническими движениями; их возраст верхнемеловой. Вторая группа — дайки и лакколиты роговообманковых и роговообманко-биотитовых дацитов (гипабиссальная фация) и липарито-дациты субвулканической фации. Дациты в меловой и досреднеэоценовой складчатости не участвуют; они образуют самостоятельные пояса с дайками и лакколитами и приурочены к зонам расколов в фундаменте; новые геологические данные определяют их среднеэоценовый возраст. Третья группа — лавовые покровы верхнеплиоцен-четвертичных долеритов (Цителсопели), стекающих от Кечутского хребта в ущелье р. Машавера. Они залегают полого, несогласно перекрывая породы верхнего мела и палеогена.

Цель данной статьи — выяснение формационной принадлежности магматических образований, распространенных в районе рудных месторождений: Цителсопельского, Маднедульского и Квемо-Болниского.

С некоторым видоизменением формул для исследований петрохимических особенностей гранитоидов [2] нами построены вариационные диаграммы при фиксированных значениях основности ($H = R/Al + R \times 100\%$) по коэффициентам общей щелочности ($A = R_2/Al + R_2 \times 100\%$), кальциевости ($C = Ca/R + 2,2Fe^{+3} - Mn \times 100\%$) (рис. 1), калиевости ($K = K/K + Na \times 100\%$), железистости ($Fe = Fe/Fe + Mg \times 100\%$), кремнистости ($Si/Al + Si \times 100\%$), а также по коэффициенту кислотности ($\alpha = -2b/a + 3$) и отношению $R_2O:RO$ [3]. В формулы внесены атомные количества катионов: Al, Si, Fe^{+2} , Fe^{+3} , Ca, Mg, Mn, Na, K; в формуле железистости учитывалось и трехвалентное железо.

Для построения вариационных диаграмм использованы химические анализы: а) интрузивных пород и их эффузивных эквивалентов [4] (образцы 1—12); б) интрузивных и эффузивных пород, участвующих в строении Болниского рудного района и соседних геотектонических зон (образцы 13—24); в) гипабиссальных и эффузивных пород, развитых в пределах месторождений (образцы 24—37).

При рассмотрении линейных моделей (рис. 1 и др.) установлены



вается, что вариационные кривые петрохимических характеристик по усредненным значениям химанализов интрузивных пород различных районов [4] и интрузивных пород Болниского рудного района являются в общем одинаковыми. По значению основности интрузивные породы можно разделить на девять групп. Значения Н менее 30% имеют граниты (I—IV группы). Гранодиориты имеют значение Н от 30 до 40%, а андезито-дациты — от 40 до 60%. Горные породы с величиной Н более 60% соответствуют габброидам. Интрузивные породы Болниского рудного района характеризуются более низкими значениями кальциевости и общей щелочности, в связи с чем соответствующие им кривые кальциевости и щелочности на диаграммах расположены ниже (рис. 1).

Группировка пород по Н и по значениям кальциевости, указывающая на кальциевость плагиоклаза, позволяет выделить следующие магматические формации: гранитоидную ($H=14-40\%$, $C=15-51\%$), андезито-дацитовую ($H=40-56\%$, $C=36-50\%$), липарито-дацитовую ($H=30-45\%$, $C=42-59\%$) и габброидную ($H=60\%$ и выше, $C=8-38\%$). Гранитоидная формация представляет совокупность гранитов, сиенитов и разновидностей, переходных к лацитам. Липарито-дациты расположены несколько в стороне от линейных моделей, что говорит об их эфузивном генезисе. Диориты, по Р. О. Дели [4], занимают переходное от андезитов к габброидам положение (рис. 1).

Подобная группировка пород наблюдается и по вариационным кривым общей щелочности, кремнекислотности и отношению $R_2O:RO$, что свидетельствует об их причинном характере (гранитоиды — $A=40-50$, $\alpha=2,7-4,8$, $R_2O:RO=1,4-4,7$; андезито-дациты — $A=25-38$, $\alpha=2,3-3,52$; $R_2O:RO=0,36-0,86$; липарито-дациты — $A=17-44$, $\alpha=3-4,52$, $R_2O:RO=0,35-0,9$; габброиды — $A=19-37$, $\alpha=1,5-1,9$, $R_2O:RO=0,1-0,34$).

Р. О. Дели рассматривает дациты и андезиты в качестве эфузивных аналогов диоритов и кварцевых диоритов. Однако расположение точек, соответствующих андезито-дацитам, непосредственно на вариационных линиях справа от гранодиоритов, совместное нахождение андезитов и дацитов в определенных геотектонических структурах указывают на самостоятельность некоторых андезито-дацитов, позволяющую полагать их мантийное происхождение.

В Болниском рудном районе и в пределах Маднеульской группы месторождений меди и свинцово-цинковых руд широко развиты альбитофиры и кварцевые альбитофиры [5], имеющие, по мнению некоторых геологов, эфузивное происхождение, хотя часть исследователей считает, что альбит в этих породах является вторичным минералом [1, 6].

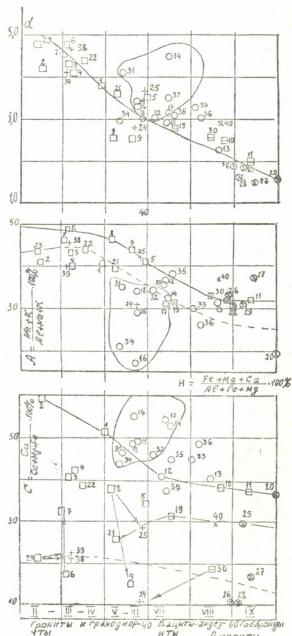
Г. С. Дзоценидзе считал, что альбитофиры и кварцевые альбитофиры первоначально имели дацитовый состав [6], а Г. М. Заридзе материнскими породами альбитофиров и кварцевых альбитофиров считает плагиоклазовые порфиры, кварцевые порфиры и порфиры, содержащие, наряду с основными плагиоклазами, пироксен, преобразованный впоследствии в роговую обманку [1].

Вариационные кривые (рис. 1 и др.) показывают, что исходными породами кварцевых альбитофиров Болниского района являются эфузивные липаритовые порфиры либо кварцевые кератофиры, представляющие собой эфузивные аналоги кремнекислотных и щелочных гранитов. Альбитофиры, которые встречаются в виде дайковых тел и пластообразных залежей в переслаивании с вулканогенны-

ми породами кислого и среднего состава, видимо, образованы в результате альбитизации плагиоклазовых порфиритов, кварцевых порфириров и кварцевых диоритов. В частности, некоторые пластовые тела альбитофириров Маднеульского месторождения представляют альбитизированные кварцевые диориты на следующем основании: 1) сходство минерального состава вкрапленников в альбитофириах и кварцевых диоритах; 2) геологическое положение — залегание под альбитофирами силловых тел кварцевых диоритов; 3) диаграмма числовых характеристик, по А. Н. Заварницкому, — расположение точек, соответствующих альбитофирам в средней полосе, наряду с точками кварцевых диоритов, и, наконец, 4) одинаковый показатель калиевости альбитофириров и кварцевых диоритов.

Рис. 1. Вариационные линии соответствуют: линия с короткими пунктирами — изверженным породам района месторождений меди и свинцово-цинковых руд, линия с длинными пунктирами — Храмского кристаллического массива, сплошная линия — магматическим породам различных районов; квадраты — анализам гранитов, гранодиоритов и их эффузивов; кружки — андезито-дацитов и их эффузивов; кружок с диаметром — анализам диоритов, а кружком со знаком умножения — габброидов и их эффузивов; знак плюс — анализам альбитофириров и кварцевых альбитофириров Болниссского района. Числовые надписи к породам: 1 — гранит всех периодов, 2 — липарит, 3 — риолит, по разным авторам, 4 — кварцевый порфир, 5 — щелочноземельный гранит, 6 — щелочный гранит, 7 — кварцевый кератофир, 8 — средний щелочный сиенит, 9 — кератофир, 10 — кварцевый диорит, 11 — диорит, 12 — дацит, 13 — все андезиты (анализы от 1 до 13 взяты у Р. О. Дели), 14 — липарит, эоцен, Триалетский хребет, Б. П. Беликов, 15 — липарито-дацит, в. миоцен-н. плиоцен, Самсарский хребет, Д. Г. Джигаури, 16 — липарито-дацит, гордзская свита, Самсарский хребет, Н. И. Схиртладзе, 17 — дацит, лавовый покров, в. миоцен-н. плиоцен, Кечутский хребет, Н. И. Схиртладзе, 18 — дацит, лавовый покров, в. миоцен-н. плиоцен, Болнисская зона, Н. И. Схиртладзе, 19 — кварцевый диорит, н. палеозой, Храмский массив, Б. П. Беликов, 20, 21 — габбро-порфирит и гранодиорит, в. палеозой, Храмский массив, Г. М. Заридзе, 22 — гранит, палеозой, Е. К. Устинов, 23 — гранит, бат, Локский массив, Р. И. Машвили, 24 — альбитофири, Маднеули, 25 — кварцевый альбитофири, Квемо-Болниси, 26 — порфириты-мандельштейны, Квемо-Болниси; 27, 28 — авгитовые и авгит плагиоклазовые порфириты, Квемо-Болниси, 29 — пироксеновый порфирит, Квемо-Болниси, 30 — кварцевый диорит, Маднеули, 31, 32 — роговообманковый дацит, Баличи, 33, 34, 35, 37 — роговообманковые дациты соответственно из даек 1, 2, 3, 4, 5 и скв. 114, Квемо-Болниси (анализы от 24 до 37 взяты по нашим данным), 38, 39, 40 — кварцевый альбитофири, альбитофири и пироксеновый кварцевый порфирит, Болнисский район, О. З. Дудаури

Альбитофиры и кварцевые альбитофиры не следует относить к липарито-дацитам, так как они резко отличаются от последних по меланократовости и отношению $R_2O:RO$.



Граниты и гранодиориты дациты-андезиты-базальты

Диориты



Связь кварцевых кератофиров (альбитофиры), авгитовых и диабазовых порфиритов с турон-сантонаским тектономагматическим циклом позволяет объединить эти породы в единую кварц-диабаз-кератофировую формацию.

Петрохимическое сходство (рис. 1) позволяет нам в районе Маднеульской группы месторождений различить следующие формации: 1) кварц-диабаз-кератофировую; 2) аdezito-дацитовую; 3) липарито-дацитовую и 4) долеритовую ($H=70$, $C=34$, $A=27$, $\alpha=1,6$, $R_2O:RO=0,17$; Цителсопели).

Горные породы кварц-диабаз-кератофировой формации являются явно дорудными, так как они повсеместно нарушаются и смешаются рудными структурами [7]. В контакте дацитов и вмещающих их пород часто образуются рудные столбы, что, наряду с другими фактами, говорит о наличии тесной временной и структурной связи между дацитами и оруднением.

Академия наук Грузинской ССР

Институт горной механики

(Поступило 7.7.1978)

105600000000

ვ. ტკემალაძე

მადნეულის, ჰვევამ ბოლნისისა და ზითელი სოფლის

საგადოების რაიონის მაგმურ ზარმონაქმნისა

ვორაპავილი დანაწილება

რეზიუმე

მაგმური ქანების პეტროქიმიური მახასიათებლებისა და H , A , C , S , K , Fe , α , $R_2O:RO$ -ის მიხედვით აგებული გარიციული მრუდების ანალიზის საფუძვლები წითელი სოფლის, ქვემო ბოლნისის და მაღნეულის სპილენისა და ტყვია-თუთიის საბადოთა რაიონში გამოყოფილია კვარციან-დიაბაზ-კერატოფირული, ანდეზიტ-დაციტური, ლიპარიტ-დაციტური და ღოლერიტული ფორმაციები.

PETROLOGY

М. Т. ТКЕМЛАДЗЕ

ON THE MAGMATIC ROCK FORMATIONS IN THE AREA OF MADNEULI, LOWER BOLNISI AND TSITELI SOPELI DEPOSITS

Summary

An analysis of variation curves built according to the petrochemical characteristics of magmatic rocks as well as of H , A , C , S , K , Fe , α , $R_2O:RO$ has revealed diabase-keratophyre, andesite-dacite, liparite-dacite and dolerite formations in the area of copper and lead-zinc deposits of Tsiteli Sopeli, Lower Bolnisi and Madneuli.

ლიტერატურა — REFERENCES

- Г. М. Заридзе. Петрография магматических и метаморфических пород Грузии. М., 1961.
- Петрология, петрохимия магматических и метаморфических пород Дальнего Востока. Владивосток, 1975.
- Г. М. Саранчина, Н. Ф. Шинкарев. Петрография магматических и метаморфических пород. Л., 1967.
- Р. О. Дели. Изверженные породы и глубины земли. Л., 1936.
- О. З. Дудаури. Субвулканические интрузии Болниского района. Тбилиси, 1961.
- Г. С. Дзоценидзе. Демиоценовый эфузивный вулканализм Грузии. Тбилиси, 1948.
- М. Т. Ткемаладзе. Сообщения АН ГССР, 67, № 3, 1972.

ГЕОХИМИЯ

Г. Г. ДЖИНЧАРАДЗЕ, М. Д. СЕПЕРТЕЛАДЗЕ

ИССЛЕДОВАНИЕ СУЛЬФИДНОГО РАВНОВЕСИЯ В ГАГРСКОЙ МИНЕРАЛЬНОЙ ВОДЕ

(Представлено членом-корреспондентом Академии И. М. Буачидзе 29.6.1978)

В комплексе вопросов, входящих в понятие физико-химического исследования вод, значительную роль играет изучение равновесных систем в водах, таких, как карбонатно-бикарбонатная система, окислительно-восстановительные системы и др. Понятно, что в этом плане сульфидные (сероводородные) минеральные воды представляют интересный природный объект для изучения сульфидного равновесия.

Изучение сульфидного равновесия в природных водах в разное время отражено в ряде работ [1—3], однако минеральные воды Грузии в этом отношении на современном уровне и в полном объеме с точки зрения определяемых и рассчитываемых ингредиентов не исследовались.

Нами сделана попытка оценить состояние сульфидного равновесия в гагрской минеральной воде. Минеральная вода Гагра относится к обширной и разнообразной группе сероводородных вод, генетически связанных с толщами осадочных пород морского генезиса [4].

Для расчета сульфидного равновесия экспериментально определяются величины редокспотенциала (Eh), pH , ΣH_2S , $S_2O_3^{2-}$, SO_3^{2-} , а также концентрации других веществ, которые могут образовывать окислительно-восстановительные системы — O_2 , Fe^{2+} , SO_4^{2-} .

С использованием полученных экспериментальным путем и измеренных у выходов минеральной воды данных (перечисленные выше, а также температура воды) рассчитываются содержание и активность сероводорода, гидросульфид-иона, сульфид-иона и значение Eh , исходя из выбора определенной потенциалопределяющей системы серы.

Представляет интерес также расчет теоретически возможного содержания Fe^{2+} при данной концентрации H_2S , значения Eh по иному варианту потенциалопределяющей системы, а также насыщенности воды сульфатом кальция.

Содержание и активность отдельных форм серы, а также значение Eh рассчитываются по формулам

$$[H_2S] \text{, моль/л} = \Sigma H_2S \frac{a_{H^+}^2}{a_{H^+}^2 + a_{H^+} K'_1},$$

$$[HS^-] \text{, моль/л} = \Sigma H_2S \frac{a_{H^+} K'_1}{a_{H^+}^2 + a_{H^+} K'_1}, \quad a_{HS^-} = \Sigma H_2S \frac{a_{H^+} K_1}{a_{H^+}^2 + a_{H^+} K_1},$$

$$[\text{S}^{2-}], \text{ моль/л} = \Sigma \text{H}_2\text{S} \frac{\text{K}_1 \text{K}'_1}{\text{a}_{\text{H}^+} + \text{a}_{\text{H}^+} \text{K}'_1}, \quad \text{a}_{\text{S}^{2-}} = \Sigma \text{H}_2\text{S} \frac{\text{K}_1 \text{K}_2}{\text{a}_{\text{H}^+}^2 + \text{a}_{\text{H}^+} \text{K}'_1},$$

$$\Sigma \text{H}_2\text{S}, \text{ моль/л} = \frac{\Sigma \text{H}_2\text{S}_{\text{изм}}, \text{ г/л}}{\Gamma M_{\text{H}_2\text{S}}}, \quad \text{a}_{\text{H}^+} = [\text{H}^+]; \quad \lg [\text{H}^+] = -\text{pH}$$

$\text{pK}'_1 = \text{pK}_1 - 0,4 \sqrt{\mu}$, где pK_1 по таблице, приведенной в [2], для данной температуры,

$$\mu = (0,5 E_{\text{Na}^+} + E_{\text{Ca}} + E_{\text{Mg}} + 0,5 E_{\text{Cl}^-} + E_{\text{SO}_4^{2-}} + 0,5 E_{\text{HCO}_3^-}) \cdot 10^{-3}, \text{ где } E - \text{концентрация ионов, мг-экв/л},$$

$$\text{pK}'_2 = \text{pK}_2 - 1,5 \sqrt{\mu}, \text{ где } \text{pK}_2 \text{ по таблице, приведенной в [2], для данной температуры,}$$

K_1 и K_2 по таблице из [2] для данной температуры,

$$Eh (\text{исходя из системы } \text{S}^{2-} \rightleftharpoons \text{S}^0 + 2e) = E^0_{\text{S}^{2-}/\text{S}^0} - 9,92 \cdot 10^{-5}(t + 273) \lg a_{\text{S}^{2-}},$$

где $E^0_{\text{S}^{2-}/\text{S}^0} = -0,475 \text{ в.}$

$$Eh (\text{исходя из системы } \text{S}^{2-} + 4\text{H}_2\text{O} \rightleftharpoons \text{SO}_4^{2-} + 8\text{H}^+ + 8e) = E^0_{\text{S}^{2-}/\text{SO}_4^{2-}} +$$

$$+ \frac{RT \cdot 2,303}{8F} \lg \frac{a_{\text{SO}_4^{2-}}}{a_{\text{S}^{2-}}} - RT \cdot 2,303 \text{ pH, где } E^0_{\text{S}^{2-}/\text{SO}_4^{2-}} = -0,148 \text{ в.}$$

Концентрация Fe^{2+} , которая может находиться в равновесии с данным содержанием $\Sigma \text{H}_2\text{S}$, определяется по формуле

$$\text{pFe}^{2+} = \text{pPFeS} - \text{pK}_1 - \text{pK}_2 + 2\text{pH} - \text{pH}_2\text{S}.$$

Здесь и выше для расчетов привлекались сведения о первой и второй термодинамических и кажущихся константах диссоциации сероводородной кислоты с учетом их зависимости от температуры исследуемого раствора, а также его ионной силы.

В таблице сведены полученные (экспериментальные и расчетные) данные по исследованию сульфидного равновесия в гагрской воде.

Найденное непосредственным измерением низкое (отрицательное) значение Eh свидетельствует о восстановительных условиях, сохраняющихся и при выходе воды на поверхность. Этому способствует, по-видимому, и высокая температура воды, и большой дебит ее. Разница между экспериментально найденным и вычисленным значением Eh составляет 20 и 22 mv (для буровых № 1 и 2), причем вычисленные значения более низки. Эта разница может означать, во-первых, несовершенство методики и оборудования, в частности платиновых электродов. Во-вторых, она может быть объяснена некоторой условностью принятого значения нормального потенциала системы $\text{S}^{2-} \rightleftharpoons \text{S}^0 + 2e$. В-третьих, это различие должно указывать на некоторое отклонение сульфидной системы от равновесных условий при выходе воды на поверхность. В то же время гораздо большая разница между Eh экспериментальным и вычисленным для системы $\text{H}_2\text{S} - \text{SO}_4^{2-}$ (62 и 68 mv) подтверждает, по-видимому, мнение о том, что именно системой $\text{S}^{2-} \rightleftharpoons \text{S}^0 + 2e$, а не $\text{S}^{2-} + 4\text{H}_2\text{O} \rightleftharpoons \text{SO}_4^{2-} + 8\text{H}^+ + 8e$ [2], описывается окислительно-восстановительное состояние сероводородных вод.



Экспериментально полученные данные по содержанию Fe^{2+} гораздо выше полученной расчетом величины, хотя сама по себе концентрация Fe^{2+} , аналитически определенная в воде, мала. Это, вероятно, говорит о высоких буферных свойствах минеральной воды и, в частности, системы $\text{Fe}^{2+}-\text{H}_2\text{S}$, т. е. в реальных условиях эти два компонента могут сосуществовать в гораздо больших концентрациях, нежели это предусматривается теорией.

Результаты изучения сульфидного равновесия в гагрской минеральной воде

Показатели	Бурозая № 1	Буровая № 2
Формула химического состава воды (Курлова)	$\text{SO}_4^{2-} 80 \text{ Cl} 11$ $M_{1,9}$ Ca 56 Mg 33	$\text{SO}_4^{2-} 81 \text{ Cl} 11$ $M_{2,7}$ Ca 61 Mg 29
Температура, °С	46,5	41,0
pH	6,95	7,40
$\Sigma \text{H}_2\text{S}$, мг/л	25,5	32,2
SO_4^{2-} , мг/л	1121,0	1609,0
$\text{S}_2\text{O}_3^{2-}$, мг/л	0,7	1,7
SO_3^{2-} , мг/л	0,2	0,3
$[\text{HS}]$, моль/л	$1,86 \cdot 10^{-4}$	$1,05 \cdot 10^{-4}$
$[\text{HS}^-]$, моль/л	$6,09 \cdot 10^{-4}$	$9,00 \cdot 10^{-4}$
a_{HS}^- , моль/л	$4,99 \cdot 10^{-4}$	$6,88 \cdot 10^{-4}$
$[\text{S}^2-]$, моль/л	$3,14 \cdot 10^{-9}$	$11,35 \cdot 10^{-9}$
a_{S^2-} , моль/л	$1,45 \cdot 10^{-9}$	$4,43 \cdot 10^{-9}$
Eh эксп., v	-0,175	-0,193
Eh вычисл. по системе $\text{S}^2- \rightleftharpoons \text{S}^0 + 2e$, v	-0,195	-0,215
ΔEh , mv	20,0	22,0
Eh вычисл. по системе $\text{S}^2- + 4\text{H}_2\text{O} \rightleftharpoons \text{SO}_4^{2-} + 8\text{H}^+ + 8e$, v	-0,237	-0,261
ΔEh , mv	62,0	68,0
Fe^{2+} эксп., мг/л	$7,70 \cdot 10^{-2}$	
Fe^{2+} равновесн. (расч. вел.), мг/л	$5,99 \cdot 10^{-5}$	
$[\text{Ca}^{2+}][\text{SO}_4^{2-}]$ эксп.	$6,4 \cdot 10^{-5}$	
$\text{PP}_{\text{CaSO}_4}$ (табл.)	$2,5 \cdot 10^{-5}$	

С подобным же явлением приходится встречаться и при расчетах на пересыщенность природных вод по отношению к карбонату и сульфату кальция.

В воде Гагра подсчет произведения концентраций Ca^{2+} и эквивалентного ему SO_4^{2-} дал величину, которая больше, хотя и "ненамного", значения $\text{PP}_{\text{CaSO}_4}$, т. е. вода Гагра в небольшой степени пересыщена по отношению к сульфату кальция.

Таким образом, принятая схема изучения сульфидного равновесия позволила получить ряд новых интересных данных о физико-химической природе гагрской минеральной воды. Понятно, что для обобщений гидрогеохимического характера необходимо провести такое комплексное изучение на других месторождениях сероводородных вод Грузии. Это тем более интересно, если учесть, что сероводородные воды республики имеют различный ионно-солевой состав и физико-химическую природу. Еще более интересно провести исследование



сульфидного равновесия одновременно и параллельно с изучением карбонатной системы.

Научно-исследовательский институт
курортологии и физиотерапии
МЗ ГССР

(Поступило 30.6.1978)

გეოქიმია

გ. ჯინჩარაძე, მ. სეპერტელაძე

სულფიდური ზონას შორის გამოკვლევა
გაგრის მინერალურ წყალში

რეზიუმე

სულფიდური წონას შორის შესასწავლად გაგრის თერმულ გოგირდ-წყალბადიან (სულფიდურ) მინერალურ წყალში ექსპერიმენტულად განისაზღვრა Eh, pH, ΣH_2S , $S_2O_3^{2-}$, SO_3^{2-} , O_2 , Fe^{2+} , SO_4^{2-} . მიღებული მონაცემების გამოყენებით გაანგარიშებულია გოგირდწყალბადის, ჰიდროსულფიდ-იონის, სულფიდ-იონის შემცველობა და აქტივობა, აგრეთვე Eh-ის მნიშვნელობა.

GEOCHEMISTRY

G. G. JINCHARADZE, M. D. SEPERTELADZE

STUDY OF SULPHIDE EQUILIBRIUM IN THE GAGRA MINERAL WATER

Summary

An experimental determination of Eh, pH, ΣH_2S , $S_2O_3^{2-}$, SO_3^{2-} , O_2 , Fe^{2+} , SO_4^{2-} was made with a view to studying the sulphide equilibrium in the Gagra thermal sulphide water. The data obtained, as well as the temperature of the water, were used in calculating the content and activity of sulphoxide- and sulphide ions and Eh values, proceeding from the selected potential-determining system of sulphur. The measured and calculated values of Eh were found to be the closest to each other when $S^{2-} \rightleftharpoons S^0 + 2e$ is assumed to be the potential-determining system.

ლიტერატურა — ЛИТЕРАТУРА — REFERENCES

1. В. М. Левченко. Сб. «Физико-химия минеральных вод и лечебных грязей». М., 1937, 38—45.
2. С. С. Заводнов. Карбонатное и сульфидное равновесие в минеральных водах. Л., 1965.
3. Б. А. Скопинцев. Формирование современного химического состава вод Черного моря. Л., 1975.
4. В. Г. Джалиашвили, Т. С. Мелива, Т. Е. Чичуа. Труды НИИ курортологии и физиотерапии ГССР, 29, 1967, 209.



СТРОИТЕЛЬНАЯ МЕХАНИКА

Ли. А. ЛОСАБЕРИДЗЕ, Д. П. ГИОРГАДЗЕ

МАТРИЧНАЯ ФОРМА РАСЧЕТА АРОЧНЫХ ПЛОТИН МЕТОДОМ КОНЕЧНЫХ ПЕРЕКРЕСТНЫХ ПОЛОС

(Представлено академиком К. С. Завриевым 5.6.1978)

Метод конечных перекрестных полос расчета арочных плотин [1] с использованием схемы взаимопересекающих арок и консолей дает систему линейных алгебраических уравнений неразрывности перемещений в контактных точках выделенных конечных элементов. В произвольной узловой точке m расчетной схемы уравнение имеет следующий вид (рис. 1):

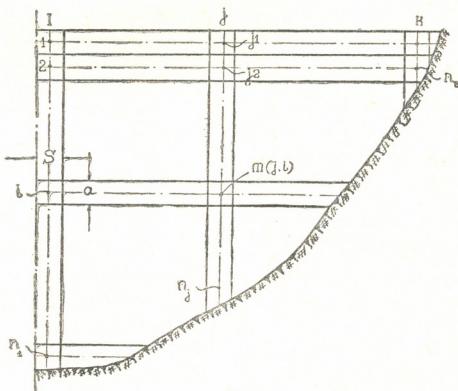


Рис. 1

по тангенциальным перемещениям

$$E_b (\delta_{m,j1}^{tt} z_{j1} + \dots + \delta_{m,m}^{tt} z_m + \dots + \delta_{m,nf}^{tt}) = E_b [-(P_i^x - x_i) u_{m,t}^r + \dots - (P_m^x - x_m) u_{m,m}^r + \dots + (P_i^z - z_i) u_{m,t}^t + \dots + (P_m^z - z_m) u_{m,m}^t + \dots + (\bar{M}_i^y - M_i^y) u_{m,t}^y + \dots + (\bar{M}_m^y - M_m^y) u_{m,m}^y + \dots]; \quad (1)$$

по угловым перемещениям в плоскости xz

$$E_b (\delta_{m,j1}^{yy} M_{j1}^y + \dots + \delta_{m,m}^{yy} M_m^y + \dots + \delta_{m,nf}^{yy} M_{nf}^y) = E_b [-(P_i^x - x_i) \gamma_{m,t}^r + \dots - (P_m^x - x_m) \gamma_{m,m}^r + \dots + (P_i^z - z_i) \gamma_{m,t}^t + \dots + (P_m^z - z_m) \gamma_{m,m}^t + \dots + (\bar{M}_i^y - M_i^y) \gamma_{m,t}^y + \dots + (\bar{M}_m^y - M_m^y) \gamma_{m,m}^y + \dots]; \quad (2)$$

по радиальным перемещениям

$$\begin{aligned}
 E_b (\delta_{m,j_1}^{rr} x_{j_1} + \cdots + \delta_{m,m}^{rr} x_m + \cdots + \delta_{m,nj}^{rr} x_{nj} + \delta_{m,j_1}^{rg} y_{j_1} + \cdots + \\
 + \delta_{m,m}^{rg} y_m + \cdots + \delta_{m,nj}^{rg} y_{nj} + \delta_{m,j_1}^{ra} M_{j_1}^z + \cdots + \delta_{m,m}^{ra} M_m^z + \cdots + \\
 + \delta_{m,nj}^{ra} M_{nj}^z) = E_b [(P_i^x - x_i) v_{m,i}^r + \cdots + (P_m^x - x_m) v_{m,m}^r + \cdots - \\
 - (P_i^z - z_i) v_{m,i}^t + \cdots - (P_m^z - z_m) v_{m,m}^t + \cdots - (\bar{M}_i^y - M_i^y) v_{m,i}^y + \cdots - \\
 - (\bar{M}_m^y - M_m^y) v_{m,m}^y + \cdots];
 \end{aligned} \quad (3)$$

по угловым перемещениям в плоскости xy

$$\begin{aligned}
 E_b (\delta_{m,j_1}^{ar} x_{j_1} + \cdots + \delta_{m,m}^{ar} x_m + \cdots + \delta_{m,nj}^{ar} x_{nj} + \cdots + \delta_{m,j_1}^{ag} y_{j_1} + \cdots + \\
 + \delta_{m,m}^{ag} y_m + \cdots + \delta_{m,nj}^{ag} y_{nj} + \cdots + \delta_{m,j_1}^{aa} M_{j_1}^z + \cdots + \delta_{m,m}^{aa} M_m^z + \cdots + \\
 + \delta_{m,nj}^{aa} M_{nj}^z) = E_b [-(\bar{M}_i^z - M_i^z) \alpha_{m,i} + \cdots - (\bar{M}_m^z - M_m^z) \alpha_{m,m} + \cdots];
 \end{aligned} \quad (4)$$

по вертикальным перемещениям

$$\begin{aligned}
 E_b (\delta_{m,j_1}^{gr} x_{j_1} + \cdots + \delta_{m,m}^{gr} x_m + \cdots + \delta_{m,nj}^{gr} x_{nj} + \delta_{m,j_1}^{gg} y_{j_1} + \cdots + \delta_{m,m}^{gg} y_m + \\
 + \cdots + \delta_{m,nj}^{gg} y_{nj} + \delta_{m,j_1}^{ga} M_{j_1}^z + \cdots + \delta_{m,m}^{ga} M_m^z + \cdots + \delta_{m,nj}^{ga} M_{nj}^z) = \\
 = E_b [-(P_i^y - y_i) W_{m,i} + \cdots - (P_m^y - y_m) W_{m,m} + \cdots].
 \end{aligned} \quad (5)$$

Здесь искомыми неизвестными являются $x_i, y_i, z_i, M_i^y, M_i^z$, ($i = 1, 2, \dots, n$), где n —число контактных точек. Записав уравнения (1)–(5) для указанных точек, получим алгебраическую линейную неоднородную систему. Матрица этой системы будет симметричной, размерностью $5n$. При использовании точных методов решения подобных систем (метод Гаусса, и т. д.) можно решить систему уравнений на ЭВМ, порядок которой не превышает 150, т. е. $n \leq 30$. Но при решении практических задач n значительно больше 30.

Задачей настоящей работы является построение алгоритма, который эффективно решит эту систему с применением ЭВМ.

Обозначим: $x = (x_1, x_2, \dots, x_n)^T$, $y = (y_1, y_2, \dots, y_n)^T$, $z = (z_1, z_2, \dots, z_n)^T$, $M^y = (M_1^y, M_2^y, \dots, M_n^y)^T$, $M^z = (M_1^z, M_2^z, \dots, M_n^z)^T$, $f_3 = (f_{3,1}, f_{3,2}, \dots, f_{3,n})^T$, $f_4 = (f_{4,1}, f_{4,2}, \dots, f_{4,n})^T$, $f_5 = (f_{5,1}, f_{5,2}, \dots, f_{5,n})^T$, где f_3, f_4, f_5 являются свободными членами уравнений (3), (4) и (5).

На основе этих обозначений и структуры можем написать следующую матрично-векторную форму данной системы:

$$\begin{aligned}
 D_{1,1} z + D_{1,2} M^z + D_{1,3} x &= 0, \\
 D_{1,2} z + D_{2,2} M^y + D_{2,3} x &= 0, \\
 D_{1,3} z + D_{2,3} M^y + D_{3,3} x + D_{3,4} M^z + D_{3,5} y &= f_3, \\
 D_{3,4} x + D_{4,4} M^z + D_{4,5} y &= f_4, \\
 D_{3,5} x + D_{4,5} M^z + D_{5,5} y &= f_5,
 \end{aligned} \quad (6)$$

где $D_{1,1}, D_{1,2}, D_{1,3}, D_{2,2}, D_{2,3}, D_{3,3}, D_{3,4}, D_{3,5}, D_{4,4}, D_{4,5}, D_{5,5}$ являются матрицами n -й размерности.

Решим эту систему следующим образом: умножив первое уравнение системы (6) на D^{-1} , получим

$$z = D_{1,1}^{-1} D_{1,2} + M^y D_{1,1}^{-1} D_{1,3} x,$$

или

$$z = A_1 M^y + B_1 x, \quad (7)$$

где

$$A_1 = -D_{1,1}^{-1} D_{1,2}, \quad B_1 = D_{1,1}^{-1} D_{1,3}.$$

Если внесем (7) во второе уравнение системы (6) и произведем соответствующие преобразования, получим

$$M^y = A_2 x, \quad (8)$$

где

$$A_2 = - (D_{2,2} - D_{1,2} A_1)^{-1} (D_{2,3} - D_{1,2} B_1).$$

Аналогично, если внесем (7), и (8) в третье уравнение системы (6) получим

$$x = A_3 M^z + B_2 y + C_1, \quad (9)$$

где

$$A_3 = - (D_{3,3} + D_{2,3} A_2 + D_{1,3} B_1 + D_{1,3} A_1 A_2)^{-1} D_{3,4},$$

$$B_2 = - (D_{3,3} + D_{2,3} A_2 + D_{1,3} B_1 + D_{1,3} A_1 A_2)^{-1} D_{3,5},$$

$$C_1 = (D_{3,3} + D_{2,3} A_2 + D_{1,3} B_1 + D_{1,3} A_1 A_2)^{-1} f_3.$$

Используя (9), в четвертом уравнении системы (6) получаем

$$M^z = A_4 y + C_2, \quad (10)$$

где

$$A_4 = - (D_{4,4} + D_{3,4} A_3)^{-1} (D_{4,5} - D_{3,4} B_2),$$

$$C_2 = (D_{4,4} + D_{3,4} A_3)^{-1} (f_4 - D_{3,4} C_1).$$

Подставляя (9) и (10) в пятое уравнение системы (6), получаем

$$y = (D_{5,5} + D_{4,5} A_4 + D_{3,5} B_2 + D_{3,5} A_3 A_4)^{-1} (f_5 - D_{4,5} C_2 - D_{3,5} C_1 - D_{3,5} A_3 C_2).$$

Использовав выведенные формулы (7), (8), (9) и (10) находим оставшиеся неизвестные z , M^y , x , M^z .

Отметим, что A_1 , A_2 , A_3 , A_4 , B_1 , B_2 являются матрицами, а C_1 , C_2 — векторами размерностью n .

Применение указанного алгоритма дает возможность решить систему до 600 неизвестных. Исходя из этого, количество контактных точек можем увеличить до 120. Такое количество точек полностью удовлетворяет сегодняшнему уровню решения практических задач, связанных с проектированием арочных плотин.

Академия наук Грузинской ССР
Институт строительной механики
и сейсмостойкости

(Поступило 8.6.1978)

ან. ლოსაბერიძე, დ. გიორგაძე

სასრულო ურთიერთგადაკვეთი ზოლების გეთოდით
თაღოვანი კაშხლის გათვლის მატრიცული ფორმა

რეზიუმე

დამუშავებულია თაღოვანი კაშხლის სიმტკიცეზე გაანგარიშების ალგორითმი, რომელიც ჩაწერილია მატრიცულ-ვექტორული სახით. ეს ალგორითმი ეფუძნება სასრულო ურთიერთგადამკვეთი ზოლების მეთოდს [1] და გამოიჩინება განტოლებათა სისტემის ეგზ-ზე ეფექტური ამონსნით.

STRUCTURAL MECHANICS

An. A. LOSABERIDZE, D. P. GIORGADZE

MATRIX FORM OF ARCH DAM DESIGN BY THE FINITE BANDS METHOD

Summary

An algorithm, written in the matrix-vector form, has been developed for the structural design of arch dams. The algorithm is based on the method of finite cross bands and its system of algebraic equations is effectively solved on the electronic digital computer.

ლიტერატურა — REFERENCES

1. Ан. А. Лосаберидзе. Расчет арочных плотин. Тбилиси, 1966.

СТРОИТЕЛЬНАЯ МЕХАНИКА

Т. Д. СИХАРУЛИДЗЕ

**МНОГОВОЛНОВОЕ В ОБОИХ НАПРАВЛЕНИЯХ ПОКРЫТИЕ
С КРУГОВЫМ ОТВЕРСТИЕМ**

(Представлено академиком К. С. Завриевым 25.5.1978)

Рассмотрим многоволновое в обоих направлениях покрытие, когда средняя оболочка имеет круговое отверстие (рис. 1). Перемещение пологих оболочек двойкой кривизны $a_0, a, a_1, b_0, b, b_1, c_0, c, c_1$ относительно к осям OX и OY обозначим соответственно U_0, U, U_1 и V_0, V, V_1 . Граничные условия смежных и средних пологих оболочек двойкой кривизны, в которых имеется круговое отверстие и все края жестко защемлены, даны на рис. 1.

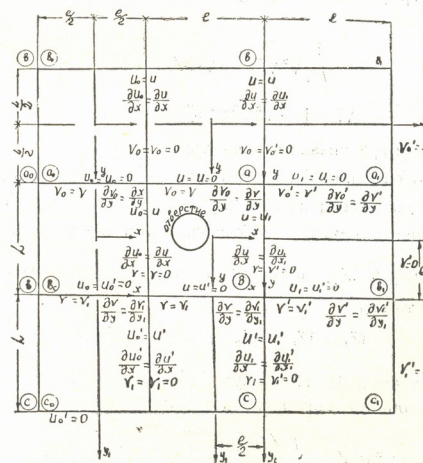


Рис. 1

Рассчитаем среднюю оболочку \$b\$ с большим отверстием. Допустим, что на оболочку действует сосредоточенная сила \$P\$ (точка приложения силы \$P\$ не расположена на контуре отверстия).

Решая задачу изгиба, применим способ [1] и рассмотрим данную пологую оболочку без отверстия как основную, которую назо-

вем «фиктивной» оболочкой (отверстие заполним пространственной поверхностью).

На контуре отверстия «фиктивной» оболочки возьмем ограниченую последовательность точек 1, 2, 3..., (K—1), K, которые назовем узлами (1). К этим узлам приложим неизвестные поперечные силы $\bar{P}_1, \bar{P}_2, \dots, \bar{P}_{k-1}, \bar{P}_k$ и неизвестные изгибающие моменты $\bar{M}_1, \bar{M}_2, \dots, \bar{M}_{k-1}, \bar{M}_k$. Для дискретных точек 1, 2, 3..., K граничные условия отверстия записываем [1, 2]:

$$e[e^2 + (2 - \nu) m^2] \frac{\partial^3 W_i}{\partial x_3} + e[3m^2 + (2 - \nu)(e^2 + 2m^2)] \frac{\partial^3 W_i}{\partial x \partial y^2} + m[3e^2 +$$

$$+ (2 - \nu)(m^2 + 2e^2)] \frac{\partial^3 W_i}{\partial x^2 \partial y} + m[m^2 + (2 - \nu)e^2] \frac{\partial^3 W_i}{\partial y^3} = 0;$$

$$(e^2 + \nu m^2) \frac{\partial^2 W_i}{\partial x^2} + 2me(1 + \nu) \frac{\partial^2 W_i}{\partial x \partial y} + (m^2 + \nu e^2) \frac{\partial^2 W_i}{\partial y^2} = 0;$$

$$j = 1, 2, 3, \dots, (k - 1), k.$$

Как известно, расчет пологих оболочек двоякой кривизны сводится, к интегрированию следующих дифференциальных уравнений [3]:

$$\frac{1}{Eh} \nabla^2 \nabla^2 \varphi - \nabla_k^2 W = 0,$$

$$\nabla_k^2 \varphi + D \nabla^2 \nabla^2 \nabla^2 W - Z = 0. \quad (2)$$

где ∇^2 и ∇_k^2 — дифференциальные операторы.

Через W_0 обозначим общий интеграл дифференциальных уравнений пологих оболочек двоякой кривизны; W_{p*} — прогиб, вызванный нагрузкой, P; прогибы, вызванные силами \bar{P}_k , обозначим через $W_{\bar{P}_k}$; прогибы, вызванные моментами \bar{M}_k через $W_{\bar{M}_k}$ в точках контуре отверстия 1, 2, 3..., K прогибы будут иметь вид

$$W_i = W_0 + W_{p*} + W_{\bar{P}_k} + W_{\bar{M}_k}. \quad (3)$$

Согласно теории И. Н. Векуа [4], система двух уравнений (2) приводится к одному комплексному уравнению:

$$\nabla^2 \nabla^2 V - \frac{i \sqrt{12(1-\nu^2)}}{h} \Delta_k^2 V = \frac{1}{D} Z, \quad (4)$$

где

$$V = W + \frac{i \sqrt{12(1-\nu^2)}}{h} \nabla_k^2 \varphi. \quad (5)$$

Здесь

$$W_0 = \frac{V + \bar{V}}{2}, \quad \varphi = \frac{Eh^2(V - \bar{V})}{2i\sqrt{12(1-\nu^2)}}.$$

Если мы ищем общий интеграл W_0 , тогда $Z=0$ и уравнение (4) принимает вид

$$\nabla^2 \nabla^2 V - \frac{i\sqrt{12(1-\nu^2)}}{h} \nabla_2^k V = 0. \quad (6)$$

Согласно [1], уравнение (6) запишем в виде

$$\frac{\partial^2}{\partial z \partial \bar{\zeta}} \frac{\partial^2 V}{\partial z \partial \bar{\zeta}} - i\varepsilon \nabla_2^k V = 0, \varepsilon = \frac{\sqrt{3(1-\nu^2)}}{8h}. \quad (7)$$

Согласно [1, 4] имеем

$$V(z, \bar{\zeta}) = U^0(z, \bar{\zeta}) + \int_0^z \Gamma_1(z, \bar{\zeta}, t) U_0(t, \bar{\zeta}) dt + \\ + \int_0^{\bar{\zeta}} \Gamma_2(\bar{\zeta}, z, \tau) U_0(z, \tau) d\tau + \int_0^z dt \int_0^{\bar{\zeta}} \Gamma(z, \bar{\zeta}, t, \tau) U_0(t, \tau) d\tau \quad (8)$$

где

$$\Gamma(z, \bar{\zeta}, t, \tau) = \Gamma_0(z, \bar{\zeta}, t, \tau) + \int_t^z \Gamma_1(z, \bar{\zeta}, t_1) \Gamma_0(t, \bar{\zeta}, t, \tau) dt_1 + \\ + \int_{\tau}^{\bar{\zeta}} \Gamma_2(\bar{\zeta}, z, \tau_1) \Gamma_0(z, \tau_1, t, \tau) d\tau,$$

$$\Gamma_1(z, \bar{\zeta}, t) = K_1^{(1)}(z, \bar{\zeta}, t) + K_1^{(2)}(z, \bar{\zeta}, t) + \dots,$$

$$\Gamma_2(\bar{\zeta}, z, \tau) = K_2^{(1)}(\bar{\zeta}, z, \tau) + K_2^{(2)}(\bar{\zeta}, z, \tau) + \dots,$$

Согласно [2, 4] имеем

$$K_1^{(1)} = K_1 (k_2 - k_1)(z - t), \quad K_1^{(n)}(z, \bar{\zeta}, t) = \int_t^z K_1(z, \bar{\zeta}, \xi) K_1^{(n-1)}(\xi, \bar{\zeta}, t) d\xi; \\ K_2^{(n)} = K_2 = (k_2 - k_1)(\bar{\zeta} - \tau), \quad K_2^{(n)}(\bar{\zeta}, z, \tau) = \int_{\tau}^{\bar{\zeta}} K_2(\bar{\zeta}, z, \eta) K_2^{(n-1)}(\eta, z, \tau) d\eta.$$

$W_{\rho*}$, $W_{\bar{\rho}}$ и $W_{\bar{M}}$ вычисляются согласно (1).

Границные условия оболочки имеют вид

$$U = U_0, \quad V = V_0 = 0$$

$$U = U_1, \quad V = V^1 = 0$$

$$\frac{\partial U_0}{\partial x} = \frac{\partial U}{\partial x}, \quad \frac{\partial U}{\partial x} = \frac{\partial U_1}{\partial x_1}$$

Грузинский политехнический институт
им. В. И. Ленина

(Поступило 5.7.1978)



თ. სიხარულიძე

ორმხრივ მიმართული მრავალტალღიანი, ხვრეტიანი
გადახურვა

რეზიუმე

განხილულია ორმხრივ მიმართული მრავალტალღიანი, წრიული ხვრეტიანი გადახურვის ანგარიში. საანგარიშოდ გამოყენებულია ნ. ბულიას მეთოდი, ხოლო დამრეცი გარსების ზოგადი ინტეგრალი გაანგარიშებულია აკად. ი. ვეკუას თეორიით.

STRUCTURAL MECHANICS

T. D. SIKHARULIDZE

MULTIWAVE-IN-BOTH-DIRECTIONS ROOFING WITH
CIRCULAR ORIFICE

Summary

The article presents the design of multiwave-in-both-directions roofing with circular orifice. N. Bulia's method is used for the calculation of the roofing with orifice. The general integral of sloping shells is calculated by I. N. Vekua's theory.

ლიტერატურა — ЛИТЕРАТУРА — REFERENCES

1. Н. П. Булия. Сообщения АН ГССР, 88, № 3, 1977.
2. Н. П. Булия. Сообщения АН ГССР, 87, № 1, 1977.
3. В. З. Власов. Общая теория оболочек. Л.—М., 1949.
4. И. Н. Векуа. Новые методы решения эллиптических уравнений. Л.—М., 1948.

СТРОИТЕЛЬНАЯ МЕХАНИКА

Н. П. БУЛИЯ

ОБЩЕЕ РЕШЕНИЕ ДИФФЕРЕНЦИАЛЬНЫХ УРАВНЕНИЙ
ПОЛОГИХ УПРУГИХ ОБОЛОЧЕК ЭЛЛИПТИЧЕСКОГО ТИПА

(Представлено академиком К. С. Заврневым 7.4.1978)

Как известно [1], расчет пологих оболочек двойкой кривизны сводится к интегрированию дифференциальных уравнений

$$\frac{1}{Eh} \nabla^2 \nabla^2 \varphi - \nabla_k^2 W = 0, \quad \nabla_k^2 \varphi + D \nabla^2 \nabla^2 W - Z = 0, \quad (1)$$

где ∇^2 и ∇_k^2 — дифференциальные операторы.

Согласно теории И. Н. Векуа, система двух уравнений (1) приводится к одному уравнению [2]:

$$\nabla^2 \nabla^2 V - \frac{i \sqrt{12(1-\nu^2)}}{h} \Delta_k^2 V = \frac{1}{D} Z. \quad (2)$$

Так как мы ищем общий интеграл, поэтому $Z=0$ и уравнение (2) принимает вид

$$\nabla^2 \nabla^2 V - \frac{i \sqrt{12(1-\nu^2)}}{h} \Delta_k^2 V = 0. \quad (3)$$

Согласно [3], уравнение (3) запишем в виде

$$\frac{\partial^2}{\partial z \partial \bar{z}} \frac{\partial^2 V}{\partial z \partial \bar{z}} - i\varepsilon \Delta_k^2 V = 0; \quad \varepsilon = \frac{\sqrt{3(1-\nu^2)}}{8h}. \quad (4)$$

Пусть D — двусвязная область вида $D=S-C$, где C — ограниченный континуум, а S — основная область дифференциальных уравнений (8). Пусть V — некоторое решение уравнений (8), регулярное в D . Соединения границы C и S какой-нибудь простой кривой, можно получить односвязную область D' , внутри которой функция V будет также регулярным решением дифференциальных уравнений тонких пологих упругих оболочек. Согласно теореме И. Н. Векуа [2], решение V будет аналитической функцией переменных x, y в области D .

Продолжая его аналитически в область комплексных значений переменных x, y , получаем аналитическую функцию двух комплексных переменных x, y в области ($z \in D, \bar{z} \in \bar{D}$).

Согласно [3], уравнение (4) запишем в виде

$$V(z, \bar{z}) - i\varepsilon \left[(k_2 - k_1) \int_0^z (z-t) V(t, \bar{z}) dt + (k_2 - k_1) \int_0^{\bar{z}} (\bar{z}-\tau) V(z, \tau) d\tau \right] +$$

$$+ 2(k_2 + k_1) \int_0^z dt \int_0^{\bar{z}} V(t, \tau) d\tau \Big] = U_0(z, \bar{z}), \quad (5)$$

где

$$U_0(z, \bar{z}) = \varphi_1(z) + \varphi_1^*(\bar{z}) + \int_0^z \varphi_0(t) dt + \int_0^{\bar{z}} \varphi_0^*(\tau) d\tau. \quad (6)$$

Функции $\varphi_0(z)$, $\varphi_1(z)$, $\varphi_0^*(\bar{z})$, $\varphi_1^*(\bar{z})$ голоморфные в D и \bar{D} соответственно:

$$\varphi_0(0) = \varphi_0^*(0), \quad \varphi_1(0) = \varphi_1^*(0). \quad (7)$$

Уравнение (5) можно решить методом последовательных приближений.

Рассмотрим сперва уравнения частных видов:

$$V_1(z, \bar{z}) - i\varepsilon(k_2 - k_1) \int_0^z (z-t) V_1(t, \bar{z}) dt = U_0(z, \bar{z}),$$

$$V_2(z, \bar{z}) - i\varepsilon(k_2 - k_1) \int_0^z (\bar{z}-\tau) V_2(z, \tau) d\tau = U_0(z, \bar{z}). \quad (8)$$

Согласно теории И. Н. Векуа [2], доказано, что решение этих уравнений выражаются формулами

$$V_1(z, \bar{z}) = U_0(z, \bar{z}) + i\varepsilon \int_0^z \Gamma_1(z, \bar{z}, t) U_0(t, \bar{z}) dt,$$

$$V_2(z, \bar{z}) = U_0(z, \bar{z}) + i\varepsilon \int_0^{\bar{z}} \Gamma_2(\bar{z}, z, \tau) U_0(z, \tau) d\tau, \quad (9)$$

где

$$\Gamma_1(z, \bar{z}, t) = k_1^{(1)}(z, \bar{z}, t) + k_1^{(2)}(z, \bar{z}, t) + \dots,$$

$$\Gamma_2(\bar{z}, z, \tau) = k_2^{(1)}(\bar{z}, z, \tau) + k_2^{(2)}(\bar{z}, z, \tau) + \dots, \quad (10)$$

причем

$$k_1^{(1)} = k_1 = (k_2 - k_1)(z - t), \quad k_1^{(n)}(z, \bar{z}, t) = \int_t^z k_1(z, \bar{z}, \xi) k_1^{(n-1)}(\xi, \bar{z}, t) d\xi,$$

$$k_2^{(1)} = k_2 = (k_2 - k_1)(\bar{z} - \tau), \quad k_2^{(n)}(\bar{z}, z, \tau) = \int_{\tau}^{\bar{z}} k_2(\bar{z}, z, \eta) k_2^{(n-1)}(\eta, z, \tau) d\eta.$$

Ищем теперь решение уравнения (5) в виде

$$V(z, \bar{z}) = V_0(z, \bar{z}) + \int_0^z \Gamma_1(z, \bar{z}, t) V_0(t, \bar{z}) dt + \int_0^{\bar{z}} \Gamma_2(\bar{z}, z, \tau) V_0(z, \tau) d\tau, \quad (11)$$

где $V_0(z, \bar{\zeta})$ — новая неизвестная функция, аналитическая в области (D, \bar{D}) . Согласно [2] имеем

$$V_0(z, \bar{\zeta}) = U_0(z, \bar{\zeta}) + \int_0^z dt \int_0^{\bar{\zeta}} \Gamma_0(z, \bar{\zeta}, t, \tau) U_0(t, \tau) d\tau, \quad (12)$$

где

$$K_0^{(1)} = K_0, \quad K_0^{(n)} = \int_t^z d\xi \int_{\tau}^{\bar{\zeta}} K_0(z, \bar{\zeta}, \xi, \eta) K_0^{(n-1)}(\xi, \eta, t, \tau) d\eta. \quad (13)$$

Подставляя выражение (12) в (11), получаем

$$\begin{aligned} V(z, \bar{\zeta}) &= U_0(z, \bar{\zeta}) + \int_0^z \Gamma_1(z, \bar{\zeta}, t) U_0(t, \bar{\zeta}) dt + \\ &+ \int_0^{\bar{\zeta}} \Gamma_2(\bar{\zeta}, z, \tau) u_0(z, \tau) d\tau + \int_0^z dt \int_0^{\bar{\zeta}} \Gamma(z, \bar{\zeta}, t, \tau) u_0(t, \tau) d\tau, \end{aligned} \quad (14)$$

т.е.

$$\begin{aligned} \Gamma(z, \bar{\zeta}, t, \tau) &= \Gamma_0(z, \bar{\zeta}, t, \tau) + \int_t^z \Gamma_1(z, \bar{\zeta}, t_1) \Gamma_0(t_1, \bar{\zeta}, t, \tau) dt_1 + \\ &+ \int_{\tau}^{\bar{\zeta}} \Gamma_2(\bar{\zeta}, z, \tau_1) \Gamma_0(z, \tau_1, t, \tau) d\tau_1, \end{aligned} \quad (15)$$

Функции $\varphi_0(z)$, $\varphi_0^*(\bar{\zeta})$, $\varphi_1(z)$ и $\varphi_1^*(\bar{\zeta})$ представим следующим образом:

$$\begin{aligned} \varphi_0(z) &= A \ln(z - z_0) + \sum_{k=-\infty}^{\infty} A_k Z^k, \\ \varphi_0^*(\bar{\zeta}) &= A \ln(\bar{\zeta} - \bar{\zeta}_0) + \sum_{k=-\infty}^{+\infty} A_k \bar{Z}^k, \\ \varphi_1(z) &= B \ln(z - z_0) + \sum_{k=-\infty}^{+\infty} B_k Z^k, \\ \varphi_1^*(\bar{\zeta}) &= B \ln(\bar{\zeta} - \bar{\zeta}_0) + \sum_{k=-\infty}^{+\infty} B_k \bar{Z}^k, \end{aligned} \quad (16)$$

где точки z_0 и $\bar{\zeta}_0$ находятся внутри окружности. $K_0(z, \bar{\zeta}, t, \tau)$, $\Gamma_1(z, \bar{\zeta}, t)$ и $\Gamma_2(\bar{\zeta}, z, \tau)$ в развернутом виде записываются следующим образом:

$$\Gamma_1(z, \bar{\zeta}, t) = \alpha(z - t) + \frac{\alpha^2}{6} (z - t)^3 + \frac{\alpha^3}{120} (z^5 - t^5 + 15z^4t + 45zt^4 - 10z^2t^3 - 25z^3t^2),$$

$$\Gamma_2(\bar{\zeta}, z, \tau) = \beta(\bar{\zeta} - \tau) + \frac{\beta^2}{6} (\bar{\zeta} - \tau)^3 + \frac{\beta^3}{120} (\bar{\zeta}^5 - \tau^5 + 15\bar{\zeta}^4\tau + \\ + 45\bar{\zeta}\tau^4 - 10\bar{\zeta}^2\tau^3 - 25\bar{\zeta}^3\tau^2),$$

$$K_0(z, \bar{\zeta}, t, \tau) = \alpha(z - t) \left[\beta(\bar{\zeta} - \tau) + \frac{\beta^2}{6} (\bar{\zeta} - \tau)^3 + \frac{\beta^3}{120} (\bar{\zeta}^5 - \tau^5 + 15\bar{\zeta}^4\tau + \right. \\ \left. + 45\bar{\zeta}\tau^4 - 10\bar{\zeta}^2\tau^3 - 25\bar{\zeta}^3\tau^2) \right] + \beta(\bar{\zeta} - \tau) \left[\alpha(z - t) + \frac{\alpha^2}{6} (z - t)^3 + \frac{\alpha^3}{120} (z^5 - \right. \\ \left. - t^5 + 15z^4t + 45zt^4 - 10z^2t^3 - 25z^3t^2) \right] + 2\beta + 2\beta \int_t^{\bar{\zeta}} \left[\alpha(t_1 - t) + \frac{\alpha^2}{6} (t_1 - t)^2 + \right. \\ \left. + \frac{\alpha^3}{120} (t_1^5 - t^5 + 15t_1^4t + 45t_1t^4 - 10t_1^2t^3 - 25t_1^3t^2) \right] dt_1 + 2\beta \int_{\tau}^{\bar{\zeta}} \left[\beta(\tau_1 - \tau) + \right. \\ \left. + \frac{\beta^2}{6} (\tau_1 - \tau)^3 + \frac{\beta^3}{120} (\tau_1^5 - \tau^5 + 15\tau_1^4\tau + 45\tau_1\tau^4 - 10\tau_1^2\tau^3 - 25\tau_1^3\tau^2) \right] d\tau_1,$$

$$K_1(z, \bar{\zeta}, t) = \alpha(z - t), \quad K_2(\bar{\zeta}, z, \tau) = \beta(\bar{\zeta} - \tau),$$

$$K(z, \bar{\zeta}, t, \tau) = 2\beta, \quad \alpha = i\varepsilon(k_2 - k_1), \quad \beta = i\varepsilon(k_2 + k_1).$$

Грузинский политехнический институт
им. В. И. Ленина

(Поступило 6.7.1978)

სამართლო მინისტრი

ნ. გულია

ელიფსური ტიპის დრეკადი დამრეცი გარსების
დიფერენციალური განტოლების ზოგადი ამონას
რეზიუმე

მოცემულია ორმაგი სიმრტედის, დრეკადი დამრეცი გარსების დიფერენციალური განტოლების ზოგადი ამონას, რომელიც დაიყვანება რიცხვით
მაგალითებამდე.

STRUCTURAL MECHANICS

N. P. BULIA

GENERAL SOLUTION OF DIFFERENTIAL ELLIPTIC-TYPE EQUATIONS OF SLOPING ELASTIC SHELLS

Summary

The general solution of an elliptic type differential equation of double curvature sloping elastic shell is presented in the paper. The solution is reducible to numerical examples.

ლიტერატურა — ЛИТЕРАТУРА — REFERENCES

1. В. Власов. Общая теория оболочек. Л.—М., 1949.
2. И. Н. Векуа. Новые методы решения эллиптических уравнений. Л.—М., 1948.
3. Н. П. Булия. Сообщения АН ГССР, 88, № 3, 1977.

РАЗРАБОТКА И ОБОГАЩЕНИЕ МЕСТОРОЖДЕНИЙ

А. Г. ДЖВАРШЕИШВИЛИ, А. А. ЦАИ, Д. В. БАКРАДЗЕ

ИССЛЕДОВАНИЕ ВЛИЯНИЯ ВИНТОВОЙ НАВИВКИ НА СТРУКТУРУ ПОТОКА В ТРУБОПРОВОДЕ

(Представлено академиком А. А. Дзидзигури 8.7.1978)

Устойчивая работа гидротранспортной системы обеспечивается при рабочих скоростях гидросмеси на 10—20% больше, чем критическая скорость движения. При скоростях меньше критической происходит оседание твердых частиц в горизонтальных и наклонных участках трубопровода, что нередко приводит к забивке и вынужденной остановке гидротранспортной установки (ГТУ).

В существующих трубопроводах промышленных ГТУ критическая скорость обычно больше расчетной скорости движения однородной жидкости (воды). Поэтому энергетические затраты на гидротранспорт гидросмеси значительно превосходят эти затраты на транспорт однородной жидкости.

В связи с этим проблема уменьшения критических скоростей транспортирования твердых частиц имеет важное практическое значение. Величину критической скорости можно уменьшить, если создать в трубопроводе винтовой поток, при котором окружная составляющая скорости будет препятствовать оседанию твердых частиц. Такой поток можно получить с помощью винтовой навивки, располагаемой по внутренней поверхности трубопровода.

Исследования влияния винтовой навивки на структуру потока в трубопроводе были выполнены на аэродинамическом стенде. Метод моделирования при подаче воздуха дает возможность более глубоко проникнуть в сущность изучаемых явлений, так как позволяет более просто производить непосредственные измерения скоростей и давлений во всех точках потока. Для моделирования течения жидкости в трубопроводе при скоростях воздуха до 70 м/с критерием динамического подобия является число Рейнольдса (Re). Так как кинематическая вязкость воздуха в 15 раз меньше кинематической вязкости воды, то для соблюдения условий подобия необходимо в 15 раз увеличить скорость движения воздуха. Скорость движения гидросмеси в промышленных трубопроводах составляет 1,5—4 м/с. Поэтому в наших исследованиях была принята средняя скорость воздуха, равная 24—25 м/с. При таких высоких скоростях воздуха замеры параметров потока осуществляются с высокой точностью.

Общий вид стенда для исследования структуры потока в трубопроводе представлен на рис. 1. Поток воздуха создается вентилятором высокого давления ВВД № 9 (1), который приводится во вращение через клиновременную передачу двигателем постоянного тока ПН-62 мощностью 14,5 квт. Этот двигатель питается от генератора того же типа. С помощью реостатов частота вращения вентилятора регулируется от 600 до 2000 об/мин. Воздух после вентилятора поступает в прозрачный трубопровод (2), имеющий отверстия (3) для из-



мерения параметров потока в нем. Расход измеряется с помощью короткого сопла Вентура (4) по перепаду давления в микроманометре, подключенному к расходомеру. Спираль (5) упирается в стенки трубы, имея упругость пружины.

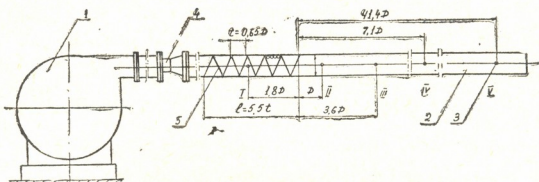


Рис. 1

Измерение полей скоростей в трубопроводе производится при помощи цилиндрического зонда. Цилиндрический зонд представляет собой трубку с тремя отверстиями, расположенными на небольшом расстоянии (13 мм) от ее конца в плоскости, перпендикулярной к оси

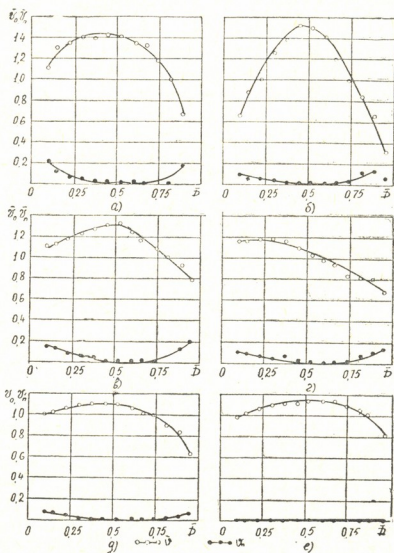


Рис. 2

зонда. Два боковых отверстия расположены симметрично относительно центрального. Отверстия зонда с помощью трубок малого диаметра соединяются с соответствующими выводами, расположенными на другом конце зонда.

На рис. 2 дано распределение осевых и окружных составляющих скорости потока:

а, б, в, г, д — при установленной винтовой навивке с шагом $t=0,65D$, длиной 5,5 t ;

е — в обычном трубопроводе;

а — в сечении I, б — в II; в — в III; г — в IV; д — в V (см. рис. 1).

При отсутствии в трубопроводе винтовой навивки эпюра распределения скоростей в потоке (рис. 2, е) имеет следующий вид: окружная составляющая скорости равна нулю, осевая составляющая скорости имеет максимальное значение в центре трубопровода ($D=0,5$) и равна $1,08 V_{cp}$. При приближении к стенкам осевая скорость уменьшается, особенно резко в пристеночных областях трубопровода ($\bar{D}=0 \div 0,125$; $\bar{D}=0,875 \div 1$).

При установке винтовой навивки движение жидкости в трубопроводе приобретает винтообразный характер и имеет неосесимметричный вид. Величина закрутки в самой навивке равняется у стенок трубопровода (рис. 2, а) $V_u = 0,2 V_{cp}$. После навивки закрутка постепенно уменьшается. Однако даже на расстоянии от навивки, равном 41,4 D , что соответствует 12 длинам навивки, закрутка $V_u = 0,1 V_{cp}$ (рис. 2, д). Толщина закрученного потока равняется примерно $(0,25 \div 0,30) D$.

Установка навивки увеличивает на 20-30% осевую составляющую скорости в центральной части трубопровода, что уменьшает вероятность выпадания из этой части твердых частиц. Наличие значительных окружных скоростей у стенок трубопровода, с одной стороны, способствует подъему этих частиц с нижней части горизонтального трубопровода, а с другой стороны, удерживанию этих частиц в верхней (за счет центробежной силы).

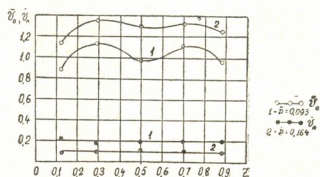


Рис. 3

По длине шага винтовой навивки у стенки трубопровода осевая составляющая скорости \bar{V}_0 потока изменяется от 0,8 до 1,2 (рис. 3), что также способствует подъему твердых частиц. Такой характер изменения осевой составляющей скорости сохраняется и за винтовой навивкой (рис. 2, б, в, г, д).

Таким образом, установка в трубопроводе винтовой навивки создает в нем винтовой поток, который распространяется и за винтовой навивкой на длину не меньше чем $41,4D$. Винтовой поток в тру-



бопроводе препятствует оседанию твердых частиц, благодаря чему можно уменьшить критические скорости транспортирования твердых частиц и износ труб.

Академия наук Грузинской ССР

Институт горной механики

им. А. Г. Цулукидзе

(Поступило 13.7.1978)

საბაზოთა დამუშავება და გამდიდრება

ა. ჯვარშეიშვილი, ა. ცაი, დ. ბაკრაძე

ხრახნისებრივი დახვევის გამლენის შესავლა ნაკადის
სტრუქტურაზე მიღსაღები

რეზიუმე

გამოკვლეულია სპეციალური დახვევის გავლენა ორფაზოვან ნაკადზე. მიღსაღები ჩაღმული სპირალი ქმნის დახვეულ ნაკადს, რომელიც სპირალს იქვეთაც ვრცელდება $41,4D$ სიგრძეზე, ამცირებს მყარი ნაწილაკების დაჭდომას, რითაც მცირდება ჰიდროტრანსპორტირების კრიტიკული სიჩქარე და მიღსაღენის ცვეთა.

EXPLOITATION OF DEPOSITS AND CONCENTRATION

A. G. JVARSHESHEISHVILI, A. A. TSAI, D. V. BAKRADZE

INVESTIGATION OF THE EFFECT OF SCREW WINDING ON THE FLOW STRUCTURE IN A PIPELINE

Summary

The effect of a special winding on two-phase flow is discussed. The spiral, placed in the pipe, results in a winding flow which extends beyond the spiral at the length of at least $41.4D$. The winding flow in the pipe prevents sedimentation of solid particles, permitting to lower the critical velocity of hydrotransportation and delay pipeline wear.

РАЗРАБОТКА И ОБОГАЩЕНИЕ МЕСТОРОЖДЕНИЙ

Л. И. МАХАРАДЗЕ

О ВЛИЯНИИ ПЕРЕХОДНЫХ ДРОССЕЛИРУЮЩИХ ПАТРУБКОВ
НА ЭФФЕКТИВНОСТЬ РАБОТЫ ВОЗДУШНО-
ГИДРАВЛИЧЕСКИХ АККУМУЛЯТОРОВ

(Представлено академиком А. А. Дзидзигури 9.7.1978)

Из средств защиты напорных гидротранспортных систем от гидравлических ударов наиболее простыми являются воздушно-гидравлические аккумуляторы (колонны), а наиболее надежными — гасители с упругими рабочими органами, выполненными в виде шлангов, шаров, торов и т. п., которые заполнены воздухом. Эффективность работы этих гасителей гидравлического удара существенно увеличивается, если их на защищаемой магистрали установить посредством переходных дросселирующих патрубков (насадок) с оптимальными геометрическими параметрами (см. рис. 1).

На полупромышленной установке Института горной механики АН ГССР экспериментально были исследованы влияние на эффективность работы воздушно-гидравлических колонн переходных дросселирующих патрубков, имеющих различные формы: цилиндрические, сходящего и нисходящего конуса, при различных диаметрах соотношений диаметров входного и выходного отверстий.

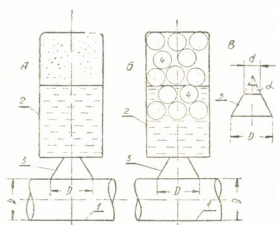


Рис. 1

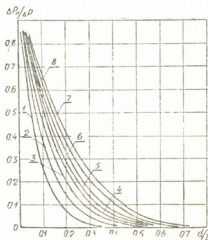


Рис. 2

Эти исследования показали, что максимальной эффективностью обладают патрубки, имеющие форму сходящего конуса при соотношении диаметров $\frac{d}{D}=0,25\text{--}0,4$ (d — диаметр суженной части; D — диаметр расширенной части, посредством которой примыкается к защищаемому трубопроводу и которая равняется диаметру последнего). При указанном соотношении диаметров почти той же самой эффективностью обладают и цилиндрические патрубки. Однако при наличии патрубков формы сходящего конуса существенно улучшаются условия

входа рабочей среды в корпус гасителя во время гидравлического удара. Это обстоятельство и увеличивает эффективность в некоторой степени.

На рис. 2 даются кривые изменения относительной величины давления в первой полуфазе гидравлического удара в зависимости от относительного диаметра (конусности) дросселирующего патрубка при различных скоростях движения потока рабочей среды в трубопроводе внутренним диаметром 104 мм. Эти кривые, построенные по экспериментальным данным, можно описать уравнением

$$\frac{\Delta P_n}{\Delta P} = \left(1 - \frac{d}{D}\right)^{8,8 \cdot v_0^{-0.5}} = a \rho v_0 \left(1 - \frac{d}{D}\right)^{8,8 \cdot v_0^{-0.5}}, \quad (1)$$

где ΔP_n — превышение давления в трубопроводе в первой полуфазе гидравлического удара, при наличии гасителя с дросселирующим патрубком, Па; ΔP — превышение давления в трубопроводе во время прямого гидравлического удара при отсутствии дросселирующего патрубка, Па; v_0 — скорость движения потока рабочей среды при установленном режиме, м/с; a — скорость распространения волны гидравлического удара в трубопроводе, м/с; ρ — плотность транспортирующей среды, кг/м³.

Эффективность применения переходных дросселирующих патрубков очевидна лишь в том случае, когда в воздушно-гидравлическом аккумуляторе имеется определенный объем воздуха (демпфирующего элемента), при сжатии которого происходит поступление рабочей среды из магистрального трубопровода через дросселирующий патрубок в аккумулятор (происходит дросселирование — потеря энергии).

С учетом этих соображений и следует определить объем воздуха в воздушно-гидравлическом аккумуляторе с переходным дросселирующим патрубком, необходимый для уменьшения давления в магистральном трубопроводе до допустимой для данной системы величины.

Как было выше сказано, при наличии в системе воздушно-гидравлического аккумулятора с переходным дросселирующим патрубком, во время гидравлического удара максимальное превышение давления в первой полуфазе можно определить по зависимости (1). Соответственно изменяется и скорость транспортирования рабочей среды

в трубопроводе $\Delta v = \frac{\Delta P_n}{a \rho}$. Аккумулирование энергии удара должно происходить за промежуток времени $\frac{2L}{a}$ так, чтобы величина давления в аккумуляторе не превышала значения

$$\Delta P' < P_0 + \Delta P_{tp} + \Delta P_n, \quad (2)$$

где P_0 — предударное давление в защищаемом трубопроводе в сечении установки аккумулятора, Па;

$$\Delta P_{tp} = \lambda \frac{L}{D} \frac{\rho \left[v_0^2 - \left(v_0 - \frac{\Delta P_n}{a \rho} \right)^2 \right]}{2}$$

— часть силы трения, которая восстанавливается при гидравлическом ударе, Па; λ — коэффициент гидравлического сопротивления.

В процессе аккумулирования энергии в корпус аккумулятора поступит (за счет сжатия воздуха, расположенного в нем) рабочая среда в объеме

$$\Delta W = \left(v_0 - \frac{\Delta P_n}{a\rho} \right) \omega \frac{2L}{a}, \quad (3)$$

где $\omega = \frac{\pi D^2}{4}$ — площадь поперечного сечения защищаемого трубопровода, м².

Соответственно на ΔW изменится и объем воздуха. С учетом (2), внутренний объем корпуса воздушно-гидравлического аккумулятора

Соотношение d/D	Давление в трубопроводе при наличии воздушно-гидравлического аккумулятора с переходным дросселирующим патрубком		Объем воздуха в корпусе аккумулятора, м ³		Форма переходного дросселирующего патрубка
	вода	гидросмесь $\rho_{cm}=1200$ кг/м ³	действительный	расчетный по формуле (7)	
	$\rho=1000$ кг/м ³				
1,0	1,10	1,30	0,0671	0,0695	цилиндрическая $d=100$ мм
1,0	1,10	1,30	0,0671	0,0695	цилиндрическая сдвоенная $d=100$ мм
0,7	1,08	1,26	0,0671	0,0655	цилиндрическая $d=76$ мм
0,5	1,00	1,27	0,0671	0,0645	цилиндрическая $d=50$ мм
0,333	0,83	0,96	0,0335	0,0342	цилиндрическая $d=30$ мм
1,0	0,95	1,11	0,0335	0,0333	цилиндрическая $d=25$ 4мм
1,0	1,67	1,83	0,0118	0,0110	цилиндрическая $d=15$ мм
0,823	1,05	1,18	0,0671	0,0655	цилиндрическая $d=15$ мм сходящий корпус
0,588	1,00	1,16	0,0671	0,0645	"
0,353	0,80	0,98	0,0335	0,0358	"
0,235	1,22	1,42	0,0157	0,0143	"
0,176	1,53	1,87	0,0118	0,0115	"
0,823	1,10	1,33	0,0671	0,0695	нисходящий конус
0,588	1,05	1,23	0,0671	0,0655	"
0,353	0,83	0,98	0,0335	0,0349	"
0,235	1,24	1,51	0,0157	0,0140	"
0,176	1,54	1,74	0,0118	0,0115	"

при атмосферном давлении (допускаем, что сжатие воздуха происходит по изотермическому закону), можно определить из равенства

$$W_0 P_a = W'_0 P_0 = (W'_0 - \Delta W) (P_0 + \Delta P_{tp} + \Delta P_n), \quad (4)$$

где W_0 — внутренний объем корпуса аккумулятора при атмосферном давлении, м³; W'_0 — объем воздуха в корпусе аккумулятора при давлении P_0 , м³; P_a — атмосферное давление, Па.

Из равенства (4) получаем

$$W_0 = \left(1 + \frac{P_0}{\Delta P + \Delta P_{tp}} \right) \left(V_0 - \frac{\Delta P_n}{a\rho} \right) \omega \frac{2L}{a} \frac{P_0}{Pa}. \quad (5)$$

Зависимость (5) справедлива для случая, когда

$$\Delta P_n \geq \frac{1}{2} a\rho V_0. \quad (6)$$

В общем случае объем воздуха, необходимый для уменьшения давления до желаемой величины при наличии воздушно-гидравлического аккумулятора с переходным дросселирующим патрубком, согласно методике, изложенной в работе, определяется по формуле

$$W_0 = \frac{(2\rho a^2)^{-1} \omega L \left[a^2 \rho^2 \left(v_0 - \frac{\Delta P_n}{a\rho} \right)^2 - (\Delta P - \Delta P_n)^2 \right] P_0 P_a^{-1}}{P_0 \ln \frac{P_0 + \Delta P}{P_0} + [K(P_{tp} + \Delta P_n) - P_0] \left(1 - \frac{P_0}{P_0 + \Delta P} \right)} \cdot (7)$$

Сопоставительные результаты теоретических и экспериментальных исследований приведены в таблице.

Максимальное превышение давления во время прямого гидравлического удара в трубопроводе без аккумулятора составляло: при движении воды — $\Delta P = 3, 5$ МПа, при движении гидросмеси плотностью $\rho_{cm} = 1200 \text{ кг}/\text{м}^3$, $\Delta P = 4, 2$ МПа.

Как видно из таблицы, эффективность наличия переходных дросселирующих патрубков существенная.

Эксперименты подтвердили также справедливость теоретической зависимости для определения необходимого для гашения давления объема воздуха.

Результаты исследований внедрены в промышленность.

Академия наук Грузинской ССР

Институт горной механики

им. Г. А. Цулукидзе

(Поступило 13.7.1978)

საბაზო დაზუავება და გამდიღება

ლ. მახარაძე

საპარო ხუფების მუშაობის ეფექტურობაზე გადამყვანი

გადროსირებელი მიღყელების გავლენის შესახებ

რეზიუმე

საპარო ხუფების მუშაობის ეფექტურობას საგრძნობლად აღიდებს გადამყვანი მაღროსირებელი მიღყელები. ექსპერიმენტულად დადგენილია, რომ ამგვარი მიღყელის ოპტიმალურ ფორმას წარმოადგენს მოძრაობის მიმართველების თანხვდენილი კონუსი შეეჭროებული და ვაფართოებული ნაწილების დიამეტრების ფართობით $\frac{d}{D} = 0,25—0,4$. მიღებულია მაღროსირებელ მიღყელში წნევის კარგვის საანგარიშო ემპირიული ფორმულა.

EXPLOITATION OF DEPOSITS AND CONCENTRATION

L. I. MAKHARADZE

ON THE EFFECT OF A TRANSITIONAL THROTTLING BRANCH PIPE ON THE OPERATION EFFICIENCY OF AIR-HYDRAULIC ACCUMULATORS

Summary

Transitional throttling branch pipes considerably enlarge the operation efficiency of air-hydraulic accumulators. The optimum form of branch pipes has been experimentally determined to be a convergence cone with the diameter ratio of the narrowed and widened parts $\frac{d}{D} = 0.25—0.4$. An empirical formula for calculating the head loss in throttling branch pipes has been derived.

А. З. КАНДЕЛАКИ, Г. Г. ГВЕЛЕСИАНИ, В. Г. РЦХИЛАДЗЕ,
Т. Д. АБАШИДЗЕ, Г. Г. ГЕГИАДЗЕ, И. Г. ТКАЧЕНКО

ВЫРАЩИВАНИЕ МОНОКРИСТАЛЛОВ СоO В ДУГЕ ПОСТОЯННОГО ТОКА И ИХ ИССЛЕДОВАНИЕ

(Представлено академиком Ф. Ф. Тавадзе 28.4.1978)

В настоящей статье изложены данные по выращиванию монокристаллов СоO методом, который основывается на направленном транспорте электродного материала в электрической дуге постоянного тока [1]. Представлены рентгенография выращенных монокристаллов и результаты измерений некоторых электрофизических характеристик.

Сущность данного метода выращивания и установка, на которой проводились эксперименты, подробно описаны в работах [2, 3]. Использовались как металлические (Co), так и керамические (CoO) электроды.

Из-за положительного значения свободной энергии Гиббса нитридообразования кобальта опыты проводились на воздухе.

Следует отметить специфику выращивания монокристаллов СоO при использовании металлического катода. В этом случае в ходе процесса наблюдается изменение количества и формы расплава на катоде. Этот факт обусловливает нарушение стабильного температурного режима термического источника и влечет за собой возникновение темпе-

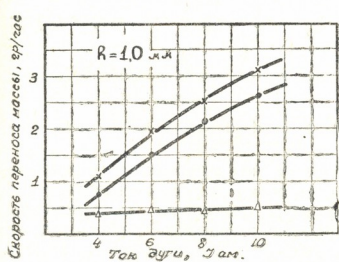


Рис. 1. Зависимость скорости переноса массы от тока дуги при зазоре между электродами 1,0 мм: X — убыль веса катода; ● — прибыль веса на аноде; △ — потери

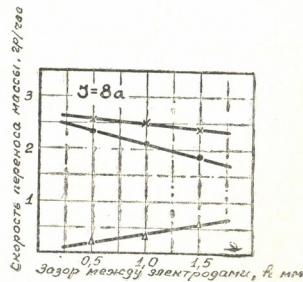


Рис. 2. Зависимость скорости переноса массы от зазора между электродами при силе тока 8 ам: X — убыль веса катода; ● — прибыль веса на аноде; △ — потери

ратурных флуктуаций на фронте кристаллизации. Следствием этого является кристаллизация слитка, который состоит из нескольких монокристаллических блоков, ориентированных в различных направлениях.

При использовании керамических электродов электрическая дуга отличается высокой стабильностью и способствует выращиванию качественного кристалла.



На рис. 1 и 2 даны зависимости скорости переноса массы с катода на анод от тока дуги и зазора между электродами при использовании керамического катода для одного из режимов выращивания. Видно, что с повышением силы тока дуги увеличивается скорость роста монокристалла, при этом потери практически остаются постоянными. С ростом зазора между электродами уменьшается прибыль веса на аноде (скорость роста монокристалла), тогда как убыль веса катода остается постоянной. В этом случае потери возрастают.

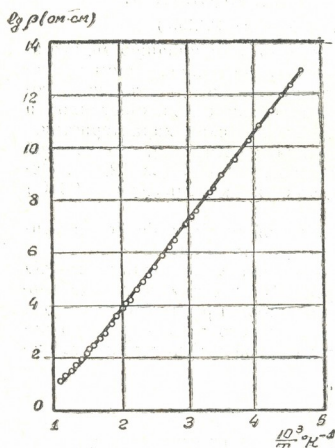


Рис. 3. Зависимость электросопротивления от температуры

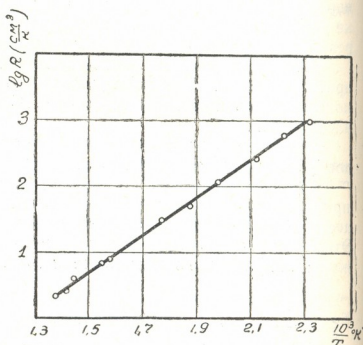


Рис. 4. Зависимость постоянной Холлата температуры

В настоящее время дать какое-либо объяснение механизму процесса весьма затруднительно.

Полученные кристаллы CoO подвергались рентгеновским исследованиям, которые заключались в определении монокристалличности и совершенства кристаллической структуры. Образцы исследовались фото- (при помощи лаузграмм) и дифрактометрическим методами. Лаузграммы получали на установке УРС-60 с использованием камеры РКСО. Трубка БСВ-4С₄, экспозиция 2 часа.

Выращенные с использованием керамического катода кристаллы CoO содержат одно монокристаллическое зерно с незначительными периферийными вкраплениями зерен гораздо меньших размеров. Плоскостью скола является кристаллографическая плоскость (100) на которой отсутствуют линии сдвига. Равномерный рельеф поверхности скола делает возможными измерения параметра кристаллической решетки монокристалла по отражению от плоскости (511), незначительно отклоненной от плоскости скола. Измерения параметра кристаллической решетки проводились на дифрактометре ДРОН-1 с использованием монохроматизированного изогнутого по Иогансону монохроматора LiF излучения CuK_α в режиме $V_a = 25-30$ кв, $J_a = 10-12$ ма,

с входной щелью счетчика 0,1 мм. Измерения дали значения $a=4,261(3)$ Å ($\pm 0,0005$ Å).

Дополнительная проверка совершенства кристаллов CoO заключалась в записи вышеупомянутого отражения (511) на дифрактометре и в снятии лауэграмм от плоскости скола. Четкое разделение дублета на дифрактометре, малая полуширина пиков, четкость и точечность дифракционных пятен на лауэграмме указывают на удовлетворительное совершенство структуры полученных кристаллов.

Электрофизические свойства выращенных кристаллов CoO исследовались при постоянном токе в постоянном магнитном поле обычным компенсационным методом с использованием потенциометра Р-308 с фотоэлектрическим усилителем Ф-305, обеспечивающим чувствительность по напряжению 10^{-7} в. Установка позволяет проводить одновременные измерения электросопротивления и эффекта Холла в зависимости от температуры. Электросопротивление рассчитывалось по величине падения напряжения между зондовыми электродами, э. д. с. Холла определялась при различных направлениях тока и поля с целью исключения неэквипотенциальности холловских зондов, термо-э.д.с и термогальваномагнитных явлений.

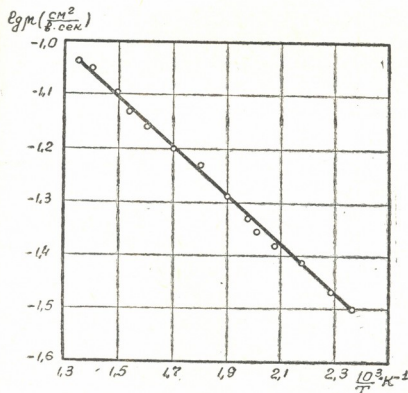


Рис. 5. Зависимость подвижности носителей тока от температуры

Образцы, вырезанные из средней части монокристалла, имели вид параллелепипеда размером $12 \times 3 \times 0,8$ мм³. На них наносилась пластиновая паста, позволяющая сводить к минимуму контактные э.д.с. в местах прижима зондов к образцу. Результаты измерений приведены на рис. 3—5. Характер зависимости электросопротивления от температуры указывает на полупроводниковый вид проводимости (рис. 3). Отрицательный температурный коэффициент постоянной Холла свидетельствует о повышении концентрации носителей тока (в данном случае дырок) с температурой (рис. 4). Подвижность носителей тока с ростом температуры увеличивается незначительно (рис. 5).

Полученные результаты подтверждают зонный механизм проводимости монокристаллов CoO шириной запрещенной зоны $\Delta E = 0,65$ эв,

высчитанной по формуле $\Delta E = -\frac{2K}{0,43} \operatorname{tg} \varphi$, где K—постоянная Больцмана, а φ —угол наклона прямой на графике $\lg \frac{1}{\rho} = f \left(\frac{1}{T} \right)$ (рис. 3).

Академия наук Грузинской ССР

Институт металлургии

(Поступило 28.4.1978)

მისამართი

ა. პანძელაძი, გ. გველისძანი, ვ. რცხილაძი, თ. აბაშიძე, გ. გეგიაძე,
ი. ტკაჩევიძე

მუდმივი დენის ელექტრულ რკალზი CoO მონოკრისტალების
გაზრდა და მათი კვლევა

რეზიუმე

შესწავლითა მუდმივი დენის ელექტრულ რკალში მასალის გადატანის მეთოდით კობალტის ჟანგის მონოკრისტალის მიღების შესაძლებლობა. დაგენილია ზრდის ოპტიმალური პირობები და მოყვანილია ტექნოლოგიური პარამეტრები აღნიშნულის მისამართებული.

ჩატარებულია რენტგენოსტრუქტურული კვლევა და გამოთვლილია გისლის მუდმივა.

ზოგიერთი ელექტროფიზიკური მახასიათებლის ტემპერატურულ დამოკიდებულებათა გაზომვით დამოუმებულია CoO მონოკრისტალების ელექტროგამტარებლობის ზონური მექანიზმი.

METALLURGY

A. Z. KANDELAKI, G. G. GVELESIANI, V. G. RTSKHILADZE,
T. D. ABASHIDZE, G. G. GEGIADZE, I. G. TKACHENKO

GROWTH OF SINGLE CRYSTALS OF CoO IN A D. C. ELECTRIC ARC AND THEIR INVESTIGATION

Summary

The possibility of obtaining single crystals of cobalt oxide by the method of material transfer in a d. c. electric arc has been studied.

The optimum condition of growth and technological parameters for solving the problem have been established.

X-ray diffraction study has been carried out and the lattice constant measured.

The values of temperature dependence of some electrophysical characteristics confirms the zonal mechanism of conductivity of single crystals of CoO.

ლიტერატურა — ЛИТЕРАТУРА — REFERENCES

1. I. R. Drable, A. W. Palmer. J. Appl. Phys., vol. 37, № 4, 1966, 1778—1780.
2. В. Г. Рцихладзе, Г. Г. Гвелесиани, А. З. Канделаки, В. Ш. Кавтарацзе. Сообщения АН ГССР, 62, № 3, 1971, 641—644.
3. Г. Г. Гвелесиани, В. Г. Рцихладзе, А. З. Канделаки. Изв. АН СССР, сер. «Неорганические материалы», т. II, № 10, 1975, 1852—1855.

ა. ვაჟალოშვილი

სხვადასხვა ტიპის ტერასების ღილონ - და
მნიშვნელოვანი განვალები

(წარმოადგინა აკადემიის წიგრ-კოუსპონლენტმა გ. შეკაბაძამ 5.6.1978)

ფერდობების ტერასებად ათვისებისათვის ჯერ კიდევ გამოყენებულია საგზაო და მელიორაციული ტიპის შეცვაბამო მანქანები — ბულდოზერები და ტერასიორები T-3, T-4 და სხვ. მათი სახელმწიფო გამოცდის შედეგები არა-დამაკმაყოფილებელია, აქეთ უარყოფითი მნარევები, რომელთაგან ძირითადია დიდი წევითი წინაღობა, შესაბამისად დიდი გაბარიტული ზომები და წონა, ცუდი მანქანირება, დაბალი მწარმოებლობა, მარვის სიძნელე, ტექნიკური უსაფრთხოების დაუცველობა.

აღნიშნული მანქანებით შეუძლებელია ნიადაგის ზედა სასარგებლო ჰუ-მუსოვანი ფენის შენარჩუნება. ის იყრება ფერდობის ქვედა მხარეზე, მცენარისათვის გამოუსადეგარ ადგილზე.

მანქანათა დიდი გაბარიტული ზომების გამო შეუძლებელია ვიწრო ტერასების მოწყობა, რის გამოც იძულებული ვხდებით ვაკეთოთ ფართვაკი-სიანი ტერასა ნიადაგის დედაქანების ხარჯზე. ასეთ ტერასებზე საგრძნობლად ფერხდება მცენარის ზრდა-განვითარება. შესრულებული სამუშაოს ხარისხი მეტად დაბალია, შეუძლებელია სასურველი დახრილობის ან სწორი ზედაპირის შექმნა, დამატებითი იარაღების (ტექნოლოგიური პროცესების) გამოყენების გარეშე.

აგრეგატის დიდი წონისა და ზედმეტი წევითი წინაღობის გამო მეტად გადატევირთულია ტრაქტორის ძრავი და სავალი ნაწილი, რის გამოც აგრეგატები მაღალ ფუჭდება.

აღნიშნულის შედეგად ფერდობის დატერასების ლირებულება მეტად ძვირია.

ქ. ამირეგიბის სახელობის სოფლის მეურნეობის მექანიზაციისა და ელექტრიფიკაციის სამეცნიერო-კვლევით ინსტიტუტში შექმნილია ტერასორწყობის ახალი ეფექტური ტექნიკური საშუალებანი.

ტერასების ცალკეული სახეები და მისი შესაბამისი აგრეგატის შედგენილობა მოყვანილია ცხრილის პირველ გრაფაში.

ახლად შექმნილი ტექნოლოგიური პროცესების უპირატესობის დადგენის მიზნით გამოანგარიშებულია ცალკეულ ტექნოლოგიურ პროცესებზე მოსული ლითონ- და ენერგოშემცველობის სიდიდეები.

ლითონშემცველობას, კგ/ჸაზე გავინგარიშებთ ცნობილი ფორმულით

$$M = \frac{G_m \frac{D_1}{D_r} + G_{tp} \frac{D_1}{D_{tp}}}{WK \operatorname{tg} D_1},$$



სადაც G_m მანქანის წონაა, კგ; D_1 — სამუშაოს შესრულების აგროვალები, დღეები; D_r — მანქანის წლიური დატვირთვა, დღეები; G_{Tp} — ტრაქტორის წონა, კგ; D_{Tp} — ტრაქტორის წლიური დატვირთვა, დღეები; W — აგრეგატის მწარმოებლობა სუფთა მუშაობისას, ჰ/სთ; K — ცვლის გამოყენების კოეფიციენტი; t_g — მუშაობის ხანგრძლივობა სამუშაო დღეში, სთ.

ენერგოშემცველობა $\frac{\text{ც. ძ. სთ}}{\text{ჰა-ზე}}$ გაანგარიშებულია ფორმულით

$$F_0 = \frac{N_{\text{აფ}}}{W_0},$$

სადაც $N_{\text{აფ}}$ არის აგრეგატის ეფექტური სიმძლავრე ც. ძ. სთ; W_0 — აგრეგატის მწარმოებლობა ცვლაში, ჰ/სთ.

აღნიშნული ფორმულებით მიღებული სიდიდეები, ტერასმოწყობის ცალკეული პროცესების შესაბამისად, დაყვანილია ტერასების სახეებამდე.

ცხრილში დამატებით მოყვანილია სიდიდეები, გაანგარიშებული ერთ ჰა ტერასის ვაკისზე, ე. ი. დაყვანილი სასარგებლო ფართზე. მდგრად, სასარგებლო ფართის გამოსავლის შესაბამისად, სამუალება გვეძლევა წარმოდგენა ვიქინოთ დატერასების ამა თუ იმ ტექნოლოგიური პროცესის ეკონომიკურ ეფექტურობაზე.

სხვადასხვა ტიპის ტერასის მოწყობის ლითონ- და ენერგოშემცველობის მაჩვენებლები

ტერასების სახეები და აგრეგატის შემაღენლობა	ლითონშემცველობა. კგ/ჰა				ენერგოშემცველობა ც. ძ. სთ/ჰა			
	სასარგებლო ფართზე	სასარგებლო ფართზე	სასარგებლო ფართზე	ს უ ლ	სასარგებლო ფართზე	სასარგებლო ფართზე	სასარგებლო ფართზე	ს უ ლ
ხნული მიკროტერასების მოწყობა გუ- თან-ტერასიორით (თვლიანი ტრაქტორი T-82 K+გუთანი ПИ 3-35)	719 1510	35 73	163 344	917 1927	10006 21065	796 1680	2053 4310	12855 27055
ხნული ტერასების მოწყობა გუთან-ტერა- სიორით 3 ტ. ძ. კლასის ტრაქტორზე (ДТ-75 М+გუთანი ПИ 4-35)	648 1270	22 43	165 312	835 1345	10023 19447	388 760	2625 5150	13036 25357
საფეხურებიანი ტერასების მოწყობა აქ- ტიურ მუშაორგონებიანი ტერასიორით 3 ტ. ძ. კლასის ტრაქტორზე, ტერასის ვა- კისზე ჰუმუსოვანი ფენის შენარჩუნებით (კოდმე ვარტიკალურია)	500 545	101 109	181 197	782 851	7209 7950	1333 1452	2625 2990	11167 12392
საფეხურებიან ტერასების მოწყობა პა- სურ მუშაორგონებიანი ტერასიორით (ტრაქტორი T-130+უნივერსალური ბულ- დოზერი D-492 A)	712 1113	227 360	267 424	1206 1897	10006 15882	3792 6190	3069 4860	16867 26932

შენიშვნა: მრიცხველში ნაჩვენებია მნიშვნელობები ერთ ჰა ფერდობის დატერასებაზე, მნიშვნელში—შესაბამისად ერთ ჰა ტერასის ვაკისზე.

ცხრილში აღნიშნული მასალების ანალიზიდან შეგვიძლია ზოგადად დავა-
სკვნათ, რომ ენერგო- და ლითონშემცველობის დიდი წილი (ყველა ტიპის ტე-

რასისათვის) მოღის მოსამზადებელ სამუშაოებზე, შედარებით ნაკლებია ტერასის ვაკისის გაკულტურებაზე, ხოლო ყველაზე მცირე — უშუალოდ ტერასის მოწყობაზე.

ლითონშემცველობა ტერასის სახეების შესაბამისად მოსამზადებელ სამუშაოებზე შეადგენს 719; 648; 500 და 712 კგ/ჰა-ზე. იგივე ტერასის ვაკისის სასარგებლო ფართზე გადაანგარიშებით შეადგენს 1510; 1270; 545 და 1113 კგ/ჰა-ზე.

ამდენად, ამ ბოლო მაჩვენებლებიდან შევვიძლია დარწმუნებით ვთქვათ, რომ ყველაზე მცირე ლითონშემცველობით ხასიათდება აქტიურ მუშაორგანებიანი ტერასიორით მოწყობილი ტერასები, რომლის ლითონშემცველობა სასარგებლო ფართზე არ აღმატება 5:5 კგ/ჰა-ზე, მაშინ როცა ეს სიდიდეები შესაბამისად ტოლია 1510; 1210 და 1113 კგ/ჰა-ზე.

უშუალოდ დატერასებაზე ეს სიდიდეები შეადგენს 35; 22; 101 და 227 კგ/ჰა-ზე. ამ შემთხვევაში ლითონშემცველობა აქტიურ მუშაორგანებიანი ტერასიორზე თითქოს გადიდლა სხვებთან შედარებით, მაგრამ აქ მთავრი ფაქტორს წარმოადგენს დატერასებული ფართობის სასარგებლო ფართი, სადაც ეს მაჩვენებლები ასე გამოიყურება: 73; 43; 109 და 360 კგ/ჰა-ზე.

ტერასის ვაკისის გაკულტურებაზე ლითონშემცველობის შედარებითი მაჩვენებლები ასე გამოიყურება: 163; 165; 181 და 267 კგ/ჰა.

თუ ხნული ტერასების მოწყობა გუთან-ტერასიორით მოსამზადებელ სამუშაოებზე საჭიროებს ლითონშემცველობას 719 კგ/ჰა-ზე, ის დატერასებაზე არ აღმატება 35, ხოლო ტერასის ვაკისის გაკულტურებაზე ის ტოლია 173 კგ/ჰა-ზე.

მაშასადამე, დარწმუნებით შეიძლება ითქვას, რომ ტერასმოწყობა არ მოითხოვს ძნელსა და მძიმე სამუშაოებს, ძირითადია ნაკვეთების დასატერასებლად მსაშაბადებელი სამუშაოები და ტერასების ვაკისების გაკულტურების ღონისძიების გატარება.

ასეთივე გზით თუ გავაანალიზებთ ტერასმოწყობის ცალკეულ სახეებს მისთვის საჭირო ენერგოშემცველობის მიხედვით, თანმიმდევრობა თითქმის იგივე იქნება.

შეიძლება ერთი ლოგიკური დასკვნის ვაკეთება: ყველა შემთხვევაში ტერასმოწყობა პასიურ მუშაორგანებიანი აგრეგატით, უნივერსალური ბულდოზერით ანუ ამჟამად არსებული ტექნოლოგია, როგორც ლითონშემცველობის, ისე ენერგოშემცველობის ოვალსაზრისით, საგრძნობლად ნაკლებებებით რია, დიდი ლითონ- და ენერგოშემცველობისაა და ამდენად შესრულებული სამუშაოს ლირებულებაც შესაბამისად გაზრდილია.

ფერდობებზე მომუშავე აგრეგატები უნდა იყოს კომპაქტური და მცირე წონისა. როგორც კვლევა გვიჩვენებს, ტერასების მოწყობა უკეთს აგროფონზე შესაძლებელი ყოფილა მცირე სიმძლავრის აგრეგატებითაც კი.

ძველი ტექნოლოგია და ტექნიკური საშუალებანი (პირველი გრაფის მე-4 პუნქტი) სრულად ვერ პასუხობს აგრომოთხოვნებს და შეიძლება ითქვას, რომ ერთგვარ ზიანს იყენებს ფერდობების რაციონალურად ათვისების საქმეს.

ამდენად, ის უნდა შეიცვალოს უფრო დახვეწილი და მეცნიერულად დასაბუთებული ტექნოლოგიური პროცესით.

დარწმუნებით შეიძლება ითქვას, რომ ღიერისათვის გაგვაჩნია ყოველმხრივ გამოკვლეული და საველე პირობებში შემოწმებული ტერასმოწყობის რაციო-



ნალური ტექნოლოგია და შესაბამისი ტექნიკური საშუალებანი, როგორც აქტიური, ისე პასური მუშაორებანოებით.

მათი ურთიერთშერწყმა და ფართო მასშტაბით გამოყენება დიდ სარგებლობას მოუტანს სამთო მეურნეობის შემდგომ ამაღლებას.

საქართველოს სსრ სოფლის მეურნეობის
მექანიზაციისა და ელექტროფიციიის
სამეცნიერო-კვლევითი ინსტიტუტი

(შემოვიდა 7.7.1978)

МАШИНОВЕДЕНИЕ

А. П. ВАШАЛОМИДЗЕ

СРАВНИТЕЛЬНЫЕ ПОКАЗАТЕЛИ МЕТАЛЛО- И ЭНЕРГИЧАСТЬЩЕННОСТИ ТЕРРАС РАЗЛИЧНЫХ ТИПОВ

Резюме

Рассмотрены вопросы технологии сооружения террас, сравнительными показателями которых выявлено, что наилучшим вариантом является сооружение террас террасером с активными рабочими органами, металлоемкость которого 2—3 раза меньше по сравнению с другими агрегатами, предназначенными для сооружения террас.

MACHINE BUILDING SCIENCE

A. P. VASHALOMIDZE

COMPARATIVE INDICES OF METAL- AND POWER SATURATION OF VARIOUS TYPES OF TERRACES

Summary

The paper presents scientifically substantiated data on the metal- and power saturation of various terrace types involving both passive and active working members.

Four different techniques of terrace making are considered; their comparison has shown that the best variant is one involving a terracer with active working members the metal volume of which is 2 to 3 times less than other tools designed for making terraces.

ლიტერატურა — ЛИТЕРАТУРА — REFERENCES

1. Сб. „Методика определения ценностей сельскохозяйственных машин“. М., 1965.
2. Сб. „Экономическая эффективность новых сельскохозяйственных машин“. М., 1965.
3. Н. С. Власов. Методика экономической оценки с/х техники. М., 1968.
4. В/О „Союзсельхозтехника“—Каталог тракторов и с/х машин. М., 1975

М. Д. АСАТИАНИ, З. С. ТАВАРТКИЛАДЗЕ, Р. И. ЦЕРЕТЕЛИ

ВОЗМОЖНОСТИ ОПТИМИЗАЦИИ РЕЖИМОВ РЕЗАНИЯ НА ФРЕЗЕРНЫХ СТАНКАХ С ЧИСЛОВЫМ ПРОГРАММНЫМ УПРАВЛЕНИЕМ

(Представлено членом-корреспондентом Академии Т. Н. Лоладзе 8.6.1978)

Исследования, а также опыт отечественной и зарубежной практики показывают, что оптимизация режимов обработки на металлорежущих станках вообще, а на фрезерных станках с числовым программным управлением (ЧПУ) в особенности возможна при создании качественных автоматических (адаптивных) систем управления (САУ) процессом резания.

Кафедрой технологий машиностроения Грузинского политехнического института им. В. И. Ленина совместно с Тбилисским научно-исследовательским институтом средств автоматизации была разработана и внедрена в производство программируемая адаптивная система предельного регулирования по мощности резания для фрезерных станков с ЧПУ.

В период внедрения адаптивной системы на черновых и полуточочных операциях нами была разработана методика определения уставочных значений мощности резания и диапазона регулирования скоростью подачи, обеспечивающая различную степень оптимизации процесса концевого фрезерования сложных деталей. Эта методика заключается в следующем. По конкретным деталям устанавливаются характерные схемы фрезерования концевыми фрезами. Для этих схем по литературным данным или экспериментально (например, планированием экспериментов) устанавливается зависимость между мощностью и элементами режима фрезерования данного обрабатываемого материала:

$$N = C_N \cdot t^{x_N} \cdot S_z^{y_N} \cdot B^{z_N} \cdot Z^r N \cdot D^q N \cdot V^p N. \quad (1)$$

На конкретной детали обозначаются участки по схемам резания. На этих участках выбираются прямолинейные отрезки, где значительные колебания случайных факторов имеют наименьшую вероятность. Статистическими измерениями на этих отрезках заготовок детали определяется максимально вероятная глубина резания $t_{\text{пр}}$. Далее, на отрезке сперва устанавливается предельная, так называемая ломающаяся подача на зуб ($S_{z \text{ лом}}$). Эта подача для фрезы данной конструкции может быть рассчитана [1] или определена экспериментально. С нужной гарантией устанавливается максимально допустимая подача на зуб $S_{z \text{ max}} < S_{z \text{ лом}}$. В нормативах находятся соответствующая этой подаче скорость резания и число оборотов шпинделя. По зависимости (1) рассчитываются мощность резания и соответствующие силы резания на данном отрезке. Теоретически или по нормативам в дальнейшем проводится поверочный расчет по жесткости системы станок-приспособление-инструмент-деталь (СПИД) и определяется макси-



мальная стрела прогиба закрепленной в шпинделе консоли концевой фрезы. Если стрела прогиба фрезы значительна и не обеспечивает нужной точности обработки, величина $S_{z \max}$ снижается до нужного уровня. Таким образом, будут назначены режимы максимальной производительности обработки данного отрезка контура детали. Этим режимам и соответствует уставное значение мощности резания $N_{уст}$ адаптивной системы. При перегрузках на этом участке вследствие изменения случайных и неслучайных факторов (глубины резания, твердости, криволинейного перехода, увеличения угла контакта на сопряжениях участка и др.) адаптивная система так будет регулировать скорость подачи, что мощность резания, а следовательно, и точность обработки по всему участку контура будут одинаковыми, причем инструмент будет гарантирован от поломок из-за отсутствия перегрузок.

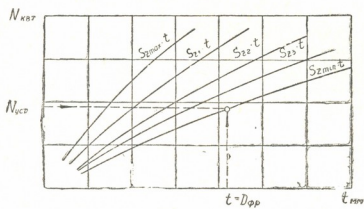


Рис. 1

Для выполнения этого следует правильно определить минимальное значение подачи на зуб $S_{z \min}$ или нижнее предельное значение диапазона регулирования подачи. Значение $S_{z \min}$ можно получить аналитически из зависимости (1) при постоянных значениях $N_{уст}$, B , Z , D и n для различных сочетаний $S_z \cdot t$.

Проиллюстрируем это графически.

На рис. 1 представлено изменение мощности резания от глубины резания при различных значениях подачи на зуб. Например, при фрезеровании только цилиндрической частью концевой фрезы максимально возможная глубина резания, как известно, равняется диаметру фрезы. На оси ординат откладывается рассчитанное $N_{уст}$, а на оси абсцисс — максимально возможная глубина $t = D$. На пересечении находится $S_{z \min}$ (см. рис. 1). Может оказаться, что на данном участке максимально возможная глубина резания будет гораздо меньше D , тогда диапазон регулирования соответственно сузится. Такие этапы назначения режимов следует провести для каждой схемы (по каждому участку) обработки контура детали. Это даст программу ввода уставных значений мощности, максимальных подач на участках и определит общий диапазон регулирования скоростью подачи [2].

Анализ ожидаемых результатов по производительности обработки и стойкости режущего инструмента вышеизложенной методикой назначения режимов резания с применением адаптивной системы можно провести по кривой зависимости стойкость-подача.

На рис. 2 представлена характерная, немонотонная зависимость $T = f(S_z)$, где различают значения (соответственно и режимы) максимальной производительности, минимального расхода инструмента и экономической стойкости (T_{\max} , T_{\min} и $T_{ек}$). Вышеизложенная методика, как видно из рис. 2, позволяет охватить режимы (и стойкость) с минимальными экономическими затратами. Если обрабатываемая деталь несложная и на контуре этой детали преобладают прямолинейные отрезки, то резание будет осуществляться преимущественно с максимальной производительностью. Известно, что при обработке на станках с ЧПУ режимы минимальных затрат обработки (экономические) близки

к режимам максимальной производительности в связи с дороговизной как самих станков, так и их эксплуатации. Следовательно, при преобладании на контуре детали прямолинейных отрезков он будет обрабатываться приблизительно экономическими режимами (и стойкостью) резания. В случае преобладания на детали сложных, криволинейных участков режимы резания будут меньше экономических. Но экономи-

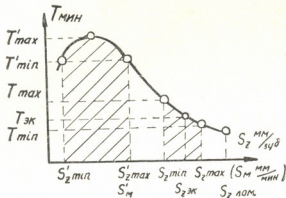


Рис. 2

ческая эффективность применения адаптивной системы все же будет существенной за счет повышения срока службы инструмента (стойкости), возможности достижения высокой точности обработки и исключения последующих уточняющих операций (получистовых или доводочных), а также за счет значительного упрощения программирования и сокращения самих программ.

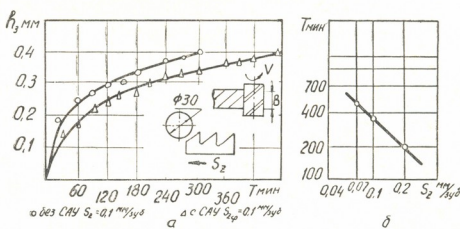


Рис. 3

Последнее заключение было проверено специальными экспериментами в лаборатории, а также в производственных условиях. На рис. 3,а представлена экспериментальная зависимость износ-время при фрезеровании цилиндрической частью концевой фрезы контура, имитирующего значительные колебания припуска. Как видно из рис. 3,а, стойкость инструмента после применения адаптивной системы повысилась в 1,45 раза при существенном улучшении точности обработки. Выяснилось, что при условии одинаковой стойкости фрезы из экспериментально полученной зависимости (рис. 3,б)

$$T = \frac{C_1}{S_z^x} = \frac{72,6}{S_z^{0,8195}}, \quad (2)$$

на данном контуре можно адаптивной системой осуществлять $S_{zp} = 0,16 \text{ мм/зуб}$, что, со своей стороны, даст повышение производительности обработки на 60%. В производственных условиях при обработке конкретных деталей наличие более сложных схем фрезерования позво-



лило повысить производительность обработки на 25%, но стойкость инструмента увеличилась на 80%. Кроме того, повысилась точность обработки так, что можно было исключить получистовую операцию, а программа обработки сократилась почти на 1/3. Все это дало экономический эффект более 3 тысяч рублей в год на каждый станок.

Иногда обрабатываемые на фрезерных станках с ЧПУ детали имеют такие габариты, что резание продолжается в течение нескольких часов и инструмент даже на заниженных режимах изнашивается или выкрашивается, теряет необходимую стойкость и может стать причиной брака. В таких случаях назначение режимов нужно провести следующим образом. Сперва надо установить максимально допустимую подачу по выкрашиванию $S'_{z \max}$ инструмента с соответствующим $N'_{\text{уст}}$ (рис. 2) и n' (зависимость (1)). Эти значения следует уточнить по зависимости $T = f(S_M)$, которая графически имеет такой же вид, что и кривая зависимости $T = f(S_z)$. Уточнение заключается в том, что находится такое произведение стойкости и скорости подачи ($T'_{\min} \cdot S'_M$), которое больше или равно длине обрабатываемого контура (эквидистанты) детали. Это сразу же позволит найти диапазон $S'_{z \max} = S'_{z \min}$ (если отмеченное произведение близко к экстремуму).

Следовательно, использование несложной и надежной программной адаптивной системы граничного регулирования с применением разработанной методики оптимизации режимов резания на фрезерных станках с ЧПУ эффективно почти во всех случаях равномерной обработки деталей сложной конфигурации.

Грузинский политехнический институт

им. В. И. Ленина

(Поступило 15.6.1978)

მანანათავოდეობა

ა. ასათიანი, გ. თავარტკილაძე, რ. ცერეტელი

შროს რეზიმების ოპტიმიზაციის უსაძლებლობანი ციფრული

პროგრამული მართვის საფრენი ჩარჩობები

რეზიული

რეზული კონფიგურაციის დეტალების დამუშავებისას ციფრული პროგრამული მართვის საფრენი ჩარჩობები ჭრის რეჟიმების ოპტიმიზაციის საშუალებას იძლევა ზღვრული რეგულირების პროგრამული ადაპტური სისტემა, რომელიც ვ. ი. ლენინის სახელობის საქართველოს პოლიტექნიკურ ინსტიტუტში შეიქმნა თბილისის ავტომატიზაციის საშუალებათა სამეცნიერო-კვლევით ინსტიტუტთან ერთად.

MACHINE BUILDING SCIENCE

M. D. ASATIANI, Z. S. TAVARTKILADZE, R. I. TSERETELI
THE POSSIBILITIES OF OPTIMIZATION OF THE CUTTING
CONDITIONS ON NC MILLING MACHINES

Summary

The numerical and adaptive control system of constraint regulation developed at the Georgian Polytechnic Institute in collaboration with Tbilisi Scientific Research Institute of the Means of Automation permit optimization of the cutting conditions under machining workpieces of complicated shapes on the NC milling machine.

ლიტერატურა — ЛИТЕРАТУРА — REFERENCES

- Развитие науки о резании металлов. М., 1967.
- Д. С. Гаприндашвили и др. Доклады Всесоюзного научного симпозиума «Проблемы создания и внедрения высокопроизводительного режущего инструмента с пониженным содержаниемвольфрама». Тбилиси, 1977.



ЭЛЕКТРОТЕХНИКА

Г. В. ВАДАЧКОРИЯ

НОМИНАЛЬНОЕ НАПРЯЖЕНИЕ ПЕРВИЧНОЙ ОБМОТКИ ТРАНСФОРМАТОРА, ИСПОЛЬЗОВАННОГО В СХЕМЕ ПАРАМЕТРИЧЕСКИХ ИСТОЧНИКОВ ТОКА

(Представлено членом-корреспондентом Академии [К. М. Барамидзе] 1.6.1978)

Рассмотрим параметрический источник тока (ПИТ) по двухузловой, трехлучевой схеме и допустим, что стабилизация тока нагрузки происходит в первой ветви, а во вторую и третью ветви включены преобразующие элементы (дрессель и конденсатор) с равными по величине реактивными сопротивлениями $x_2 = x_3 = x$. Пусть \dot{I}_k — комплекс действующего значения тока в ветви k ($k=1; 2; 3$), комплексное сопротивление которой равно Z_k , \dot{E}_k — комплекс действующих значений э. д. с., той же ветви.

В [1] показано, что при трехлучевом исполнении можно построить шесть вариантов схемы ПИТ, стоимость которых в основном определяется стоимостью преобразующих элементов.

На основе выражения (1) из [2] можно определить токи в преобразующих элементах, что дает возможность мощности конденсатора Q_C и дресселя Q_L представить в следующем виде:

$$Q_C = \frac{E_{23}^2}{x} \cdot \left[a_1^2 + \left(\frac{z_1}{x} \right)^2 - 2 \cdot \frac{z_1}{x} \cdot a_1 \sin(\varphi_1 - \theta_1) \right], \quad (1)$$

$$Q_L = \frac{E_{23}^2}{x} \cdot \left[a^2 + \left(\frac{z_1}{x} \right)^2 + 2 \cdot \frac{z_1}{x} \cdot a \cdot \sin(\varphi_1 - \theta) \right]. \quad (2)$$

Из того же уравнения [2] для тока нагрузки имеем

$$I_1 = \frac{E_{23}}{x}. \quad (3)$$

В вышеприведенных выражениях $Z_1 = z_1 \exp(j\varphi_1)$ — комплекс сопротивления нагрузочной ветви ПИТ. θ и θ_1 — углы опережения векторов $\dot{E}_{12} = \dot{E}_1 - \dot{E}_2$ и $\dot{E}_{31} = \dot{E}_3 - \dot{E}_1$ относительно вектора $\dot{E}_{23} = \dot{E}_2 - \dot{E}_3$; $a = E_{12}/E_{23}$; $a_1 = E_{31}/E_{23}$; $E_{12} = |\dot{E}_1 - \dot{E}_2|$; $E_{23} = |\dot{E}_2 - \dot{E}_3|$; $E_{31} = |\dot{E}_3 - \dot{E}_1|$.

Особый интерес представляет поведение схемы ПИТ при включении сопротивления нагрузки через трансформатор напряжения. В данном случае z_1 представляет собой входное сопротивление этого трансформатора.

Обозначим через U_H и S_H напряжение первичной обмотки и мощность трансформатора в номинальном режиме его работы. Тогда, согласно (3), трансформатор будет развивать номинальную мощность ($S_H = U_H I_1$), если сопротивление преобразующих элементов будет равным:

$$x = \frac{E_{23}}{S_H} \cdot U_H. \quad (4)$$

Для напряжения первичной обмотки трансформатора при любом режиме его работы имеем

$$U_T = I_1 z_1 = \frac{E_{23}}{x} \cdot z_1,$$

откуда

$$\frac{z_1}{x} = \frac{U_T}{E_{23}} = n \cdot K, \quad (5)$$

где

$$n = \frac{U_T}{U_H} \text{ и } K = \frac{U_H}{E_{23}}. \quad (6)$$

С учетом (5), выражения (1) и (2) можно переписать в виде

$$Q_C = S_H \cdot \left[\frac{a_1^2}{K} + n^2 \cdot K - 2 \cdot a_1 \cdot n \cdot \sin(\varphi_1 - \theta_1) \right], \quad (7)$$

$$Q_L = S_H \cdot \left[\frac{a^2}{K} + n^2 \cdot K + 2 \cdot a \cdot n \cdot \sin(\varphi_1 - \theta) \right]. \quad (8)$$

Очевидно, что для всех шести вариантов схемы в качестве расчетного следует принимать номинальный режим ($n=1$) мощности нагружочной ветви. Поэтому для исключения недоиспользования преобразующих элементов в номинальном режиме сопротивления нагрузки необходимо, чтобы $Q_{C(n=1)} \geq Q_{C(n)}$ и $Q_{L(n=1)} \geq Q_{L(n)}$, которые с учетом (7) и (8) дают соответственно

$$K \geq \frac{2 \cdot a_1 \cdot \sin(\varphi_1 - \theta_1)}{1 + n}, \quad (9)$$

$$K \geq -\frac{2 \cdot a \cdot \sin(\varphi_1 - \theta)}{1 + n}. \quad (10)$$

Выполнение указанных условий при $n=n_0 \leq 1$, обеспечивает их соблюдение при любых больших значениях $n > n_0$. Поэтому следует принимать

$$K \geq \frac{2 \cdot a_1 \cdot \sin(\varphi_1 - \theta_1)}{1 + n_0}, \quad (11)$$

$$K \geq -\frac{2 \cdot a \cdot \sin(\varphi_1 - \theta)}{1 + n_0}, \quad (12)$$

причем, под n_0 понимается отношение напряжения на первичной обмотке трансформатора при минимальном режиме сопротивления нагрузки к номинальному первичному напряжению этого трансформатора.

Полученный результат означает, что в случае, когда

$$a_1 \cdot \sin(\varphi_1 - \theta_1) > -a \cdot \sin(\varphi_1 - \theta), \quad (13)$$

в качестве базисного следует принимать условие (11), в противном случае — условие (12).

Обозначим расчетные величины, входящие в выражения (11) и (12), через a_p и θ_p ; при этом $a_p = a_1$ и $\theta_p = \theta_1$, если при заданном значении φ_1 соблюдается условие (13), в противном случае $a_p = a$ и $\theta_p = \theta$. Тогда для расчетного значения K можно написать

$$K = \frac{2 \cdot a_p \cdot |\sin(\varphi_1 - \theta_p)|}{1 + n_0} + \alpha, \quad (14)$$

где

$$\alpha \geq 0. \quad (15)$$

Относительное значение суммарной установленной мощности преобразующих элементов в расчетном режиме работы преобразователей будет

$$q = \left(\frac{Q_L + Q_C}{S_H} \right)_{n=1}. \quad (16)$$

Исследование выражения (16) на экстремум для значения коэффициента α , при котором суммарная установленная мощность преобразующих элементов будет минимальной, дает

$$\alpha = \sqrt{\frac{a^2 + a_1^2}{2}} - \frac{2 \cdot a_p \cdot |\sin(\varphi_1 - \theta_p)|}{1 + n_0}. \quad (17)$$

На основе (17) условие (15) принимает вид

$$n_0 \geq \frac{\sqrt{8} \cdot a_p \cdot |\sin(\varphi_1 - \theta_p)|}{\sqrt{a^2 + a_1^2}} - 1. \quad (18)$$

Согласно (15), в выражении (14) значение α по (17) следует принимать при соблюдении условия (18), в противном случае $\alpha=0$. Следовательно, при соблюдении условия (18)

$$K = \sqrt{\frac{a^2 + a_1^2}{2}}$$

и для номинального напряжения первичной обмотки трансформатора имеем

$$U_H = K \cdot E_{23} = E_{23} \cdot \sqrt{\frac{a^2 + a_1^2}{2}}. \quad (19)$$

В противном случае

$$K = \frac{2 \cdot a_p |\sin(\varphi_1 - \theta_p)|}{1 + n_0}$$

и

$$U_H = 2 \cdot E_{23} \cdot \frac{a_p |\sin(\varphi_1 - \theta_p)|}{1 + n_0}. \quad (20)$$

Таким образом, приведенные расчетные соотношения позволяют установить номинальное напряжение первичной обмотки трансформатора при условии, что суммарная установленная мощность преобразующих элементов в схеме ПИТ будет минимальной.

Варианты ПИТ	α	a_1	θ^0	θ_1^0	E_{23} [1]
1	1	1	120	240	E_{23}
2	$1/\sqrt{3}$	$1/\sqrt{3}$	150	210	E_{23}
3	$\sqrt{3}$	1	150	300	E_2
4	1	$\sqrt{3}$	60	210	E_3
5	1	0	180	—	E_2
6	0	1	—	180	E_3



Для иллюстрации использования приведенной методики установления номинального напряжения трансформатора предположим, что трехфазная система э. д. с. симметрична. В данном случае основные расчетные величины приведены в таблице.

Рассмотрим пятый вариант схемы ПИГ. В этом случае, с учетом данных таблицы, условие (13) принимает вид $\sin \varphi_1 < 0$. Следовательно, для пятого варианта схемы $a_p = a_1$ и $\theta_p = \varphi_1$, если $\sin \varphi_1 < 0$, в противном случае $a_p = a$ и $\theta_p = \theta$. При этом, если $a_p = a_1$ и $\theta_p = \varphi_1$, всегда соблюдается условие (18) и для номинального напряжения первичной обмотки трансформатора, с учетом (19), имеем $U_{H5} = E_2 / \sqrt{2}$. Согласно (18), такой же результат получается при $a_p = a$ и $\theta_p = \theta$, если $n_0 \geq \sqrt{8} \cdot |\sin \varphi_1| - 1$; в противном случае, согласно (20)

$$U_{H5} = \frac{2E_2 |\sin \varphi_1|}{1 + n_0}.$$

Аналогично можно установить номинальное напряжение первичной обмотки трансформатора, использованного в других вариантах схемы параметрических источников тока.

Грузинский политехнический институт
им. В. И. Ленина

(Поступило 2.6.1978)

© 1980 ГИТР

გ. ვადაჭკორია

პარამეტრული ღენის ჟყაროს სიმძგაში გამოყენებული
ტრანსფორმატორის პირველადი გრადიუსის
ნომინალური კაბები

რეზოუმე

მოცემულია მეთოდიკა ტრანსფორმატორის პირველადი გრადიუსის ნომინალური ძაბვის დადგენისათვის იმ შემთხვევაში, როცა პარამეტრულ ღენის წყაროსა და დატვირთვის შორის შუალედი რგოლის სახით გამოყენებულია ონიშნული ელემენტი.

ELECTROTECHNICS

G. V. VADACHKORIA

RATED VOLTAGE OF THE PRIMARY WINDING OF THE TRANSFORMER USED IN PARAMETRIC CURRENT SOURCE CIRCUITS

Summary

The value of rated voltage of primary winding of the transformer used in parametric current sources has been determined, such that the total installed capacity of transforming members in source circuits is minimum.

ЛІТЕРАТУРА — REFERENCES

1. А. К. Котия, Г. В. Вадачкория. Сообщения АН ГССР, 83, № 3, 1976.
2. А. К. Котия, Г. В. Вадачкория, Г. Л. Чиковани. Труды ГПИ, № 1, 1976, 183.

АВТОМАТИЧЕСКОЕ УПРАВЛЕНИЕ И ВЫЧИСЛИТ. ТЕХНИКА

К. Ю. КОТЛЯРЕНКО

ОБ УСКОРЕНИИ ПРОЦЕССА ИСПОЛЬЗОВАНИЯ ПРОГРАММ
РАСЧЕТА ЭЛЕКТРОННЫХ СХЕМ

(Представлено членом-корреспондентом Академии В. К. Чичинадзе 23.5.1978)

Применение ручных методов расчета электронных схем неизбежно связано с рядом серьезных упрощений и допущений. При этом снижается точность получаемых расчетов, а также уменьшается их универсальность в смысле применяемости их к расчету сколько-нибудь широкого класса схем, так как каждая новая схема требует создания новой, специфичной для нее расчетной методики.

Машинные методы выгодно отличаются от ручных гораздо большей точностью и универсальностью. При машинном расчете работа инженера с физической моделью-макетом заменяется работой с математической моделью схемы.

Оценку машинных программ следует производить с точки зрения точности, экономичности, универсальности и мощности. Экономичность — это затраты времени на подготовку данных и на решение. Универсальность — это способность программы решать ряд классов задач расчета схем. Под мощностью понимается наибольшая сложность рассчитываемых схем.

Здесь мы коснемся вопросов уменьшения трудоемкости подготовки данных и, как следствие, уменьшения затрат времени на этот этап машинного расчета.

Исходное описание схемы для автоматического расчета с помощью ЭВМ выполняется на специальном, входном языке. Исчерпывающие сведения о конфигурации схемы дает список ветвей, причем каждая строка — предложение списка — включает обозначение природы ветви, номера узлов, между которыми эта ветвь включена, а также номинал данной ветви [1]. То есть

$$\Phi_i = \{KBi, Hi, Y1i, Y2i, HOMi\},$$

где $KBi = \{E, C, R, L, J\}$ — код природы ветви, $HOMi$ — номинал элемента, Hi — номер ветви, $Y1i$, $Y2i$ — номера узлов, между которыми включена ветвь.

Здесь E — источник ЭДС; C — емкость; R — резистор; L — индуктивность; J — источник тока.

Недостаток программ расчета заключается в том, что они требуют описание схемы, придерживаясь указанного порядка перечисления ветвей [2], что несколько замедляет кодирование данных и, как следствие, влияет на экономичность программы.

Закодированные таким образом данные вместе с номиналами вспомогательных величин (время расчета, точность и т. д.) вводятся в ЭВМ. Условием правильной работы программ является так называемые

«неправильные размещения» [3]. В случае рассмотрения программ, предназначенных для расчета интегральных переключательных схем, которые содержат в основном RC -элементы, различают емкостные неправильные размещения и резистивные неправильные размещения [2, 3].

Емкостное неправильное размещение устраниется включением в контур емкостной хорды резистивной ветви с сопротивлением, мало влияющим на режим работы схемы [3].

Резистивное неправильное размещение устраниется включением в резисторное сечение дополнительной емкостной ветви величиной, мало влияющей на режим схемы [3].

Процесс устранения неправильных размещений очень трудоемок для пользователя, вероятность появления ошибок резко увеличивается. Существующие программы расчета устраниют простейшие неправильные размещения, но это сильно усложняет программу и увеличивает время расчета за счет появления в системе уравнений математической модели схемы, которая формируется автоматически, дополнительных уравнений [3].

Поэтому, несмотря на возможности программ, стараются устранять неправильные размещения вручную. Ниже приведена блок-схема алгоритма, с помощью которого ЭВМ автоматически устраниет неправильные размещения типов, перечисленных выше. Алгоритм также упорядочивает ветви согласно приоритету, отмеченному ранее.

На рис. 1 обозначены следующие блоки:

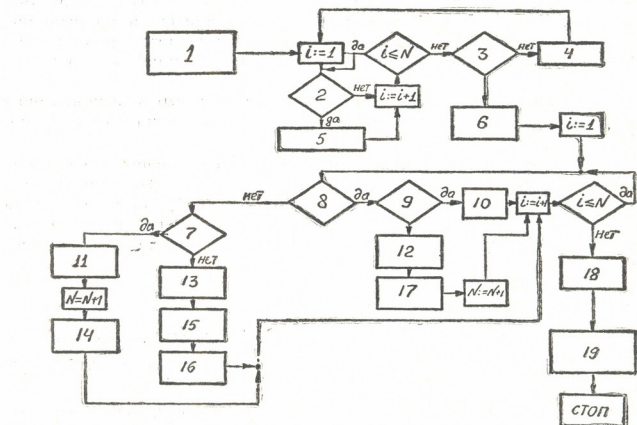


Рис. 1. Блок-схема алгоритма: N — количество ветвей исходного формуляра, i — параметр циклов

1. Ввод формуляра.
2. Проверка, соответствует ли код рассматриваемой ветви требуемому по приоритету.
3. Проверка, все ли коды перебраны.
4. Рассматривать следующий по приоритету код.

5. Занесение данной ветви во вновь формируемый формулляр.
6. Поиск максимального номера узла эквивалентной схемы NN .
- 7 и 9. Проверка, рассматриваемая ветвь резистивная или нет.
8. Проверка, совпадают ли начальный и конечный узлы рассматриваемой ветви.
10. Отнесение данной ветви к списку хорд.
11. Найдено очередное резистивное неправильное размещение.
12. Найдено очередное емкостное неправильное размещение.
13. Отнесение данной ветви к списку ребер.
14. Дополнительно включается емкость параллельно i -й ветви.
15. Замыкание данной ветви, т. е. конечному узлу ее присваивается значение начального.
16. Замена всех номеров узлов, совпадающих с концом замыкаемой ветви, на номер начала замыкаемой ветви.

17. Дополнительно включается резистор между узлом начала неправильно размещенной ветви и дополнительно порожденным узлом NN , а неправильно размещенная ветвь — между узлами своего конца и узлом NN .

18. Выбор номиналов дополнительно включенных элементов.
19. Выбор заново сформированного формуллятора на перфокарты или запись на магнитную ленту.

Величины добавочных элементов берутся из инструкций пользователя. При отсутствии последних они принимаются равными 1 пФ для емкости и 1 Ом для резисторов.

Работа данного алгоритма заключается в следующем. После ввода формуллятора организуется цикл, в котором просматриваются ветви формуллятора и переписываются во вновь создаваемый формулляр, придерживаясь приоритета E , C , R (в случае RC схем).

Далее, в новом цикле, используя процедуру выделения нормального графа [1], перебираются ветви формуллятора и найденные неправильные размещения устраняются способом, описанным выше.

Необходимо отметить, что дополнительное время, требуемое на анализ неправильных размещений, устранение их и расчет схемы с дополнительными элементами несравненно меньше, чем в случае решения дополнительных алгебраических уравнений при наличии неправильных размещений.

Программа, реализующая данный алгоритм и написанная на языке «ФОРТРАН», показала работоспособность и перспективность его использования.

(Поступило 26.5.1978)

БЪЛГАРСКАНА УНИВЕРСИТЕТНА МАГИСТРАЛА И ДИПЛОМАТИЧНА АКАДЕМИЯ

д. дипломна работа

ОЦЕНКА ТЕХНОЛОГИИ
СЕЛЕКЦИИ СААБОВЫХ
ЗАРУБЕЖНЫХ

А. Б. ЧОУМЕ

Задача построения оптимальных селекционных схем для выведения новых сортов сельскохозяйственных культур является актуальной и важной. Для решения этой задачи необходимо использовать методы математической оптимизации. В данной работе предложен метод, основанный на использовании алгоритма генетического программирования. Алгоритм генетического программирования позволяет находить оптимальные селекционные схемы, минимизирующие затраты на производство и максимизирующие выход качественных признаков. Алгоритм генетического программирования имеет ряд преимуществ перед традиционными методами оптимизации, такими как линейное программирование и дифференциальное исчисление. Алгоритм генетического программирования более гибкий и способен находить оптимальные селекционные схемы в сложных условиях, когда традиционные методы могут не работать. Алгоритм генетического программирования также может быть использован для решения других задач оптимизации, таких как оптимизация производственных процессов, оптимизация инженерных конструкций и т. д.

K. Y. KOTLYARENKO

ON THE ACCELERATION OF THE PROCESS OF THE USE OF
ELECTRONIC CIRCUIT COMPUTATION PROGRAMMES

S u m m a r y

The paper deals with the problems of accelerated data preparation with the use of computer programmes of electronic circuits. In particular the problem of automatized elimination of incorrect arrangement in RC circuits is discussed. The advantage of the suggested algorithm is demonstrated and a detailed block diagram adduced.

ЛІТЕРАТУРА — REFERENCES

1. И. П. Норенков и др. Машинный расчет элементов ЭВМ. М., 1976.
2. И. П. Норенков. Радиоэлектроника, XVI, 1973.
3. Б. И. Белов, И. П. Норенков. Расчет электронных схем на ЭЦВМ. М., 1971.

ПОЧВОВЕДЕНИЕ

Т. Ф. УРУШАДЗЕ, Н. Л. БЕРУЧАШВИЛИ

**ОСОБЕННОСТИ ИЗУЧЕНИЯ ПОЧВ КАК КОМПОНЕНТОВ
ГОРНО-ЛЕСНЫХ БИОГЕОЦЕНОЗОВ**

(Представлено академиком В. З. Гулисашвили 7.7.1978)

Почве как одному из важных компонентов уделяется особое внимание при изучении лесных биогеоценозов (БГЦ). Существующие программы и методы почвенно-биогеоценотических исследований включают обширный объем исследований морфологического изучения почв, их физических и физико-химических свойств и режимных процессов. Анализ существующего достаточно обширного материала по изучению почв лесных БГЦ показывает, что он достаточно репрезентативен в основном для установления генетической природы исследуемых почв. Подобная подробность и тщательность изучения почв БГЦ, вместе с тем, не обеспечивают «эквивалентную» изученность почв как компонентов БГЦ, т. е. не дают представления о почве как динамичном «блоке» БГЦ. Таким образом, потоки веществ и энергии, входящие и выходящие из почвенного блока и связью своей с другими блоками (в смысле компонентов БГЦ) обеспечивающие функционирование почвы как компонента БГЦ, по сути дела не изучались. Однако известно, что исследование БГЦ подразумевает изучение структуры и функциональной характеристики. Совершенно ясно, что в силу традиционности классических почвенных исследований весь накопленный материал касается структуры БГЦ.

Трудности изучения функциональной характеристики почв БГЦ связаны с необходимостью установления обязательного минимума исследований и уточнения выражения полученных данных в сходных единицах, характеризующих потоки других блоков БГЦ. Постановка этой задачи имеет свои особенности в горно-лесных БГЦ в силу известной специфики горных почв. Эти почвы являются в основном зеркалом биогеоценотического метаболизма. В горных почвах отмечаются заниженность информативности консервативных признаков и повышенная информативность мобильных признаков. Подобное положение позволяет при сравнительной характеристике отдельных БГЦ поставить вопрос о сокращении объема исследований по изучению структуры, в особенности консервативных показателей, и акцентировать внимание на изучении мобильных свойств. Возникает вопрос о повторностях проведения почвенных исследований и о том, что вообще изучать в почве как компоненте БГЦ.

Как видно, при изучении почв как компонентов БГЦ целесообразнее вести исследования, приуроченные к определенным состояниям БГЦ — так называемым стексам. Такие состояния были детально исследованы на Марткопском стационаре ТГУ. Там в экосистемах лугостепей выделяются 11 стексов: стабилизации летней структуры, создания, усложнения структуры, дождливые, установившегося снежного покрова при отрицательных темпераурах (снежные мороз-

ные состояния), беснежные безморозные стабилизации зимней структуры и некоторые другие.

При изучении конкретного функционирования и поведения БГЦ наибольший интерес представляют те параметры почвы, которые позволяют сравнить ее с остальными компонентами БГЦ. К этим параметрам относятся те, которые можно «вынести за скобки» при характеристике БГЦ. Каждый компонент БГЦ имеет свои специфические свойства. Этими свойствами он отличается от других компонентов. Что же объединяет эти компоненты? Какими однозначными характеристиками можно, например, описать растительность и почвы?

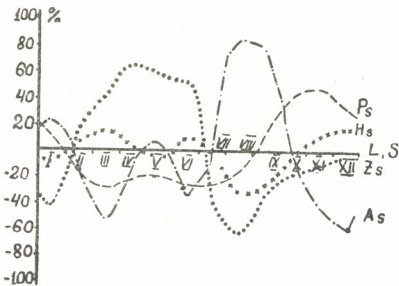


Рис. 1. Среднегодовая динамика основных массовых показателей в почвах БГЦ пологих склонов с лугово-степной растительностью

К общим параметрам в первую очередь относятся ландшафтно-геофизические и ландшафтно-геохимические характеристики. Все компоненты БГЦ без исключения можно охарактеризовать следующими параметрами: 1) метрические характеристики (длина, ширина, высота, площадь, объем); 2) временные характеристики (возраст, характерное время, продолжительность существования, частота); 3) масса и ее круговорот; 4) внутренняя энергия и ее изменение; 5) трансформация солнечной энергии и энергии силы тяжести; 6) параметры структуры (количество и сложность структурных единиц); 7) параметры состояния (температура, влажность и др.); 8) оптические характеристики (цвет, спектральная отражательная способность). Список этих ландшафтно-геофизических параметров можно было бы более детализировать, однако на современном этапе не всегда удается выполнить и эту программу. Поэтому при полустационарных исследованиях (проводимых на Марткопском и стационаре Тбилисского института леса) исследуются лишь метрические характеристики, масса, параметры структуры и состояния. Остальные параметры требуют либо длительных стационарных исследований (трансформация энергии, оборот массы), либо специальных приборных наблюдений (спектральная отражательная способность) или же могут быть рассчитаны на основе других параметров. Как видно из вышеприведенного списка, в эти параметры не включены ландшафтно-геохимические характеристики и специфичные для каждого компонента признаки — рН, гумус, емкость поглощения, видовой состав растений и животных и т. д.

Как же меняются некоторые из этих параметров во времени?

На Марткопском стационаре в БГЦ пологих склонов с лугово-степной растительностью на коричневых почвах были изучены динамика аэромассы (As), гидромассы (Hs), педомассы (S), фитомассы (Ps), зоомассы (Zs) и литомассы (L) в течение нескольких лет в почве. Представление о среднегодовой динамике этих масс дает рисунок, на котором на оси абсцисс приведены месяцы года, а на оси ординат — отклонения от среднемноголетних данных масс в %. Лито- и педомассы, естественно, не испытывают сезонной динамики. Наибольшей динамике подвержены аэромассы и зоомассы. Из рисунка ясно видно, что распределение мобильных признаков в вертикальном профиле почвы резко отлично в различные сезоны года. Возникает вопрос, нельзя ли по сочетанию этих мобильных признаков каким-то образом дифференцировать подземную толщу БГЦ, так же как и надземную толщу.

Анализ изучения почв различных БГЦ показывает, что разные БГЦ с резко отличными процессами биогеоценотического метаболизма могут иметь в отдельные годы практические сходные в функциональном плане подземные части вертикального профиля БГЦ. Таким образом, в почвенном слое БГЦ следует выделять специфические слои — геогоризонты, характеризующиеся определенным соотношением различных геомасс и вообще мобильных признаков. В пределы отдельного геогоризонта почвы попадает почвенная толща с одинаковым соотношением массовых показателей. Геогоризонты отличаются от генетических горизонтов. Последние выделяются на основе консервативных параметров, а геогоризонты — на основе мобильных признаков. Генетические горизонты являются стабильными в течение года, и, таким образом, они не связаны с текущим функционированием БГЦ и почвы как компоненты БГЦ, тогда как геогоризонты меняются в течение года и четко реагируют на различные изменения функционирования. Генетические горизонты почвы невозможно сравнить с остальными компонентами БГЦ, например с растительностью и ее ярусами. В то же время геогоризонты почвы можно сравнить с геогоризонтами надземной части вертикального профиля, которые выделены по той же методике, что и в почве.

Тбилисский институт леса

Тбилисский государственный университет

(Поступило 7.7.1978)

ნიადაგთაცოდნეობა

თ. ურუაძე, ნ. ბირუაზილი

ნიადაგების როგორც მთა-ტყის ბიოგეოცენოზების
კომპონენტების შემცირების უზრუნველყოფის

რეზიუმე

ნიადაგების როგორც მთა-ტყის ბიოგეოცენოზების კომპონენტების შემცირების დროს მობილური თვისებები უნდა განისაზღვროს ბიოგეოცენოზების გარკვეული მდგომარეობის — ე. წ. სტექსების დროს. ნიადაგის პროცესი საჭიროა გამოვყოთ გეოპორტჩონტები, რომლებიც უმრავლეს შემთხვევებში არ ემთხვევან გენეტიკურ ჰორიზონტებს.

T. F. URUSHADZE, N. L. BERUCHASHVILI

CHARACTERISTICS OF THE STUDY OF SOILS AS COMPONENTS
OF MOUNTAIN-FOREST BIOGEOCOENOSES

Summary

In dealing with the title problem the mobile features of mountain soils should be determined as components of biogeocoenotic conditions, or so-called 'stacks'. It is advisable to isolate geo- rather than genetic horizons in soil cross-section for the former change throughout the year due to their involvement in processes of biocoenotic metabolism.



БОТАНИКА

В. Х. ГУЛМАГАРАШВИЛИ

НОВЫЕ ВИДЫ АФИЛЛОФОРОВЫХ ГРИБОВ ДЛЯ МИКОФЛОРЫ ГРУЗИИ

(Представлено академиком Н. Н. Кецховели 12.5.1978)

В результате обработки микологического материала, собранного в 1967—1977 гг. на территории Грузии, установлено, что 9 видов и 2 формы являются новыми для мицофлоры Грузии. В статье дан их систематический список, где для каждого вида отмечены латинское название, синонимы, субстрат и место нахождения.

Corticium sublaeve Bres. — Кинтришский государственный заповедник. Лиственный лес, на валеже в ольшаннике (1000 м н. у. м.), 7. IX. 77 г. [1, 2].

Corticium teutoburgense Brinkm.—Тбилисский ботанический сад. На коре иудина дерева (450 м н. у. м.), 7.14.77г. [1,2].

Thelephora terrestris (Ehrenb.) Fr.-*Phylacteria terrestris* (Ehrh. ex Fr.) Pat.—Местийский район, ущелье р. Долра. Елово-пихтовый лес, на валеже в ельнике (2000 м н. у. м.), 31. VIII. 1976 г. .

Stereum radiatum Peck = *Boreostereum radiata* (Peck) Parm. — Местийский район, ущелье р. Местия-Чала. Лиственный лес, на коре ольхи (1800 м н. у. м.), 18. VIII. 76 г.

Phlebia merulioideae Parmasto — Чаквское ущелье. Лиственный лес, на коре ольхи (1100 м н. у. м.), 10. IX. 77 г. [3—5].

Ganoderma applanatum (Pers.) Pat. f. *australe* (Fr.) Pil.-*Ganoderma australe* (Pat.) Bond. et Sing. — Батумский и Сухумский ботанические сады, IX. 77 г. [6].

Polystictus tomentosus Fr.= *Polyporus tomentosus* Fr. — Местийский район, Загарский хребет. На почве в елово-пихтовых лесах (2000 м н. у. м.), 15. VII. 76 г. [7].

Phellinus ribis (Fr.) Quel. f. *quercus* Bourd. et Galz.—Душетский район, с. Недзихи. Дубово-грабовый лес, на корнях дуба (900 м н. у. м.), 7. II. 77г.

Clavariadelphus truncatus (Quel.) Donk= *Clavaria truncata* Quel.—Местийский район. На почве в елово-пихтовых лесах (1800 м н. у. м.), 7.VII.76 г.

Clavaria argillaceae Fr. = *Clavaria subfalcata* Atk.—Цаленджихский район, Худони. Лиственний лес, на валеже в каштановом лесу (600 м н. у. м.), 15. VIII. 77г.

Cantharellus friessii Quel.—Цаленджихский район, Худони. На почве в каштановом лесу (600 м н. у. м.), 8. VII. 77г.

Академия наук Грузинской ССР

Институт ботаники

(Поступило 25.5.1978)

პოტანიკა

3. გულმაგარაშვილი

აფილოფორასენაირი სოკომბის ახალი სახეობები
საქართველოს მიკოფლორისათვის

რეზიუმე

საქართველოს სხვადასხვა რაიონში 1976—1977 წლებში შეგროვილი მიკოლოგიური მასალის დამუშავების შედეგად გამოირკვა, რომ აფილოფორასნაირი სოკოს 9 სახეობა და 2 ფორმა ახალია საქართველოს მიკოფლორისათვის. მოცემულია ამ სახეობების სისტემატიკური სია, თითოეული სახეობის ლათინური სახელწოდება, სინონიმი, სუბსტრატი, შეგროვების აღვილი და დრო.

შრომაში მოყვანილი სახეობები აღწერილი იქნა როგორც ფოთლოვან, ისე წიწვოვან ტყეში. ფოთლოვან ხეებზე აღნიშნულია 7 სახეობა, წიწვოვანებზე — 1 და ნიადაგზე — 3. აღნიშნულ სახეობებს შორის ყველაზე ხშირად გვხვდება *Ganoderma applanatum* f. *australe*, რომელიც დიდი რაოდენობითაა გავრცელებული შავი ზღვის სანაპიროზე და აავადებს ქაფურის ხეს.

BOTANY

V. Kh. GULMAGARASHVILI

NEW SPECIES OF APHYLLOPHORALES FOR GEORGIA

S u m m a r y

Nine species and two forms of aphyllophorales are described as new ones for the mycoflora of Georgia. The habitat, substratum, and the places and dates of collecting are indicated for each species.

ლიტეРАТУРА — REFERENCES

1. Э. Х. Пармasto. Определитель рогатиковых грибов СССР. М.—Л., 1965.
2. E. P a r m a s t o. Conspectus systematis corticiacearum. Tartu, 1968.
3. А. С. Бондарцев. Трутовые грибы Европейской части СССР и Кавказа. М.—Л., 1953.
4. С. Р. Шварцман. Флора споровых растений Казахстана, т. IV. Алма-Ата, 1964.
5. Н. Т. Степанова-Картавенко. Афиллофоровые грибы Урала. Свердловск, 1967.
6. В. Х. Гулмагарашвили. Автореферат канд. дисс. Тбилиси, 1977.
7. J. M a z e l a i t i s. The Aphyllophorales of the Lithuanian SSR. Vilnius, 1976.

БОТАНИКА

Г. С. ҚИКАВА, Н. В. ЧИКОВАНИ

СИНУЗИИ МХОВ В ЗАРОСЛЯХ КАВКАЗСКОГО
РОДОДЕНДРОНА

(Представлено академиком Н. Н. Кецховели 28.6.1978)

Рододендронники (декиани) представляют собой довольно оригинальные и своеобразные реликтовые ценозы, встречающиеся только на Кавказе и распространенные в основном на влажных склонах северной, западной и северо-западной экспозиций в высокогорной зоне, хотя кавказский рододендрон, как агрессивный эдификатор, встречается и на сухих местообитаниях.

Для рододендронников весьма характерны моховые группировки. В них создаются определенные экологические условия (интенсивный процесс торфонакопления, повышенная кислотность почвы, влажность и притененность), которые значительно содействуют развитию моховых синузий, образуя вместе с рододендроном более или менее сомкнутые ценозы. Как указывает Н. А. Буш [1], в рододендроновых зарослях третий ярус обычно занимают мхи и моховая синузия при сильном развитии оказывается и в первом ярусе, что приводит иногда к сильному изреживанию группировок.

Мхи являются характерными компонентами почти всех типов рододендронников. Как известно, они составляют особые синузии лесных сообществ, где часто выступают в роли доминант, имеющих важное фитоценотическое значение во взаимодействиях между основными компонентами, слагающими древостой и нижние ярусы леса.

Как один из самых распространенных типов рододендронников с мхами И. И. Тумаджанов [2] приводит *Rhododendretum hylocomiosum*. На существование сфагновых рододендронников и их распространение указывают А. И. Лесков [3], Н. А. Буш [1], К. П. Кимеридзе [4] и др.

По нашим исследованиям [5], с типологической точки зрения в формации *Rhododendreta caucasici* особое место занимает группа ассоциаций *Rhododendreta muscosa*. Из этой группы выделяются следующие ассоциации: *Rhododendretum sphagnosum*, *Rhododendretum hylocomiosum*, *Rhododendretum rhytidadelphosum*, *Rhododendretum mixtomuscosum*.

Кроме того, как типичные компоненты, мхи участвуют в следующих группировках: *Betuletum rhododendrosum*, *Rhododendretum sorbosum*, *Abietum rhododendrosum*, *Fagetum rhododendrosum*, *Rhododendretum myrtillosum*, *Rhododendretum nudum*, *Rhododendretum oxalidosum*, *Rhododendretum festucosum* и др.

На основе изучения рододендронников с моховым покровом нами была установлена некоторая закономерность распределения мхов по основным ассоциациям рододендронников (см. таблицу).



Большая роль в возобновлении рододендрона принадлежит мхам. Наряду со злаковым покровом, они являются хорошим субстратом для всходов семян рододендрона и его вегетативного возобновления, что, вероятно, привело впоследствии к их тесному фитоценотическому контакту. Из мхов наиболее содействуют возобновлению виды *Dicranum scoparium*, *Hylocomium splendens*, *Rhytidadelphus triquetrus*, *Plagiochila asplenoides* и др.

Соотношение видового состава и общего покрытия растительности в некоторых основных ассоциациях рододендронников с видовым составом и покрытием мхов

Ассоциации	Общее покрытие, %	Покрытие мхов, %	Общее число видов	Число видов мхов
<i>Betuletum rhododendrosum</i>	80—90	10—15	35—40	5—7
<i>Rhododendretum purum</i>	90—100	3—5	5	1—2
<i>Rhododendretum oxalidosum</i>	90—100	7—10	10	2—3
<i>Rhododendretum myrtillosum</i>	80—90	12—15	27—30	5—6
<i>Rhododendretum graminosum</i>	70—80	5—10	30—35	3—4
<i>Rhododendretum mixto-muscosum</i>	80—90	25—30	20—25	6—10
<i>Rhododendretum lapidosum</i>	20—30	5—7	30—35	7—8

Из основного состава мхов, встречающихся в рододендронниках, перечислим следующие виды: *Hylocomium splendens*, *Rhytidadelphus triquetrus*, *Pleurozium schreberi*, *Dicranum scoparium*, *Eurinchium striatum*, *Plagiochila asplenoides*, *Brachithecium velutinum*, *B. rivulare*, *Mnium medium*, *M. orthorhynchum*, *M. punctatum*, *M. cuspidatum*, *Pohlia cruda*, *Distichium capillaceum*, *Drepanocladus uncinatus*, *Campilium stellatum*, *Phylonotis fontana*, *Pogonatum urnigerum*, *Polytrichum alpinum*, *P. formosum*, *P. proliferum*, *Bartramia ithyphylla*, *Sphagnum girgensohnii*, *S. compactum*, *Barbilophocia hatcheri*, *Lophocolea heterophylla* и др.

Следует иметь в виду, что широкая экологическая амплитуда мохобразных является определяющим моментом в распространении видов в тех или иных условиях местообитания. В частности, синузия лесных мхов, также как и другие синузии растений сходной жизненной формы и сходных потребностей, находятся в тесной связи с окружающими их экологическими условиями, притом сходные синузии встречаются нередко в самых разнообразных фитоценозах.

При исследовании лесов Триалетского хребта с целью простейшего сравнения отдельных формаций с зарослями рододендрона на ми были получены некоторые количественные показатели путем подсчета коэффициента общности между сравниваемыми формациями по формуле Жаккара [6]. В результате самый высокий процент общих видов дали березовая формация и рододендронники — 80%, затем еловые леса с рододендронниками — 20%, субальпийские луга с рододендронниками — 10% и буковые с рододендронниками — 15%.

Общий состав видов определяется в основном видами *Hylocomium splendens*, *Pleurozium schreberi*, *Rhytidadelphus triquetrus*, *Eurinchium striatum*, *Plagiochila asplenoides*, *Dicranum scoparium* и др.

Пользуясь старыми фитоценотическими понятиями, еще П. П. Курский [7] указывал на видовую общность мохового покрова разных ассоциаций. Он писал, в частности, что «формация мхов», как

и формация высших растений, не являются обособленными одна от другой».

Кроме того, судя по анализу почвы под рододендронниками, кислотность их близко подходит по своему составу к кислотности под пологом ели. Именно это обстоятельство могло содействовать развитию синузии «хилокомиевой формации» в различных ассоциациях рододендронников и еловых формаций. Как известно, аналогичная среда под пологом разных эдификаторов способствует их флористической общности. Смещение синузий широко распространено в природе, хотя смена мохового комплекса при смене основных формаций крайне замедлена.

По А. Н. Криштофовичу [8], в третичном периоде, когда уменьшение тепла сопровождалось уменьшением влажности, многие эрикоидные, сохранив первичную вечнозеленность, из старых лиственных лесов перешли в тайгу, тунду или в высокогорный пояс. Мы считаем, что в данном процессе миграции моховой комплекс лесов, возможно, наряду с другими лесными элементами, такими как *Asperula odorata*, *Circaea lutetiana*, *Listera cordata*, *Oxalis acetosella*, *Ramischia secunda*, *Goodiera repens* и др., сохранился в рододендронниках до настоящего времени, что еще раз подтверждает соображения некоторых авторов [9, 10], считавших предшествующей формой кавказского рододендрона понтийский рододендрон или его какой-нибудь прототип, который должен был представлять в тот период лесной тип.

Академия наук Грузинской ССР
 Институт ботаники

(Поступило 7.7.1978)

გომანიკა

8. ქიქავა, ნ. ჩიკოვანი

ხავსების სინუსიები დეპიანში

რეზიუმე

ხავსები დეპიანში ფართოდ მონაწილეობენ. დეპიანში იქმნება ისეთი მიკროკლიმატი, რომელიც ხელსაყრელია ხავსების გავრცელებისათვის. ტიპოლოგიური თვალსაზრისით მეტად საინტერესო ჯგუფია *Rhododendreta muscosa*, რომელშიც ძირითად სინუსიებს ქმნას *Hylocomium splendens*, *Rhytidiodelphus triquetrus*, *Sphagnum girgensohnii*, *S. compactum* და სხვ.

HOTANY

G. S. KIKAVA, N. V. CHIKOVANI

THE MOSS SYNUSIAE IN RHODODENDRON BRUSHES

Summary

The authors have studied the moss synusiae of rhododendron brushes in the Caucasus. Natural distribution of some mosses and its phytocenological role in the rhododendron brushes have been determined.

ლიტერატურა — ЛИТЕРАТУРА — REFERENCES

1. Н. А. Буш. Труды Бот. музея АН ССР, вып. XXIII, 1931.
2. И. И. Тумаджанов. Труды Тбилисской ботанической станции, т. V, 1938.
3. А. И. Лесков. Бот. ж. ССР, 17, № 2, 1932.
4. ქ. ქ. მ. ხ. ი. ძ. თბ., ბოტ. ინსტ. გროვები, ტ. XXII, 1962.
5. ქ. ქ. მ. ხ. ი. ძ. თბ. საბ. ბოტ. სახ. მომბე, V, 1972.
6. R. Jaccard. New Phytologist, II, № 1, 1912.
7. П. Курский. Труды Бот. сада и Юрьевского ун-та, I/X, вып. 3—4, 1908.
8. А. Н. Криштофович. Материалы по истории флоры и растительности СССР, т. 2, 1941.
9. Е. Н. Синская. Бот. ж. ССР, т. 18, № 5, ч. 2, 1933.
10. Н. Н. Кузнецов. Вестник русской флоры, вып. I, т. I, 1915.



ФИЗИОЛОГИЯ ЧЕЛОВЕКА И ЖИВОТНЫХ

Н. П. МИТАГВАРИЯ, Т. Э. АДАМИЯ, К. Д. ЛАТАРИЯ

ИЗУЧЕНИЕ ДИНАМИКИ МОЗГОВОГО КРОВОТОКА ПРИ АМИЗИЛОВОЙ И СКОПОЛАМИНОВОЙ АМНЕЗИЯХ

(Представлено членом-корреспондентом Академии А. Н. Бакурадзе 26.4.1978)

В опубликованной нами ранее работе [1] было показано, что процесс обучения решению многоходовой лабиринтовой задачи всегда сопровождается ярко выраженным увеличением кровотока в коре головного мозга у белых крыс. Одновременно с выработкой «автоматизма» в поведении и уменьшением числа совершаемых ошибок выраженность указанной реакции кровотока уменьшается.

К настоящему времени тесная связь между динамикой местного кровотока в различных участках головного мозга и уровнем функциональной или метаболической активности этих участков интенсивно изучается при самых разных экспериментальных условиях, с использованием различных (количественных и качественных) методов регистрации кровотока [2—9]. Согласно этим работам, безусловно, следует считать доказанным, что местный мозговой кровоток является параметром, который весьма четко реагирует на малейшие сдвиги в функционально-метаболической активности нервной ткани (причем успех такого рода исследований во многом зависит от разрешающей способности методики, используемой для регистрации местного кровотока).

В настоящей работе мы попытались изучить динамику местного кровотока в коре у белых крыс в условиях затрудненного обучения прохождению многоходового лабиринта. Конструкция лабиринта и методика регистрации местного кровотока [10, 11] описаны нами в предыдущей работе [1]. Однако, в отличие от нее, здесь мы крысам предварительно вводили внутрибрюшинно психотропные вещества (амизил — 15 мг/кг или скополамин — 1 мг/кг). До введения указанных психотропных веществ осуществляли по одному пробному пуску животных по лабиринту, во время которого проверяли реактивность местного кровотока в теменной коре (после завершения серии экспериментов осуществляли морфологический контроль локализации регистрирующего электрода). Целью этого пуска была не только проверка нормального функционирования системы электрохимической генерации водорода (основы метода регистрации местного кровотока) и системы полярографического измерения его парциального давления, но и предварительная констатация локализации электрода. В случае, если кончик последнего попадает не в кору мозга, а, например, в дорсальный гиппокамп, при тех же экспериментальных условиях реакция местного кровотока не наблюдается.

Таким образом, убедившись, что во время поиска пути в ящик-гнездо местный кровоток в теменной коре у крыс реагирует ярко выраженным увеличением, осуществляли инъекцию указанных выше психотропных веществ. Очевидно, что при используемом нами деся-

тимостковом лабиринте при одноразовом пробном пуске крыса никак не успевает обучиться определению оптимального пути в ящик-гнездо.

Процесс обучения оценивали по измерению количества ошибок, совершаемых животными от пуска к пуску при поиске оптимальной

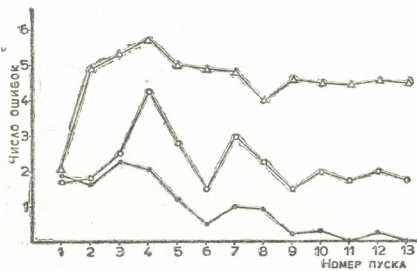


Рис. 1. Динамика процесса обучения в норме (●), при амизиловой (■) и скополаминовой (Δ) амнезиях. Каждая серия исследований проводилась на 16 крысах

траектории движения, и строили соответствующие кривые обучения. Приводимые на рис. 1 кривые показывают, что если в норме (т. е. без воздействия психотропных веществ) после 3—4-го пуска животные начинают обучаться достаточно интенсивно и уже после 5—6-го пуска в среднем совершают меньше одной ошибки, то в серии с амизиловой

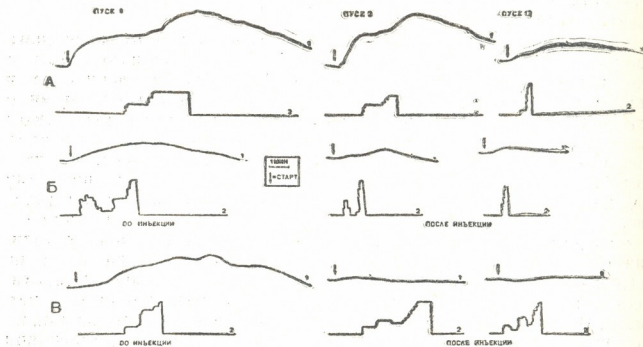


Рис. 2. Динамика местного кровотока в теменной коре у крыс (1) и траектория движения по лабиринту (2): А—в норме, Б—до и после введения амизила, В—до и после введения скополамина

амнезией этот процесс значительно затруднен, а в серии со скополаминовой амнезией вовсе отсутствует. Совпадение количества ошибок, совершаемых животными при первых пусках, вызвано тем, что на

начальном этапе обучения (2—3 пуска) экспериментатор оказывает помощь животному в нахождении оптимальной траектории движения.

В настоящей работе мы не ставили целью анализировать полученные кривые обучения. Этому вопросу посвящено большое количество литературы, и современное состояние по нему можно почерпнуть из фундаментальных исследований профессора Р. Ю. Ильюченка и его сотрудников [12, 13]. Подчеркнем еще раз лишь то, что при амизиловой амнезии животное все-таки обучается и может самостоятельно находить путь в ящик-гнездо, а при скополаминовой амнезии во всех пусках (на рис. 1 их число равно 13) экспериментатор должен был вмешаться и помочь животному найти дорогу, иначе оно могло практически бесконечно «петлять» по мосткам лабиринта.

Анализ данных по динамике местного кровотока в теменной коре мозга у крыс в норме, при амизиловой и скополаминовой амнезиях (рис. 2) показывает, что лишь при инъекции скополамина (рис. 2, В) устраняется типичная реакция местного кровотока, сопровождающая процесс решения лабиринтной задачи. Полученный факт статистически достоверен ($P < 0,05$) но, он, конечно, не позволяет делать каких-либо однозначных выводов о причинно-следственных связях. В настоящее время мы можем лишь констатировать эффект одновременного устранения реакции коркового кровотока и способности животного решать лабиринтную задачу после воздействия скополамином и считать его предметом специальных исследований.

Академия наук Грузинской ССР
Институт физиологии
им. И. С. Бериташвили

(Поступило 23.6.1978)

აფაშიანისა და ცემვალთა ფიზიოლოგია

ნ. მითაგვარია, თ. ადამია, პ. ლატარია

თავის ტვინის სისხლის მიმოცვევის ღინების უსწავლა
ამონილითა და სკოპოლამინით გამოვლენლი
აჩვენის დროს

რეზიუმე

ნაჩვენებია, რომ ლაბირინთული ამოცანის გადაწყვეტის დროს თეთრი ვირთაგვების თხემის ქერქში ადგილობრივი ნაკადი მკვეთრად იძარებს. ამინილის ინექციის შემდეგ აღნიშნული რეაქცია არ იცვლება. სკოპოლამინის ინექციის შემდეგ კი მთლიანად ქრება, ამასთან ერთად ცხოველი კრგავს ამოცანის გადაწყვეტის უნარს.

N. P. MITAGVARIA, T. E. ADAMIA, K. D. LATARIA

CEREBRAL BLOOD FLOW DYNAMICS UNDER AMNESIA INDUCED BY INJECTION OF AMYZIL AND SCOPOLAMINE

Summary

The effect of intraabdominal injection of amyzil (15 mg/kg) and scopolamine (1 mg/kg) on the process of training to pass through the multiway maze and on the local blood flow (LBF) in the rat parietal cortex was studied.

In the norm and during amnesia induced by amyzil the local cerebral blood flow dynamics was shown to be strictly correlated with the process of training (number of errors), whereas during scopolamine-induced amnesia the typical behaviour of LBF in the parietal cortex disappears (simultaneously with the loss of ability to solve the maze task).

ЛІТЕРАТУРА — REFERENCES

1. Т. Адамия, К. Латария, Н. Митагвария. Изв. АН ГССР, сер. биол., 4, № 2, 1978.
2. Е. Д. Хомская. Вопросы психологии, № 5, 1974.
3. Л. Г. Охнянская, Т. Д. Липенецкая, Е. Б. Гиречева, М. А. Никифорова. Бюлл. экспер. биол. и мед., 82, II, 1976.
4. М. М. Рыжова. Бюлл. экспер. биол. и мед., 73, № 2, 1972.
5. А. Р. Шахнович, А. Е. Разумовский, Л. С. Милованова, В. Т. Бежанов, С. Б. Дурова. ЖВНД, 24, № 2, 1974.
6. J. Risberg, D. H. Ingvar. Exptl. Brain Research., 5, 1968.
7. H. M. Serota, R. W. Gerard. J. Neurophysiol., 1, 1938.
8. J. Olesen. Brain, 94, № 4, 1971.
9. K. A. Hoessman, E. Leniger-Follert, D. W. Lubbers. Arzneim-Forsch. Drug Research, 27, № 7, 1977.
10. K. Stossek, D. W. Lubbers, N. Cottin. Pflugers Arch., 348, 1974.
11. Ю. Е. Москаленко, И. Т. Демченко, С. Б. Буров, В. Ф. Митрофанов. Физиол. ж. СССР, 60, № 4, 1974.
12. Р. Ю. Ильюченок. Фармакология поведения и памяти. Новосибирск, 1972.
13. Р. Ю. Ильюченок. Нейрохимические механизмы мозга и память. Новосибирск, 1977.

ФИЗИОЛОГИЯ ЧЕЛОВЕКА И ЖИВОТНЫХ

Д. С. ДАНЕЛИА, Д. В. ГОГИАШВИЛИ

ВЛИЯНИЕ ХОЛИНОМИТЕКОВ НА СОКРАЩЕНИЯ СЕРДЦА УЛИТКИ

(Представлено академиком В. М. Окуджава 26.6.1978)

В работах, посвященных фармакологии беспозвоночных, указывается, что у моллюсков одним из кардиорегуляторных медиаторов является ацетилхолин (АХ), вызывающий на сердце большинства исследованных видов моллюсков отрицательные ино- и хронотропные эффекты [1, 2]. В настоящей работе исследовалось влияние мускариновых и никотиновых холиномиметиков на сокращения предсердия и желудочка улитки.

Опыты проводились на изолированном препарате сердца осенних бодрствующих улиток *Helix lucorum*. Методика регистрации сокращений сердца подробно описана в работе [3]. Использовались следующие вещества: ацетилхолинхлорид, никотин, тетраметиламмоний (ТМА), метилфурметидийодид (МФ), ареколинбромгидрат, пилокарпин.

Все использованные холиномиметики, за исключением пилокарпина, уменьшали амплитуду сердечных сокращений. Сравнительный анализ влияния АХ и холиномиметиков на предсердие и желудочек показал определенное соответствие. Обычно порог чувствительности предсердия был более низким как к АХ, так и к холиномиметикам. В тех же случаях, когда предсердие было менее чувствительным к АХ, чем желудочек, оно осталось менее чувствительным и к холиномиметикам. Различие между отрицательными инотропными эффектами АХ и холиномиметиков заключалось в скорости проявления максимального эффекта данной концентрации вещества. При применении АХ эффект и восстановление наблюдались сразу же после смены растворов (рис. 1, А, 2, А). В случае же холиномиметиков эффект развивался постепенно и сохранялся до отмывания, а после отмывания исходная амплитуда восстанавливалась также постепенно (рис. 1, А и Б, 2, Б и Г).

Никотиновые холиномиметики, в отличие от мускариновых, вызывали тоническое сокращение миокарда (рис. 2, Б и В). Этот эффект наблюдается и при применении АХ, однако в этом случае требуются дозы, в несколько раз превышающие дозу, прекращающую сердечную деятельность [3]. При применении таких концентраций АХ и никотиномиметиков, которые были равноЭффективными в вызове отрицательного инотропного эффекта, тоническое сокращение развивалось только под влиянием никотиномиметиков.

Никотиновые и мускариновые холиномиметики отличались также по производству хронотропных эффектов. Мускариновые холиномиметики, за исключением пилокарпина, вызывали урежение частоты сокращений (рис. 1, А и Б). При применении околовороговых концентраций АХ и мускариномиметиков отрицательный хронотропный эффект последних был выражен слабее хронотропного эффекта АХ. С уве-

личением концентраций веществ эффект мускариномиметиков стал в большей степени и становился равным эффекту, вызываемому АХ. Более того, при применении равнозависимых (для вызова ионотропного эффекта в пределах 50—80%) концентраций АХ и мускариномиметиков отрицательный хронотропный эффект АХ на желудочке часто был выражен слабее хронотропного эффекта мускариномиметиков.

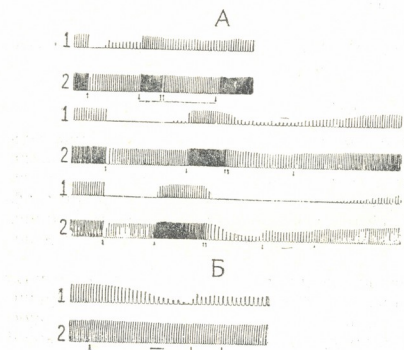
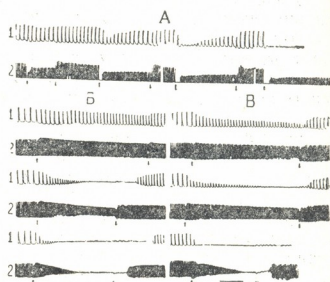


Рис. 1. Влияние мускариновых холиномиметиков на сокращения предсердия (1) и желудочка (2). Стрелка вверх — нанесение вещества, стрелка вниз — раствор Рингера. Горизонтальная линия — 1 мин: А — АХ и МФ (две стрелки). Концентрация веществ (г/мл) возрастает сверху вниз: $1 \cdot 10^{-6}$, $4 \cdot 10^{-6}$, $8 \cdot 10^{-6}$. Б — ареколин $2 \cdot 10^{-7}$

В отличие от описанного действия мускариновых холиномиметиков, никотиновые холиномиметики вызывали положительный хронотропный эффект, возрастающий с увеличением концентрации (рис. 2, Б и В).

Рис. 2. Влияние АХ (А), ТМА (Б) и никотина (В) на сокращения сердца улитки. А — концентрация (г/мл) возрастает слева направо: $8 \cdot 10^{-7}$, $1 \cdot 10^{-6}$, $2 \cdot 10^{-6}$, $4 \cdot 10^{-6}$. Б — концентрация возрастает сверху вниз: $1 \cdot 10^{-5}$, $2 \cdot 10^{-5}$, $4 \cdot 10^{-5}$, $B \cdot 4 \cdot 10^{-5}$, $6 \cdot 10^{-5}$, $1 \cdot 10^{-4}$.



На основании косвенных данных — одинакового действия МФ и ареколоина, с одной стороны, и ТМА и никотина, с другой, соответствия в разнице чувствительности предсердия и желудочка к АХ и холиномиметикам, более кругого наклона кривой зависимости «логарифм концентрации — эффект» при действии АХ и холиномиметиков на предсердие, по сравнению с аналогичными кривыми для желудочка, мы предполагаем, что как мускариномиметики, так и никотиномиметики оказывают свое влияние через холинорецептивную мембрану миокардиальных клеток. Неэффективность пилокарпина

объясняется более слабыми холиномиметическими свойствами этого вещества, по сравнению с МФ и ареколином.

Таким образом, мы предполагаем существование на сердце улитки как мускариновых ($M-XP$), так и никотиновых холинорецепторов ($N-XP$). Отрицательный хронотропный эффект АХ является результатом активации $M-XP$. Возможно, $N-XP$ обладает более высоким порогом или менее доступен для перфузируемого раствора. Во всяком случае, при нанесении АХ активация $N-XP$ маскируется активацией $M-XP$. Противоположные влияния мускариновых и никотиновых холиномиметиков на частоту сокращений указывают на то, что эти вещества изменяют проницаемость мембранны для разных ионов.

Академия наук Грузинской ССР
Институт кибернетики

(Поступило 29.6.1978)

ადამიანისა და ცხოველთა ფიზიოლოგია

დ. დავითია, დ. გოგიაზვალი

ქოლინომიმეტიკურ ნივთიერებათა გავლენა
ლოკაციის გულზე

რ ე ზ ი უ მ ა

შესწავლით ქოლინომიმეტიკურ ნივთიერებათა მოქმედება ლოკოკინის წინაგულისა და ბარკუჭის შეკუმშვაზე. მუსკარინული ნივთიერებები აიშვიათებდნენ, ხოლო ნიკოტინური ნივთიერებები ახშირებდნენ გულის შეკუმშვათა რიტმს. ორივე გულის ნივთიერებები იწვევდნენ უარყოფით ინოტროპულ ეფექტს.

HUMAN AND ANIMAL PHYSIOLOGY

D. S. DANELIA, D. V. GOGIASHVILI

THE EFFECT OF CHOLINOMIMETICS ON THE SNAIL HEART CONTRACTIONS

Summary

The effect of muscarinic and nicotinic cholinomimetics on the contraction of the auricle and ventricle of *Helix lucorum* has been studied. Muscarinic cholinomimetics evoked a negative chronotropic effect, while nicotinic ones had a positive chronotropic effect. Both groups of drugs induced a negative inotropic effect.

ლიტერატურა — ЛИТЕРАТУРА — REFERENCES

1. G. A. Cottrell, M. S. Laverack. Ann. Rev. Pharmacol., 8, 1968, 273.
2. M. I. Greenberg. Comp. Biochem. Physiol., 33, 1970, 259.
3. Д. С. Данелиа. Изв. АН ГССР, сер. биол., 3, 1977, 205.

ФИЗИОЛОГИЯ ЧЕЛОВЕКА И ЖИВОТНЫХ

Дж. М. МЕТРЕВЕЛИ

СПОНТАННАЯ БИОЭЛЕКТРИЧЕСКАЯ АКТИВНОСТЬ
ЯЙЦЕВОДОВ КРОЛЬЧИХ В ФАЗЕ ПОЛОВОГО ПОКОЯ

(Представлено членом-корреспондентом Академии Т. Н. Ониани 26.6.1978)

Как известно, спонтанная сократительная деятельность яйцеводов находится под непосредственным влиянием овариальных гормонов. Несмотря на широкую изученность влияния половых гормонов на сократительную деятельность яйцеводов, все же результаты исследований различных авторов весьма противоречивы и до сего времени по этому вопросу не существует единого мнения. Еще окончательно не установлены характерные типы спонтанных сокращений в соответствии с фазами овариального цикла. Исходя из этого, определение сократительной способности яйцеводов в клинике производится в различные периоды менструального цикла, вследствие чего полученные результаты нередко являются противоположными, а на основе неправильно поставленного диагноза также нередко проводится неправильное лечение женщин, страдающих бесплодием.

Восстановление и регуляция нарушенной сократительной функции яйцеводов немаловажную роль играют и в предупреждении возникновения внemаточной беременности.

Все это послужило нам причиной изучить в эксперименте спонтанную биоэлектрическую активность яйцеводов и тем самым установить изменения возбудимости их мускулатуры в зависимости от фаз овариального цикла. Данные исследований по этому вопросу в литературе нами не встречены.

Опыты ставили *in situ* в фазе полового покоя (в диэструсе), которую устанавливали по микроскопической картине яичников животных. Гистоморфологические исследования проводили в лаборатории патморфологии НИИ перинатальной медицины и акушерства-гинекологии МЗ ГССР.

Эксперименты проводили на 11 рожавших и 7 нерожавших пологозрелых крольчихах. О половой зрелости судили по общему состоянию, весу животных, развитию сосков и состоянию матки и яичников. В наших случаях подопытные животные были весом больше 2 кг.

Запись в изолированной камере осуществляли чернильно-пишущим устройством с помощью 16-канального электроэнцефалографа «ЭЭГУ16-02» усилителем переменного тока, а биотоки отводили константными электродами с фабричной изоляцией диаметром неизолированного кончика 200 мк. Два электрода помещали в мягкую дренажирующую полихлорвиниловую трубку диаметром 1—1,5 мм, а неизолированные кончики электродов выводили наружу из стенки у дистального конца трубки. Расстояние между кончиками электродов равнялось 5—8 мм. Подобная методика применялась при регистрации биотоков мочеточников [1]. Вводя указанную трубку под наркозом нембутала (0,15 нембутал, разведенный в 5 мл бидистиллированной



воды, в количестве 1,5 мл вводили внутривенно) через разрез брюшной стенки с ампулярного конца в полость яйцеводов, биопотенциалы отводили из различных частей при передвижении дренирующей трубы по всей длине яйцеводов. Неизолированные кончики электродов, помещенных в дренирующей трубке, всегда плотно прилегали к стенкам яйцеводов.

В некоторых опытах биотоки отводили с толщи яйцеводов, также биполярно, вкладыванием константановых электродов.

Ставится вопрос: не искажали ли дыхательные движения животного форму регистрируемых нами потенциалов действия или не отражали ли в данном случае потенциалы действия сокращения яйцеводов. Для выяснения поставленного вопроса в некоторых опытах брюшную полость мы оставляли открытой и визуально наблюдали за движением электродов в такт дыханию. Кроме того, одновременно регистрировали биотоки, механические эффекты дыхания и сокращения яйцеводов по методу Николаева—Субботина. В условиях такого эксперимента мы убедились, что движения электродов в такт дыхательным колебаниям на ЭСГ не регистрируются и не искажают обычной формы биотоков. При наличии в яйцеводах дренирующей трубы также не регистрируются сокращения яйцеводов.

Обычно в течение 1—2 часа регистрировалась фоновая биоэлектрическая активность. После окончания опыта вырезывали яичники для гистоморфологического исследования с целью установления фаз эстрального цикла.

Во всех случаях биопотенциалы отводили одновременно с ампулярных или истмических частей левого и правого яйцеводов (в 10 случаях с ампулярных, а в 8 случаях с истмических частей).

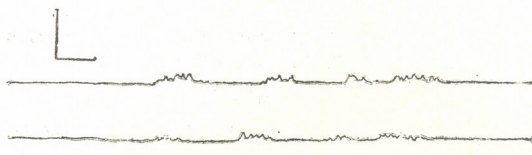
Как показали проведенные эксперименты, в фазе полового покоя, когда в яичниках полностью отсутствовали зреющие и зрелые фолликулы, в 8 случаях ампулярные и в 7 случаях истмические части яйцеводов крольчих проявляли спонтанную биоэлектрическую активность (СБА), а в 2 случаях с ампулярных и в 1 случае с истмической частей в этой же фазе эстрального цикла потенциалы действия не отводились. В этих яйцеводах гистологическим исследованием не было установлено наличие каких-либо морфологических изменений. По нашему мнению, причина неудачи заключалась в технике постановки опыта.

В фазе полового покоя периоды интенсивной биоэлектрической активности продолжались 6—7 сек, после чего наступали периоды полного покоя, длиющиеся 38—40 сек. В этой фазе эстрального цикла в периодах интенсивной биоэлектрической активности наблюдались медленные волнообразные колебания низкой амплитуды, на которых местами были нанизаны также низковольтные пикообразные колебания. Для иллюстрации приводим спонтанные электросальпингограммы (СЭГС) 1 и 2.

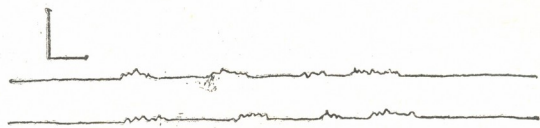
Как показывает верхняя электрограмма СЭГС 1 медленные волнообразные колебания амплитудой 5—10 мкв и продолжительностью 0,65—1,18 сек возникают нерегулярно в разные промежутки времени (через 0,52—1,18—1,3 сек), на них местами нанизаны пикообразные осцилляции высотой 5—10—15 мкв и продолжительностью 0,04—0,13 сек.

На нижней электрограмме СЭГС 1 наблюдаются медленные волнообразные колебания амплитудой 5—7—10 мкв и продолжительностью 0,52—1,18 сек. На фоне этих колебаний на различных расстояниях расположены пикообразные потенциалы действия высотой 5—

10—15 мкв и продолжительностью 0,04—0,13 сек. Медленные потенциалы действия и здесь возникают нерегулярно (через 0,59—1,3—1,43 сек).



СЭСГ 1. СБА ампулярных частей правого (верхняя электрограмма) и левого (нижняя электрограмма) яйцеводов.
Калибровка: 100 мкв, 1 сек.



СЭСГ 2. СБА истмических частей правого (верхняя электрограмма) и левого (нижняя электрограмма) яйцеводов.
Калибровка 100 мкв, 1 сек.

При записи потенциалов действия истмической части правого яйцевода (верхняя электрограмма СЭСГ 2) на электрограмме мы наблюдали медленные волнообразные колебания с амплитудой от 5 до 10 мкв и продолжительностью 0,78—1,3 сек, на фоне которых регистрировались пикообразные осцилляции амплитудой от 5 до 15 мкв и продолжительностью от 0,04 до 0,13 сек. Медленные потенциалы действия возникали в различные промежутки времени (через 0,39—1,18—1,43 сек).

С истмической части левого яйцевода (нижняя электрограмма СЭСГ 2) отводились медленные волнообразные колебания высотой 5—10 мкв через разные интервалы времени (0,65—1,3—1,43 сек) и имели продолжительность 0,65—1,3 сек. На фоне медленных волнообразных колебаний наблюдались пикообразные потенциалы действия с высотой 5—10 мкв и продолжительностью 0,04—0,13 сек.

Как показала одновременная регистрация потенциалов действия с правого и левого яйцевода (с одинаковых частей), почти всегда наблюдалась определенная асинхронность. Биопотенциалы возникали в разные промежутки времени. В 8 случаях биотоки регистрировались только с одного яйцевода и второй яйцевод в течение всего опыта при многочасовой записи потенциалов действия почти не проявлял никакой биоэлектрической активности.

Академия наук Грузинской ССР
Институт физиологии
им. И. С. Бериташвили

(Поступило 29.6.1978)

ქ. მეტრეველი

ბოცვირების პერიოდსავალთა სპონტანული გიოელექტრული
აქტივობა სესოდინი მოსვენების ფაზაში

რეზიუმე

18 ზრდასრულ ბოცვერზე მწვავე ცდის პირობებში სქესობრივი მოსვენების ფაზაში შევისწავლეთ კვერცხსავლების ბიოელექტრული აქტივობა. საერთოდ ესტრალური ციკლის ფაზებს ვაღვენთ საკვერცხეების ჰისტომორფოლოგიური გამოკვლევით.

სქესობრივი მოსვენების ფაზა ხასიათდება პერიოდული ბიოელექტრული აქტივობით. ბიოელექტრული აქტივობის პერიოდი გრძელდებოდა 6—7 წამი, რომელსაც მოჰყვება 38—40-წამიანი ბიოელექტრული სიტუაციის პერიოდი. ბიოელექტრული აქტივობის პერიოდში ალირიცხება მცირე ამპლიტუდის ნელი ტალღისებური რხევები, რომელთა ფონზეც აღნიშნება ასევე მცირევოლტიანი პიკისებური რხევები.

HUMAN AND ANIMAL PHYSIOLOGY

J. M. METREVELI

SPONTANEOUS BIOELECTRIC ACTIVITY OF FEMALE RABBIT
OVIDUCTS IN THE PERIOD OF SEXUAL QUIESCENCE

Summary

A histomorphological study was made of the spontaneous bioelectric activity of the oviducts in the period of sexual quiescence in female rabbits. *In situ* experiments were carried out on 11 parturient and 7 unparturient adult female rabbits. Recordings were made on the ink electroencephalograph «ЭЭГУ 16—02». Biocurrents were registered by means of constantan electrodes with standard insulation except for the exposed tip of 200 mk.

Diestrus was found to be characterized by periodical bioelectric activity lasting 6—7 sec, followed by periods of complete quiescence of 38—40 sec duration. In the periods of intensive bioelectric activity slow wave low amplitude oscillations were observed, with occasional low voltage spikes.

ლიტერატურა — ЛИТЕРАТУРА — REFERENCES

1. Г. И. Назариншили. Автографат докт. дисс. Тбилиси, 1973.



ФИЗИОЛОГИЯ ЧЕЛОВЕКА И ЖИВОТНЫХ

И. Д. ГЕДЕВАНИШВИЛИ, Т. И. ИОСЕБИДЗЕ

ОСОБЕННОСТИ И НЕКОТОРЫЕ ЭФФЕКТОРНЫЕ МЕХАНИЗМЫ ТЕПЛОВОЙ ГИПЕРЕМИИ В ПОСТКАПИЛЛЯРНОМ ОТДЕЛЕ КРОВЕНОСНЫХ СОСУДОВ УШНОЙ РАКОВИНЫ БЕЛОЙ МЫШИ

(Представлено членом-корреспондентом Академии А. Н. Бакурадзе 11.4.1978)

Процессы физической терморегуляции у гомойотермных организмов играют важную роль в поддержании температурного гомеостаза — одной из важнейших физиологических констант, определяющих постоянство внутренней среды организма. Поэтому изучение тепловой гиперемии, как одной из основных и наиболее эффективных форм проявления физической терморегуляции, имеет теоретическое и определенное практическое значение.

В настоящее время накоплен значительный экспериментальный материал по изучению этого сосудистого феномена [1, 2]. Однако при оценке подобных исследований приходится констатировать, что подавляющее большинство работ имеет ограниченную информативную ценность. Так, в доступной литературе отсутствует комплексная и детальная характеристика эффекторной гемодинамической структуры тепловой гиперемии в различных участках кожной сосудистой области. Исходя из этого в нашей лаборатории были проведены исследования, посвященные выяснению особенностей тепловой гиперемии в артериальном отделе ушной раковины белой мыши [1]. В настоящем сообщении излагаются данные о роли посткапиллярного комплекса ушной раковины белой мыши в формировании указанной сосудистой реакции и о некоторых ее эффекторных механизмах.

Опыты ставились на белых мышах. Методика подготовки препарата ушной раковины, особенности биомикроскопии ее сосудов и обработка экспериментальных данных подробно описаны в нашей предшествующей публикации [3].

Для воспроизведения тепловой гиперемии нами использовалась специальная камера нагрева — модификация ранее описанной [1]. Локальное дозированное воздействие на вены рядом физиологически активных веществ осуществлялось путем их микрононтофоретической аппликации в область стенки указанных сосудов (подробное описание методики см. [4]).

В посткапиллярном отделе ушной раковины белой мыши нами выделены три группы сосудов: крупные вены, вены среднего калибра и посткапиллярные венулы [4].

В первой серии экспериментов изучалось состояние просвета этих сосудов при повышении температуры в камере нагрева от 25 до 40°C. Результаты этой серии иллюстрирует приводимая ниже таблица.

Как показывает таблица, существуют определенные градации интенсивности тепловой гиперемии между рассматриваемыми типами сосудов. В порядке убывания относительной величины дилатации эти

группы сосудов можно расположить в следующей последовательности: артерии, вены среднего калибра, крупные вены. Посткапиллярные вены в описываемой реакции участия не принимают. Что касается хода реакции, то здесь четко выявились закономерность, которую можно определить как значительную «инертность» поведения вен, по сравнению с реакцией артерий. Эта особенность динамики реакции вен находит свое проявление в том, что они включаются в реакцию значительно позже артерий (вначале вены среднего калибра, затем крупные вены), медленнее достигают пика реакции и обнаруживают более длительное последействие, чем артерии. Поэтому можно констатировать, что от характера реакции вен в определенной степени зависит не только величина тепловой гиперемии, но и ее длительность — участие вен в тепловой гиперемии придает этой сосудистой реакции пролонгированный характер.

N	Типы сосудов и достоверность их различий по данному параметру	Параметры реакций			
		Величина максимального эффекта, % от исходного уровня	Латентный период, мин	Время развития до максимума, мин	Продолжительность последействия, мин
10	Крупные вены	10,3±0,8	5,2±0,6	8,7±0,5	10,5±1,1
10	Вены среднего калибра	21,1±2,2	3,0±0,4	8,3±0,5	10,6±0,4
10	Крупные артерии	42,1±0,9	1,4±0,5	6,3±0,6	5,5±0,4
10	Артерии среднего калибра	48,6±7,0	1,2±0,3	5,3±0,3	7,2±0,6
	P ₁₋₂	<0,01	<0,1	>0,05	>0,05
	P ₁₋₃	<0,01	<0,1	<0,05	<0,01
	P ₂₋₄	<0,01	<0,05	<0,01	<0,01

Вторая серия экспериментов была посвящена выяснению некоторых эффекторных механизмов, лежащих в основе наблюдаемых изменений просвета вен во время тепловой гиперемии. Поскольку в предшествующей нашей работе [3] было обнаружено наличие холинергических механизмов вазодилатации у крупных вен и вен среднего калибра, то известный интерес представляло выявление возможного участия указанных механизмов в дилатации вен в ходе тепловой гиперемии, тем более что подобная роль холинорецепции была описана ранее в отношении артерий данного органа в той же экспериментальной ситуации [1]. В этой серии исследовалась роль холинергических механизмов в реакции вен крупного и среднего калибра в процессе развития тепловой гиперемии в органе. С этой целью на фоне максимального развития сосудистой реакции в область указанных сосудов с помощью микрононтофореза вводился блокатор М-холинорецепторов — атропин (рис. 1).

Как показывает рис. 1, местное применение атропина на высоте развития тепловой гиперемии почти полностью устраивает дилатацию вен крупного и среднего калибра, вызванную повышением температуры в камере нагрева. Степень выключения атропином реакции вен обеих групп порядка 90% от максимальной величины тепловой гиперемии. Незначительная остаточная величина дилатации у вен среднего калибра

ра в ряде случаев, возможно, объясняется некоторым слабым центральным торможением импульсации по симпатическим вазоконструкторам. Что касается природы холинергических механизмов, определяю-

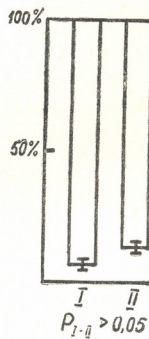


Рис. 1

щих дилатацию вен в процессе тепловой гиперемии, то они, по-видимому, нейрогенного происхождения. Об этом свидетельствует отсутствие эффекта у посткапиллярных венул, лишенных, как известно, иннервации [5].

Тбилисский государственный
педагогический институт
им. А. С. Пушкина

(Поступило 2.6.1978)

ადამიანისა და ცხოველთა ფიზიოლოგია

ი. გილვანიავილი, თ. იოსეზიძე

სიმაგრი პიკარების თავისებურებანი და ზოგიერთი
ეფექტორული მიჩანიბი თეთრი თავისი ჭრის ნიშარის
პოსტკაპილარულ უბანში

რეზიუმე

თეთრი თავისი ყურის ნიუკის პიკაპილარული უბნის სითბური პიპერების ინტენსივობა მეტადაა გამოხატული საშუალო ყალიბის ვენებში და გაცილებით სუსტად მსხვილ ვენებში. განხილულ სისხლძარღვთა რეაქციებში ვენულები არ მონაწილეობენ. გაფართოების ხარისხი პერიფერიულ ვენებში ნაკლებია, ვიდრე ერთსახელოვანი არტერიებში. სითბური პიპერების დროს ვენების გაფართოება მნიშვნელოვნად ჩამორჩება დროში ერთსახელოვანი არტერიების რეაქციას. თბობის კამერაში ტემპერატურის გაზრდის დროს კინის პერიფერიული ვენების დილატაცია განისაზღვრება ძირითადად ქოლინერგიული მექანიზმებით.

I. D. GEDEVANISHVILI, T. I. IOSEBIDZE

THE CHARACTERISTICS AND SOME EFFECTOR MECHANISMS OF
HEAT HYPEREMIA IN THE POSTCAPILLARY SECTION OF THE
HELIX OF THE WHITE MOUSE

S u m m a r y

The intensity of heat hyperemia in the postcapillary section of the helix of white mouse is most pronounced in medium-calibre veins and much less in large veins; postcapillary venules do not participate in the reaction under study. The dilatation degree of peripheral veins is less than is the case with arteries of the same name. Dilatation of veins during heat hyperemia considerably «lags behind» the reaction of the same name arteries. Dilatation of peripheral veins of the skin with the rise of temperature in the heat chamber is largely due to cholinergic mechanisms.

ЛІТЕРАТУРА — REFERENCES

1. И. Д. Гедеванишвили. Периферическое кровообращение и особенности его регуляции. М., 1967.
2. О. П. Минут-Сорохтина. Физиология терморегуляции. М., 1972.
3. Т. И. Иосебидзе. Материалы IV Республиканской научной конференции физиологов высших учебных заведений Грузинской ССР. Тбилиси, 1977.
4. О. А. Заридзе. Там же.
5. Н. В. Деменкова. Труды Ленинградского санитарно-гигиенического медицинского института, т. 93, 1971.

ФИЗИОЛОГИЯ ЧЕЛОВЕКА И ЖИВОТНЫХ

Ш. Д. ЧИКВАШВИЛИ, Н. Т. ОНИАНИ, И. Ш. КВАВИЛАШВИЛИ

ОТНОСИТЕЛЬНАЯ ПРОНИЦАЕМОСТЬ МЕМБРАНЫ ДЛЯ ИОНОВ Na^+ И K^+ И МЕМБРАННЫЙ ПОТЕНЦИАЛ ЗАРОДЫША ЛЯГУШКИ

(Представлено членом-корреспондентом А. Н. Бакурадзе 27.7.1978)

Общеизвестна функциональная роль клеточных мембран в таких фундаментальных процессах, как генерирование потенциала покоя, возникновение и проведение нервного импульса. Самым замечательным является тот факт, что на возбудимых клетках удалось не только на качественном, но и на количественном уровне описать величины ионных потоков, проницаемостей мембран и мембранных потенциалов (МП) при покое, а также динамику этих характеристик при возбуждении [1—5].

В последние годы ведется интенсивное изучение электрохимических свойств мембран эмбриональных клеток. Цель этих работ состоит в выяснении возможной функциональной роли мембран в процессах раннего развития. Найдены некоторые корреляции между изменениями мембранных характеристик и определенными актами раннего развития [6]. Однако эти работы еще далеки от количественного уровня.

В настоящей работе рассчитана величина МП яйца лягушки *Rana ridibunda* и оценена относительная проницаемость мембраны для Na^+ и K^+ ($b = P_{\text{Na}}/P_{\text{K}}$), где P_{Na} и P_{K} —абсолютные проницаемости для Na^+ и K^+ соответственно.

Для расчета таких сравнительно простых характеристик мембран, как величина МП и относительная проницаемость для главных потенциалобразующих ионов, нужно знать внутриклеточные активности этих ионов, а также величины МП в условиях различного ионного состава наружной среды. Для расчетов МП можно использовать известное диффузионное уравнение Гольдмана—Ходжкина—Катца только в том случае, если на мемbrane нет активного электрогенного транспорта ионов [3].

Недавно нами было показано [7], что МП яйца лягушки *Rana ridibunda* имеет чисто диффузионную природу только до первого деления. Поэтому для расчета величины МП и оценки относительной проницаемости мембраны мы будем пользоваться данными, полученными до начала дробления яиц.

Порядок проведения экспериментов и расчетов следующий. Регистрируем величину МП (E_1) яйца в условиях его инкубации в растворе 1 (раствор Гольтфретера, состав в мМ: NaCl —60; KCl —0,7; CaCl_2 —1,0). Регистрируемую величину E_1 , а также значения актив-



ностей Na^+ и K^+ внутри и вне клетки подставляем в уравнение Гольдмана—Ходжкина—Катца для двух ионов:

$$E = \frac{RT}{F} \ln \frac{a_{\text{K}} + ba_{\text{Na}_1}}{a_{\text{K}_0} + ba_{\text{Na}_1}}, \quad (1)$$

где a_{Na_1} , a_{K} , a_{Na_0} , a_{K_0} —активности Na^+ и K^+ внутри и вне клетки соответственно.

Расчетным путем находим величину b . Подставляя b в уравнение (1) в условиях раствора другого ионного состава (раствор 2: NaCl —0,7; KCl —60; CaCl_2 —1,0), теоретически рассчитываем значение МП в этом растворе (E'_2). Сравнение величин E'_2 и E_2 , регистрируемой в эксперименте в растворе 2, дает возможность судить о достоверности проведенных расчетов.

Внутриклеточные содержания натрия и калия определяли на пламенном фотометре типа ФПЛ-1, как описано в работе [8]. Чтобы рассчитать концентрации этих веществ в клетках, необходимо знать содержание в них воды, которое определяли при помощи разработанного нами ранее метода [9]. МП регистрировали, как было нами описано в работе [10].

Следует отметить, что общее содержание натрия, калия и воды в яйцах варьирует в довольно широких пределах в зависимости от партии икры, но концентрации ионов и величина плотности почти не отличаются в яйцах разных партий (в пределах 2%).

Опыты, проведенные на восьми партиях икры, дали следующие средние значения объема и плотности яиц, а также содержания воды, натрия и калия в них (табл. 1).

Таблица 1

Объем, мм^3	Плотность, $\text{г}/\text{см}^3$	Натрий, нмоль	Калий, нмоль	% воды по весу
$2,14 \pm 0,43$	$1,08 \pm 0,01$	80 ± 7	106 ± 8	54 ± 3

Для расчета внутриклеточных активностей Na^+ и K^+ воспользуемся данными, полученными на другом представителе класса амфибий—шпорцевой лягушке *Xenopus laevis* [11]. Как следует из этой работы, активности Na^+ и K^+ составляют 15 и 75% от их общего содержания соответственно. Если принять эти значения и для нашего объекта, то получим: $a_{\text{Na}_1} = 9,7 \text{ мМ}$; $a_{\text{K}} = 64,5 \text{ мМ}$. Активности этих ионов во внешнем растворе принимаются равными примерно 80% от их концентрации [12].

Таблица 2

№ опыта	1	2	3	4	5	6	7	8	Среднее значение Е
Величина МП, мв									
E_1	16	20	15	14	16	20	14	16	$16,4 \pm 1,8$
E_2	10	14	11	8	12	14	9	10	$11,0 \pm 1,6$

В табл. 2 приведены результаты измерений E_1 и E_2 , а также их средние значения.

Подставляя величину $E_1=16,4$ мв в уравнение (1), находим, что $b=0,77$. Если это значение b подставить в уравнение (1) в условиях раствора 2, то получим значение $E'_2=11,6$ мв. Как видно, эта величина всего на 0,6 мв отличается от среднего значения E_2 , регистрируемого в эксперименте (11,0 мв). Такое хорошее совпадение экспериментальной и теоретически рассчитанной величины МП является еще и косвенным указанием на то, что ионы Cl^- , видимо, не вносят значительного вклада в общий МП яйца.

Обращает на себя внимание высокое значение величины b по сравнению с возбудимыми мембранами, для которых b находится в пределах 0,01—0,03 [2]. В связи с этим следует отметить, что мембранны яиц пресноводных животных обладают на два порядка более высоким сопротивлением, чем мембранны большинства соматических клеток. Так, по нашим данным, до первого деления яйца удельное сопротивление мембранны в среднем равно 70 ком·см². Отсюда следует, что мембрана яйца плохо проницаема для ионов. Поэтому можно заключить, что высокое значение b обусловлено тем, что мембрана яйца *Rana ridibunda* до первого деления имеет одновременно низкую проницаемость как для Na^+ , так и для K^+ .

Академия наук Грузинской ССР

Институт физиологии

им. И. С. Бериташвили

(Поступило 28.7.1978)

ადამიანისა და ცეოვალთა ფიზიოლოგია

შ. ჩიკვაზვილი, ნ. ონიანი, ი. ჟავალაშვილი

გაყაპის ჩანასახის გეგმრანული პოტენციალი და გეგმრანის
ფარდობითი განვლადობა Na^+ და K^+ იონებისათვის

რეზიუმე

შეკროლექტროდული ტექნიკის გამოყენებით გაიზომა ბაყაყის (*Rana ridibunda*) კვერცხის მემბრანული პოტენციალის (მპ) სიდიდე პირველ გაყოფამდე ორ სხვადასხვა იონური შედგენილობის სწარში (პირველი სწარი კონცენტრაცია MM -ში: $\text{NaCl}=60$; $\text{KCl}=0,7$; $\text{CaCl}_2=1,0$; მეორე სწარი: $\text{NaCl}=0,7$; $\text{KCl}=60$; $\text{CaCl}_2=1,0$). აღის ფოტომეტრიის მეთოდით განისაზღვრა კვერცხებში ნატრიუმისა და კალიუმის შემცველობა.

ნაჩვენებია, რომ ოთორიულად გამოოვლილი სიდიდე მცირედ ($0,6$ მპ) განსხვავდება ექსპერიმენტში რეგისტრირებულისაგან.

Sh. D. CHIKVASHVILI, N. T. ONIANI, I. Sh. KVAVILASHVILI

RELATIVE PERMEABILITY OF THE MEMBRANE TO
Na⁺ AND K⁺ IONS AND THE MEMBRANE POTENTIAL
ON THE FROG EMBRYO

Summary

By means of microelectrode technique the membrane potential of the frog (*Rana ridibunda*) embryo was measured in two solutions with different ion concentrations. On the basis of own experimental data and those of other authors on the value of membrane potential and on the water and Na, K concentration in the egg the value of relative permeability of the membrane to Na⁺ and K⁺ was found.

ლიტერატურა — ЛИТЕРАТУРА — REFERENCES

1. А. Ходжкин. Нервный импульс. М., 1965.
2. Б. Катц. Нерв, мышца и синапс. М., 1968.
3. Л. М. Чайлахян. Сб. «Руководство по физиологии». Л., 1969.
4. П. Г. Костюк. Сб. «Структура и функции биологических мембран». М., 1975.
5. А. А. Веренинов. Транспорт ионов через клеточную мембрану. М., 1978.
6. В. П. Божкова, Л. М. Чайлахян. Сб. «Внешняя среда и развивающийся организм». М., 1977.
7. Ш. Д. Чиквашвили, Н. Т. Ониани, И. Ш. Квавилашвили. Сообщения АН ГССР, 91, № 1, 1978.
8. Д. Р. Бериташвили, И. Ш. Квавилашвили, К. А. Кафиани. Цитология, 11, 1969.
9. И. Ш. Квавилашвили, Ш. Д. Чиквашвили, Н. А. Гелашвили. Изв. АН ГССР, сер. биол., 2, № 1, 1976.
10. И. Ш. Квавилашвили, Ш. Д. Чиквашвили, Н. А. Гелашвили, Л. Н. Гогиберидзе. Онтогенез, 8, № 2, 1977.
11. Ch. Slack, A. E. Wargpe. J. Physiol., 232, 1973.
12. И. Т. Гороновский, Ю. П. Назаренко, Е. Ф. Некряч. Краткий справочник по химии. Киев, 1974.

БИОХИМИЯ

Э. А. ЗААЛИШВИЛИ

О ЛОКАЛИЗАЦИИ АЦЕТИЛХОЛИНЭСТЕРАЗЫ В
СИНАПТИЧЕСКОЙ МЕМБРАНЕ

(Представлено академиком П. А. Кометиани 23.6.1978)

Изучение белков синаптических мембран представляет большой интерес, так как, являясь важнейшими компонентами этих структур, они принимают активное участие в осуществлении их функций. Однако до настоящего времени попытки их выделения и фракционирования еще малоуспешны. В особенности это относится к ферментам.

Целью нашего исследования было установление локализации одного из важных ферментов — ацетилхолинэстеразы (АХЭазы) в синаптической мембране. С этой целью, применяя разные растворители, мы избирательно воздействовали на существующие в синаптической мембране силы взаимодействия между ее отдельными компонентами и извлекали таким образом разные фракции белков. Определяя АХЭазную активность последних, судили о локализации этого фермента в мембране.

Объектом исследования был головной мозг белых крыс. Синаптические мембранны получали методом дифференциального центрифугирования по Де Робертису [1]. Белки мембранны синаптосом последовательно экстрагировали водой (при 4°C, 3 часа), 5 mM раствором ЭДТА (при 4°C 1 час) и 1% тритоном-х-100 (при 4°C, 1 час). Фракционирование белков производили электрофорезом на 8% полиакриламидном геле (ПАГ) с использованием буферной системы С митица [2] и электрофокусированием на ПАГ с диапазоном амфолинов рН 3,5—9 [3]. Содержание белка в экстрактах определяли методом Лоури [4], АХЭазную активность — по методу Эльмана [5].

Как выясняется, общая АХЭазная активность цельных синаптических мембранны составляет $0,4 \times 10^{-4}$ М/мин, а удельная активность — $0,2 \times 10^{-4}$ М/мин/мг. Такая низкая активность получается при расчете на общий мембранный белок. На сравнительно низкую удельную АХЭазную активность синаптических мембранны указывается и в работе Гудкина [6].

Обнаружено, что в примененных нами условиях вода извлекает только 2,5% мембранных белков, которые при электрофорезе фракционируются на 9 электрофоретических зон (рис. 1, А). Экстракт характеризуется высокой удельной АХЭазной активностью — $0,5 \times 10^{-4}$ М/мин/мг. Таким образом, при обработке водой происходит повышение удельной активности фермента в 2,3 раза. Однако общая ферментная активность этой фракции очень низка — $0,015 \times 10^{-4}$ М/мин, так как вода экстрагирует мало белков. Следовательно, в водный экстракт переходит 1/30 часть начальной общей активности синаптических мембранны. Воздействие воды приводит к повышению удельной АХЭазной активности обработанной водой водно-нерастворимой фракции синаптических мембранны вдвое. Так, удельная активность вы-

шеуказанной фракции составляет $0,42 \times 10^{-4}$ М/мин/мг. Этот факт привлекает внимание. Он указывает на снятие какого-то барьера на этой стадии обработки.

5мM ЭДТА солюбилизирует 5% общих мембранных белков. Этот экстракт холинэстеразной активностью уже не обладает. Электрофотически выявлено, что его спектр несложен (одна главная и несколько миорных фракций, рис. 1,В). Однако применением электрофокусирования на ПАГ в диапазоне амфолинов pH 3,5—9 нам удалось обнаружить весьма гетерогенный состав этого же экстракта синаптических мембран, который с трудом поддается анализу (рис. 1,С).

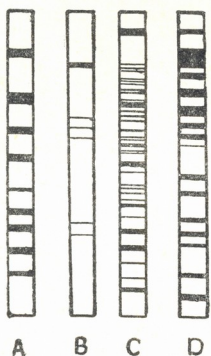


Рис. 1. Электрофорограммы белков водных (A), ЭДТА (B, C) и тритоно-вых (D) экстрактов синаптических мембран

Дальнейшая обработка мембран 1% тритоном-х-100 приводит к солюбилизации 30—35% мембранных белков, электрофоретический спектр которых дается на рис. 1,Д. Фракция богата АХЭазой. Общая АХЭазная активность этой фракции, по сравнению с водной фракцией, в 16 раз больше — $0,25 \times 10^{-4}$ М/мин, т. е. в тритоновый экстракт переходит 2/3 общей ферментной активности. Однако удельная активность фермента в этом экстракте несколько ниже — $0,4 \times 10^{-4}$ М/мин/мг. Это, быть может, объясняется отрицательным действием детергента на структуру фермента.

Вторичная обработка синаптических мембран 1% тритоном-х-100

приводит к экстрактации еще 4% белков с весьма незначительной АХЭазной активностью.

Применяя в качестве субстрата бутирилтиохолин вместо ацетилтиохолина, выявить холинэстеразную активность в вышеуказанных экстрактах мы не смогли, что говорит об отсутствии псевдохолинэстеразы в синаптических мембранах. Это находится в согласии с данными других исследователей [6].

Таким образом, суммируя все вышеизложенное, а также принимая во внимание данные, полученные нами ранее о положении белков в синаптической мембране в соответствии с их физико-химическими свойствами [7], можно сделать следующий вывод о возможной локализации АХЭазы в мемbrane синапсов. Очевидно, АХЭаза в синаптической мембране представлена молекулами двух типов. Определенная, весьма небольшая часть фермента слабо связана с поверхностью синаптической мембраны, о чем свидетельствует наличие этого фермента с высокой удельной активностью в водных экстрактах. Большая часть холинэстеразы погружена в мембрану и прочно связана с ней. Обработка водой активирует погруженнную в мембрану АХЭазу в результате удаления неизвестных соединений, экранирующих ак-

тивный центр фермента. Как выясняется, в фиксации АХЭазы в мембране синапсов двухвалентные ионы участия не принимают. Псевдохолинэстераза в синаптических мембранных отсутствует.

Академия наук Грузинской ССР
Институт физиологии
им. И. С. Бернштейна

(Поступило 29.6.1978)

გიორგი გიორგი

ე. ზალიშვილი

სინაპსურ მემბრანაში აცეტილქოლინესთერაზის
ლოკალიზაციის შესახებ

რეზიუმე

სინაპსურ მემბრანაში აცეტილქოლინესთერაზის მდებარეობის განსაზღვრის მიზნით შესწავლილია ამ ფერმენტის აქტივობა H_2O , EDTA და ტრიტონულ ექსტრაქტებში.

ფერმენტის განსაზღვრული ნაწილი ელექტროსტატიკური ძალებით სუსტადა დაკავშირებული მემბრანის ზედაპირთან, ხოლო მისი დიდი ნაწილი ნაწილობრივადაა ჩაზიდული მემბრანაში და პიღიოფთობურად უკავშირდება მის მატრიცას. წყლით დამუშავება ააქტივებს მემბრანაში ჩაზიდულ აცეტილქოლინესთერაზას. ორვალენტინი იონები აცეტილქოლინესთერაზის ფიქსაციაში მემბრანაზე მონაწილეობას არ ღებულობენ. სინაპსური მემბრანები ფერმენტის განსაზღვრული აქტივობით არ ხასიათდებიან.

BIOCHEMISTRY

E. A. ZAALISHVILI

ON THE LOCALIZATION OF ACETYLCHOLINESTERASE IN
SYNAPTIC MEMBRANES

Summary

Acetylcholinesterase (ACHE) activity of H_2O , EDTA and triton-x-100 extracts of synaptic membrane have been studied in order to determine the localization of this enzyme in the membrane.

A small part of the enzyme was found to be associated electrostatically with the membrane. The greater part of ACHE is partially immersed in the hydrophobic matrix of membrane and firmly linked with it. Treatment of the membrane with H_2O activated the ACHE immersed in the membrane. Bivalent ions did not take part in the fixation of ACHE in the membrane. No pseudocholinesterase was present in synaptic membranes.

ლიტერატურა — REFERENCES

1. E. De Robertis, R. De Lores, G. Arnais. In: A. Lajtha (ed) Handbook of Neurochem., v. II, Plenum Press N. Y., 1969, 365-392.
2. O. Smithies. Biochem. J., 61, 1969, 629-634.
3. A. D. Miner, L. L. Neston. Ann. Biochem., v. 50, 1972, 313-316.
4. O. H. Lowry, N. L. Rosenbrough, A. K. Farr. J. Biol. Chem., v. 193, 1951, 265.
5. G. L. Ellman, K. D. Courtney, N. A. Andres. Biochem. Pharmac., v. 7, 1961, 88-90.
6. F. Goodkin, B. D. Howard. J. Neurochem., v. 22, 1977, 129-136.
7. Э. А. Заалишвили. Автореферат канд. дисс. Тбилиси, 1977.

მიკობიოლოგია და ვირუსოლოგია

ლ. ალექსი-მასიშვილი ·

ფუნგიციდების გამოცდა ხელნაწერის სარესტაციოდ
ხმარებულ ჯეგოში

(წარმოადგინა აკადემიკოს ლ. ყანჩაველმა 27.6.1978)

ცნობილია, რომ უპირველეს ყოვლისა მბდება ხელნაწერის ის ნაწილი, რომელიც წებოთია დაფარული. უკანასკნელი წარმოადგენს ობის სოკებისათვის კარგ საკვებ არეს. ამიტომაც ხელნაწერთა რესტაციის შემთხვევაში აუცილებელია წებოში ანტისეპტიკის შეტანა. ანტისეპტიკის შეტანისას წებომ არ უნდა დაკრებოს თავისი თვისებები: გამჭვირვალობა, უფერულობა, ელასტიურობა, ნეიტრალური რეაქციის თვისება, ჰიგროსკოპულობა, წებოვნება. ანტისეპტიკი უარყოფითად არ უნდა მოქმედებდეს ქალღიზე, უნდა შეინარჩუნოს ფუნგიციდური თვისებები დიდი ხნის განმავლობაში, არ უნდა იყოს დეფიციტური და ადამიანისათვის მავნე.

ანტისეპტიკად წებოში იხმარება ფორმალინი, თიმოლი, ნატრიუმის პენტა-ქლორფენოლატი, ნატრიუმის მარილის კარბოქსილმეთოლურობა.

ჩვენ გამოვცა დედობით შემდეგი ფუნგიციდები: ფიგონი (0,005; 0,01; 0,02; 0,03; 0,05%), ტეტრამეთოლთიურამდისულფიდი — ტმთდ (0,005; 0,01; 0,02%), დინიტროროდანბენზოლი — დნრბ — კოლოიდურ გოგირდზე (0,005; 0,01; 0,02; 0,03; 0,04%), ცინები (0,005; 0,01; 0,02%), ფორმალინი (0,005; 0,01; 0,02; 0,05%). ფუნგიციდებით დამუშავებული წებოს ტოქსიურობის შესწავლისას წებო (პურის ფევილი — 30%—74%, უელატინი — 4 გ, შაბი — 1,5 გ, გლიცერინი — 2 ჩასი კოვზი, წყალი — 750 მლ, 50—50 გ რაოდენობით) მოვათავსე სტერილურ პეტრის თასებში, საღაც შეგვენდა ფუნგიციდები თითო მლ რაოდენობით. ფუნგიციდის წებოში შერევის შემდეგ პეტრის თასის ცენტრალურ ნაწილში შეგვენდა სპოროვანი სუსპენშიის (ორკვირიანი კულტურისაგან დამზადებული) 1 წვეთი, თასი გადაგვენდა თერმოსტატში 26—28°C ტ°-ზე. ცდის შედეგებს ალვრიცხავდით პეტრის თასზე სოკევანი კოლონიის ზრდის გაზომვით მმ-ზე. თითოეული ცდა ჩატარდა სამი განმეორებით. ცდის შედეგები მოცემულია ცხრილში (იხ. ცხრილი № 1).

ცხრილის მიხედვით, ყველაზე კარგი შედეგი თიმოლით დამუშავებისას მიღილეთ, მის მხოლოდ 0,05% კონცენტრაციაში გაიზარდა *Penicillium luteum*-ის კოლონია (13 მმ სიღიღისა), სოკოს სხვა სახეობის ზრდა სრულად იყო შეფერხებული. წებოში 0,05% ტმთდ შეტანისას *Stemphylium amoenum*, *Cladosporium herbarum*, *Penicillium tardum* არ განვითარებულა. *Aspergillus niger*-მა შეწყვიტა ზრდა 0,01% ტმთდ გამოყენებისას. *Trichoderma lignorum* და *Penicillium luteum* უფრო გამდლენი აღმოჩნდნენ; მათი ზრდა შეწყდა მხოლოდ ფუნგიციდის კონცენტრაციის გაზრდისას 0,02%-მდე. წებოში 0,005% დნრბ კოლოიდური გოგირდის შერევისას *Penicillium tardum*; *Cladosporium herba-*

ცხრილი 1

ზოგიერთი ფუნგიციდის გამოცდა წებოში

პრეპარატის დასახლება	კონცენტრაცია პრეპარატის შე- ძელები, %	ტრიშერატე- ნის ცალის დოზა, °C	სოკოგანი კოლონის სიღრღვე, %					
			Trichoderma lignorum	Penicillium luteum	Stemphylium amoenum	Cladosporium herbarium	Penicillium tardum	Aspergillus niger
ტეტი	0,005	26—28	15	26	ზრდა არა	ზრდა არა	ზრდა არა	31
"	0,01	"	"	"	"	"	"	ზრდა არა
"	0,02	"	ზრდა არა	ზრდა არა	"	"	"	"
დინობ კოლოიდურ გოგინდზე	0,005	"	28	"	27	"	"	34
"	0,04	"	"	"	25	"	"	"
"	0,02	"	19	"	14	"	"	31
"	0,03	"	"	"	3	"	"	ზრდა არა
"	0,04	"	ზრდა არა	"	ზრდა არა	"	"	"
ფიგური	0,005	"	100	37	46	39	12	42
"	0,01	"	45	29	38	"	"	41
"	0,02	"	"	"	36	33	10	23
"	0,03	"	"	"	28	30	8	"
"	0,05	"	31	20	18	21	11	16
ცინკები	0,005	"	100	48	100	24	23	100
"	0,01	"	"	45	82	18	23	"
"	0,02	"	"	32	77	"	"	78
"	0,03	"	"	"	"	13	18	73
"	0,04	"	"	26	49	"	"	40
"	0,05	"	"	16	39	9	15	22
თამოლი	0,005	"	ზრდა არა	13	ზრდა არა	ზრდა არა	ზრდა არა	ზრდა არა
"	0,02	"	"	ზრდა არა	"	"	"	"
"	0,01	"	"	"	"	"	"	"
ფირჩილინი	0,005	"	25	"	60	"	"	60
"	0,01	"	40	"	45	"	"	65
"	0,02	"	ზრდა არა	"	29	"	"	ზრდა არა
"	0,05	"	"	"	ზრდა არა	"	"	"

ც. ა. ლ. ქ. ს 0-9 0 6 6 0 3 0 2 0

rum, *Penicillium luteum*-ის ზრდა მთლიანად შეიზღუდა. *Aspergillus niger*-ზე ზრდის შემზღვეველად მოქმედებს დნრბ კოლოიდურ გოგირდზე 0,03% სუსპენზია, ხოლო *Trichoderma lignorum* და *Stemphylium amoenum*-ის შემთხვევაში დნრბ კოლოიდურ გოგირდზე 0,04% კონცენტრაცია. ფორმალინის 0,005% ხნარი მთლიანად ზღუდავს *Penicillium luteum*, *Cladosporium herbarium* და *Penicillium tardum*-ის ზრდას. *Trichoderma lignorum*-ზე ზრდის შემზღვეველად მოქმედებს 0,02% ფორმალინის შეტანა წებოში. *Aspergillus niger* და *Stemphylium amoenum*-ის ზრდის შესაზღუდად ფორმალინის 0,05% ხნარია საჭირო. ფიგონი და ცინები იწვევენ სოკობის ზრდის მხოლოდ ნაწილობრივ შეზღუდვას, საშუალოდ 30—40%-ით, მაგ., 0,05% ფიგონის ხმარებისას *Trichoderma lignorum*-ის კოლონია 31 მმ უდრის, ხოლო *Stemphylium amoenum*-ისა 39 მმ.

მაღალი ტოქსიკური თვისებებით გამოიჩინევა ტმთდ (0,005—0,02%), თომლი (0,005—0,01%), ფორმალინი (0,005—0,05%), დნრბ კოლოიდურ გოგირდზე (0,005—0,04%). მათი გამოყენებისას მივიღეთ ყველა საცდელი სახეობის ზრდის სრული შეზღუდვა.

საქართველოს სსრ მეცნიერებათა აკადემია
ქ. კაკელიძის სახელობის ხელნაწერთა
ცნატოტური

(შემოვიდა 30.6.1978)

МИКРОБИОЛОГИЯ И ВИРУСОЛОГИЯ

Л. Г. АЛЕКСИ-МЕСХИШВИЛИ

ИСПЫТАНИЕ ФУНГИЦИДОВ В КЛЕЕ, ПРИМЕНЯЕМОМ ДЛЯ РЕСТАВРАЦИИ РУКОПИСЕЙ

Р е з и ю м е

Проведенными опытами выявлена высокая токсичность тетраметилтиурамдисульфида, тимола, динитроданбензола и формалина. При их использовании получена полная задержка роста всех испытуемых видов грибов.

MICROBIOLOGY AND VIROLOGY

L. G. ALEKSI-MESKHISHVILI

TESTING OF FUNGICIDES IN PASTE USED IN MANUSCRIPT RESTORATION

S u m m a r y

The author's experiments have shown high toxicity of thymol, tetramethylthiuram disulfide, dinitrodanbenzene and formalin. Their use caused a complete inhibition of the growth of all the fungus species tested.

ФИТОПАТОЛОГИЯ

М. Ш. ГВИНЕПАДЗЕ, Н. А. ГВАДЖАВА

К ИЗУЧЕНИЮ ХАРАКТЕРА ДЕЙСТВИЯ НЕКОТОРЫХ
ФУНГИЦИДОВ В ОТНОШЕНИИ ВОЗБУДИТЕЛЯ УВЯДАНИЯ
ПОБЕГОВ ШЕЛКОВИЦЫ

(Представлено академиком Л. А. Канчавели 10.5.1978)

При разработке эффективных мер борьбы против фузариоза шелковицы, наносящего большой урон тутоводству в Грузии, важное значение имеет изучение характера действия фунгицидов в отношении возбудителя заболевания. Литературные данные по этому вопросу отсутствуют. Ниже приводятся результаты токсикологической оценки ряда препаратов к *Fusarium lateritium* Nees методом контактного проращивания спор с фунгицидом на стеклянных пластинках [1] и методом культивирования гриба на питательных средах в присутствии химикатов [2]. Данные обрабатывались пробитанализом для спор и методом Уилкоксона и Маккелана для мицелия [3, 4].

Сравнительная токсичность фунгицидов в отношении спор гриба приведена в таблице, где препараты расположены по убывающей активности.

Токсичность фунгицидов для спор гриба *F. lateritium*

Препараты	СК-50, %	Пределы отклонений СК-50, %	Наклон линии регрессии
Беномил	0,00010	0,00008—0,00012	1,42
Эупарен	0,00032	0,00028—0,00035	1,26
Каптан	0,00043	0,00035—0,00051	1,28
Цинеб	0,00047	0,00040—0,00055	1,88
Поликарбацин	0,00089	0,00069—0,00116	0,74
Полимарцин	0,00102	0,00085—0,00123	0,77
Хлорокись меди	0,00105	0,00095—0,00115	0,92
Купрозан	0,00179	0,00166—0,00239	0,82

Как видно из таблицы, самой высокой активностью (наименьшей СК-50) обладает системный препарат беномил, самой низкой — купрозан. Разница между препаратами достоверная, так как пределы их не перекрывают друг друга. По наклону кривых препараты беномил, эупарен, каптан и цинеб незначительно отличаются друг от друга, что указывает на возможность одинакового повышения их токсичности при увеличении концентраций.

При действии на споры фунгициды вызывали разрушение их оболочек, модификационную изменчивость — изменение формы и уменьшение величины спор и ростковых трубочек. В случае некоторых препаратов (беномил) в высоких концентрациях вместо ростковых трубочек образовывались лишь их зачатки (рис. 1).

При испытании препаратов на мицелии гриба наилучшие фунгистатические свойства проявили топсин М, беномил, эупарен и БМК, для которых концентрации, сдерживающие на 50% рост гриба в культуре (СК-50), составляли соответственно 0,000016; 0,000018; 0,000022 и

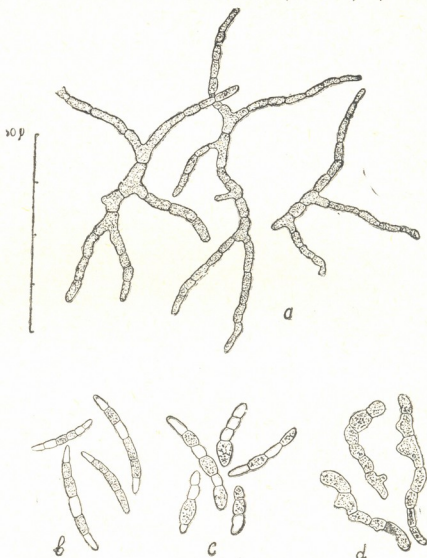


Рис. 1. Действие беномила на прорастание конидий *F. lateritium*: а — прорастание в контроле (дистиллированная вода); б — полное торможение прорастания в концентрации беномила 0,023%; в — набухание отдельных клеток конидий в концентрации 0,0012%; д — образование зачатков ростковых трубочек в концентрации 0,0003%

0,00026%. Хлороксии меди (СК-50—0,0002%) уступали по значению СК-50 поликарбацин (0,0005%), полимарцин (0,0006%), цинеб (0,0008%), каптан (0,0008%), купрозан (0,0002%).

С приближением к фунгитоксической концентрации постепенно изменялись культуральные признаки гриба — пигментация и характер роста мицелия (рис.2—5).

Многие из испытанных препаратов различались по своей активности в отношении спор и мицелия *F. lateritium*. Фунгициды поликарбацин, полимарцин, хлороксис меди и купрозан проявляли гораздо большую токсичность в отношении мицелия гриба (так, максимальная концентрация поликарбацина, подавляющая на 95—100% рост мицелия, составляла 0,00160%, тогда как для подавления прорастания

спор на 95—100% требуется концентрация 0,00525%). Цинеб и каптан оказались токсичнее для спор (для капитана концентрация, полностью подавляющая рост гриба в культуре, составляла 0,0023%; для подавления же прорастания спор достаточна 0,00128% концентрация препарата). Почти не отличались по своей активности эупарен и беномил (для эупарена упомянутые концентрации составляли 0,00065% для спор и 0,00080% для мицелия).

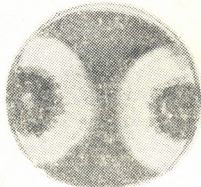


Рис. 2. Угнетение роста мицелия *F. lateritium* под действием эупарена в концентрации 0,000033%

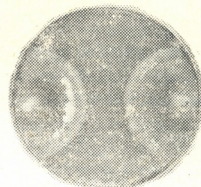


Рис. 3. Угнетение роста мицелия гриба под действием эупарена в концентрации 0,000039%

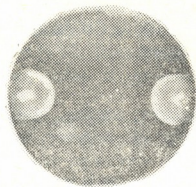


Рис. 4. Угнетение роста мицелия гриба под действием эупарена в концентрации 0,00067%

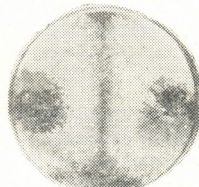


Рис. 5. Рост мицелия гриба в контроле (среда без фунгицида)

Аналогичное явление отмечено и другими авторами [2, 5] при испытании различных фунгицидов на спорах и мицелии многих грибов. Это свидетельствует о необходимости сочетания обоих способов испытаний при оценке фунгицидности.

Итак, высокой активностью по отношению к возбудителю фузариоза шелковицы *F. lateritium* обладают препараты беномил, топсин, БМК, эупарен, капитан, цинеб, поликарбацин и полимарцин, которые подавляют на 50% прорастание спор гриба в концентрациях 1,0—10 мг/л и рост мицелия в концентрациях 0,2—0,8 мг/л.

Научно-исследовательский институт
защиты растений
МСХ ГССР

(Поступило 12.5.1978)

ა. ღვინებაძე, ნ. გვაჯავა

გოგიორთი ფუნგიციდის მოძალუბის ხასიათის შესწავლა
თუთის ულორტობის შემთხვევის სოკოს მიმართ

რეზიუმე

გამოკვლეულია პხალი პრეპარატების — ბენომილის, ტოფსინის, ბმკ-ს, ეუპარენის, კაპტანის, ცინების, პოლიკარბაცინის, პოლიმარცინის ჰედარებითი ფუნგიციდური აქტივობა თუთის ყლორტების ჭენობის გამომწვევი სოკოს *F. lateritium* სპორებისადა მიცელიუმის გიმრთ. ზემოთ ჩამოთვლილი ფუნგიციდები 50%-ით ზლუდავენ სპორების განვითარებას 1,0—10 მგ/ლ კონცენტრაციებში და აფერხებენ მიცელიუმის ზრდას 0,2—0,8 მგ/ლ კონცენტრაციებში.

PHYTOPATHOLOGY

M. Sh. GVINEPADZE, N. A. GVAJAVA

ON THE STUDY OF THE CHARACTER OF ACTION OF SOME FUNGICIDES AGAINST THE CAUSATIVE AGENT OF MULBERRY TREE SHOOT BLIGHTING

Summary

A high activity of *benomyl*, *topcin*, BMK, *euparen*, *captan*, *zineb*, *polycarbacin* and *polymarcin* against the causative agent of mulberry tree shoot blighting *Fusarium lateritium* Nees is demonstrated.

These fungicides cause a 50 per cent suppression of spore germination of the fungus in concentrations 1.0—10 mg/l, and of mycelium growth in concentrations 0.2—0.8 mg/l.

ლიტერატურა — ЛИТЕРАТУРА — REFERENCES

1. Н. М. Голышин. Фунгициды в сельском хозяйстве. М., 1970.
2. Е. Ф. Гранин, Н. К. Близнюк, Г. С. Левская, Г. И. Жильцова, Е. И. Матюхина, И. С. Врублевская. Химия в с/х, 3, № 2, 1965, 26—30.
3. Г. В. Гегенава. Труды Груз. ИЗР, т. XIII, 1960, 322—365.
4. П. В. Попов. Химия в с/х, 3, № 10, 1965, 72—78.
5. Н. Н. Чантuria. Труды Груз. ИЗР, XXI, 1969, 441—448.

ЗООЛОГИЯ

П. Д. САГДИЕВА, И. В. ВОЛОШИНА, Е. Н. СМИРНОВ

О ВЗАИМООТНОШЕНИЯХ ИКСОДОВОГО КЛЕЩА
HAEMAPHYSALIS JAPONICA DOUGLASI NUTT. ET WARBI.
С ПРОКОРМИТЕЛЯМИ В СРЕДНЕМ СИХОТЭ-АЛИНЕ

(Представлено членом-корреспондентом Академии Т. Н. Ониани 29.6.1978)

К настоящему времени в Приморском крае отмечено 4 вида иксодовых клещей из рода *Haemaphysalis* Koch. Из них наиболее массовым в лесных местообитаниях является *H. japonica douglasi* Nutt. et Warb. [1—3 и др]. Этот клещ более многочислен на юге Приморья, где его удельное участие в населении иксодовых клещей составляет около 58—75 % в южнооколистенных лесах [3]. Абсолютный учет пастьбищных иксодовых клещей, проведенный на восточном макросклоне Южного Сихотэ-Алиня, показал, что *H. japonica* достигает высокой численности и является доминирующим видом в дубняках на склонах вдоль побережья Японского моря [4].

Преимагинальные стадии *H. japonica* обычно питаются на грызунах из семейства беличьих и птицах из отряда куриных, тогда как мышевидные грызуны и землеройки практически не принимают участия в прокармливании личинок и нимф этого вида; взрослые клещи тесно связаны с крупными млекопитающими, на которых зимуют самцы [3, 5—7]. Г. В. Колонин с соавторами [7] обнаружили, что в Центральном и Восточном Сихотэ-Алине промысловые копытные (изюрьбы, кабан, косуля) зимой поражены *H. japonica* на 100%.

Почти все имеющиеся литературные данные по экологии *H. japonica* относятся к южной части его ареала в пределах СССР, тогда как данные по экологии этого вида в северной, периферической части ареала практически отсутствуют.

Наш материал собирался на восточном макросклоне Среднего Сихотэ-Алиня, в Сихотэ-Алинском заповеднике и на прилегающих участках. Изучаемая территория отличается большим разнообразием природных условий и чрезвычайно малой хозяйственной освоенностью. Здесь четко выражена вертикальная зональность и по направлению от берега моря к центральному водоразделу Сихотэ-Алиня выделяются следующие пояса растительности: прибрежные дубняки, кедрово-широколиственные, кедровые, кедрово-елово-пихтовые и елево-пихтовые леса, каменноберезняки, кедровый стланик и нагорные тундры [8]. Между дубовыми и кедрово-широколиственными лесами имеется полоса разновозрастных гарей, представленных лугами, кустарниковыми зарослями и вторичными лиственными лесами.

Нами собрано 202 клеша *H. japonica* с растительности, а также осмотрено 4653 животных (4419 мышевидных грызунов, 190 белок и бурундуков, 2 горала и 42 птицы), с которых собрано 879 клещей.



Работа распределилась между авторами следующим образом. В 1970—1973 гг. материал собирался П. Д. Сагдиевой и Е. Н. Смирновым, по горалам и с растительности в 1976—1977 гг. — И. В. Волошиной. Иксодовые клещи белки частично определены В. Г. Беляевым, которому авторы приносят благодарность за помощь в работе. Основная часть материала определена П. Д. Сагдиевой.

Население иксодовых клещей изучаемого региона монодоминанто: здесь резко преобладает *Ixodes persulcatus* Schulze, который составляет 98, 6% всех сборов клещей с растительности; *H. japonica* составляет всего 1, 08 %. Этот клещ достигает наибольшей численности в прибрежных дубняках, где количественное соотношение между *I. persulcatus* и *H. japonica* в сборах с растительности составляет около 2:1. Во вторичных лиственных и кедрово-широколиственных лесах этот вид отмечается единично, а в северном кедровнике за 2 года стационарных работ с растительности собрано всего 3 нимфы *H. japonica*.

Преимагинальные стадии этого клеща обнаружены нами на белке обыкновенной—*Sciurus vulgaris* L., азиатском бурундуке—*Eutamias sibiricus* Laxm., рябчике—*Tetrastes bonasia* (L.), таежной овсянке—*Emberiza tristrami* Swinh., пестром и бледном дроздах—*Oreocincla dauma* (Pall.) и *Turdus pallidus* Grfel., кедровке—*Nucifraga caryocatactes* (L.), единично—на мышевидных грызунах. Индекс обилия личинок на белке во вторичном лиственном лесу в 1971 г. составил 5,4, а нимф—3,2, на бурундуке—соответственно 3,0 и 1,0, а на рябчике—10,4 и 3,2. В расположеннем выше северном кедровнике пораженность прокормителей этим клещем значительно ниже. Индекс обилия личинок на белке здесь в 1971—1973 гг. достигал 2,2, а нимф—0,27, на бурундуке — соответственно 0,6 и 0,3, на рябчике—3,8 и 0,9, а на дроздах индекс обилия и личинок, и нимф составил 0,1.

На основании сборов с растительности и с животных-прокормителей преимагинальных стадий отметим, что численность этого клеща убывает с повышением абсолютной высоты местности и выше 550 м н. у. м. он не обнаружен.

21 марта 1976 г. с молодой самки амурского горала (*Nemorhaedus caudatus* Milne-Edwards), погибшей после снегопада в прибрежной части заповедника (урочище Абрек) было собрано 282 клеща *H. japonica*; из них 268 самцов, которые локализовались на тыльной стороне ушей, морде и дорзальной стороне передних ног, и 11 самок (в различных стадиях насыщения), из которых одна—на ноге, а остальные—в густой шерсти паха и груди; 3 нимфы—на ушах. Труп горала был обнаружен через 1—2 дня после гибели. Очевидно, за этот период расползлось какое-то количество наиболее активных клещей.

24 декабря 1977 г. с живого полуторагодовалого самца горала, отловленного в 8 км южнее места предыдущей находки, было снято 128 зимовавших самцов *H. japonica*, которые находились исключительно на ушах животного. Такая же локализация отмечена Г. В. Колониным с соавторами [7] для других видов копытных в Приморье.

В доступной нам литературе мы не обнаружили сведений о паразитировании и зимовке *H. japonica* на горале. Но в свете вышеизложенного несколько иначе выглядят данные по эктопаразитам горала, приведенные в работе Г. Ф. Бромлея [9], который утверждает, что зимой на горалах «остаются единичные экземпляры взрослых и личиночных стадий клещей». Однако, как показали наши наблюдения, зимой и весной горал довольно сильно поражен *H. japonica*. 24 апреля 1946 г. Г. Ф. Бромлеем в Судзухинском заповеднике была осмотрена взрослая самка амурского горала, у которой *Haemaphysalis* sp. локализовались на ушных раковинах по 5—6 особей на 1 см². Особенности распределения клещей рода *Haemaphysalis* по территории на восточном макросклоне Южного Сихотэ-Алиня таковы [4, 10], что, скорее всего, это были клещи вида *H. japonica*. Хотя горал — редкий вид, занесенный в «Красную книгу» СССР, но в своих типичных местообитаниях — скалистых участках дубняков на побережье Японского моря — он достигает значительной плотности (20—30 особей на 1 км² на Абреке). Поэтому следует полагать, что на таких участках как в Среднем, так и в Южном Сихотэ-Алине горал может иметь существенное значение в поддержании популяций *H. japonica*. В равнинных прибрежных дубняках эта роль, очевидно, принадлежит косуле.

Таким образом, на территории изучаемого региона *H. japonica* значительно малочисленнее, чем в Южном Приморье, и в общей массе, по данным сборов с растительности, составляет лишь 1% от населения иксодовых клещей. Наиболее обычен этот вид в прибрежных дубняках, а с удалением от моря к центральному водоразделу Сихотэ-Алиня численность его резко падает. Основными прокормителями преимагинальных стадий *H. japonica* в зооценозах смешанных и лиственных лесов восточного макросклона Среднего Сихотэ-Алиня являются белка и рябчик, в меньшей степени — бурундук и птицы нижнего яруса леса из отряда воробьиных. На скалистых участках прибрежных дубняков этот клещ, очевидно, тесно связан с амурским горалом, на котором в значительных количествах зимуют самцы *H. japonica*.

Академия наук Грузинской ССР
Институт зоологии

Сихотэ-Алинский заповедник

(Поступило 6.7.1978)

Чтобы открыть

3. საგდილა, ი. ვოლოვინა, ე. საჩხმავი

იქსოდისებრი ტბილის *HAEMAPHYSALIS JAPONICA*
DOUGLASI NUTT. ET WARB. ურთიერთდამოკიდებულება
მათ მასპინძლებითან უცა სიხოტე-ალინი

რეზიუმე

შეს სიხოტე-ალინის აღმოსავლეთ მაკროფერდობზე *H. japonica* მცირე-რიცხვოვანია და შეადგენს აქ მოძველული იქსოდისებური ტკიბის 1%-ს. უფრო ხშირია იგი ზღვისპირეთის მუნიციპალიტეტი, ხოლო სიხოტე-ალინის ცენტ-



ნალური წყალგამყოფისაკენ მისი რაოდენობა მკვეთრად ეცემა. *H. japonica*-ს პრეიმაგინალური სტადიები ძირითადად იკვებებიან ციცვზე და ტყის ქათამზე, უფრო ნაკლებად კი ბურუნდუკზე და ბელურასნაირებზე. ზღვისპირეთის კლდოვანი ადგილების მუხნარებში *H. japonica*, როგორც ჩანს, დაკავშირებულია ამურის გორალთან, რომელზედაც ზამთრობენ მისი მამრები.

ZOOLOGY

P. D. SAGDIEVA, I. V. VOLOSHINA, E. N. SMIRNOV

INTERRELATION OF IXODID TICK *HAEMAPHYSALIS JAPONICA*
DOUGLASI NUTT. ET WARB. WITH HOSTS IN MIDDLE
SIKHOTE-ALIN

Summary

On the eastern slopes of middle Sikhote-Alin the number of *H. japonica* is small, accounting for about 1 per cent of the total quantity of the collected ixodid ticks. *H. japonica* is most common in coastal oak woods, and towards the central Sikhote-Alin watershed its number sharply decreases. The main hosts of larvae and nymphs are *Sciurus vulgaris* and *Tetrastes bonasia*, and to a lesser extent, *Eutamias sibiricus* and passerine birds. In rocky places of coastal oak woods this tick is evidently closely connected with the goral *Naemorhaelus caudatus*, on which the males of *H. japonica* were found to be wintering.

ლიტერატურა — ЛИТЕРАТУРА — REFERENCES

- Б. И. Померанцев. Иксодовые клещи. Фауна СССР, паукообразные, т. IV, вып. 2, 1950.
- И. М. Гроховская, И. С. Худяков. Труды Владивост. ин-та эпидемиологии, микробиологии и гигиены, 2, 1962.
- Н. П. Беликова. Автографат канд. дисс. Владивосток, 1969.
- Г. В. Колонин, А. Н. Киселев, Е. И. Болотин. Паразитология, 9(5), 1975.
- Н. П. Беликова. Труды ДВФ АН СССР, сер. зоол., т. 3(4), 1956.
- А. Д. Гамалеев. Первое акарологическое совещание. Тез. докл. М.—Л., 1966.
- Г. В. Колонин, Д. Г. Пикунов, В. И. Базильников, А. Г. Панкратьев, Е. И. Болотин. Зоол. ж., 55(8), 1976.
- Б. П. Колесников. Труды Сихотэ-Алинского заповедника. I. М.—Л., 1938.
- Г. Ф. Бромлей. Труды Сихотэ-Алинского заповедника, III. Владивосток, 1963.
- Г. В. Колонин, Е. И. Болотин. Третье акарологическое совещание. Тез. докл. Ташкент, 1976.

ЭКСПЕРИМЕНТАЛЬНАЯ МЕДИЦИНА

К. И. УЗНАДЗЕ-МЧЕДЛИШВИЛИ

ЛЕЧЕНИЕ БОЛЬНЫХ, СТРАДАЮЩИХ ХРОНИЧЕСКОЙ
ИШЕМИЧЕСКОЙ БОЛЕЗНЬЮ АРТЕРИИ КОНЕЧНОСТИ
В СТАДИИ НЕКРОЗА И ГАНГРЕНЫ, КОМПЛЕКСНЫМИ
МЕРОПРИЯТИЯМИ С ПРИМЕНЕНИЕМ
РЕКОМЕНДОВАННЫХ СМЕСЕЙ

(Представлено академиком О. Н. Гудушаури 23.6.1978)

Несмотря на определенные успехи, достигнутые в лечении хронического облитерирующего заболевания артерий конечностей консервативными или оперативными методами, процент ампутации даже среди общего числа больных, по данным многих авторов [1—8 и др.], все еще держится в пределах 15—35. Особенно велико число неблагоприятных исходов лечения больных в стадии некроза и гангрены.

В течение последних 20 лет под нашим руководством и непосредственным наблюдением лечились 1270 больных, страдающих ишемическим недугом артерии конечности, среди которых 490 (38,6%) находились в стадии некроза и гангрены. Предусматривая все те изменения, которые имеются у этих больных в органах и системах организма, мы [9] составили календарную схему для интенсивного комплексного их лечения, учитывая форму и стадию развития болезни.

В качестве комплексных мероприятий применялись все те известные спазмолитические, антикоагулирующие и блокирующие средства симпатических нервных проводников, которыми лечили многие другие авторы.

Ввиду того что результаты такого лечения не были ободряющими, из опыта некоторых авторов, вводивших отдельные или 2—3 ингредиента медикаментов внутривенно, нами была подобрана, составлена и включена в комплекс лечебных мероприятий следующая патогенетическая медикаментозная смесь для внутривенного введения:

0,5 раствор новокаина — 250—350 мл (стерильный)

0,9% физиологический раствор — 800—1000 мл (стерильный)

25% раствор магния сульфата — 10—20 мл

витамин В₁—4—5 мл

витамин С 10% — 1—2 мл

гепарин — 10000—12500 единиц

Объем этой медикаментозной смеси превышает 1200—1400 мл и вводится очень медленно (70—80 капель в минуту) из стерильной колбы (на дне которой имеется отверстие для капельницы) больным, находящимся в стадии некроза и гангрены. Смесь вливается всего 3—4 раза с промежутками в 4—5 дней для развития и упражнения коллатеральных сосудов, увеличения артериализации на периферии, улучшения обмена веществ в организме, уменьшения ишемических болей и других целей, что подтверждилось улучшением самочувствия



и объективных данных больных (повышением термометрических данных кожи на периферии и капилляроскопическими показателями).

Для местного лечения язв и ран ишемического происхождения после удаления гангренозного пальца нами рекомендована мазь № 1 (испытанная в трех хирургических клиниках г. Тбилиси) следующего состава:

Pulv. streptocidi albi subtilisme	— 16,0
Pulv. Anesthesini	— 8,0—10,0
Ol. Helianthi (sterilis)	— 200,0
Cera flava	— 10,0—13,0

Способ применения мази № 1: после соответствующего туалета очага язвы она обкладывается двухслойной стерильной марлевой салфеткой, смоченной мазью Вишневского, затем мазь № 1 густо наносится шпателем на поверхность язвы или раны, накрывается трехслойной салфеткой и конечность забинтовывается. В первые дни повязка меняется один или два раза в день, после утихания острой ишемической боли — через день. Надо подчеркнуть, что после перевязки в течение 20 минут в абсолютном большинстве случаев постепенно уменьшаются мучительные боли и переутомленный больной засыпает. При параллельном проведении больным комплексных лечебных мероприятий выжидательная терапия легко переносится ими, отпадает необходимость в частом применении сильных наркотических препаратов, некротические ткани постепенно отделяются и с помощью хирурга удаляются; медленно, но все же начинаются регенеративные процессы в ране, и таким путем в большом проценте случаев конечность даже в старческом возрасте избавляется от неизбежной высокой ампутации. В стадии грануляции ран желательно применять эту мазь без анестезина. В клинике мы убедились в том, что рекомендованную мазь успешно можно использовать для местного лечения язв и ран ишемического происхождения параллельно с другими методами общего лечения больных.

Помимо вышеотмеченного, по методу Н. Н. Еланского и А. А. Бегельмана [10], только без наложения жгута на бедре, применяли введение посредством пункции внутрь бедренной артерии следующей медикаментозной смеси: 1% раствор новокаина (14 мл) + 25% раствор магния сульфата (5 мл) + гепарин (5000 единиц) + витамин В₁ и витамин С 5% (по одной ампуле). Смесь вводили внутрь артерии (под пупертовскую связку) через день на каждой стороне конечности (когда прощупывался пульс на сосуде), всего по 12—15 раз. При влажной гангрене после введения смеси в артерию, не удаляя иглу, другим шприцем туда же вводили те антибиотики, к которым раневая флора была чувствительна. Все вышеперечисленные способы включили в комплекс лечебных мероприятий. Таким методом из 490 больных в стадии некроза и гангрены лечили 455. Среди них облитерирующий эндартериит был у 122, облитерирующий атеросклероз — у 246, бюргеровский тримбангиит — у 11 и облитерирующий артериоз у диабетиков — у 76. При выявлении признаков демаркации у 376 больных прежде всего удаляли гангренозные пальцы или омертвевшие ткани в области стопы и продолжали усиленное лечение. В результате такого лечения из 455 больных, находящихся в терминальной стадии болезни, сохранены конечности у 346 (76%), выписанных из клиники в вполне удовлетворительном состоянии; выписаны с ампутацией конечности 43 (9,5%), с незначительным улучшением 56 (12,3%) и умерли 10 (2,2%) больных.

Самый хороший результат лечения получен при эндартериите (82%), а самые низкие положительные показатели — у диабетиков (56,6%), больных тромбангиитом Бюргера, а также у тех больных, у которых был облитерирован подвздошно-бедренный сегмент артерии.

Для контроля были изучены данные тех 164 больных, среди которых 64 были в стадии некроза и гангрены. Все они лечились в нашей клинике известными комплексными мероприятиями без применения рекомендованных лечебных средств и методов. Из 164 больных конечность потеряли непосредственно после лечения 23 (14,9%), умерли 27 (17,4%) — среди них 5 больных после ампутации конечности, выписались без улучшения 12 больных (14,9%), а с хорошими и удовлетворительными данными — 92 (59,8%). Результаты такого лечения, подтвержденные только у 64 больных, находившихся в стадии некроза и гангрены, могут показаться малоутешительными, однако подобные данные в этой стадии опубликованы и другими авторами [11, 12 и др.].

Отдаленные результаты изучали через 2 года — 16 лет анкетным способом на первых 200 больных, выписанных из клиники с ремиссией болезни. Ответили на вопросы или пришли в клинику на проверку 176. Оказалось, что в отдаленном периоде стойкая ремиссия сохранялась у 144 (72%) больных, потеряли конечность 19 (9,5%), временами претерпевали обострения болезни 12 (6,8%) и умерли от разных причин 21 (11,9%). Среди последних 12 умерли от тромбоэмболической болезни.

Таким образом, непосредственные и отдаленные результаты лечения тяжелоконтингентных больных в нашем материале не являются стопроцентными — идеальными, но думаем, что они все же являются определенным достижением. Основываясь на нашем клиническом опыте, мы советуем всем, кто заинтересован судьбой больных, находящихся в стадии некроза и гангрены, принять рекомендованные нами смеси в комплексе других лечебных мероприятий как более патогенетические средства в терминальной стадии ишемической болезни конечности.

Тбилисский государственный
медицинский институт

(Поступило 29.6.1978)

მარკოსიშვილი გეიგიძე

ა. უნაძე-გაღლივალი

კომპარატურ სამკურნალო ღონისძიებები რეკომენდაციები
მიზნით ნარევი კიდურთა იუველირ დაკადების
ნიკროზისა და განგრენის ფაზები

ჩ ე ზ ი უ მ ე

სამკურნალო კომპლექსში მოწოდებული და გამოყენებულია ვენაში წვე-
ოვანად შესაყვანი მედიკამენტური ნარევი, რომელიც 7 ქიმიურ ინგრედიენტს
შეიცავს; მასი მოცულობაა 1200—1400 მლ. აღნიშნული მედიკამენტური ნარე-
ვი, როგორც პათოგენეზური სამკურნალო ფაქტორი, შეგვავდა ვენაში სულ
3—4-ჯერ, 4—5 დოს ხანგამოშვებით.

იმედიური წარმოშობის წყლულებს ან ნეკროქტომის შემდგომ ტაკვებს
ადგილობრივად მკურნალობდნენ რეკომენდებული მაღამოთი (№ 1).

პარმაკოს არტერიაში, პუპარტის ოვთან ინექციით, დღეგამოშვებით შე-



გვევდა კლინიკაში გამოცდილი მედიკამენტური ნაჩევი (თითოეულ მხარეზე 12—12 ღწევია).

ზემოაღნიშნული მეთოდით ნამკურნალებია იშემიური დაავადების ნეკროზისა და განგრენის ფაზაში მყოფი 455 ავადმყოფი. ამ მძიმე კონტიგენტის პაციენტებზე 76% ზემთხვევაში ჭოხერხდა კიდურის შენარჩუნება და მიღწეული იქნა დაავადების რევისია.

EXPERIMENTAL MEDICINE

K. I. UZNADZE-MCHEDLISHVILI

TREATMENT OF PATIENTS WITH CHRONIC ISCHEMIC DISEASE OF EXTREMITY ARTERIES IN THE NECROSIS AND GANGRENE STAGE BY MEANS OF COMPLEX MEASURES USING RECOMMENDED MIXTURES AND OINTMENTS

Summary

Over a 20-year period the author has examined 1070 patients with the chronic obliterating disease of extremity arteries, including 490 cases (45 %) in the necrosis and gangrene stage. 455 patients were treated by mean of complex measures. The recommended medicamentous mixture was injected intravenously to improve collateral circulation, to remove spasm, to compensate arterialization in the periphery and to achieve remission of the disease.

The mixture is injected by drops at the volume of 1300 — 1500 ml 3 — 4 times per day, at 4 — 5 day intervals. A specially recommended ointment (№ 1) was applied on the sites of ischemic ulcer or amputation stump during bandaging. A spasmolytic medicamentous mixture, tested in the clinic, was injected into the femoral artery by puncture every other day (12 injections in all): After observing demarcation, gangrenous toes were ablated transmetatarsally, with subsequent intensive treatment.

Treatment of 455 grave cases by the above methods yielded the following results: in 76% of cases the disease was checked and the extremities preserved immediately after treatment, and some positive results were observed after 2—16 years in 72% of patients. The best results were achieved in endarteritis and obliterating atherosclerosis with patients aged 46 — 70. The poorest results were seen in diabetes and in cases of obliteration of the iliofemoral segments of arteries.

ლიტერატურა — REFERENCES

1. Д. М. Арсланов. Сов. мед., № 4, 1958, 86—96.
2. Г. П. Зайцев, Г. Е. Островерхов, С. А. Гаспарян, В. И. Самбурукский. Хирургия, № 12, 1967, 31—36.
3. Н. Е. Лебедев. Нов. хир. архив, № 9, 1961, 46—53.
4. М. Ф. Мазурик. Хирургия, № 11, 1963, 98—102.
5. И. Ф. Перепелица. Нов. хир. архив, № 6, 1957, 38—42.
6. В. М. Ситенко, В. Т. Козмарев, С. А. Семенков. Хирургия, № 12, 1971, 39—43.
7. А. Н. Шабанов, Ц. Я. Гудинская, А. Ф. Макаров. Хирургия, № 2, 1971, 97—103.
8. И. А. Шаниуренко, А. М. Рябов. Вестн. хир., № 2, 1960, 49—53.
9. К. И. Узнадзе-Мчедлишвили. Автореферат докт. дисс. Тбилиси, 1967.
10. Н. Н. Еланский, А. А. Бегельман. Хирургия, № 9, 1950, 43—48.
11. Ю. Б. Кирилов. Хирургия, № 3, 1972, 104—105.
12. М. Д. Рутемберг. Хирургия, № 3, 1971, 136—137

ЭКСПЕРИМЕНТАЛЬНАЯ МЕДИЦИНА

М. В. МШВИДОБАДЗЕ

АЛЛОТРАСПЛАНТАЦИЯ ФОРМАЛИЗИРОВАННЫХ КОСТЕЙ

(Представлено академиком И. К. Пипиа 5.7.1978)

В последнее время ведутся интенсивные экспериментальные и клинические исследования по аллотрансплантации тканей, консервированных в слабых растворах формалина. Это объясняется эффективностью и доступностью данного метода [1—6].

Этой проблемой мы занимаемся с 1961 г. Трупные ткани (кости, сухожилия), заготовленные в нестерильных условиях, стерилизуем 1% раствором формалина и консервируем либо в 1—2% растворе формаль-сахара [7], либо в 50% растворе меда [8].

В наших предыдущих работах были показаны стерилизующие и консервирующие свойства 1% формалина [9] и высокий остеопластический эффект костных аллотрансплантатов [10—12].

В настоящей статье представлен анализ аллотрансплантации костей при различных заболеваниях и повреждениях опорно-двигательного аппарата. Трансплантаты были применены у 470 больных при переломах трубчатых костей (70), ложных суставах и дефектах (110), костных опухолях (100), вывихе, подвывихе и децентрации головки бедра (100), деформации стопы (50), патологиях позвоночника (40). В соответствии с этим костные трансплантаты (шифты, пластинки, цилиндрические, суставные концы) использовались для интра-экстрамедуллярной фиксации, замещения больших дефектов, создания навеса, артродеза, спондилодеза. Трансплантаты применялись самостоятельно или же в комбинации с металлоостеосинтезом, компрессионными методами и т. д.

І. Больных с переломами костей было 70: мужского пола — 45, женского — 25, в возрасте до 20 лет — 16, от 21 года до 30 лет — 15, от 31 года до 40 лет — 15, от 41 года до 50 лет — 9, свыше 50 лет — 15.

Таблица 1
Распределение больных по локализации повреждения и виду операции

Локализация	Количество больных	Вид операции	Количество больных
Кости предплечья	21	Инtramедуллярный остеосинтез аллотрансплантатами	35
Диафиз плеча	19	Интра-экстрамедуллярный остеосинтез аллотрансплантатами	11
Кости голени	11	Аллотрансплантация с металлоостеосинтезом	9
Диафиз бедра	8	Аллотрансплантация и серкляж металлической проволокой	7
Шейка бедра	6		
Фаланги кисти	5		
Всего	70	Всего	70



II. Больных с ложными суставами и дефектами было 110: мужского пола — 74, женского—36, в возрасте от 1 года до 15 лет—16, от 31 года до 40 лет—29, от 41 года до 50 лет—16, от 51 года до 60 лет—14, свыше 60 лет — 3.

По происхождению ложные суставы были посттравматическими—(73), поствоспалительными (33), врожденными (4). По клинико-рентгенологическими признакам — тугие-фиброзные (79), болтающиеся (16), дефекты (5).

Таблица 2

Распределение больных по локализации и методу лечения

Локализация	Количество больных	Метод операции	Количество больных
Кости голени	59	Аллотрансплантация костей	46
Плечевая кость	17	Аллотрансплантация с компрессией по Грайфенштайнеру	17
Кости предплечья	16	Аллотрансплантация и металлоостеосинтез	17
Шейка бедра	12	Аллотрансплантация и серкляж проволокой	15
Бедренная кость	4	Авто-аллотрансплантация	14
Ключица	2	Аллотрансплантация и компрессия аппаратом Гудушаури	
Всего	110	Всего	110

III. Больных с костными опухолями было 100: мужского пола — 56, женского—44, возраст их колеблется от 1 года до 65 лет, в основном от 1 года до 15 лет.

Таблица 3

Распределение больных по виду заболевания и операции

Диагноз	Количество больных	Вид операции	Количество операций
Остеобластокластома	80	Экскохлеация и пломбировка костных полостей	28
Хондрома	8	Частичная резекция и интра-экстрамедулярная костная пластика	36
Фиброзная дисплазия	5	Обширная резекция с замещением дефекта массивными кортикальными трансплантатами	26
Остеоид-остеома	3	Обширная резекция с замещением трубчатыми аллотрансплантатами	4
Остеома	1	Резекция суставного конца с замещением полусуставом	8
Гигантоклеточная синовиома	1		
Абсцесс Броди	1		
Эхинококк	1		
Всего	100	Всего	102

IV. Больных с вывихом, подвывихом и децентрацией головки бедра было 100 (26 мальчиков и 74 девочки)—в возрасте от 3 до 18 лет. Этим больным произведены операции создания навеса с применением аллогенных костей (119) (см. табл. 4).

Таблица 4

Диагноз	Односторонний	Двусторонний	Всего
Вывих бедра	48	20	68
Подвывих бедра	26	—	26
Децентрация головки бедра	6	—	6
Всего	80	20	100

V. Больных с деформациями стопы было 50: женского пола — 36, мужского — 14, в возрасте от 4 до 10 лет — 8, от 11 до 15 лет — 33, от 16 до 20 лет — 6, от 25 до 30 лет — 3, с плоско-вальгусной стопой — 21, пяточно-вальгусной — 11, конско-варусной — 10, вальгусной — 3, разболтанной — 3, высокосводно-вальгусной — 2. Артродез с применением костных аллотрансплантатов произведен у 31 больного, артродез в сочетании с сухожильной пластикой — у 19.

VI. Больных с заболеваниями и повреждениями позвоночника было 40: мужского пола — 13, женского — 27, в возрасте до 15 лет — 13, от 16 до 20 лет — 14, от 21 года до 30 лет — 6, от 31 года до 40 лет — 7, со сколиозом — 19, туберкулезным спондилитом — 12, остеохондрозом — 5, компрессионным переломом позвонка — 3, травматическим спондилитом — 1. Этим больным произведены спондилодез кортикальными аллотрансплантатами (24) и спондилодез аллотрансплантатами в сочетании с металлическими фиксаторами (16).

Изучение непосредственных результатов аллотрансплантации формализованных костей у 470 больных показало, что они не вызывают стойкого повышения температуры и значительных изменений в картине крови. При изучении отдаленных результатов в срок от 1 года до 20 лет у 360 больных положительные исходы отмечены у 340 (94,2%), неудовлетворительные — у 20 (5,8%), из них осложнения, связанные с трансплантатами, — у 9 (2,5%), у 11 (3,3%) с рецидивом заболевания и техническими погрешностями.

Результаты операции различны в зависимости от характера и тяжести патологии. Аллотрансплантация при свежих переломах, доброкачественных костных опухолях, односторонних подвывихах и децентрации головки бедра, деформациях стопы более эффективна, чем при остеомиелитах, врожденных ложных суставах и тяжелых формах сколиоза.

Согласно анализу серийных рентгенограмм, формализованные костные аллотрансплантаты подчиняются единому закону приживления, перестройки и замещения новой костной тканью, причем фазы reparативной регенерации отличаются равномерным чередованием и преемственностью. По всей вероятности, это и есть гарантия успеха аллотрансплантации формализованных костей.

Наши экспериментальные и клинические исследования, а также литературные данные [13—15] позволяют заключить, что формализованные костные аллотрансплантаты представляют собой высококачественный биологический материал, заслуживающий широкого внедрения в клиническую практику.

Институт травматологии и ортопедии
МЗ ГССР

(Поступило 14.7.1978)

ა. მუზეუმის

ცორმალინიზებული ძვლების ალოტრანსპლანტაცია

რეზიუმე

შესწავლილია 1%-იანი ფორმალინის ესნარში გასტერილული და 2%-იანი ფორმალ-შაქრისა და 50%-იანი თაფლის ესნარში დაკონსერვებული ძვლების ალოტრანსპლანტაციის შედეგები 470 ივალმყოფზე საყრდენ-მამოძრავებელი აპარატის დაზიანებებისა და დაავადებათა დროს. ნაჩვენებია ფორმალინიზებული ალოგენური ძვლების პრაქტიკაში ფართოდ დანერგვის მიზანებში ნილობა.

EXPERIMENTAL MEDICINE

M. V. MSHVIDOBADZE

ALLOTRANSPLANTATION OF FORMALINIZED BONES

Summary

The author analyzes the use of allogeneic bone transplants sterilized in 1% formalin solution and preserved in 2% formaldehyde-sugar solution and 50% honey solution in 470 patients with injuries and diseases of the support-motive apparatus. The advisability of implementing formalinized bone transplants is indicated.

ლიტერატურა — ЛИТЕРАТУРА — REFERENCES

1. В. А. Епифанов. Автореферат канд. дисс., М., 1969.
2. В. В. Кованов, В. Д. Разводовский. Экспр. хир., 2, 4, 1974.
3. M. W. Mschvidobadze. Beitr. Orthop. Traumatol. 22, 6, 323, 1975.
4. Ю. А. Спасский. Автореферат канд. дисс. Кишинев, 1972.
5. И. Н. Ширшов. Автореферат канд. дисс. М., 1970.
6. П. П. Цапу. Автореферат канд. дисс. М., 1977.
7. М. В. Мшвидобадзе. Сб. трудов ТНИИТО, X, 1970, 172.
8. И. А. Акобия. Автореферат докт. дисс. Тбилиси, 1964.
9. Н. Д. Эрикашвили, М. В. Мшвидобадзе, Р. А. Рехвиашвили, Р. З. Степанян. Сб. трудов ТНИИТО МЗ ГССР, XII, 1974, 237.
10. М. В. Мшвидобадзе. Сообщения АН ГССР, 88, № 1, 1977, 721.
11. М. В. Мшвидобадзе. Сообщения АН ГССР, 87, № 3, 1977, 217.
12. М. В. Мшвидобадзе. Сообщения АН ГССР, 91, № 2, 1978.
13. В. Д. Разводовский. Автореферат докт. дисс. М., 1971.
14. В. Ф. Трубников, Д. Д. Батчук. Ортопед., травмат., протез., 10, 1977, 48.
15. В. И. Дмитриенко. Автореферат канд. дисс. Кишинев, 1968.

ЭКСПЕРИМЕНТАЛЬНАЯ МЕДИЦИНА

С. Н. ХЕЧИНАШВИЛИ, Ш. В. ДЖАПАРИДЗЕ

СЛУХОПРОТЕЗИРОВАНИЕ ПУТЕМ ЭКРАНИРОВКИ ОКНА
УЛИТКИ ПОРИСТЫМ ЭЛАСТОМЕРОМ С МЕТАЛЛИЧЕСКИМ
ВКЛЮЧЕНИЕМ

(Представлено академиком И. Я. Татишвили 10.7.1978)

Несмотря на успехи, достигнутые в области пластической реконструкции звукопроводящей системы среднего уха при кондуктивной тугоухости, при ряде форм хронического гнойного среднего отита не удается достичь улучшения слуха путем тимпанопластики. Объясняется это обычно эпидермизацией медиальной стенки барабанной полости и непроходимостью слуховой трубы для воздуха. В таких случаях, если позволяет «кохлеарный резерв», можно попытаться улучшить слух при помощи механических протезов. Эти протезы обладают рядом достоинств, по сравнению с электронными слуховыми аппаратами: они незаметны для окружающих, меньше искажают звуки и создают меньше шума. Поэтому при умеренно выраженной тугоухости они успешно заменяют электронные слуховые протезы.

Существуют два принципа механического слухопротезирования: 1—экранировка окна улитки, 2 — восстановление трансформационного эффекта среднего уха.

Для экранировки окна улитки предложены ватные шарики, пропитанные маслом [1], или пористые эластомеры [2, 3]. С целью создания трансформационного эффекта используются механические протезы различной сложности [4—8].

В настоящей статье приводятся результаты наблюдений над механическими протезами первого типа. Для изготовления экранирующих протезов использовался отечественный пористый эластомер типа «отопен». В процессе наблюдения было установлено, что у больных слух восстанавливался главным образом на высоких частотах. В диапазоне средних и низких частот слух или вообще не восстанавливался, или восстанавливался незначительно. При использовании механических протезов первого типа степень восстановления слуха у больных с кондуктивной тугоухостью зависит от звуковой изоляции окна улитки. Эластические пористые вещества, полученные путем полимеризации жидкого полисилоксана [2, 3], обладают значительным акустическим сопротивлением (импедансом) на высоких частотах. Между тем, для улучшения разборчивости речи особое значение имеет восстановление слуха в частотном диапазоне от 100 Гц до 3 кГц.

С целью улучшения акустического сопротивления экранирующих протезов мы во время протезирования начали употреблять металлические (серебряные) пластинки диаметром 4,5 мм и весом 70 мг. Приводим технику установки протеза нашей конструкции: под операционным микроскопом в сидячем положении больного, с головой, слегка откинутой назад, в область окна улитки вводим шприцем смесь жидкого полисилоксана в количестве, необходимом для полно-



го закрытия окна улитки, с соответствующим количеством катализатора. После этого в период полимеризации микропинцетом в центр полученной массы помещаем серебряную пластинку, расположенную перед окном улитки перпендикулярно к оси наружного слухового прохода. В процессе полимеризации объем массы контролируем и излишек удаляем, чтобы не допустить перекрытия окна преддверия и контакта ее с передней стенкой гипотимпанума. Последнее важно для того, чтобы в случае необходимости легко и безболезненно удалить протез. Целесообразно брать серебряную пластинку, как малоокисляющуюся при возможном контакте ее с экссудатом. Помещение пластинки в центр полисилоксана исключает возможность механического раздражения тканей среднего уха. Серебряную пластинку необходимо помещать перпендикулярно к оси наружного слухового прохода, так как только при таком ее расположении выражен значительный экранирующий эффект.

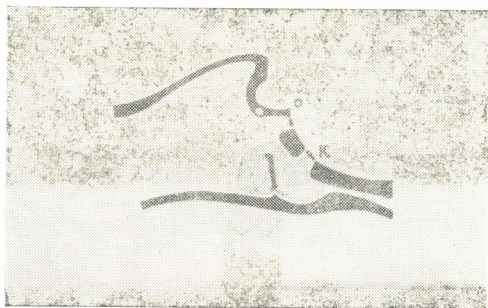


Рис. 1. Схема экранирующего протеза собственной конструкции (отопен с серебряной пластинкой): О — окно преддверия, К — окно улитки

На рис. 1 дано схематическое изображение экранирующего протеза из пористого полисилоксана с металлической пластинкой.

Для протезирования выбирались больные с двусторонним понижением слуха. Количество протезированных ушей составило 45. Из них в 28 случаях производилось протезирование при наличии тотальных дефектов барабанной перепонки, в 17 — после общеполостной операции уха. В 38 наблюдениях отмечался хороший результат — прирост слуха в диапазоне речевых частот — порядка 20—30 дБ. В 7 случаях из 45 не было достигнуто заметного улучшения слуха, в 6 из них имелись послеоперационные полости с эпидермизацией и с ограничением подвижности лабиринтных окон.

На рис. 2 показана тональная пороговая аудиограмма больного Р. И. И. с диагнозом: двусторонний гнойный перфоративный средний отит. Проведено протезирование правого уха только отопеном, прирост слуха на главных речевых частотах — в среднем 10 дБ. Спустя несколько месяцев у этого же больного произведено протезирование того же уха отопеном с серебряной пластинкой. Слух значительно улучшился, по сравнению с первым результатом, — прирост слуха на

главных речевых частотах — в среднем 25—30 дБ. Полученный результат можно объяснить акустическим импедансом сложной акустической системы, когда пористый эластомер содержит металлические включения в виде серебряной пластиинки. Изменение частотного

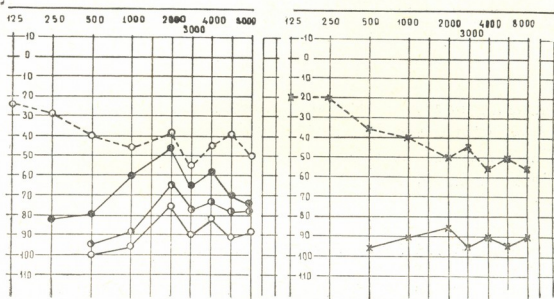


Рис. 2. Сравнение результатов протезирования правого уха с помощью пористого эластомера и экранирующего протеза нашей конструкции: пунктир с открытыми кружками — порог костной проводимости; линии с открытыми кружками — порог воздушной проводимости до протезирования; линии с частично заштрихованными кружками — порог воздушной проводимости после экранировки окна улитки отопеном; линии с полностью заштрихованными кружками — порог воздушной проводимости после экранировки отопеном с серебряной пластинкой

диапазона, в котором происходит снижение порогов воздушной проводимости, имеет важное значение для восприятия речевых сигналов и расширяет возможность практического использования протезов данного типа.

Тбилисский государственный институт
усовершенствования врачей

(Поступило 27.7.1978)

მასპერიძენტული განიცინა

ს. ხეჩინაშვილი, ჟ. ჯაფარიძე

სენის პროტეზირება მრგვალი სარკმლის ეპრანირებისა
ცორვანი ელასტომერის და მეტალის ფირფიტის გამოყენებით

რეზოუმე

სმენის აღდგენის მეტი ეფექტიანობა, ადრე გამოყენებული ეკრანირების ცნობილი მეთოდისაგან განსხვავდით, განხორციელებულია მრგვალი სარკმლის ეკრანის შემცნელი ფორმანი ელასტომერის სისტემაში მეტალის, კირძოდ, ვერცხლის ფირფიტის მოთავსებით, რაც განაპირობებს ბერძნითი რხევებისაგან მრგვალი სარკმლის უკეთეს იზოლაციას, აფართოებს სმენის გაუმჯობესების სისტემის დიაპაზონს და ამით ქმნის მეტყველების აღწევის უკეთეს პირობებს.

S. N. KHECHINASHVILI, Sh. V. JAPARIDZE

HEARING AID CONSISTING OF POROUS ELASTOMER WITH METALLIC INSERT FOR SCREENING THE ROUND WINDOW

Summary

In cases of chronic otitis media, when no tympanoplasty can be performed, some gain in hearing may be achieved by screening the round window. The effect can be substantially increased by placing a metallic (silver) insert in the porous elastomer, which is used for screening the round window.

ლიტერატურა — REFERENCES

1. J. Yearsley. Deafness, Practically Illustrated. London, 1863.
2. E. Gaudin. Arch. klin. exp. Chr-Nas-und-Kehlk. Heilk., 192, 1968, 351.
3. Э. П. Гудин. Материалы III научной конференции оториентарингологов Прибалтики. Рига, 1969, 28.
4. A. G. Pohlmann. Ann. Otol. Rhinol., 45, 1936, 351.
5. C. R. Lebo, A. L. Palmero. Ann. Otol. Rhinol., 57, 1948, 1027.
6. П. В. Гриб. Методическое письмо. М., 1965.
7. K. Sedláček. Revue de Laryngologie, 7-8, 1965.
8. K. Sedláček. Acta Otolaryngologica, 63, 1967, 290.

ПАЛЕОБИОЛОГИЯ

А. К. ВЕКУА, М. К. ГАБУНИЯ, Н. Б. ҚЛОПОТОВСКАЯ

К ВОПРОСУ О ДАТИРОВКЕ ПЕТРОГЛИФОВ ПАТАРА ХРАМИ

(Представлено академиком Л. К. Габуния 12.7.1978)

Археологические изыскания последних лет в Триалети привели к замечательному открытию — в ущелье Патара Храми впервые на территории Грузии выявлены наскальные изображения, преимущественно анималистического характера, несомненно представляющие образцы искусства древних людей. Более или менее точная датировка этих рисунков затрудняется. По технике, манере исполнения и композиции выделяются две, возможно три, хронологические группы: наиболее древняя предположительно датируется поздней стадией каменной эпохи, а поздняя — раннехристианским временем [1].

В настоящей заметке предпринимается попытка использования для определения возраста наскальных изображений Патара Храми палеонтологических остатков, собранных в разведочных шурфах, заложенных у подножья скал с петроглифами.

Раскопками добыто свыше 1000 единиц каменного инвентаря, в основном орудий труда и остатков производства из вулканического стекла, охватывающих остатки нескольких цивилизаций в рамках каменного века. Особенно четко выделяются мустьеерские орудия. Остальные же с одинаковым успехом могут быть отнесены к любому этапу каменного века — от мустье до неолита. Ущелье Патара Храми небогато остатками ископаемых позвоночных. Из 218 костей млекопитающих, добытых раскопками М. Г. Габуния, определению поддаются лишь 37, отнесенных к дикой лошади, быку, барану, охотоне, хохлатому чернеть и серой куропатке¹. Среди перечисленных форм особого внимания заслуживают остатки лошади и охотоны.

Лошадь из Патара Храми представлена в основном изолированными зубами и незначительными фрагментами костей посткраниального скелета. Верхние коренные зубы описываемой лошади мезогипсодонтические, средних размеров (длина Р³ 31 мм, ширина 26 мм). Протокон относительно короткий — индекс его длины равен 45,1. Такой короткий протокон обычно свойствен плейстоценовым лошадям, узкопалой лошади из Сагварджиле и осла. Форма протокона сапожковидная, с плоской или незначительно выпуклой внутренней верхнезадней стенкой. Гипокон сравнительно маленький, узкий, далеко вынесен наружу и назад. Мезостиль притупленный, иногда с тенденцией к раздвоению. Обращает на себя внимание строение задней части третьего или четвертого премоляра: от задней эмалевой стенки задней марки отходят навстречу друг к другу два эмалевых выступа в виде шпорц. Ясно, что с увеличением степени стирания зуба оба выступа соединяются и образуют изолированный эмалевый островок. Этот признак в свое время был отмечен на коренных зубах лошади

¹ Остатки птиц определены Н. И. Бурчак-Абрамовичем.



из ориньякской стоянки Сюрень I [2], а также на третьем лошади из Сагварджиле [3]. М. Ницше [4] считал наличие на верхнекоренных зубах эмалевого островка характерным признаком для четвертичных лошадей Западной Европы, но последующие исследования показали, что он изредка встречается и на зубах плейстоценовых лошадей Восточной Европы.

Нижние коренные зубы с кабаллоидными признаками строения. Двойная петля асимметричная, иногда с острой выемкой между лопастями. Наружная долинка далеко заходит в шейку двойной петли (M_1), но не достигает ее дна. Энтоконид относительно маленький, округлых очертаний, чаще с клювовидным отростком.

В коллекции имеется лишь два дистальных конца метаподиев. По размерам они могут принадлежать, скорее всего, к относительно мелким кабаллоидным лошадям. Интересно, что ширина (50,6 мм) в надсуставных буграх метатарсальной кости незначительно больше ширины (50,0 мм) в суставах, что, по-видимому, свидетельствует о некоторой архаичности этой формы.

Копытная фаланга крайне узкая (наибольшая ширина фаланги 78,5 мм, ширина суставной поверхности 4:5 мм), чем рассматриваемая форма напоминает узкопалую лошадь из Сагварджиле. Наличие у описываемой лошади, наряду с кабаллоидными особенностями, таких признаков, как относительно короткий протокон и его сапожковидная форма, притупленный мезостиль на премолярах, тенденция задней марки к образованию изолированного эмалевого островка, глубокое проникновение наружной долинки в шейку двойной петли и клювовидный отросток энтоконида на нижнекоренных зубах, а также крайне узкая копытная фаланга, указывает на ее явную близость к тонкопалой лошади из Сагварджиле.

Л. К. Габуния [3] впервые описал тонкопальную лошадь *Equus caballus* L. var. *strictipes* Gab. на материале из верхнепалеолитических слоев Сагварджиле. Несколько позже остатки этой лошади были обнаружены в мустьеерских слоях Цопи [5]. Нам кажется, что лошадь из мезолитической стоянки Зуртакети [6] также может быть отнесена к тонкопалой лошади из Сагварджиле.

Таким образом, имеется основание думать, что эта форма широко была представлена в фаунистических комплексах Грузии в конце плейстоцена и, вероятно, в начале голоцене.

Не менее интересной представляется нам находка остатков охотничьих пищухи весьма редки на территории Закавказья. Первое упоминание о находке голоценовой пищухи из Армении мы находим у С. К. Даля [7]. Затем довольно богатый материал, принадлежащий крупной пищухе, был собран в мустьеерской стоянке Цопи [8]. Чуть позже остатки крупной пищухи были описаны также из нижнепалеолитической пещеры Азы [9]. Новой находкой остатков этого животного в ущелье Патара Храми подтверждается ранее высказанная нами мысль о продолжительности существования настоящих пищух в Закавказье, по-видимому, начиная с нижнечетвертичного времени и вплоть до нашей эры [10].

Известно, что пищухи в основном обитают в гористых открытых местностях, отдавая предпочтение скалистому грунту, покрытому травянистыми растениями. Обе рассмотренные находки указывают на широкое развитие открытого, горно-скалистого ландшафта в конце плейстоцена — начале голоцена в районе Цалка.

Существование в это время в исследуемом районе открытых ландшафтов следует и из палинологических данных. Содержание

пыльцы травянистых растений в общем составе спектра составляет 87%. Среди пыльцы травянистых 85% приходится на пыльцу сложноцветных, представленную разными формами, что исключает допущение о дезакватности спектра.

Присутствие спор папоротниковых в количестве 11% от общего количества встреченных пыльцы и спор может быть объяснено двояко: либо это свидетельство былого распространения лесов и доказательство вторичного происхождения травянистых фитоценозов в эпоху, соответствующую времени формирования спектра, либо эти споры принесены из зоны развития лесов, притом лесов несомненно широколиственных, так как в случае распространения в районе Патара Храми хвойных лесов, даже в удалении от места формирования спектра, содержание пыльцы хвойных пород было бы значительным, намного большим, чем спор папоротников.

Учитывая чрезвычайную сложность вопроса о датировке наскальных рисунков вообще и в Патара Храми, в частности, естественно, мы не можем не принять во внимание при определении возраста этих петроглифов остатки костей животных, раскопанные у подножья расписанных стен. Здесь имеются контурные изображения оленя, бэзоарового козла, осла, лошади, двугорбого верблюда, льва, по-видимому пещерного, и других животных. Несмотря на многочисленность рисунков лошади и верблюда, нет ни одного изображения всадника верхом на лошади, оседланной лошади или навьюченного верблюда. Это очень важный факт, по-видимому указывающий на то, что мы имеем дело с изображениями исключительно диких животных.

Известно, что, за редким исключением, наскальные изображения отражают животный мир тех мест, где они обитают [11]. К сожалению, мы не располагаем палеонтологическими данными, подтверждающими наличие дикого верблюда в юго-восточной части Грузии, но нельзя не учитывать того, что фаунистический комплекс, состоящий из ископаемого осла, дикой лошади, бэзоарового козла и пещерного льва, был здесь довольно обычным в конце верхнего палеолита и в мезолите.

Об относительной древности, по крайней мере части наскальных рисунков Патара Храми говорят, кроме того, отсутствие среди них изображений предметов домашнего обихода и картин земледельческой деятельности, а также наличие ассоциации лев-лошадь, особенно характерной для палеолитической живописи Западной Европы.

Академия наук Грузинской ССР

Институт палеобиологии

(Поступило 13.7.1978)

აკადემიურობის

ა. გეგუა, გ. გაგუაძე, ხ. კლოკოვსკაია

პატარა ხრამის პეტროგლიფების დათარიღების
საკითხისათვის

რეზიუმე

პატარა ხრამის ხეობაში აღმოჩენილი ანიმალისტური ხასიათის პეტროგლიფების გარევეული ნაწილი, გათხრების შედეგად იქვე მოპოვებული ქვის იარაღისა და ნამარხი ცხოველების ნაშთების, ასევე პეტროგლიფების შესრულების მანერის, ტექნიკისა და კომპოზიციის მიხედვით შესაძლებელია ქვის ხანის გვიან საფეხურს მიეკუთვნოს.

A. K. VEKUA, M. K. GABUNIA, N. B. KLOPOTOVSKAYA

ON THE DATING OF THE PETROGLYPHS OF PATARA KHRAMI

Summary

Rock carvings of predominantly animalistic character have been discovered in the Patara Khrami gorge. Remains of stone tools and bones of fossil animals have also been found at the site. The technique, style of drawing and composition, as well as the mammalian fauna and stone industry allow a tentative dating of some of the rock carvings to the late Stone Age.

ЛІТЕРАТУРА — REFERENCES

1. М. К. Габуния. Сб. «Археологические открытия 1976 г.» М., 1977.
2. В. И. Громова. Труды Палеонт. ин-та, т. XVII, вып. I, 1949.
3. Л. К. Габуния. Сб. трудов Геол. ин-та АН ГССР. Тбилиси, 1959.
4. M. Nietzsche. Ztschr. f. ind. Abst. u. Vererungslehre, 51, 1929.
5. А. К. Векуа, Г. К. Григория. Сб. Спелеологической комиссии, т. I, 1963.
6. Н. И. Бурчак-Абрамович, О. Г. Бендукидзе. Сообщения АН ГССР, 55, № 3, 1963.
7. С. К. Даль. Зоол. сб. Ереван, 1957.
8. А. К. Векуа. Сообщения АН ГССР, 45, № 1, 1967.
9. С. Д. Алиев. Автореферат канд. дисс. Баку, 1969.
10. А. К. Векуа, М. В. Шидловский. Сообщения АН ГССР, т. XXI, № 3, 1958.
11. В. Е. Соколов. Бюлл. МОИП, отд. биол., т. 69 (1), 1964.

ПСИХОЛОГИЯ

М. А. ЦИСКАРИДЗЕ, Н. Т. ЗАКАРАЯ

ОСОБЕННОСТИ УСТАНОВКИ В ЗАВИСИМОСТИ ОТ ВОЗРАСТА
И ПОЛА ИСПЫТУЕМЫХ

(Представлено академиком В. В. Чавчанидзе 29.5.1978)

Несмотря на многочисленность исследований, посвященных изучению фиксированной установки, такие вопросы, как возрастные особенности установки и ее особенности в зависимости от пола испытуемых, до настоящего времени мало изучены. Имеющиеся в исследованиях Д. Н. Узнадзе данные о возрастных особенностях установки сам он считал не точными и не окончательными. Что касается особенностей установки в зависимости от пола испытуемых, мы не нашли соответствующих данных в доступной нам литературе.

Обычно при исследовании фиксированной установки вначале испытуемым 15 раз предъявляются два шара разных диаметров (в одну руку большой, в другую маленький). Затем следуют критические опыты, в которых 30 раз подряд предъявляются два равных шара. Как правило, вначале имеет место контрастная иллюзия, т. е. переоценка размеров шара в той руке, в которую в установочных опытах подавался меньший шар. Однако из литературных данных известно, что существует «естественная асимметрия» — характерная для некоторых субъектов переоценка величины воспринимаемых объектов в одном направлении. Такая «асимметрия» может повлиять на результаты критических опытов и исказить картину при классификации типов установки. Поэтому, прежде чем исследовать типы установки в зависимости от возраста и пола испытуемых, мы провели исследование «асимметрии» для всех участвующих в опытах испытуемых.

При исследовании «асимметрии» оценок размеров объектов в оптической сфере Д. Ш. Квавилашвили обнаружил асимметрию (большую переоценку объекта слева) при одном предъявлении равных шаров [1]. Однако, поскольку в реальных опытах равные шары предъявляются несколько раз подряд, нас интересовало, каково будет распределение ответов («слева больше», «справа больше», «равные») в случае нескольких предъявлений. Для этого мы провели специальные проверочные опыты, в которых предъявляли гаптически равные шары пять раз подряд. Были исследованы четыре возрастные группы: учащиеся 4 классов (10 лет), учащиеся 7 классов (13 лет), учащиеся 10 классов (16 лет) и взрослые испытуемые от 25 до 40 лет. В каждой исследованной группе было по 50 человек (25 мужского пола и 25 женского пола). Исследование начиналось с проверочных опытов, в которых испытуемым (глаза у них были закрыты) пять раз подряд предъявляли гаптически два равных шара диаметром 60 мм и просили оценить их размеры. Основные опыты проводили с теми же испытуемыми на следующий день. С каждым испытуемым было проведено 15 установочных и 30 критических опытов. Установку классифицировали согласно установленным Д. Н. Узнадзе типам.



Оказалось, что асимметрия в оценке равных шаров имеет место во всех возрастных группах и в обоих случаях: как при одном предъявлении, так и при пяти предъявлениях. Однако распределение ответов различно в зависимости от числа предъявлений и от возраста испытуемых. Число адекватных оценок равенства шаров увеличивается с возрастом независимо от числа предъявлений. Поскольку при увеличении числа предъявлений некоторые испытуемые в своих отвечах, наряду с переоценкой слева или справа, дают и адекватные оценки, то общее число испытуемых, способных констатировать равенство хотя бы раз из пяти предъявлений, растет. Оно равно 48% для учащихся 4 классов, 64% для учащихся 7 классов, 68% для учащихся 10 классов и 80% для взрослых испытуемых, т. е. число адекватных оценок растет с возрастом. При детальном анализе факта асимметрии мы выделили четыре возможных случая:

I. Испытуемые не в состоянии констатировать равенства ни в проверочных опытах, ни в критических (27; 27; 30; 14% для учащихся 4, 7, 10 классов и взрослых испытуемых соответственно).

II. Испытуемые не в состоянии констатировать равенства в проверочных опытах, но переходят к адекватной оценке шаров в критических опытах (19; 27; 20; 12% для учащихся 4, 7, 10 классов и взрослых испытуемых соответственно).

III. Испытуемые констатируют равенство в проверочных опытах, но не переходят к адекватной оценке в критических опытах (13; 4; 13; 6% для учащихся 4, 7, 10 классов и взрослых испытуемых соответственно).

IV. Испытуемые констатируют равенство и в проверочных, и в критических опытах (таких испытуемых большинство — 41; 42; 37; 68% для учащихся 4, 7, 10 классов и взрослых испытуемых).

Типы установки	Учащиеся 4 классов			Учащиеся 7 классов			Учащиеся 10 классов			Взрослые		
	Муж.	Жен.	Общ.	Муж.	Жен.	Общ.	Муж.	Жен.	Общ.	Муж.	Жен.	Общ.
Грубо-статический	13	12,5	13	16	12	14	12	8	10	16	20	18
Грубо-динамический	25	12,5	19	44	4	24	40	58	50	60	56	58
Пластико-статический	33	58	46	24	54	39	44	23	33	16	4	10
Пластико-динамический	29	17	22	16	30	23	4	11	7	8	20	14

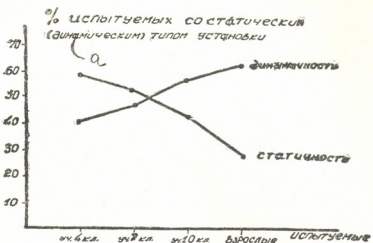
Сравнение испытуемых по указанным четырем случаям в зависимости от пола испытуемых не выявило четких различий для всех возрастных групп, кроме группы учащихся 7 классов. Здесь оказалось, что испытуемые мужского пола хуже оценивают равные шары и в проверочных, и в критических опытах. Так, из 14 испытуемых, которые не могли констатировать равенства, было 9 мальчиков и 5 девочек. Из 21 испытуемого, которые констатировали равенство и в проверочных, и в критических опытах, было 7 мальчиков и 14 девочек.

Для того, чтобы факт неправильной оценки равенства шаров не оказывался на типе установки, мы подавали в установочных опытах больший шар в ту руку, в которой один из разных шаров казался

больше. Это могло лишь несколько увеличить число контрастных иллюзий в критических опытах и не должно было сказаться на общих результатах классификации по типам установки.

Результаты классификации по типам установки в зависимости от возраста и пола испытуемых в процентах представлены в таблице. Из таблицы видно, что во всех возрастных группах выявились все четыре установленных Д. Н. Узнадзе типа установки, однако соотношение количества испытуемых (в процентах) с различным типом установки различалось как для разных возрастных групп, так и для испытуемых разного пола.

Рис. 1. Процент испытуемых с динамическим (статическим) типом установки в зависимости от возраста



В группах учащихся 4 и 7 классов преобладают испытуемые с пластико-статическим типом установки, в то время как для учащихся 10 классов и взрослых испытуемых наиболее характерен грубо-динамический тип. Эти результаты хорошо согласуются с данными Д. Н. Узнадзе [2].

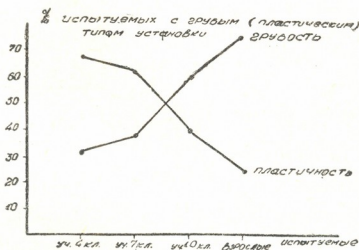


Рис. 2. Процент испытуемых с грубым (пластическим) типом установки в зависимости от возраста

Наряду с классификацией по общим типам, мы провели также классификацию по отдельным свойствам установки: статичность-динамичность и грубоść-пластичность. Соответствующие данные представлены на рис. 1 и 2. Отсюда ясно видно, что свойство статичности все меньше проявляется с увеличением возраста и соответственно возрастает динамичность (рис. 1). Сравнение групп по свойству пластичности-грубоści показало, что с увеличением возраста растет процент испытуемых с грубым типом установки и соответственно уменьшается процент испытуемых с пластическим типом (рис. 2).

Сравнением по этим свойствам в зависимости от пола испытуемых выявлено, что в группах учащихся 4 и 7 классов выше процент испытуемых женского пола с динамическим типом установки, в то время



как в группах учащихся 10 классов и взрослых испытуемых выше процент испытуемых мужского пола с динамическим типом установки. При сравнении по параметру грубости пластичности оказалось, что в группах учащихся 4 и 7 классов выше процент испытуемых мужского пола с пластическим типом установки, в группе учащихся 10 классов выше процент испытуемых женского пола с пластическим типом, а в группе взрослых испытуемых по этому параметру различий между мужчинами и женщинами нет.

Таким образом, наши исследования выявили различия как между испытуемыми разного возраста, так и между испытуемыми разного пола и позволили произвести их классификацию по типам установки.

Академия наук Грузинской ССР
Институт кибернетики

(Поступило 1.6.1978)

ფილოლოგია

მ. ცისკარიძე, ნ. ზაკარაია

განვითარების თავისებურების დამოკიდებულება ცვლისირობა ასაკზე და სქესზე

რეზიუმე

ექსპერიმენტის საშუალებით დადგინდა, რომ ასაკის ზრდასთან ერთად იზრდება განწყობის ღინამიერი და ტლანქი ტიპის მქონე ცდისპირთა რაოდენობა. დაბალი ასაკის გოგონებისათვის (10—13 წწ.) და მაღალი ასაკის ბიჭებისათვის (16—17 წწ.) და მოზრდილები) დამახასიათებელია განწყობის ღინამიერი ტიპი. შესაბამისად დაბალი ასაკის ბიჭებისათვის და მაღალი ასაკის გოგონებისათვის (16—17 წწ.) დამახასიათებელია განწყობის პლასტიკური ტიპი.

PSYCHOLOGY

M. A. TSISKARIDZE, N. T. ZAKARAIA

CHARACTERISTICS OF SET DEPENDING ON AGE AND SEX

Summary

As a result of an experimental study classification is made according to the types of set, depending on the age and sex of subjects. The percentage of subjects with dynamic and coarse types of set was found to increase with age. The dynamic type of set proved to be characteristic of 10-13 year-old girls and 17 year-old boys. The coarse type was characteristic of 10-13 year-old boys and 17 year-old girls. Adults of either sex showed no difference with regard to the parameter of coarseness.

ლიტერატურა — ЛИТЕРАТУРА — REFERENCES

1. Д. Ш. ქავილაშვილი. Труды Тбилисского государственного университета, Право, психология, педагогика, № 161, 1978.
2. Д. Узнадзе. Экспериментальные исследования по психологии установки. Тбилиси, 1961.



ЯЗЫКОЗНАНИЕ

Л. Г. НУЦУБИДЗЕ

РАЗНИЦА В УСЛОВИЯХ РЕАЛЬНОГО УПОТРЕБЛЕНИЯ ГЛАГОЛЬНОГО СОЧЕТАНИЯ TO HAVE A TALK И ПРОСТОГО ГЛАГОЛА TO TALK

(Представлено академиком Ш. В. Дзандзигури 1.7.1978)

Основной задачей новых описаний плана содержания является точность семантических определений. Для этого исследователь должен прежде всего установить, достаточно ли однозначно сформулирована информация, которая приписывается изучаемой единице. Введение принципа эксперимента доказало путь проверки истинности семантического описания [1]. Построив на основании собранного материала гипотезу о значении языковой единицы, исследователь начинает проверять ее истинность через установление зависимости между этой гипотезой и возможностью употребления описываемой языковой единицы в речи. Указанный принцип лег в основу использованной нами методики исследования, которая предполагает работу с информантами.

Объектом исследования данной работы является глагольное сочетание *to have a talk*. Для анализа нами выбрана группа глагольного сочетания, именной компонент которой выражен существительным, образованным от глаголов речи; представляет интерес изучение глагольных сочетаний, расклассифицированных по отдельным группам в зависимости от семантического значения его именного компонента: анализ отдельных групп глагольного сочетания позволит сравнить и глубже изучить поведение этих языковых единиц в речи.

Данное глагольное сочетание неоднократно исследовалось как отечественными, так и зарубежными англистами. До настоящего времени известно, что общим значением конструкции является «кратность» действия при противопоставлении соответствующих его значений — «однократность» при конвертированном существительном в единственном числе и «многократность» при конвертированном существительном во множественном числе.

Как будет показано ниже, «кратность» действия — это не та основная информация, которая может быть приписана изучаемой на-ми единице, а один из компонентов значения исследуемого глагольного сочетания.

В книге О. Н. Селиверстовой «Компонентный анализ многосмысличных слов» говорится о том, что глаголы типа «иметь», «брать» сообщают о наличии или включении Y (X берет Y, X имеет Y) в некоторое «пространство», связанное тем или иным отношением с X. Под словом «пространство» имеется в виду что-то, что может включать, помещать в себя что-то другое, а для этого нужно иметь известную протяженность и тогда всякое пространство можно представить себе или изобразить графически в виде некоторого множества точек (в том числе и множества точек временной оси). Точно



так же можно представить себе и множество, например, свойств некоторого лица, элементов его собственности (точки в данном случае не будут сливаться) [2]. Подобно этому все мельчайшие события можно представить в виде точек некоторой линии $t_1 \dots n$ (под словом «событие» мы понимаем действие, которое происходит с некоторым лицом в некотором временном отрезке $t_1 - n$).

Имея в виду такое графическое изображение пространства, можно выразить информацию таких предложений, как I had a talk yesterday. Мы полагаем, что данное предложение сообщает о наличии точки, соответствующей событию to have a talk в некотором временном отрезке существования X. Здесь действие have a talk получает признак предметности, т. е. представлено в качестве отдельного самостоятельного элемента действительности (ср. красивая женщина и красота женщины). Отсюда, как и всякий предмет, оно предполагает какие-то границы, т. е. оно занимает определенные и может быть пространственные границы.

Напротив, соответствующий глагольному сочетанию простой глагол to talk сообщает, что за событие производит X. Например, в предложении They talked a lot about French coffee [3] акцентируется само действие говорения.

Попытаемся показать, что выделенная информация объясняет множество особенностей употребления глагольного сочетания to have a talk и предсказывает различные случаи их сочетаемости.

Так, в соответствии с предложенным определением, если действие, выраженное глагольным сочетанием, получает признак предметности, то отсюда, как и всякий предмет, оно предполагает какие-то границы, т. е. оно занимает определенные временные и может быть пространственные границы. А раз действие можно поставить в какие-то границы, т. е. представить его в виде цельного элемента, с таким действием, естественно, связывается идея кратности. Идея временного и пространственного ограничения описываемого действия, в свою очередь, связана с представлением о перфектном, завершенном действии. Следует также отметить, что однократное действие подразумевает какой-то конкретный случай или множество таких случаев—talks, walks. Так, например, в предложении... just before Laura went away we had a talk. I wanted to say something to help her [4] глагольное сочетание had a talk вносит информацию об однократном, конкретном, завершенном действии. В предложении „Let's have a song“, I said. „Music, Teddy, please. The Foggy Foggy dew“. Teddy struck the first keys on the cottage piano in the corner and I started to sing. Soon everyone was singing [5] автор речи сообщает о том, что он желает спеть конкретную песню, а именно „The Foggy, Foggy dew“. В последнем предложении глагол sing (was singing) вносит информацию о том, что каждый начал петь, пели все. Если даже указать, какую именно песню пели, внимание автора речи будет акцентировано на том, что делали все, например: Soon everyone was singing „Foggy, Foggy dew“.

Далее, ввиду того что действие, выраженное глагольным сочетанием, носит предметный характер, а предметность предполагает определенную конкретность действия, оказывается естественной невстречаемость глаголь-

ного сочетания *to have a talk* в тех случаях, в которых глагол *to talk* употреблен в общем смысле. Например: 1) *Don't talk like a fool.* [6] (общий смысл); 2) *Why don't you want to talk to her* (общий смысл).

По утверждению информантов, в предложении *I can't talk to you in the study because the child is sleeping there* нельзя употребить *have a talk*. Действительно, *to have a talk*, передавая информацию о наличии действия в некотором временном отрезке существования X, не может быть употреблено в приведенном предложении, так как в данных условиях речи осуществление действия зависит именно от места (от пространства в обычном смысле этого слова) и не связано с временным отрезком существования X. Предложение *We can't have a talk when the child is asleep* будет также неправильным, если говорящий хочет сказать, что нельзя иметь беседу в тот временной период и в том пространстве, когда и где спит ребенок. Однако можно сказать *We can't have a talk when (while) the child is asleep*, если мы хотим сообщить, что в тот момент нашего существования, который по времени совпадает с временем сна ребенка, мы не сможем поговорить; в этом случае невозможность поговорить связана не с ребенком, а с тем, что мы будем заняты чем-то другим, не успеем поговорить и т. д.

Далее, следует также отметить, что, поскольку в глагольном сочетании действие опредмечено, оно не употребляется с обстоятельством образа действия и времени, указывающим на длительный период. Так, в следующих предложениях можно употребить только глагол *to talk*: 1) *The first time he talked in that way, he said something, I've never forgotten, because it horrified me.* [7]; 2) *We've talked it over very thoroughly* [8]; 3) ...*they were standing round it and Mrs. Sunbury was talking volubly* [9]; 4) *During the week they talked about the kite but they also talked about Betty* [10].

Однако возможно употребление глагольного сочетания с обстоятельствами, указывающими на короткий отрезок времени совершения действия (что является характерным для конкретного действия): 1) *We had a talk at 2 o'clock in the afternoon*; 2) *We had a talk from 5 till 7 o'clock*.

Таким образом, рассмотренные нами некоторые условия речи, в которых может или не может быть употреблено исследуемое глагольное сочетание, подтверждают правильность выделенной нами информации: данное глагольное сочетание характеризуется не только тем, что оно обозначает кратность действия, как это считалось до сих пор. Это глагольное сочетание сообщает о наличии события (*talk*) в некотором временном отрезке существования X. Вследствие того, что действие, обозначенное этим сочетанием опредмечено, оно характеризуется кратностью, конкретностью, завершенностью. Выделенные в работе условия речи, в которых употребляются (не употребляются) данные глагольные сочетания, помогут изучающим английский язык правильно использовать данное глагольное сочетание в речи.

Тбилисский государственный
педагогический институт
иностранных языков
им. И. Чавчавадзе

(Поступило 6.7.1978)

ლ. ნუცუბიძე

სხვაობა გვიჩვრი შესიტყვების to have a talk და მარტივი გვიტრი გამოყენების პირობებში

რეზიუმე

განხილულია ზმნური შესიტყვების მნიშვნელობის ზუსტი აღწერის საკითხი.

ზმნური შესიტყვების to have a talk ანალიზმა გამოვლინა, რომ ეს შესიტყვება გადმოსცემს ინფორმაციას ისეთი წერტილის არსებაზე, რომელიც შეესაბამება მოქმედებას to talk იმ დროის მონაკვეთში, რომელშიც არსებობს ამ მოქმედების აგენტი.

ამ ზმნური შესიტყვებით გამოხატული მოქმედება გაარსებითებულია: როგორც ყოველ სავანს, მას აქვს სივრცითი და დროითი საზღვრები. ასეთი მოქმედება დავიშირებულია დასრულებული, კონკრეტული, ჭრადი მოქმედების წარმოდგენასთან.

LINGUISTICS

L. G. NUTSUBIDZE

CONDITIONS FOR THE ACTUAL USE OF THE VERBAL
COLLOCATION «TO HAVE A TALK» AS COMPARED TO THE
CORRESPONDING SIMPLE VERB «TO TALK»

Summary

A study of the verbal collocation «to have a talk» has revealed that it carries information about the presence of a point corresponding to the event (talk) at a certain time span of the existence of the agent of the event. The action expressed by this verbal collocation is nominalized: similarly to any object it has spatial and temporal limits. Hence, such an action is connected with the idea of a completed, concrete and iterative action.

ლიტერატურა — ЛИТЕРАТУРА — REFERENCES

1. Л. В. Щерба. О троеком аспекте языковых явлений и об эксперименте в языкоизучании. История языкознания 19—20 вв., ч. 2. М., 1965, 361.
2. О. Н. Селиверстова. Компонентный анализ многозначных слов. М., 1965, 39, 40.
3. J. Braine. Room at the Top., M., 1961, 75.
4. S. Maugham. The Razor's Edge. L., 221.
5. J. Braine. Room at the Top. M., 131.
6. J. Braine. Room at the Top. M., 101.
7. S. Maugham. The Raizer's Edge. L., 108.
8. S. Maugham. Husbands and Wives. N. Y., 80.
9. S. Maugham. Husbands and Wives. N. Y., 30.
10. S. Maugham. Husbands and Wives. N. Y., 34.

М. Т. ГУДАВА

ОБ ОДНОЙ ГРАММАТИКЕ АРАБСКОГО ЯЗЫКА ИЗ ДАГЕСТАНА

(Представлено членом-корреспондентом Академии К. Г. Церетели 2.7.1978)

Арабоязычные памятники Северного Кавказа неоднократно привлекали внимание исследователей [1—5]. Однако до настоящего времени объектом изучения были в основном памятники исторического характера. Другие арабоязычные произведения, в частности грамматическая литература дагестанского происхождения, ранее не являлись предметом исследования.

Одним из интересных примеров деятельности дагестанских ученых в области арабской грамматики является грамматический труд известного дагестанского писателя и общественного деятеля, автора хроники «Блеск дагестанских шашек в некоторых шамилевских битвах» Мухаммеда Тахира ал-Карахи.

Этот трактат был широко распространен в Дагестане и на протяжении многих лет использовался при обучении арабской морфологии.

Трактат был обнаружен нами в Дагестане в 1976 г. в одной из частных коллекций и впервые вводится в научный обиход.

Рукопись выполнена дагестанским иасхом черными чернилами на желтоватой лощеной бумаге фабричного производства. Названия глав выделены красными чернилами, стихотворные строки и цитаты в тексте также надчеркнуты красными чернилами. В тексте наблюдается смена пера, текст отчасти огласован.

Размер листа 17×22, текста — 11,5×16. На каждой странице 15 строк, исключение составляют 21 и 79 страницы, на которых по 16 строк. Конец листа отмечен кустосом. Рукопись содержит 40 листов, без переплета, на углах страниц многочисленные следы пальцев. На полях глоссы. Рукопись труда Мухаммеда Тахира находится в конце сборника. Дата переписки и переписчик не указаны.

В конце текста трактата имеется фраза: «Закончен в ден'арафа 1293 (1876) года». Так как в тексте больше никаких указаний на дату нет, то можно было бы предположить, что 1876 г. является годом переписки рассматриваемой рукописи. Однако не исключено, что дата, указанная здесь, может быть годом написания автором самого произведения и скопирована переписчиком с оригинала. В начале трактата автор сообщает: «Это... «Морфология... ал-'Иззи»... Составил ее... старец, т. е. вступивший в седьмой десяток (лет) Мухаммед Тахир ал-Джабали ал-Карахи ац-Цулди».

Если учесть, что Мухаммед Тахир родился в 1809 г., то в 1876 г. ему было 67 лет и, следовательно, он мог сказать о себе «старец..., вступивший в седьмой десяток (лет)». Кроме того, у известного знатока дагестанской арабоязычной литературы Магомеда Инквачилова имеется сведение, что известный алим Мухаммед Тахир ал-Карахи написал в 1876 г. грамматику в стихах для своего внука.

На основании вышесказанного мы предполагаем, что указанный в конце текста трактата 1876 год является годом создания автором этого произведения.

Трактат состоит из стихотворных строф и комментариев прозой. Каждую мысль автор сначала передает в предельно лаконичной форме стихами, а затем пространно поясняет ее прозой, иллюстрируя примерами.

По сведениям знатоков дагестанской арабоязычной литературы М. Нурмагомедова, М.-С. Сайдова, Ш. Шавдагова, трактат был вначале написан целиком стихами и содержал 250 байтов. Однако до настоящего времени не имеется ни одной рукописи трактата в чистом стихотворном виде. Из сообщений источников можно сделать вывод, что из-за значительной сложности понимания стихотворный трактат не смог приобрести популярность и автор добавил к нему прозаические комментарии и примеры. Новая редакция трактата получила большое распространение и, видимо, вытеснила первую.

Сложность понимания стихотворного текста была вызвана крайней сжатостью изложения, а зачастую просто пропуском слова в угоду стихотворному размеру.

В основу грамматического трактата Мухаммеда Тахира ал-Караги положен морфологический труд арабского грамматиста XIII в. 'Из ад-Дина Абд ал-Ваххаба ибн Ибрахима аз-Занджани «Мабади фи-т-тасриф» («Начала морфологии»), написанный прозой.

Название труда Мухаммеда Тахира в различных рукописях разное. Наиболее часто встречается название «Шарх ат-тасриф ал-максуд» («Толкование искомой морфологии»), однако нередко и «Шарх ат-тасриф ал-ма'куд» («Толкование неясной морфологии»).

Стихи в трактате написаны размером раджаз. В целом в тексте 251 байт, а в каждом отдельном случае их количество колеблется от 1 до 8 байтов. Каждая стихотворная вставка начинается словом «сказал», а прозаическая часть словом «говорит».

Комментарий построен следующим образом: автор берет отдельные слова или синтагмы в той последовательности, в какой они расположены в стихах, и пространно раскрывает их смысл и смысл выраженного всем стихом грамматического явления.

Труд Мухаммеда Тахира ал-Караги состоит из 20 глав, следующих вслед за басмалой и хамдалой. Вот эти главы:

- 1) Глава о словообразовании и его определении.
- 2.) Глава о морфологии и ее предпосылках.
- 3) Глава о масдарах трехбуквенного первообразного глагола.
- 4) Глава о трехбуквенном расширенном.
- 5.) Глава о четырехбуквенном первообразном и расширенном.
- 6) Глава о переходном и непереходном глаголах.
Раздел о производных от масдара.
- 7) Глава о прошедшем времени.
- 8) Глава о настояще-будущем времени.
- 9) Глава об усеченном и сослагательном наклонениях настояще-будущего времени.
- 10) Глава о действии I повелительного наклонения и *lā* запрещения и повелительного наклонения в этих формах.
- 11) Глава о понятии, когда собирается два *t* в начале настояще-будущего времени.
- 12) Глава об изменении *t* формы *ifta'ala* на *ṭ* или *d*.
- 13) Глава о встрече п усиления.

- 14) Глава о действительном и страдательном причастиях.
- 15) Глава об имени превосходства, отглагольном прилагательном и глаголе удивления.
- 16) Глава о геминированных глаголах.
- 17) Глава о слабых глаголах.
- I разновидность со слабым f.
- II разновидность со слабым l.
- III разновидность со слабым l.
- IV разновидность со слабым f и l.
- V разновидность со слабым f и l.
- 18) Глава о хамзованных глаголах.
- 19) Глава об имени времени и места.
- 20) Глава об имени орудия, однократности действия и вида.

При сравнении труда Мухаммеда Тахира с его первоисточником, произведением аз-Занджани, бросается в глаза значительно большее количество глав в первом (в книге аз-Занджани 5 глав). Дело тут не только в более дробном делении материала по главам, но и в том, что Мухаммед Тахир затрагивает ряд вопросов, не рассмотренных у аз-Занджани. Расхождения подчас столь значительны, что дают основание считать труд Мухаммеда Тахира независимым произведением.

В рукописи встречаются так называемые пояснительные значки «замир ишара», специфичные для дагестанских рукописей. Они указывают на синтаксическую связь слов в предложении. Среди них имеется ряд значков, не отмеченных ранее в специальной литературе.

Помимо пояснительных значков, в рукописи встречаются также значения для указания ссылки. Формы и употребление их были произвольными. Некоторые из этих знаков по форме похожи на пояснительные значки.

Академия наук Грузинской ССР

Институт востоковедения
им. акад. Г. В. Церетели

(Поступило 7.7.1978)

აღმოსავლეთა მოდენიზაცია

გ. გურჯაანი

არაბული ენის ერთი გრამატიკის შესახებ დაღესტნილან

რეზიუმე

არაბული ენის გრამატიკა „შარქ ათ-თასრიფ ალ-მაქსუდ“ ეკუთვნის ცნობილ დაღესტნელ მწერალს და შამილის ღროის საზოგადო მოღვაწეს მუჰამად ტაჰირ ალ-ყარაბის.

ამ გრამატიკულ ტრაქტატს, რომელიც დაწერილია ნაწილობრივ ლექსიდ, საფუძვლად უდევს XIII ს. არაბი გრამატიკოსის ‘იზ ად-დინ აბდ ალ-ვაჰავა იბნ იბრაჰიმ აზ-ზანგანის ნაშრომი „მაბადი ფი-თ-თასრიფ“.

დაღესტნელი ვეტორის ტრაქტატი მნიშვნელოვნად განსხვავდება თავისი პირველწყაროსაგან. ალ-ყარაბი ეხება მრავალ საკითხს, რომელიც არა აქვს განხილული აზ-ზანგანის და მისი ნაშრომი, ფაქტიურად, წარმოადგენს და-მოუკიდებელ ნაწარმოებს.



M. T. GUDAVA

A GRAMMAR OF THE ARABIC LANGUAGE FROM DAGHESTAN

Summary

The Arabic Grammar *Sharh at-tasrif al-maqsid* belongs to Muhammad Tahir al-Qarakhi, a well known writer and public figure of Shamil's time.

The Grammar, partly written in verse, is based on *Mabadi fi-t-tasrif*, a work of the Arab grammarian 'Izz ad-Din Abd al-Wahhab ibn Ibrahim az-Zanjani (13th century).

The treatise of the Daghestanian author substantially differs from its original source, for he considers many problems not dealt with in az-Zanjani's work. This gives ground to consider al-Qarakhi's grammar an independent work.

ЛІТЕРАТУРА — REFERENCES

1. И. Ю. Крачковский. Арабская рукопись воспоминаний о Шамиле. Избр. соч., т. VI, М.—Л., 1960.
2. И. Ю. Крачковский. Арабская литература на Северном Кавказе. Избр. соч., т. VI. М.—Л., 1960.
3. Г. В. Церетели. Вестник Государственного музея Грузии, т. IX, В (1). Тбилиси, 1936.
4. Т. С. Маргвелашвили. Труды Ин-та языкоznания, сер. восточных языков, I. Тбилиси, 1954.
5. Н. Г. Канчавели. Изв. Ин-та рукописей им. К. С. Кекелидзе АН ГССР, V. Тбилиси, 1963.

91-ი ტომის პატორითა საქითხები

- | | | |
|--------------------------|--------------------------|----------------------|
| აბაშიძე ზ. 431 | გულმაგარაშვილი ვ. 686 | თოიძე შ. 180 |
| აბაშიძე ლ. 128 | გურიელი ო. 160, 468 | თულშვილი კ. 328 |
| აბაშიძე მ. 604 | დავითაშვილი ნ. 408 | თხელიძე პ. 151, 455 |
| აბესაძე ი. 616 | დაწელია დ. 699 | იავიჩი პ. 628 |
| აღაშვილი თ. 695 | დახუნდარიძე თ. 100 | იზრაელშვილი მ. 180 |
| ალადაშვილი ნ. 439 | დეკანოშვილი გ. 608 | იოსებიძე თ. 443, 707 |
| ალექსი-შესხიშვილი ლ. 717 | დემურა კ. 464 | იოსელიანი დ. 360 |
| ალექსიძე მ. 64 | დიხამინჯია ჩ. 568 | ისახანოვი ჩ. 304 |
| ანდრონიქაშვილი გ. 351 | დოლიძე ე. 447 | |
| არეშიძე ქრ. 72, 360, 620 | დოლერი ჭ. 424 | კაბანოვი ვ. 620 |
| არუთინოვი ა. 32 | დოხტერიშვილი ნ. 351 | კანდელაკი ვ. 79 |
| ასათიანი მ. 112, 672 | დუღუჩვა ჩ. 296 | კანდელაკი მ. 608 |
| ახვლელიანი ჩ. 375 | დუმბაძე ა. 312 | კაუკიჩი მ. 288 |
|
 | დურმიშიძე ნ. 154 | კეჭუა მ. 404 |
| ბანცური ჩ. 572 | დურმიშიძე ს. 451 | კერვალიშვილი ო. 424 |
| ბანძელაძე მ. 386 |
 | კეშელავა ნ. 108 |
| ბარაბაძე შ. 72 | ეიჩისი ლ. 596 | კეცველი დ. 96 |
| ბაქაძე დ. 656 | ელიგულაშვილი ი. 608 | კვანტალიანი ი. 372 |
| ბაშლეიშვილი დ. 576 | ელოშვილი ს. 300 | კვანტალიანი ლ. 623 |
| ბენაშვილი ჭ. 483 |
 | კვეზერელი ვ. 348 |
| ბერუხიშვილი ნ. 683 | ვადაჭყორია გ. 419, 676 | კვერნაძე მ. 600 |
| ბიჩინაშვილი ა. 332 | ვარსინაშვილი ე. 87, 368 | კვევიძე შ. 192 |
| ბოკუჩვა ი. 308 | ვარძელაშვილი ნ. 340 | კიქაძე ა. 79 |
| ბრავო ე. 428 | ვაშაკიძე ჩ. 344 | კილაძე ჩ. 324 |
| ბროდელი მ. 608 | ვაშალომიძე ა. 665 | კიმელფელი ბ. 544 |
| ბულა ა. 652 | ვეკუა ა. 743 | კირთაძე გ. 52 |
| ბურჭულაძე ვ. 209 | ვეფხაძე ლ. 480 | კლდიაშვილი ჩ. 616 |
|
 | ვინიკოვი ი. 200 | კლებანოვი ლ. 539 |
| გაბრიელიძე ო. 67 | ვინტაიკინი ე. 332 | კლიპქერი ი. 556 |
| გაბუნია მ. 743 | ვოლოშინი ი. 727 | კლოპოტოვეკია ნ. 743 |
| გაჩეჩილაძე თ. 52 |
 | კოზლოვა ნ. 464 |
| გაჯიგო ბ. 72 | ზალიშვილი ე. 715 | კოკილაშვილი ვ. 27 |
| გეგეპორი თ. 336 | ზამთარაძე გ. 129 | კონდრატივი ო. 596 |
| გელეანიშვილი ი. 707 | ზაუტაშვილი მ. 175 | კორელოვი ე. 44 |
| გვარამაძე შ. 202 | ზექარია ნ. 748 | კოტლიარენკო კ. 679 |
| გვარაშვილი ა. 530 | ზელენცოვი ვ. 148 | კულრია ა. 592 |
| გვაგავა ნ. 724 | ზენკოვიჩი ვ. 79 | კუპრავა შ. 616 |
| გვერდწითელი ი. 363, 612 | ზვიადური ვ. 116, 416 | კურტანიძე ჩ. 148 |
| გიორგაძე დ. 644 | ზვიადაძე გ. 104, 400 |
 |
| გოგაშვილი დ. 699 | ზურაბაშვილი ზურ. 192 | ლაბარტყავა ე. 332 |
| გოგაშვილი ჭ. 64 | ზურებიანი ბ. 123 | ლანდია ნ. 76 |
| გოგიჩაძე გ. 476 |
 | ლატიარია კ. 695 |
| გოლეთიანი ზ. 192 | თავართქილაძე ზ. 672 | ლალიძე ჩ. 616 |
| გოლოვინი ვ. 23 | თქმაქვიშვილი ი. 195, 500 | ლეჟავა ა. 348 |
| გოლაძე ო. 64 | დელიაშვილი ხ. 375 | ლივშიცი მ. 284 |
| გრიგოლაშვილი ნ. 447 | თევზაძე გ. 40 | ლოლაძე ნ. 616 |
| გუდავა მ. 755 | თვალჭრელიძე ა. 380 | ლოსაბერიძე ან. 644 |



მაისაძე ფ. 84
 მაისურაძე ნ. 351
 მამურია დ. 48
 მანაგაძე გ. 592
 მანჯგალაძე 3. 336
 მანჯგალაძე ქ. 548
 მარასაგაშვილი გ. 135
 მარინოვა გ. 328
 მაჩილაძე თ. 76
 მაჩილშვილი ჩ. 344, 600,
 604
 მაჩაგარიანი გ. 154
 მახარაძე ლ. 660
 მეგრულშვილი ჩ. 583
 მელამედი ი. 539
 მეტრეველი ქ. 704
 მითაგვარია ნ. 695
 მირზაშვილი გ. 560
 მიქაელ ო. 108
 მიხელაშვილი ბ. 328
 მოდებაძე ო. 608
 მოსიძე ე. 135
 მოწონელიძე ა. 120
 მოწონელიძე გ. 120
 მშვიდობაძე გ. 488, 736

 ნადირაშვილი ზ. 59, 588
 ნადარეიშვილი ქ. 135
 ნათაძე გ. 207
 ნარმანიძე ა. 148
 ნარმანია ე. 291
 ნარზაული ი. 380
 ნატროშვილი ე. 439
 ნიკოლაიშვილი ნ. 391
 ნოლაიდელი ა. 356
 ნუცუბიძე ლ. 752

 ოლინცოვა ი. 160, 468
 ომანაძე ჩ. 552
 ონარი ნ. 143, 711
 ონარი ზ. 395

 პაატაშვილი ე. 27
 პაპავა გ. 351
 პატარაა დ. 154
 პირალოვი ა. 100
 პლუზოვი ს. 620

 უორდანია ს. 216
 უორელოვა თ. 139
 უცუკვინი ე. 44

რამაძე ჩ. 104, 400
 რაკიცი ა. 108
 რიუინაშვილი ჩ. 135
 რუბინშტეინი მ. 340

 საგდიევა თ. 727
 სალექვაძე ნ. 631
 სამხრია გ. 616
 სამსონია შ. 363, 612
 საყარელიძე ა. 431
 სეცერტოლაძე გ. 640
 სიხარულიძე დ. 336
 სიხარულიძე თ. 648
 სკურიგინა ნ. 160, 468
 სმეტანიშვილი გ. 620
 სმირნოვი ქ. 727
 სობოტოვიჩი კ. 340
 სუვოროვი ნ. 363, 612
 სულაბერიძე თ. 316

 ტაბატაძე დ. 384
 ტაბატაძე ე. 400
 ტინიანსკა ნ. 32
 ტრაპაძე მ. 363
 ტყემალაძე მ. 636
 ტყეშელაშვილი ჩ. 356

 უზნაძე-მჭედლიშვილი ქ.
 731
 ურუშაძე თ. 683

 ფაჩულია ლ. 183
 ფირანაშვილი ზ. 316
 ფირცხალავა თ. 395, 600,
 604

 ჭარქუბაშვილი ე. 439
 ჭისტარი ე. 320, 579
 ჭიქავა გ. 691
 ჭიოვა ნ. 356
 ჭუთათელაძე გ. 67
 ჭუთათელაძე ე. 419

 ღვინეფაძე მ. 724
 ღლონტი ვ. 592
 ღონდაძე დ. 332

 ყვავილაშვილი ი. 143, 711
 ყიფარიანი თ. 564
 ყორიაული ი. 411

 შაგინიანი ე. 139

შანიძე ო. 472
 შალაშვილი ა. 451
 შალინი ჩ. 52
 შანგუა ა. 20
 შარიქაძე მ. 372
 შენგელა დ. 96
 შენგელა ო. 104, 400
 შერგაშიძე თ. 536
 შეულაშვილი მ. 476
 შველაშვილი ა. 344
 შილაკაძე ე. 148
 შურდაია ი. 428

 ჩაჩავა გ. 491
 ჩაჩანიძე გ. 76
 ჩიგოვაძე ა. 275
 ჩიგაძე გ. 360
 ჩიკვაძე ი. 612
 ჩიკვაშვილი შ. 143, 711
 ჩიქოვანი ნ. 691
 ჩიქოვანა ჩ. 328
 ჩიქოვანი ხ. 436
 ჩობანიანი ლ. 55
 ჩობანიანი ნ. 353
 ჩომაჩიძე ჩ. 436
 ჩუბინიძე გ. 457
 ჩხანიძე ზ. 187, 496
 ჩხარტიშვილი თ. 91
 ჩხეიძე ქ. 167
 ჩხილაძე გ. 104, 400

 ცაგარელი ე. 631
 ცაგარელი ზ. 180
 ცა ა. 650
 ცინცაძე გ. 148
 ცისკარიძე მ. 748
 ციციშვილი გ. 623

 ძნელიძე ა. 163

 წაქაძე ქ. 59, 588
 წერეთელი ჩ. 672
 წილოსანი ზ. 431

 ჭედია ჩ. 620
 ჭიპაშვილი დ. 623
 ჭიშინაძე ა. 447
 ჭკალუა ა. 505

 ხარაზიშვილი ა. 36
 ხარიტონოვი ი. 604

ხაჩიძე თ. 455
ხეჩინაშვილი ს. 739
ხვინგაი გ. 116, 416
ხვიჩაი ქ. 419
ხუცაიდატოვი ბ. 139

ხუნდიძე გ. 76
ხუროძე თ. 279
ჯავახიშვილი ა. 447
ჯამბაზიშვილი ა. 171

ჯაფარიძე გ. 739
ჯვარშეიშვილი ა. 656
ჯინჭარაძე გ. 640
ჯინჭარაძე გ. 192
ჯორბენიძე ბ. 501

УКАЗАТЕЛЬ АВТОРОВ 91-го ТОМА

- Абашидзе З. С. 429
 Абашидзе Л. Я. 125
 Абашидзе Т. Д. 661
 Абашмадзе М. Ш. 601
 Абесадзе И. Г. 613
 Адамия Т. Э. 693
 Аладашвили Н. Н. 437
 Александзе М. А. 61
 Алексей-Месхишивили Л. Г.
 719
 Андроникашвили Г. Г.
 349
 Арешидзе Х. И. 69, 357,
 617
 Арутюнов А. В. 29
 Асатиани М. Д. 109, 669
 Ахвледиани Р. А. 373

 Бакрадзе Д. В. 653
 Бандзеладзе Б. Р. 385
 Банцури Р. Д. 569
 Барабадзе Ш. Ш. 69
 Башалеишвили Д. И. 573
 Бениашвили Д. Ш. 481
 Беруашвили Н. Л. 681
 Бичинашвили А. И. 329
 Бокучава И. В. 305
 Браго Е. Н. 425
 Бродзели М. М. 605
 Булия Н. П. 649
 Бурчуладзе Г. Т. 212

 Вадачкория Г. В. 417,
 673
 Вардзелашибвили Н. С.
 337
 Варсимашвили Э. В. 85,
 366
 Вашакидзе Р. М. 341
 Вашаломидзе А. П. 668
 Векуა А. К. 741
 Вепхвадзе Л. К. 477
 Винников И. Л. 197
 Винтайкин Е. З. 329
 Волошина И. В. 725

 Габричидзе О. А. 65
 Габуниა М. К. 741
 Гаджиев М. К. 69
 Гачечиладзе Т. Г. 49
 Гваджава Н. А. 721
 Гварамадзе Ш. А. 201
 Гварамия А. А. 529
 Гвелесиани Г. Г. 661
 Гвердцители И. М. 361,
 609
 Гвиннепадзе М. Ш. 721
 Гегечкори Т. Ш. 333
 Гегиадзе Г. Г. 661
 Гедеванишвили И. Д.
 705
 Гиоргадзе Д. П. 641
 Глонти В. К. 589
 Гогиашвили Д. В. 61,
 697
 Гогичадзе Г. К. 473
 Голетиани З. А. 189
 Головин В. Д. 21
 Гонгадзе Д. Н. 329
 Гоцадзе О. Д. 61
 Григалашвили Н. А. 445
 Гудава М. Т. 753
 Гулмагарашибвили В. Х.
 685
 Гуриели О. А. 157, 465

 Давиташвили Н. С. 405
 Данелия Д. С. 697
 Дахундаридзе Т. Ш. 97
 Деканозишвили Г. Г.
 605
 Демурия Е. Л. 461
 Джавахишвили А. А.
 445
 Джамбазишвили Я. С.
 169
 Джапаридзе Ш. В. 737
 Джваршенишвили А. Г.
 653
 Джинчарадзе Г. Г. 637
 Джинчарадзе М. М. 189

 Джорбенадзе Б. А. 504
 Дзнеладзе А. А. 161
 Дихаминджия Р. Г. 565
 Долидзе Е. И. 445
 Дохтуришвили Н. С.
 349
 Дочвири Дж. Н. 421
 Дудучава Р. В. 293
 Думбадзе А. А. 309
 Дурмишидзе Н. В. 153
 Дурмишидзе С. В. 449

 Елигулашибвили И. А. 605

 Жордания С. Д. 213
 Жоржоладзе Т. К. 137
 Жуковин В. Е. 41

 Заалишвили Э. А. 713
 Закарая Н. Т. 745
 Замтарадзе Г. К. 132
 Зауташвили М. И. 173
 Звиададзе Г. Н. 101,
 397
 Звиадаури В. С. 113,
 413
 Зеленцов В. В. 145
 Зенкович В. П. 77
 Зурабашвили Зур. А.
 189
 Зуребиани Б. Г. 121

 Израелашвили М. Ш.
 177
 Иосебидзе Т. И. 441,
 705
 Иоселиани Д. К. 357
 Исаханов Р. С. 301

 Кабанов В. А. 617
 Канделаки А. З. 661
 Канделаки В. В. 77
 Канделаки М. Д. 605
 Каркузашибвили К. Н. 437
 Каукич М. В. 285



- Квавилашвили И. Ш. 141, 709
 Кванталиани И. В. 369
 Кванталиани Л. К. 621
 Квазерели Э. А. 345
 Квериадзе М. С. 597
 Кекуа М. Г. 401
 Кервалишвили О. Г. 421
 Кешховели Д. Н. 93
 Кешелава Н. П. 105
 Кикава Г. С. 689
 Киквадзе М. П. 189
 Кикнадзе А. Г. 77
 Киладзе Р. М. 321
 Кимерфельд Б. Н. 541
 Кипиани Т. Г. 561
 Киртадзе Г. Ш. 49
 Кистаури Э. И. 317, 577
 Кладиашвили Р. Ш. 613
 Клебанов Л. Б. 537
 Клинкер И. А. 553
 Клопотовская Н. Б. 741
 Козлова Н. В. 461
 Кокилашвили В. М. 25
 Кондратьев О. К. 593
 Корелов Э. С. 41
 Кориаули И. П. 409
 Котляренко К. Ю. 671
 Коява Н. А. 353
 Кудря А. В. 589
 Куправа Ш. Д. 613
 Куртанидзе Р. Ш. 145
 Кутателадзе Г. Ш. 65
 Кутателадзе Э. Ш. 417
- Лабарткава Э. К. 329
 Лагидзе Н. А. 73
 Лагидзе Р. М. 613
 Латария К. Д. 693
 Лежава А. П. 345
 Лившиц М. С. 281
 Лоладзе Н. Р. 613
 Лосаберидзе Ан. А. 641
- Майсадзе Ф. Д. 81
 Мампория Д. М. 45
 Манагадзе Г. Д. 589
 Манджгаладзе К. В. 545
 Манджгаладзе П. В. 333
 Марсагиашвили Г. А. 133
 Матинова М. С. 325
 Махарадзе Л. И. 657
 Мачавариани М. З. 153
 Мачаладзе Т. Е. 73
- Мачхошвили Р. И. 597, 601
 Мегрелишвили Р. П. 581
 Меламед И. А. 537
 Метревели Дж. М. 703
 Микадзе О. И. 105
 Мирзашвили Г. И. 557
 Митагвария Н. П. 693
 Михелашвили В. П. 325
 Модебадзе О. Е. 605
 Мосидзе В. М. 133
 Мошонелидзе А. Н. 117
 Мошонелидзе Н. С. 117
 Мшивидобадзе М. В. 485, 733
- Надарейшвили К. Ш. 133
 Надирашвили З. Ш. 57, 585
 Нариманидзе А. П. 145
 Нармания В. Г. 289
 Нарозаули И. Г. 377
 Натадзе М. Р. 205
 Натрошвили Э. И. 437
 Николаишвили Н. С. 389
 Ногайдели А. И. 353
 Нуцубидзе Л. Г. 749
- Одиссова И. Г. 157, 465
 Оманадзе Р. Ш. 549
 Онiani Н. Т. 141, 709
 Онiani Ш. И. 393
- Пааташвили В. А. 25
 Папава Г. Ш. 349
 Патарая Д. Т. 153
 Пачулия Л. С. 181
 Пирадов А. Б. 97
 Пиранашвили З. А. 313
 Пирцхалава Н. И. 597, 601
 Пирцхалава Т. Г. 393
 Плужников С. К. 617
- Размадзе Р. С. 101, 397
 Ракицкий А. Н. 105
 Рижинашвили Р. С. 133
 Рубинштейн М. М. 337
 Рихиладзе В. Г. 661
- Сагдиева П. Д. 725
 Сакварелидзе А. В. 429
 Салуквадзе Н. Ш. 629
- Самсония Г. Г. 613
 Самсония Ш. А. 361, 609
 Сепертеладзе М. Д. 637
 Сихарулидзе Д. И. 333
 Сихарулидзе Т. Д. 645
 Скуригина Н. А. 157, 465
 Сметанюк В. И. 617
 Смирнов Е. Н. 725
 Соботович Э. В. 337
 Суворов Н. Н. 361, 609
 Сулаберидзе Т. Г. 313
- Табатадзе Д. В. 381
 Табатадзе Е. С. 397
 Тавартиладзе З. С. 669
 Тактакишивили И. Г. 193, 497
 Твалчрелидзе А. Г. 377
 Тедиашвили Х. А. 373
 Ткаченко И. Г. 661
 Ткемаладзе М. Т. 633
 Ткешелашвили Р. Ш. 353
 Тондзе Ш. С. 177
 Трапаидзе М. В. 361
 Тухашвили Э. В. 325
 Тхелидзе П. А. 149, 453
 Тынянский Н. Т. 29
- Узнадзе-Мчедлишвили К. И. 729
 Урушадзе Т. Ф. 681
- Харазишвили А. Б. 35
 Харитонов Ю. Я. 601
 Хачилдзе О. Т. 453
 Хвингия М. В. 113, 413
 Хвичия К. Л. 417
 Хечинашвили С. Н. 737
 Худайдатов Б. Р. 137
 Хундадзе М. Г. 73
 Хуродзе Т. А. 277
- Цагарели Е. А. 629
 Цагарели З. Г. 177
 Цай А. А. 653
 Цакадзе Дж. С. 57, 585
 Церетели Р. И. 669
 Цилосани З. Н. 429
 Чинцадзе Г. В. 145
 Чискаридзе М. А. 745
 Цицишвили Г. В. 621

- Чачава М. К. 489
 Чачанидзе Г. Д. 73
 Чедия Р. В. 617
 Чивадзе Г. О. 357
 Чигогидзе А. Ч. 273
 Чиквандзе И. Ш. 609
 Чиквашвили Ш. Д. 141,
 709
 Чиковани Н. В. 689
 Чиковани Р. И. 325
 Чиковани Х. С. 433
 Чипашвили Д. С. 621
 Чичинадзе А. Д. 445
 Чкаладзе А. А. 508
- Чобаниани Н. И. 353
 Чобанян Л. А. 53
 Чомахидзе Р. О. 433
 Чубинидзе В. В. 459
 Чхандзе З. К. 185, 493
 Чхартишвили Т. А. 89
 Чхендзе Д. В. 165
 Чхиквадзе Н. В. 101, 397
- Шагинян В. С. 137
 Шанидзе О. Т. 469
 Шалашвили А. Г. 449
 Шалин Р. Е. 49
- Шангуга А. Г. 17
 Шарикадзе М. З. 369
 Швелашвили А. Е. 341
 Шеклашвили М. Ш. 473
 Шенгелия Д. М. 93
 Шенгелия О. В. 101, 397
 Шервашидзе Т. Л. 533
 Шилакадзе Е. М. 145
 Шургая И. Б. 425
- Эйчис Л. М. 593
 Элошвили С. А. 297
- Явич П. А. 625

AUTHOR INDEX TO VOLUME 91

- Abashidze L. I. 123
 Abashidze T. D. 664
 Abashidze Z. S. 432
 Abashmadze M. Sh. 604
 Abesadze I. G. 616
 Adamia T. E. 696
 Aladashvili D. N. 439
 Aichis L. M. 596
 Akhvlediani R. A. 376
 Aleksi-Me khishvili L. G.
 719
 Alekisdze M. A. 64
 Andronikashvili G. G. 352
 Arestidze Kh. I. 72, 360,
 620
 Arutyunov A. V. 32
 Asatiani M. D. 112, 672
 Bakradze D. V. 656
- Bandzeladze B. R. 387
 Bantsuri R. D. 572
 Barabadze S. S. 72
 Bashaleishvili D. I. 576
 Beniashvili D. Sh. 484
 Beruchashvili N. L. 684
 Bichinashvili A. I. 332
 Bokuchava I. V. 308
 Brodzeuli M. I. 608
 Brago E. N. 428
 Bulia N. P. 652
 Burchuladze G. T. 212
- Chichinadze A. D. 447
 Chigo idze A. Ch. 275
 Chikovani Kh. S. 436
 Chikovani N. V. 691
 Chikovani R. I. 328
 Chikvaidze I. Sh. 612
 Chikvashvili Sh. N. 143,
 712
 Chipashvili D. S. 624
 Chivadze G. O. 360
 Chkadua A. A. 508
 Chkaidze Z. K. 188, 496
 Chkhartishvili T. A. 92
 Chkheidze D. V. 167
 Chkhikvadze N. V. 104,
 400
 Chobanyan L. A. 56
 Chomakhidze R. O. 436
 Chubinidze V. V. 459
- Dakhundaridze T. Sh. 100
 Dalakishvili G. G. 608
 Danelia D. S. 699
 Davitashvili N. S. 408
 Demuria E. L. 404
 Dikhaminjia R. G. 568
 Dochviri J. N. 424
 Dokhturi hvili N. S. 352
 Dolidze E. I. 447
 Duduchava R. V. 296
 Dumbadze A. A. 312
 Durmishidze N. V. 155
 Durmishidze S. V. 451
 Dzneladze A. A. 164
- Eligulashvili I. A. 608
 Eloshvili S. A. 300
- Gabrichidze O. A. 68
 Cabunia M. K. 744
 Gachechiladze Th. G. 52
 Gajiev M. K. 72
 Gedevanishvili I. D. 708
 Gegechkori T. Sh. 336
 Gegiadze G. G. 664
 Giorgadze D. P. 644
 Glonti V. K. 592
 Gogiazhvili D. V. 64, 699
 Gogichadze G. K. 476
 Golovin V. D. 24
 Coletiani Z. A. 192
 Gongadze D. N. 332
 Gotsadze O. D. 64
 Grigalashvili N. A. 447
 Gvajava N. A. 724
 Gvaramia A. A. 531
 Gvaramadze Sh. A. 203
 Gvelesiani G. G. 644
- Gverdtsite'i . M. 363,
 612
- Gvinepadze M. Sh. 724
 Gudava M. T. 756
 Gulmagarashvili V. Kh. 686
 Gurieli O. A. 160, 468
- Isakhanov R. S. 304
 Iosebidze T. I. 443, 708
 Ioseliani D. K. 360
 Israelashvili M. Sh. 180



- Jambazishvili J. S. 171
 Japaridze Sh. V. 740
 Javakhishvili A. A. 447
 Jincharadze G. G. 640
 Jincharadze M. M. 192
 Jorbenadze B. A. 504
 Jvarsheishvili A. G. 656
- Kandelaki A. Z. 664
 Kandelaki M. D. 608
 Kabanov V. A. 620
 Kandelaki V. V. 79
 Karkuzashvili K. N. 439
 Kaukic M. V. 288
 Kekua M. G. 404
 Kervalishvili O. G. 424
 Keshelava N. P. 108
 Ketskhoveli D. N. 96
 Khachidze E. T. 456
 Kharazishvili A. B. 36
 Kharitonov I. I. 604
 Khechinashvili S. N. 740
 Khudaidatov B. P. 140
 Khundadze M. G. 76
 Khurodze T. A. 280
 Khvichia K. L. 420
 Khvingia M. V. 116, 416
 Kikava G. S. 691
 Kiknadze A. G. 79
 Kikvidze M. P. 192
 Kiladze R. M. 324
 Kimelfeld B. N. 544
 Kipiani T. G. 564
 Kirtadze G. Sh. 52
 Kistauri E. I. 320 579
 Kediashvili R. Sh. 616
 Klebanov L. B. 539
 Klipker I. A. 556
 Klopotovskaya N. B. 744
 Kokilashvili V. M. 27
 Kondratiev O. K. 596
 Koriauli I. P. 416
 Korelov E. S. 44
 Kotlyarenko K. Y. 680
 Kozlova N. V. 464
 Kuprava Sh. D. 616
 Kudria A. V. 592
 Kutateladze E. Sh. 420
 Kutateladze G. Sh. 68
 Kvantaliani I. V. 372
 Kvantaliani L. K. 624
 Kvavilashvili I. Sh. 143,
 712
 Kvernadze M. S. 600
 Kvezereli E. A. 348
- Labartkava E. K. 332
 Lagidze R. M. 616
 Landia N. A. 76
 Lataria K. D. 696
 Lezhava A. P. 348
 Livshic M. S. 284
 Loladze N. R. 616
 Losaberidze An. A. 644
- Machaladze T. E. 76
 Machavariani M. Z. 155
 Machkhoshvili R. I. 344,
 600, 604
 Maisadze F. D. 84
 Maisuradze N. A. 352
 Makharadze L. I. 660
 Mamporia D. M. 48
 Managadze G. D. 592
 Manjgaladze K. V. 548
 Manjgaladze P. V. 336
 Marsagishvili G. A. 135
 Matinova M. S. 328
 Megrelishvili R. P. 583
 Melamed I. A. 539
 Metreveli J. M. 704
 Mikadze O. I. 108
 Mikhelashvili V. M. 328
 Mirzashvili G. I. 560
 Mitagvaria N. P. 696
 Modebadze O. E. 608
 Mosidze V. M. 135
 Motsonelidze N. S. 120
 Motsonelidze A. N. 120
 Mshvidobadze M. V. 488,
 736
- Nadareishvili K. Sh. 135
 Nadirashvili Z. Sh. 59, 588
 Narimanidze A. P. 148
 Narmania V. G. 291
 Narozauli I. G. 380
 Natroshvili E. I. 439
 Natadze M. R. 208
 Nikolaishvili N. S. 392
- Nogaideli A. I. 356
 Nutsubidze L. G. 752
- Odintsova I. G. 160, 468
 Omanadze R. Sh. 552
 Oniani N. T. 143, 712
 Oniani Sh. I. 396
- Paataashvili V. A. 27
- Pachulia L. S. 183
 Papava G. Sh. 352
 Pataraia D. T. 155
 Piradov A. B. 100
 Piranashvili Z. A. 316
 Pirtskhalaava N. I. 600, 604
 Pirtskhalaava T. G. 396
 Pluzhonov S. K. 620
- Rakitski A. N. 108
 Razmadze R. S. 104, 400
 Rizhinashvili R. S. 135
 Rtskhiladze V. G. 664
- Rubinstein M. M. 340
- Saggieva P. D. 728
 Sakvarelidze A. V. 432
 Salukvadze N. Sh. 631
 Samsonia G. G. 616
 Samsonia Sh. A. 363, 612
 Shaginyan V. S. 140
 Shainidze O. T. 472
 Shalashvili A. G. 451
 Shalin R. E. 52
 Shangua A. G. 20
 Sharikadze M. Z. 372
 Sheklashvili M. Sh. 476
 Shengelia O. V. 104, 400
 Shengelia D. M. 96
 Shilakadze E. M. 148
 Shervashidze T. L. 536
 Shurqaia I. B. 428
 Shvelashvili A. E. 344
 Seperteladze M. P. 640
 Sikharulidze D. I. 336
 Sikharulidze T. D. 648
 Skurigina I. A. 468
 Skurigina N. A. 160
 Smetanyuk V. I. 620
 Smirnov E. N. 728
 Sobotovich E. V. 340
 Sulaberidze T. G. 316
 Suvorov N. N. 363, 612
- Tabatadze P. V. 384
 Tabatadze E. S. 400
 Taktakishvili I. G. 195, 500
 Tavartkiladze Z. S. 672
 Tediashvili Kh. A. 376
 Tevzadze G. D. 40
 Tkachenko I. G. 664
 Tkmaladze M. T. 636
 Tkhelidze P. A. 152, 456

Toidze Sh. S. 180	Uznadze-Mchedlishvili K.I.	Yavich P. A. 628
Trapaidze M. V. 363		
Tsagareli E. A. 631		
Tsagareli Z. G. 180	Vadachkoria G. V. 420, 676	Zaalishvili E. A. 715
Tsai A. A. 656	Vardzelashvili N. S. 340	Zakaria N. T. 748
Tsakadze J. S. 59, 588	Varsimashvili E. V. 88, 368	Zamtaradze G. K. 132
Tsereteli R. I. 672	Vashałomidze A. P. 668	Zautashvili M. I. 176
Tsilosani Z. N. 432	Vashakidze R. M. 344	Zelentsov V. V. 148
Tsintsadze G. V. 148	Vekua A. K. 744	Zenkovich V. P. 79
Tsiskaridze M. A. 748	Vepkhvadze L. K. 460	Zhordania S. D. 216
Tsitsishvili G. V. 624	Vinnikov I. L. 200	Zhorzholidze T. K. 140
Tulashvili E. V. 328	Vintaikin E. Z. 332	Zhukovin V. E. 44
Tvalchrelidze A. G. 380	Voloshina I. V. 728	Zurabashvili Zur. A. 192
Tynyanski N. T. 32		Zurebiani B. G. 124
Urushadze T. F. 684		Zviadadze G. N. 104, 400
		Zviadauri V. S. 116, 416

К СВЕДЕНИЮ АВТОРОВ

1. В журнале «Сообщения АН ГССР» публикуются статьи академиков, членов-корреспондентов, научных работников системы Академии и других учёных, содержащие еще не опубликованные новые значительные результаты исследований. Печатаются статьи лишь из тех областей науки, номенклатурный список которых утвержден Президиумом АН ГССР.

2. В «Сообщениях» не могут публиковаться полемические статьи, а также статьи обзорного или описательного характера по систематике животных, растений и т. п., если в них не представлены особенно интересные научные результаты.

3. Статьи академиков и членов-корреспондентов АН ГССР принимаются непосредственно в редакции «Сообщений», статьи же других авторов представляются академиком или членом-корреспондентом АН ГССР. Как правило, академик или член-корреспондент может представить для опубликования в «Сообщениях» не более 12 статей разных авторов (только по своей специальности) в течение года, т. е. по одной статье в каждый номер, собственные статьи—без ограничения, а с соавторами—не более трех. В исключительных случаях, когда академик или член-корреспондент требует представления более 12 статей, вопрос решает главный редактор. Статьи, поступившие без представления, передаются редакцией академику или члену-корреспонденту для представления. Один и тот же автор (за исключением академиков и членов-корреспондентов) может опубликовать в «Сообщениях» не более трех статей (независимо от того, с соавторами она или нет) в течение года.

4. Статья должна быть представлена автором в двух экземплярах, в готовом для печати виде, на грузинском или на русском языке, по желанию автора. К ней должны быть приложены резюме—к грузинскому тексту на русском языке, а к русскому на грузинском, а также краткое резюме на английском языке. Объем статьи, включая иллюстрации, резюме и список цитированной литературы, приводимой в конце статьи, не должен превышать четырех страниц журнала (8000 типографских знаков), или шести стандартных страниц машинописного текста, отпечатанного через два интервала (статьи же с формулами — пяти страниц). Представление статьи по частям (для опубликования в разных номерах) не допускается. Редакция принимает от автора в месяц только одну статью.

5. Представление академика или члена-корреспондента на имя редакции должно быть написано на отдельном листе с указанием даты представления. В нем необходимо указать: новое, что содержится в статье, научную ценность результатов, насколько статья отвечает требованиям пункта I настоящего положения.

6. Статья не должна быть перегружена введением, обзором, таблицами, иллюстрациями и цитированной литературой. Основное место в ней должно быть отведено результатам собственных исследований. Если по ходу изложения в статье сформулированы выводы, не следует повторять их в конце статьи.

7. Статья оформляется следующим образом: вверху страницы в середине пишутся инициалы и фамилия автора, затем — название статьи; справа вверху представляющий статью указывает, к какой области науки относится она. В конце основного текста статьи с левой стороны автор указывает полное название и местонахождение учреждения, где выполнена данная работа.

8. Иллюстрации и чертежи должны быть представлены по одному экземпляру в конверте; чертежи должны быть выполнены черной тушью на кальке. Надписи на чертежах должны быть выполнены каллиграфически в таких размерах, чтобы даже в случае уменьшения они оставались отчетливыми. Подрисуночные подписи, сделанные на языке основного текста, должны быть представлены на отдельном



листе. Не следует приклеивать фото и чертежи к листам оригинала. На полях оригинала автор отмечает карандашом, в каком месте должна быть помещена та или иная иллюстрация. Не должны представляться таблицы, которые не могут уместиться на одной странице журнала. Формулы должны быть четко вписаны чернилами в оба экземпляра текста; под греческими буквами проводится одна черта красным карандашом, под прописными — две черты черным карандашом снизу, над строчными — также две черты черным карандашом сверху. Карандашом должны быть обведены полукругом индексы и показатели степени. Резюме представляются на отдельных листах. В статье не должно быть исправлений и дополнений карандашом или чернилами.

9. Список цитированной литературы должен быть отпечатан на отдельном листе в следующем порядке. Вначале пишутся инициалы, а затем — фамилия автора. Если цитирована журнальная работа, указываются сокращенное название журнала, том, номер, год издания, а если цитирована книга, — полное название книги, место и год издания. Если автор считает необходимым, он может в конце указать и соответствующие страницы. Список цитированной литературы приводится не по алфавиту, а в порядке цитирования в статье. При ссылке на литературу в тексте или в сносках номер цитируемой работы помещается в квадратные скобки. Не допускается вносить в список цитированной литературы работы, не упомянутые в тексте. Не допускается также цитирование неопубликованных работ. В конце статьи, после списка цитированной литературы, автор должен подписаться и указать место работы, занимаемую должность, точный домашний адрес и номер телефона.

10. Краткое содержание всех опубликованных в «Сообщениях» статей печатается в реферативных журналах. Поэтому автор обязан представить вместе со статьей ее реферат на русском языке (в двух экземплярах).

11. Автору направляется корректура статьи в сверстном виде на строго ограниченный срок (не более двух дней). В случае невозврата корректуры к сроку редакция вправе приостановить печатание статьи или печатать ее без визы автора.

12. Автору выдается бесплатно 25 оттисков статьи.

(Утверждено Президиумом Академии наук Грузинской ССР 10.10.1968; внесены изменения 6.2.1969).

Адрес редакции: Тбилиси 60, ул. Кутузова, 19, телефоны 37-22-16, 37-93-42.

Почтовый индекс 380060

Условия подписки: на год — 12 руб.

ა ვ ტ ი რ თ ა ს ა ზ უ რ ა დ ლ ე ბ ი ღ ი დ

1. უფრონალ „საქართველოს სსრ მცნობერებათა აკადემიის მომაბეჭი“ ქვეყნდება აკადემიისთა და წევრ-კორესპონდენტთა, აკადემიის სისტემაში მომუშავე და სხვა მცნობერთა მოქალაქების, რომლებიც შეიცავს ასალ მნიშვნელოვან გამოკლევათა ჯერ გამოუკვეყნებელ შედეგებს. წერილები ქვეყნდება მხოლოდ იმ სამცნობერო დარგებით, რომელთა ნომერია ტერული სია დამტკიცებულია აკადემიის პრეზიდიუმის მიერ.

2. „მომაბეჭი“ არ შეიძლება გამოქვეყნდეს პოლემიკური წერილი, აგრეთვე მიმოხილვითი ან აღწერითი ხასიათის წერილი ცხოველთა, მცნობერთა ან სხვათა სისტემატიკაზე, თუ მასში მოცემული არა მცნობერისათვის განსაკუთრებით საინტერესო შედეგები.

3. საქართველოს სსრ მცნობერებათა აკადემიის აკადემიისთა და წევრ-კორესპონდენტთა წერილები უშეალოდ გადაცემა გამოსაქვეყნებლად „მოამბის“ რედაქციას, ხოლო სხვა ავტორთა წერილები ქვეყნდება აკადემიისთა ან წევრ-კორესპონდენტთა წარდგინებით. როგორც წესი, აკადემიკოსს ან წევრ-კორესპონდენტს „მომაბეჭი“ დასაბეჭდიად წელიწადში შეუძლია წარმოადგინოს სხვა აერორთა არა უმეტეს 12 წერილისა (მხოლოდ თავისი სპეციალობის მიხედვით), ე. ი. თითოეულ ნომერში თითო წერილი. საკუთარი წერილი — ჩამდინიც სურს, ხოლო თანაავტორებთან ერთად — არა უმეტეს სამი წერილისა. გამონაკლის შემთხვევაში როგო აკადემიკოსი ან წევრ-კორესპონდენტი მოითხოვს 12-ზე მეტი წერილის წარდგენისა, საკოთხს წყვეტის მთავარი რედაქტორი. წარდგინების გარეშე შემოსულ წერილ „მოამბის“ რედაქცია წარმოსადგნად გადასცემს აკადემიკოსს ან წევრ-კორესპონდენტს. ერთსა და იმავე ავტორს (გარდა აკადემიკოსისა და წევრ-კორესპონდენტისა) წელიწადში შეუძლია „მომაბეჭი“ გამოაქვეყნოს არა უმეტეს სამი წერილისა (სულ ერთია, თანაავტორებთან იქნება იგი, თუ კალებ).

4. წერილი წარმოდგენილი უნდა იყოს ორ ცალად, დასაბეჭდიად სასესხით შესასხით, ავტორის სურვილისამებრ ქართულ ან რუსულ ენაზე. ქართულ ტექსტს თან უნდა ახლდეს რუსული და მოქალ ინგლისური რეზიუმე, ხოლო რუსულ ტექსტს — ქართული და მოქალ ინგლისური რეზიუმე. წერილის მიცულობა ილუსტრაციებითურ, რეზიუმებითა და დამოწმებული ლიტერატურის ნუსხითურ, რომელიც მას ბოლოში ერთვის, არ უნდა აღმატებოდეს კურნალის 4 გვერდს (8000 სასტამი ნიშანი), ანუ საწერ მანქანაზე ორი ინტერვალით გადაწერილ 6 სტანდარტულ გვერდს (ფორმულებიანი წერილი კი 5 გვერდს). არ შეიძლება წერილების ნაწილებად დაყოფა სხვადასხვა ნომერში გამოსაქვეყნებლად. ავტორისაგონ რედაქცია დებულობს თვეში მხოლოდ ერთ წერილს.

5. აკადემიისთა ან აკადემიის წევრ-კორესპონდენტთა წარდგინება რედაქციის სახელშედაწერილი უნდა იყოს ცალკე ფურცელზე წარდგინების თარიღის აღნიშვნით. მასში აუცილებლად უნდა აღნიშვნის, თუ არას ახალი წერილში, რა მცნობერული ღირებულება აქვს მას და რამდენად უბასუხებს ამ წესების 1 მუხლის მოთხოვნას.

6. წერილი არ უნდა იყოს გადატარითულ შესავლით, მიმოხილვით, ცხრილებით, ილუსტრაციებითა და დამზემებული ლიტერატურით. მასში მთავარი აღვილი უნდა ჰქონდეს დამობილი საკუთარი გამოყენების შედეგებს. თუ წერილში გზადაგზა, ქვეთავების მიხედვით გადმოცემულია დასკვნები, მშენ საჭირო არა მათი განკრინება წერილის ბილოს.

7. წერილი ასე ფორმდება: თავში ზემოთ უნდა დაწერილი ინიციალები და გვარი, ქვემოთ — წერილის სათაური. ზემოთ მარკვენა მხატვეს, წარმომდგენმა უნდა წააწეროს, თუ მცნობერის რომელ დარღვე განცემულება წერილი. წერილის ძირითადი ტექსტის ბოლოს, მარცხენა მხატვეს, აგრძობა უნდა აღნიშვნის იმ დაწესებულების სრული სახელშორდება და აღგილდებარეობა, სადაც შესრულებულია შრომა.

8. ილუსტრაციები და ნახატები წარმოდგენილ უნდა იქნეს იგნეს ცალად კონვერტით. ამასთან, ნახატები შესრულებული უნდა იყოს კალკული შავი ტუშით. წარწერები ნახატებს უნდა გაუკეთდეს კალიგრაფიულად და ისეთი ზომისა, რომ შემცირების შემთხვევაშიც კარგად იყითხებოდეს. ილუსტრაციების ქვეშ წარწერების ტექსტი წერილის ძირითადი ტექსტის ენაზე წარმოდგენილ უნდა იქნეს ცალკე ფურცელზე. არ შეიძლება ფოტოებისა და



ხახების დაწებება დელნის გვერდებზე. ავტორმა დელნის კიდევ ფანქრით უნდა აღნიშვნა და აგვილას მოთავსდეს ესა თუ ის ილუსტრაცია. არ შეიძლება წარმოდგენილ იქნეს ისეთი ცხრილი, რომელიც უურნალის ერთ გვერდზე ვერ მოთავსდება. ფორმასული მელნით მეა-ფირდ უნდა იყოს ჩაწერილი ტექსტის ორივე ეგზემპლარში; ბერძნულ ასოებს ქვემოთ ყველ-გან უნდა გაესას ხაზი წითელი ფანქრით, მთავრულ ასოებს — ქვემოთ ორ-ორი პატა-რა ხაზი შავი ფანქრით, ხოლო არამთავრულ ასოებს — ზემოთ ორ-ორი პატარა ხაზი შავი ფანქრით. ფანქრითვე უნდა შემოიფარგლოს ნაჩევარწმინდ ნიშანებიც (ინდექსები და ხარის-ხის მაჩვენებლები). რეზოუმები წარმოდგენილ უნდა იქნეს ცალ-ცალკე უზრულებელი. წე-რილში არ უნდა იყოს ჩასწორებები და ჩამატებები ფანქრით ან მელნით.

9. დამოწმებული ლიტერატურა უნდა დაიძექდოს ცალკე უზრულებელი. საჭიროა დაცულ იქნეს ასეთი თანმიმდევრობა: ავტორის ინიციალები, გვარი. თუ დამოწმებულია საფურნალო შრომა, ვუჩენოთ კურნალის შემოკლებული სახელწოდება, ტომი, ნომერი, გამოცემის წელი. თუ დამოწმებულია წიგნი, აუცილებელი ვუჩენოთ მისი სრული სახელწოდება, გამოცემის აღვილი და წელი. თუ ავტორი საჭიროდ მიაჩნდეს, ბოლოს შეუძლია გვერდების ნუმერა-ციაც უჩენოს. დამოწმებული ლიტერატურა უნდა დალაგდეს არა ანბანურა წესით, არამედ დამოწმების თანმიმდევრობით. ლიტერატურის მისათოვებლად ტექსტსა თუ შენაშენებში კვალრატულ ფრჩხილებში ნაჩევნები უნდა იყოს შესაბამისი ნომერი დამოწმებული შრომისა. არ შეიძლება დამოწმებული ლიტერატურის ნუსხაში შევიტანოთ ისეთი შრომა, რომელიც ტექსტში მითითებული არ არის. ასევე არ შეიძლება გამოუქვეყნებელი შრომის დამოწმება. დამოწმებული ლიტერატურის ბოლოს ავტორმა უნდა მოაწეროს ხელი, აღნიშნოს საღ მუ-შაობს და რა თანამდებობაზე, უჩენოს თავისი ზუსტი მისამართი და ტელეფონის ნომერი.

10. „მომზეში“ გამოქვეყნებული ყველა წერილის მოკლე შინაარსი იძექდება რეფერა-ტულ კურნალებში. ამიტომ ავტორმა წერილთან ერთად აუცილებლად უნდა წარმოადგინოს მისი რეფერატი რუსულ ენაზე (ორ ცალი).

11. ავტორს წააკითხად ეძლევა თავისი წერილის გვერდებად შეკრული კორექტურა შეკრად განსაზღვრული ვადით (არა უმტკრეს ორი დღისა). თუ დადგრძნილი ვალისათვის კო-რექტურა არ იქნა დაბრუნებული, რედაქციას უფლება აქვს შეანეროს წერილის დაბეჭდვა ან დაბეჭდოს იგი ავტორის ვიზის გარეშე.

12. ავტორს უფასოდ ეძლევა თავისი წერილის 25 ამონაბეჭდი.

(დამტკიცებული საქართველოს სსრ მეცნიერებათა აკადემიის პრეზიდიუ-
მის მიერ 10.10.1968; შეტანილია ცელილებები 6.2.1969)

რედაქტორის მისამართი: თბილისი 60, კუტუზოვის ქ. № 19; ტელ. 37-22-16, 37-93-42.

საფოსტო ინდექსი 380060

ხელმოწერის პირის პირობების ერთი წლით 12 მან.